

ელიზბარ ელიზბარაშვილი

საქართველოს კლიმატური
რესურსები





ჰიდრომეტეოროლოგიის ინსტიტუტი
Institute of Hydrometeorology
Институт гидрометеорологии

ელიზბარ ელიზბარაშვილი

საქართველოს კლიმატური
რესურსები

0808080 – TBILISI - ТБИЛИСИ
2007

ელიზბარ ელიზბარაშვილი

საქართველოს კლიმატური ოესურსები

Elizbar ElizbaraShvili

CLIMATIC RESOURCES OF GEORGIA

Элизбар Шалвович Элизбарашили

КЛИМАТИЧЕСКИЕ РЕСУРСЫ ГРУЗИИ



**0805060 – TBILISI - ТБИЛИСИ
2007**

<p>სარედაქციო კომიტეტი ნ.ბეგალიშვილი (მთავარი რედაქტორი) ბ.ბერიაშვილი (რედაქტორის მოადგილე) თ.ცინცაძე (მენეჯერი და ტექნიკური რედაქტორი)</p>	<p>Editorial Board N.Begalishvili (Editor in Chief) B.Beritashvili (Deputy Ed.-in-Chief) T.Tsintsadze (Executive secretary)</p>	<p>Редакционная коллегия Бегалишвили Н.А. (Главный редактор) Бериташвили Б.Ш. (зам.гл. редактора) Цинцадзе Т.Н. (отв. секретарь)</p>
---	---	--

პიდრომეტეოროლოგიის ინსტიტუტი.
0112 თბილისი-12, დავით აღმაშენებლის გამზირი
150^a,

Institute of Hydrometeorology.
150^a David Agmashenebeli ave., Tbilisi, 0112, Georgia,

Институт гидрометеорологии
0112, Тбилиси-12, пр.Д. Агмашенебели 150^a.

საიდენტიფიკაციო №
Identification №
Идентификационный №

E-mail: ecohydmet@yahoo.com

ტელ
Tel.
Тел.

(995 32) 951 047,
952 028,

ფაქს
Fax
Факс

(995 32) 95-11-60

202054720

ISBN 99928-885-7-1

რედაქტორი: საქართველოს ეკოლოგიის მეცნიერებათა
აკადემიის პრეზიდენტი, ბიოლოგის მეცნიერებათა
დოკტორი, პროფესორი მციცქიშვილი

რეცენზენტები: გეოგრაფიის მეცნიერებათა დოკტორი
რ.სამუქაშვილი
ფიზიკა-მათემატიკის მეცნიერებათა დოკტორი
ჯ.გაჩნაძე

პიდრომეტეოროლოგიის ინსტიტუტი
© Institute of Hydrometeorology 2007
Институт гидрометеорологии

უაკ 551.582.

მონოგრაფიაში განხოგადობულია საქართველის კლიმატური რესურსების კვლევის თანამედროვე მდგრადულია და დასახულია მათი რაციონალურად გამოყენების პერსპექტივები.

ეგანხილულია პრობლემასთან დაკავშირებული მრავალი საკითხი-პავის წარმომქმნელი ძირითადი ფაქტორები, კლიმატის ცალკეული ელემენტების რეჟიმი და რესურსი, ნიადაგების კლიმატი და კლიმატური რესურსები, კლიმატური მახსიათებლების დროით და სივრცითი სტატისტიკური სტრუქტურა, მიკროკლიმატური გმოკვლევები, კლიმატური ველების მათებატიკური მოდელირება და გეონოგრაფიული კარტოგრაფიული, კლიმატური რაიონები, ამინდის ძირითადი ტიპები, კლიმატური რესურსების გამოყენების პერსპექტივები, კლიმატის ცვლილება.

წიგნი განკუთვნილია კლიმატოლოგებისათვის, გეოგრაფიისათვის, აგრიკოლისტისათვის, აგრომეტოროლოგებისათვის, ენერგეტიკოსებისათვის, მედიცინის მუშაკთათვის და მკითხველთა ფართო წრისათვის, ვინც დაინტერესებულია საქართველოს კლიმატური რესურსებით და მათი რაციონალურად გამოყენების პერსპექტივებით.

წიგნი შეიძლება გამოყენებულ იქნას როგორც დაწმარე სახელმძღვანელო გეოგრაფიის სპეციალობის სტუდენტების, მაგისტრანტებისა და დოქტორანტებისათვის.

Обобщено современное состояние исследований климатических ресурсов Грузии и намечены перспективы их рационального использования.

Рассмотрены основные климатообразующие факторы, режим и ресурсы отдельных элементов климата, климат и климатические ресурсы почв, временная и пространственная статистическая структура климатических характеристик, микроклиматические исследования, математическое моделирование и геоинформационное картографирование климатических полей, климатические районы, основные типы погоды, перспективы использования климатических ресурсов, изменение климата.

Present state of the investigation of climatic resources of Georgia is generalized and prospects of their efficient use are outlined.

წინასიტყვაობა

დღემდე არსებულ მრავალრიცხოვან კლიმატოლოგიურ და ზოგადგეოგრაფიულ ლიტერატურაში კლიმატური რესურსები გაიგივებულია კლიმატურ ელემენტებთან. ნ.კობიშვილის განმარტებით კლიმატური რესურსები კლიმატის ზოგადი მაჩვენებლების ერთობლიობა არ არის. იგი ატმოსფეროში არსებული სხვადასხვა სახეობის ენერგიის, ნივთიერების და ინფორმაციის ის მარაგია, რომელიც შეიძლება გამოვყენოთ კონკრეტული სოციალურ-ეკონომიკური პრობლემების გადასაწყვეტად.

დამოუკიდებელი საქართველოსთვის კლიმატურ რესურსებს სასიცოცხლო მნიშვნელობა ენიჭება. მათი ეფექტური გამოყენება განსაკუთრებით პერსპექტიულია საკურორტო საქმეში, სოფლის მეურნეობასა და ენერგეტიკაში. ამ მხრივ აღსანიშნავია ევროპის პატარა ქვეწების -შვეიცარიის, ავსტრიის, ლუქსემბურგის და ისლანდიის გამოცდილება, რომელთაც საკურორტო მეურნეობა და ტურიზმი აძლევს დიდ შემოსავალს. აღსანიშნავია აგრეთვე ისრაელის წარმატება მზის და ქარის ენერგიების გამოყენების თვალსაზრისით, ხოლო მოლდავეთს, რომლის ფართობიც საქართველოს ტერიტორიის ნახევარიც კი არ არის, სწორედ კლიმატური ფაქტორების მართებულად გამოყენების გამო, ერთ-ერთი პირველი ადგილი უკავია აღმოსავლეთ ევროპის ქვეყნებს შორის ყურძნის, ზილის, თამბაქოს და ვარდის ზეთის წარმოების მხრივ.

კლიმატური ფაქტორების და რესურსების გამოყენება არ შემოიფარგლება ეკონომიკის ჩამოთვლილი დარგებით. მათი გათვალისწინება აუცილებელია ეკონომიკის ყველა დარგის ნორმალურად ფუნქციონირებისათვის, ტაქტიკური თუ სტრატეგიული დანიშნულების მთელი რიგი ამოცანების გადაწყვეტისათვის. ამასთან დაკავშირებით საქართველოს კლიმატური რესურსების სრულყოფილი შეფასება და რაციონალურად გამოყენება ქვეყნის ერთ-ერთი უმნიშვნელოვანესი პრიორიტეტია.

საქართველოს კლიმატის კვლევაზე და კლიმატური რესურსების შეფასების პრიბლევმაზე აგტორი მუშაობს რამდენიმე ათეული წლის მანძილზე და ამ მიმართულებით გამოქვეყნებული აქვს მრავალი პუბლიკაცია, მათ შორის

მონოგრაფიები. ნაშრომთა უმრავლესობა სრულდებოდა სპეციალური, მათ შორის იუნიკოს საერთაშორისო, სამეცნიერო-ტექნიკური პროგრამების შესაბამისად, და ქვეყნდებოდა საზღვარგარეთულ ავტორიტეტულ გამოცემებში, ხოლო შედეგების დიდი ნაწილი აპრობირებულია და დანერგილია პრაქტიკაში. სწორედ ეს გამოკვლევები დაედო საფუძვლად წინამდებარე მონოგრაფიის შედეგენას.

პრობლემის სრულფასოვნად გაშუქების მიზნით მონოგრაფიაში განზოგადოებულია აგრეთვე არსებული ფართო ლიტერატურიდან ის იდეები, რომლებმაც გაუძლეს დროის გამოცდას და მიიღეს შესაბამისი დასაბუთება და განვითარება, რამაც წიგნს ენციკლოპედიური ხასიათი მიანიჭა.

საქართველოს კლიმატური რესურსების შეფასების საბოლოო შედეგები წარმოდგენილია სპეციალური შინაარსის რუკების, ტაბულების და ნომორამების სახით, რაც უადვილებს პრაქტიკოსს ამ რესურსების გამოყენებას სამეურნეო ამოცანების გადაწყვეტისას.

მონოგრაფიის ავტორი, თვლის რა თავს ცნობილი მეცნიერების ოდროზდოვის, გ.სულაქველიძის და ნ.კობიშევას მიმდევრად, შეეცადა წარმოდგენილ წიგნში განვითარებინა კლასიკური და კომპლექსური კლიმატოლოგიის მეთოდები მთიანი ქვეწის სპეციფიურობის გათვალისწინებით, და შეექმნა საქართველოს კლიმატის და კლიმატური რესურსების განზოგადოებული კომპლექსური აღწერა.

შესავალი

საქართველოს კლიმატისა და კლიმატური რესურსების შესწავლას ხაგრძლივი ისტორია გააჩნია. პირველი კლიმატური აღწერები გვხვდება ჯერ კიდევ ანტიკური დროის ფილოსოფოსების ნაწარმოებებში - ჰეროდოტე, ჰიპოკრატე (ძ.ძ.ძ.), სტრაბონი (ძ. ს. ძ.ძ.) და სხვა. საქართველოს ცალკეული რაიონების კლიმატური თავისებურებების შესახებ მოიხსენიება შუა საუკუნეების ისტორიკოსების ნაწარმოებებში.

ვიზუალურ დაკვირვებებზე დაყრდნობით საქართველოს ცალკეული რეგიონების საინტერესო კლიმატური შეფასებები დაგვიტოვა ცნობილმა ქართველმა გეოგრაფმა, ისტორიკოსმა და მოგზაურმა ვახუშტი ბაგრატიონმა. ის თავის “ აღწერა სამეფოსა საქართველოსაში ” განსაკუთრებულ ყურადღებას ამაზვილებს საქართველოს ცალკეული კუთხეების კლიმატურ თავისებურებებზე. კერძოდ, აღწერს, რომ კოლხეთის ბარი არის “ ... სველი, ნამიანი, და ნოტიო, ” მთიანი აჭარა – “ წვიმიანი, სოელი, ... დიდ თოვლიანი ”, იმერეთის მაღლობზე “ თოვლი დიდი ”-ა, ივრის ზეგანი “ არის აღვილი ... მცირე თოვლიანი ” და ა.შ. საქართველოს დანესტიანების ვახუშტისეული შეფასებები დღესაც კარგ შესაბამისობაშია რეალურ პირობებთან.

ცხადია, რომ საქართველოს კლიმატის კვლევის მეცნიერულად დასაბუთებული შედეგები მიღებულ იქნა მხოლოდ ინსტრუმენტული დაკვირვებების ორგანიზების შემდეგ. 1844 წელს თბილისში დაარსდა მაგნიტურ-მეტეოროლოგიური ობსერვატორია. ამიერიდან თბილისის და საქართველოს კლიმატის შესახებ შეიძლებოდა მსჯელობა ინსტრუმენტული დაკვირვებების საფუძველზე. ამ პირველ გამოკვლევებს შორის აღსანიშნავია გვილდის(1884), ა.ვოეიკოვის(1885), ნ.სალაცის(1862) და ვ.ვოზნესენსკის (1895) ნაშრომები, რომლებშიც მიღებული იყო იზოთერმების და იზოპიეტების პირველი რუკები.

XIX საუკუნის დასასრულს და XX საუკუნის დასაწყისში საქართველოს კლიმატის კვლევას თავისი შრომები მიუძღვნეს გამოჩენილმა კლიმატოლოგებმა ა. ვოეიკოვმა, ბ. სტატიკოვსკიმ, ე. როზენტალმა, გ. ვილდმა, ა. ვოზნესენსკიმ და სხვ.

საქართველოს კლიმატურ თავისებურებებს მრავალი წლის განმავლობაში იკვლევდა ა. ფიგუროვსკი. ის განსაკუთრებულ ყურადღებას აქცევდა პარის ტემპერატურის და ნალექების განაწილებას, და გენეზისს.

კლიმატური კლემენტების რეჟიმის ყველაზე საიმედო მონაცემები, როგორც მეთოდური ისე პრაქტიკული თვალსაზრისით, პირველად მიიღო ო. დროზდოვმა (1948). მან ახლებურად გაამუქა ნალექების კლიმატოლოგიური დამუშავების მთელი რიგი საკითხები და შეადგინა ნალექების წლიური ჯამების რუკა კავკასიისათვის. ჩატარებული გამოკვლევების შედეგად მიღებული იყო კლიმატის ძირითადი ელემენტების ტერიტორიული განაწილების შედარებით დეტალური სურათები და ახლებულად იქნა გაშუქებული მეტეოროლოგიური რიგების დამუშავების მრავალი საკითხი.

შემდგომში საქართველოს კლიმატს და მის ცალკეულ ელემენტებს მიეძღვნა გამოკვლევათა დიდი რაოდენობა, რომელთა შორის განსაკუთრებით აღსანიშნავია მონოგრაფიული ხასიათის ნაშრომები, რომლებიც აჯამებენ მრავალრიცხოვანი მრავალწლიანი კვლევის შედეგებს. მათ შორის უპირველეს ყოვლისა უნდა გავიხსენოთ ა.ზანინას (1961) მონოგრაფია, რომელშიც არსებითად მთლიანად კაგასიის კლიმატის აღწერაა მოცემული. მონოგრაფიაში განხილულია ძირითადი კლიმატურმომენტები, ფაქტორები, ჰავის და მისი ცალკეული ელემენტების ზოგადი დახასიათება მთლიანად კავკასიისათვის.

ამავე პერიოდში გამოიცა მ.კორძახიას ცნობილი მონოგრაფია “საქართველოს ჰავა”, რომელიც ხანგრძლივი დროის განმავლობაში ამ დარგში მომუშავე სპეციალისტების სამაგიდო წიგნად ითვლებოდა.

1971 წელს გამოიცა კოლექტიური მონოგრაფია საქართველოს კლიმატის და კლიმატური რესურსების შესახებ, რომელიც მომზადდა ამიერკავკასიის (საქართველოს მეცნიერებათა აკადემიის) პიდრომეტეოროლოგიის ინსტიტუტის სპეციალისტების მიერ (Климат и климатические ресурсы Грузии .Под ред. В.П. Ломинадзе и Г.И.Чиракадзе. Л., Гидрометеоиздат, 1971). მასში საკმარისად სრულად არის გაშუქებული ატმოსფერული ნალექების და თოვლის საფარის

ვერტიკალური ზონალობის საკითხები, კლიმატის ძირითადი ელემენტების სივრცითი და დროითი განაწილების კახონზომიერებები, საქართველოს ბიოკლიმატური რესურსები და ბოლოს მოცემულია საქართველოს ახალი კლიმატური დარაიონება.

შეძლებომ წლებში გამოიცა რიგი მონოგრაფიები, რომლებიც განაზოგადებენ საქართველოს ტერიტორიაზე კლიმატის ცალკეული ელემენტების განაწილების ხასიათს და რეჟიმს. მათ მიეკუთვნება ი.კვარაცხელიას (1971) და კ.გოგიშვილის (1974) მონოგრაფიები, რომლებშიც განზოგადებულია თავისუფალი ატმოსფეროს კლიმატის და კლიმატის ცირკულაციური ფაქტორების კვლევის შედეგები; ი.ცუცქირიძის (1967), ნ.გვასალიას (1986) და მ.ელიზბარაშვილის (1999) მონოგრაფიები, რომლებშიც განზოგადებულია რადიაციული, თერმული და სითბური რეჟიმის ფუნდამენტური გამოკვლევები, განხილულია ბიომეტროლოგიის საკითხების ფართო სპექტრი; შ.ჯავახიშვილის (1981), უ.ალიბეგოვას და ე.ელიზბარაშვილის (1980), ე.ელიზბარაშვილის და ზ.ჭავჭანიძის (1992) მონოგრაფიები, რომლებშიც განხილულია ატმოსფერული ნალექების მოსვლის პირობები, ტერიტორიული განაწილება, რეჟიმი და სტრუქტურა; დ.მუმლაძის (1991), კ.თავართქილაძის, ე.ელიზბარაშვილის, დ.მუმლაძის და ჯ.ვაჩხაძის (1999) მონოგრაფიები, რომლებიც სპეციალურად მიეძღვნა კლიმატის თანამედროვე ცვლილებას; ე. და მ. ელიზბარაშვილის (2006) მონოგრაფია, რომელშიც განვითარებულია ლანდშაფტთა კლიმატოლოგიის მიმართულება და სხვა.

ემრავალი წლის მანძილზე საქართველოს კლიმატოლოგიის პრიბლემებზე აგრეთვე მუშაობდნენ და მუშაობენ ი.ქურდიანი, ა.ა.ალაბუევი, გ. ჭირაქაძე, გ. სულაქველიძე, შ.გავაშელი, ზ.ხედელიძე, კ.საპიცკი, ნ.ასლანიკაშვილი, რ.სამუკაშვილი, გ.გუნა, ნ.ბეგალიშვილი, ბ.ბერიტაშვილი, ლ. პაპინაშვილი, ე.სუხიშვილი, რ.კორძახია, რ.კავკასიძე, მ. ხვითა, ვგაგუა, ი.სულაქველიძე, თ. ხელაძე, ლ.ქართველიშვილი, თ.ალადაშვილი, ლ.მეგრელიძე, ნ.სულხანიშვილი, შ.ელიზბარაშვილი, ნ.კვარაცხელია, ც.დიასამიძე, ი.ჭინჭარაშვილი, თ.ზუბიტაშვილი და სხვ.

გამოკვლევათა უმრავლესობაში საქართველოს კლიმატური თავისებურებები განიხილება, რაც შეეხება კლიმატურ რესურსებს –შრომები ამ მიმართულებით იშვიათი გამონაკლისია, ამავე დროს დღიდან მათი უმრავლესობის გამოქვეყნებისა საკმაოდ ბევრი დრო გავიდა. ამ დროის განმავლობაში თვით კლიმატოლოგიაში განიცადა მნიშვნელოვანი ცვლილება, განვითარება. ფართო გამოყენება ჰპოვა კომპიუტერულმა ტექნიკამ და გეოინფორმაციულმა სისტემებმა, რამაც განაპირობა კლიმატოლოგიაში მათემატიკური და კარტოგრაფიული მოდელირების დაწერვა. მთელი რიგი კლიმატური რეკები და ველები მიღებულ იქნა გეოინფორმაციული ტექნოლოგიების გამოყენებით. საშუალება შეიქმნა ცალკეული კლიმატური მახასიათებლებიდან ორ, სამ და მრავალგანზომილებიან კომპლექსებზე გადასვლისა. შესწავლილ იქნა კლიმატოლოგიური რიგების და ველების დროითი და სივრცითი სტატისტიკური სტრუქტურა.

გაიზარდა მოთხოვნილება კლიმატური ინფორმაციის მიმართ. კლიმატის და მისი რესურსის ის მახასიათებლები, რომლებიც 30-40 წლის წინ გამოიყენებოდა, დღეს ველარ აკმაყოფილებებ მეცნიერების, პრაქტიკის და ეკონომიკის მზარდ მოთხოვნებს. კლიმატური ელემენტის საშუალო, ექსტრემალური და ალბათური მაჩვენებლებიც კი აღარ წარმოადგენს მის სრულფასოვან დახასიათებას, თუ უცნობია მოვლენის ბუნება, მისი დროითი და სივრცითი სტრუქტურა. განსაკუთრებით აქტუალური გახდა კლიმატის ცვლილების პრობლემა.

უკანასკნელი 40 წლის მანძილზე ფართო განვითარება ჰპოვა კლიმატოლოგიურმა გამოკვლევებმა საქართველოშიც. გამოიცა მრავალი მონოგრაფია და სტატია, ახლებურად აიხსნა ბევრი კლიმატოლოგიური მოვლენა და პროცესი, რაც აუცილებელია გათვალისწინებულ იქნას საქართველოს კლიმატის და კლიმატური რესურსების დღეგანდელი მდგომარეობის შეფასების დროს.

შექმნილმა ვითარებამ განსაზღვრა მონოგრაფიის სტრუქტურა. მასში ყურადღება დაეთმო ჰავის წარმომქმნელ ძირითად ფაქტორებს, ცალკეული ელემენტების რეჟიმს და რესურსს, ნიადაგების კლიმატს და კლიმატურ რესურსებს, კლიმატური მახასიათებლების დროით და სივრცით

სტატისტიკურ სტრუქტურას, მიკროკლიმატურ გამოკვლევებს, კლიმატური ველების მათემატიკურ მოდელირებას და გეოინფორმაციულ კარტოგრაფირებას, კლიმატური რაიონების და ამინდის ძირითადი ტიპების დახასიათებას, საკურორტო, სასოფლო-სამეურნეო და ენერგეტიკული კლიმატური რესურსების გამოყენების პერსპექტივებს, კლიმატის ცვლილების პრობლემას.

თავი 1. ჰავის წარმომქმნელი ძირითადი ფაქტორები

1.1. საქართველოს ფიზიკურ-გეოგრაფიული პირობები

საქართველოს ჰავის ჩამოყალიბების უმნიშვნელოვანეს ფაქტორს წარმოადგენს მისი გეოგრაფიული მდებარეობა და ფიზიკურ-გეოგრაფიული პირობები. საქართველო მდებარეობს აღმოსავლეთ ევროპას, წინა აზიას, შავ ზღვასა და კასპიის ზღვისპირა მხარეს შორის, ზომიერი და სუბტროპიკული ჰავის სარტყელების საზღვარზე. მისი ტერიტორიის ფართობი შეადგენს 69 700 კმ²-ს.

საქართველოს ჩრდილოეთი საზღვარი მიჰყება კავკა-სიონის კლდოვან თხემს, ზღვის დონედან 3000-4000მ სიმაღლეზე, აქ გადის საზღვარი რუსეთის ფედერაციასთან. აღმოსავლეთის საზღვარი, სადაც საქართველო ესაზღვრება აზერბაიჯანს, ეშვება კავკასიონის მთავარი ქედის სამხრეთ კალთაზე და გასდევს ალაზნის ქვემო დინებას. საქართველოს აღმოსავლეთის საზღვრიდან 200-300 კმ მანძილზე მდებარეობს კასპიის ზღვა. სამხრეთი საზღვარიც მთიანია და ძირითადად განლაგებულია ზღვის დონედან 2000-2500 მ სიმაღლეზე. აქ საქართველოს ესაზღვრება სომხეთი და თურქეთი, ხოლო სამხრეთ-აღმოსავლეთით ესაზღვრება აზერბაიჯანი. დასავლეთიდან საქართველოს ტერიტორიას დაახლოებით 300 კმ მანძილზე შევი ზღვა აკრავს.

საქართველოს ტერიტორიის რელიეფი მეტად დანაწევრებულია. ცალკეული მწვერვალების სიმაღლე აღემატება 5000 მ, ხოლო დაბლობები კი მდებარეობს ზღვის დონეზე. ტერიტორიის რელიეფის ვერტიკალურ განვითარებაში იგრძნობა განსხვავებები, რაც კარგად ჩანს ქვემოდ მოყვანილი ცხრილიდან.

საქართველოს ტერიტორია რელიეფის მხრივ შეიძლება დაიყოს მკვეთრად განსხვავებულ სამ მხარედ: კავკასიონის მთიანი მხარე, საქართველოს სამხრეთი მთიანეთი და მათ შორის მოთავსებული საქართველოს ბარი. ტერიტორიის ჩრდილოეთ ნაწილში ჩრდილო-დასავლეთიდან სამხრეთ-აღმოსავლეთის მიმართულებით გადაჭიმულია მთავარი კავკასიონის ქედი, რომელიც წარმოადგენს ჩრდილოეთ კავკასიისა და ამიერკავკასიის მდინარეთა ძირითად წყალგამყოფს. მის სამხრეთ ფერდობზე გამოიყოფა

დასავლეთი, ცენტრალური (შუა) და აღმოსავლეთი ნაწილები.

ცხრილი 1.1.1. საქართველოს რელიეფის ზოგიერთი მორფომეტრიული მაჩვენებელი

სიმაღლე ზღვის დონედან, მ	შესაბამისი ტერიტორიის ფართობი, %
0-200	11,4
200-500	13,0
500-1000	21,7
1000-1500	18,2
1500-2000	16,3
2000-2500	9,8
2500-3000	7,5
3000 ზე მეტი	2,1

დასავლეთში მთავარი ქედის გამყოლი ქედებია გაგრის, ბზიფის, ჩხალთის, კოლორის, სვანეთის, უგრისის, ლეჩხუმის და რაჭის. 1 ქედებს შორის მოთავსებულია ფსოუს, ბზიფის, კოლორის, ენგურის, ცხენისწყლის, რიონის ხეობები, რომელთაც გამყოლი მიმართულება აქვთ.

ცენტრალური კავკასიონის შემადგენლობაში ქედებს უმთავრესად მერიდიანული მიმართულება აქვთ. ასეთებია გუდისის, ხარულის, ლომისის, გუდამაყრის, ქართლის და კახეთის ქედები. მათ შორის მოქცეულია ლიახვის, მეჯუდის, ქსნის, არაგვის, ფშავის და ხევსურეთის არაგვის ხეობები.

აღმოსავლეთ კავკასიონს მიეკუთვნება თუშეთის გამყოლი ქედი, ალაზნის, იორის, თუშეთისა და პირიქითა ალაზნის ხეობები.

ტერიტორიის სამხრეთ ნაწილში, მთავარი კავკასიონის ქედის პარალელურად, გადაჭიმულია საქართველოს სამხრეთ მთიანეთი, რომელიც ლიხის ქედის საშუალებით უკავშირდება კავკასიონის მთავარ ქედს. საქართველოს სამხრეთ მთიანეთი შეიცავს მესხეთისა და თრიალეთის ქედებს, ახალციხის ქვაბულს, ჯავახეთისა და ერუშეთის ვულკანურ მთიანეთებს.

კავკასიონსა და საქართველოს სამხრეთ მთიანეთს შორის მოთავსებულია მთათაშორის ბარი, საღაც გამოიყოფა კოლხეთის ბარი, იმერეთის მაღლობი, შიდა ქართლის ბარი, ქვემო ქართლის ბარი და კახეთის ბარი.

კოლხეთის ბარი, რომლის ფართობიც 13000 კვ.კმ-ია, გადაჭიმულია დასავლეთიდან, შავი ზღვიდან, აღმოსავლეთისაკენ. მას სამკუთხედის ფორმა აქვს, რომლის ფუძეც შავი ზღვისკენაა მიმართული. ბარის ბუნებრივ საზღვრებს წარმოადგენს: ჩრდილოეთით – ბზიფის ქედის სამხრეთი ფერდობები, ხოლო სამხრეთით – მესხეთის ქედის ჩრდილოეთის ფერდობები. ბარის დახრილობა ჩრდილო-აღმოსავლეთიდან სამხრეთ-დასავლეთისაკენ განაპირობებს მდინარეების კოდორის, ოქემის, სუფსის, რიონის და ა.შ. ძირითად მიმართულებებს.

კოლხეთის ბარის აღმოსავლეთით აღმართულია იმერეთის მაღლობი. მაღლობის უმაღლესი ნაწილია ლიხის ქედი. იმერეთის მაღლობს აღმოსავლეთიდან ესაზღვრება შიდა ქართლის ბარი, რომლის ძირზეც მდებარეობს შიდა ქართლის ვაკე. ვაკის შუა ნაწილი 750 მეტრზეა ზღვის დონედან. შიდა ქართლის ბარი იკვეთება მდინარეებით ლიახვი, მეჯუდა, თორთლე და სხვ.

შიდა ქართლის ბარის სამხრეთ-აღმოსავლეთით მდებარეობს ქვემო ქართლის ბარი. აქ გამოიყოფა თბილისის ქაბული, ქვემო ქართლის ვაკე და მთისწინეთი. ქვემო ქართლის ბარის აღმოსავლეთით ტერიტორია უკავია კახეთის ბარს, რომელიც მოიცავს კახეთის ანუ ალაზნის ვაკეს, გომბორის ქედს და ივრის ზეგანს.

საქართველოში ბევრი მდინარეა. ისინი განსხვავდებიან საზრდობით და რეჟიმით. შავი ზღვის აუზის მდინარეთა ქსელი (რიონი, ენგური, კოდორი, აჭარისწყალი, ბზიფი, ცხენისწყალი და ა.შ.) უფრო ხშირია, ვიდრე კასპიის ზღვის მდინარეთა ქსელი (მტკვარი, ხრამი, ალაზანი, იორი, არაგვი და ა.შ.), რაც გამოწვეულია დასავლეთ საქართველოში ატმოსფერული ნალექების სიუხვის გამო. ამავე დროს დასავლეთ საქართველოს მდინარეები ხასიათდებიან ზაფხულის წყალდიდობით, რადგანაც ისინი საზრდოობენ კავკასიონის მაღალი მთის ზონის მარადი თოვლისა და მყინვარების დნობისაგან მიღებული წყლებით. აღმოსავლეთ

საქართველოს მდინარეებისათვის წყალდიდობა დამახასიათებელია გაზაფხულზე, როდესაც ხშირია თავსხმა წვიმები და მთავრდება თოვლის დნობა მთებში.

საქართველოს ტბები განსხვავდებიან წარმოშობით, სიდიდით, რეჟიმით და სხვა თვისებებით. ჯავახეთის ზეგანზე მდებარეობენ საქართველოს უდიდესი ტბები – ფარაგანი და ტაბაწყური; კოლხეთის დაბლობზე – პალისტომი და ჯაპანის ტბა; კავკასიონის კალთებზე – ყელის, რიწის, ბაზალეთის და სხვ.; ბაკურიანის მხარეში – გახისის, წეროს, დაბაძველისა და სხვა ტბები.

რელიეფის ძლიერი დანაწევრება და სხვა ბუნებრივი კომპონენტების მრავალფეროვნება განაპირობებს ნიადაგების დიდ მრავალფეროვნებას. ნიადაგების გეოგრაფიულ განაწილებაში აღინიშნება ვერტიკალური ზონალობა. ის სხვადასხვაგვარად არის გამოხატული დასავლეთ, აღმოსავლეთ და სამხრეთ საქართველოში. ნიადაგების ძირითადი ტიპებია ტენიანი სუბტროპიკული, მშრალი სუბტროპიკული, მთა-ტყის, მთა-მდელოს, მთის შავმიწები, მაღალი მთის, აღუვიური და სხვ.

მდიდარი და მრავალფეროვანია საქართველოს მცენარეულობაც. ბერია რელიეტური და ენდემური მცენარეულობა. ტყებს უკავია ტერიტორიის მესამედი ნაწილი, ქვედა სარტყელი წარმოდგენილია ფართოფოთლოვანი ჯიშებით, ზედა სარტყელი – წიწვოვანი ტყებით, მაღალმთიან რაიონებში ჭარბობს ფიჭვნარი, ხოლო 1800-2000 მ მაღლა – ალპური მდელოები. ბარი დაკავებულია ჭაობიანი ადგილების მცენარეული ტიპებით, ნახევრადულაბნოებით, ფართოდ არის განვითარებული კულტურული მცენარეულობა.

საქართველოს ტერიტორიაზე გამოვლენილია 150-მდე დასახელების ლანდშაფტი, ისინი იყოფიან ორ ჯგუფად – ბარის და მთის კლასების ლანდშაფტებათ.

1.2. ჰადიაციული ფაქტორები

დედამიწის ზედაპირზე და ატმოსფეროში მიმდინარე ყველა ბუნებრივი პროცესის ენერგიის ძირითად წყაროს წარმოადგენს მზე. დედამიწამდე აღწევს მხის სხივური ენერგიის მხოლოდ მეორმილიარდედი ნაწილი. მიუხედავად

ამისა, მასთან შედარებით ყველა სხვა ბუნებრივი წყაროს სიმძლავრე, მათ შორის ვარსკვლავთა გამოსხივება, კოსმოსური სხივები, მთვარის გამოსხივება და სხვ., უმნიშვნელოა.

საქართველოს ზოგადი ასტრო- და ფიზიკურ-გეოგრაფიული პირობები, როგორი რელიეფი და ატმოსფეროს მაღალი გამჭვირვალობა, ხელს უწყობს მზის სხივური ენერგიის დიდი რაოდენობით მოსვლას. მზის ნათების საშუალო წლიური ხანგრძლივობა, აჭარის გამოკლებით, ყველაზე აღმატება 2000 სთ-ს, აჭარაში კი კლებულობს 1800-1900 სთ-მდე. მზის ნათების ხანგრძლივობის მაღალი მაჩვენებლები დამახასიათებელია შირაქის ვაკისა (2556 სთ) და აღმოსავლეთ საქართველოს ცალკეული რაიონებისათვის – თელავი (2465 სთ), მუხრანი (2461 სთ), ახმეტა (2392 სთ). მზის ნათების ხანგრძლივობის წლიურ სვლაში, ცხადია, მაქსიმუმი ზაფხულის თვეებში აღინიშნება და მერყეობს 216 სთ-დან (ანასეული) 348 სთ-მდე (გარდაბანი) ფარგლებში.

დედამიწაზე მოსული მზის პირდაპირი რადიაციის წლიური მნიშვნელობა 115-140 კკალ/კვ. სმ-ს შეადგენს. მისი სიდიდე დამოკიდებულია, როგორც ადგილის სიმაღლეზე და წლიწადის დროზე, ისე ჰაერის ტენიანობაზე, ღრუბლიანობაზე, ატმოსფეროს სისუფთავესა და გამჭვირვალობაზე. წლის განმავლობაში მზის ნათების ხანგრძლივობის ცვალებადობის გამო იცვლება პირდაპირი რადიაციის ინტენსივობის და დღეღრამური სვლის ხასიათი. ამასთანავე, პირდაპირი რადიაციის სვლა ჰორიზონტალურ და ვერტიკალურ ზედაპირებზე, დაცემის განსხვავებული კუთხების გამო, განსხვავებულია. ეს განსხვავება შენარჩუნებულია მთელი წლის განმავლობაში (ცხრილი 1.2.1).

ატმოსფეროში მზის პირდაპირი რადიაციის განხვის გამო, რადიაციის ნაწილი დედამიწამდე აღწევს განვეული რადიაციის სახით. განვეული რადიაციის ხვედრითი წილი მზის რადიაციის საერთო ნაკადში წლიური ჯამებისათვის უდრუბლო ცის პირობებში 15-20%-ს, ხოლო მნიშვნელოვანი მოღრუბლულობის პირობებში - 40-60%-ს შეადგენს.

ცხრილი 1.2.1. მზის პირდაპირი რადიაციის თვიური ჯამები სხივებისადმი მართობულ

(ა) და ჰორიზონტალურ (ბ) ზედაპირზე. კბალ/კვ.სმ, (Я.А.Цуцкиридзе, 1967)

პუნქტი	თვეები											
	I	ია	იაა	ია	ი	ია	იაა	იააა	ია	ი	ია	იIII
თბილისი -ა	5,3	5,9	9,0	10,7	12,7	15,7	15,7	15,5	12,4	9,9	5,6	5,1
	1,9	2,7	5,0	6,9	9,0	11,3	11,1	10,4	7,4	4,9	2,2	1,1
ყაზბეგი -ა	10,6	12,6	16,3	16,2	18,3	20,0	19,7	18,3	16,7	13,7	11,8	9,7
	3,7	5,5	7,6	10,1	12,9	13,2	13,0	11,9	9,7	7,0	5,1	3,0
სოხუმი -ა	6,2	6,6	9,9	10,0	13,7	15,4	18,0	17,4	14,2	11,7	8,7	5,4
	2,2	2,8	5,5	6,5	9,5	10,6	12,7	11,8	8,4	5,6	3,3	1,7

უფრო მეტიც, ზამთრის თვეებში გაბნეული რადიაცია აღემატება პირდაპირ რადიაციას. ასე მაგალითად, ი.ც.უცქირიძის (1967) მონაცემებით თბილისში გაბნეული რადიაცია ნოემბერში შეაღებნს პირდაპირი რადიაციის 109%-ს, დეკემბერში-118%-ს, იანვარში-126%-ს და თებერვალში-115%-ს. სოხუმისათვის შესაბამისად: დეკემბერში- 124%-ს, იანვარში-114%-ს და თებერვალში- 104%-ს.

პირდაპირი და გაბნეული რადიაციების სახით დედამიწის ზედაპირზე მოსული მოკლეტალლოვანი რადიაცია შეაღებნს მზის ჯამურ რადიაციას. ჯამური რადიაცია აგრეთვე ხასიათდება მკვეთრად გამოხატული წლიური სვლით, მაქსიმუმით ზაფხულში (15-20 გკალ/კვ.სმ თვეში) და მინიმუმით ზამთარში (3,6-5,6 გკალ/კვ.სმ თვეში). ჯამური რადიაციის წლიური მნიშვნელობა ტერიტორიის უდიდეს ნაწილზე 115-155 გკალ/კვ.სმ ფარგლებში იცვლება (ნახ.1.2.1).

საქართველოს პირობებში მზის ჯამური რადიაციის ცვლილება სიმაღლის მიხედვით აღიწერება წრფივი კანონით;

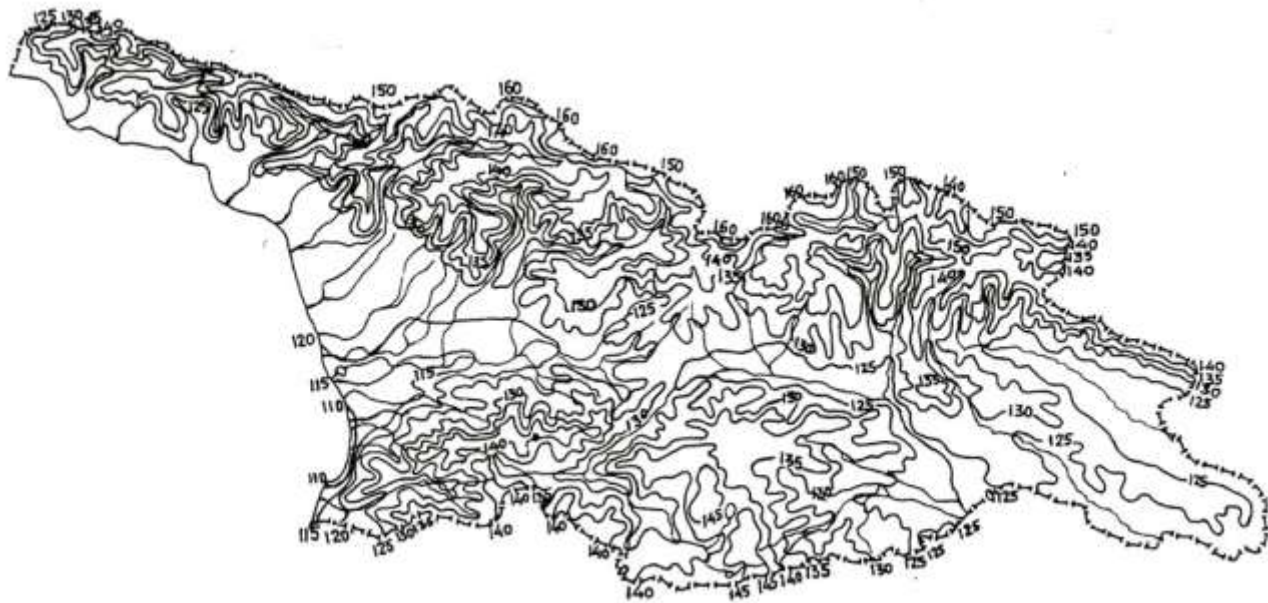
$$Q(H)=Q(0)+kH, \quad (1.2.1)$$

სადაც H -სიმაღლეა ზღვის დონედან მეტრებში, $Q(H)$ - ჯამური რადიაცია H სიმაღლეზე, $Q(0)$ - ჯამური რადიაციაა ექსტრაპოლირებული ზღვის დონეზე, k -კოეფიციენტია (ცხრილი 1.2.2).

ცხრილი 1.2.2. სტატისტიკური პარამეტრები (1.2.1)

ფორმულისათვის

რაიონი	$Q(0)$	k
დასავლეთ კავკასიონის სამხრეთ ფერდობი	115	რ0,01
ცენტრალური კავკასიონის სამხრეთ ფერდობი	120	0,01
აღმოსავლეთ კავკასიონის სამხრეთ ფერდობი	125	0,005
თრიალეთის ქედი	115	0,0125
ჯავახეთის მთანეთი	120	0,01



ნახ.1.2.1. მზის ჯამური რადიაცია. გვალ/კვ.სმ წელიწადში
(Н.С.Гвасалия ,1986)

ცხრილში წარმოდგენილი სტატისტიკური
პარამეტრების გამოყენებით ჩატარებული მარტივი
გაანგარიშებების საფუძველზე შეგვიძლია დავასკვნათ, რომ
კავკასიონის მაღალმთიან ზონაში, ზღვის დონედან 4-5კმ
სიმაღლეზე წლიური ჯამური რადიაცია აღემატება 160-
170 კკალ/კვ.სმ-ს, საქართველოს სამხრეთ მთიანეთში არ
აღემატება 140-160 კკალ/კვ.სმ-ს, აღმოსავლეთ საქართველოს
ბარში შეადგენს 120-130 კკალ/კვ.სმ-ს, ხოლო კოლხეთის
ბარში 120 კკალ/კვ.სმ-ზე ნაკლებია.

დედამიწის ზედაპირზე მოსული ჯამური რადიაციის
ნაწილი აირეკვლება. **არეკვლილი რადიაციის** შეფარდება
დაცემულ რადიაციასთან (ალბედო) დამოკიდებულია მზის
სხივების დაცემის კუთხეზე, ზედაპირის თვისებებზე, მის
ფერზე, დანაწევრებაზე, მცენარეულ საფარზე და მრავალ
სხვა ფაქტორზე. ი.ცუცქირიძის(1967) გამოკვლევებით
თბილისში სამუალო წლიური ალბედო ნიადაგის
მოშიშვლებული ზედაპირისთვის შეადგენს 16%-ს, ბუნებრივი
საფარისთვის-21%-ს, თოვლისთვის-40-95%-ს, ხოლო
წყლისთვის-7-12%-ს. **6.გვასალიას(1986)** თანახმად
ფოთლოვანი ტყეებისთვის ალბედო შეადგენს 15-20%-ს,
წიწვოვანთავის-10-15%-ს, კოლხეთის დაჭაობებული
ნიადაგებისთვის-16-35%-ს. ალბედოს წლიური სვლა
ჩვეულებრივ სუსტად არის გამოხატული.

შთანთქმული რადიაციის სივრცობრივ განაწილებაში
საქართველოს ტერიტორიაზე რამოდნიმე ვერტიკალური
ზონა გამოიყოფა. მთიანი ზონა ზღვის დონედან 1000მ-ზე
მაღლა ხასიათდება შთანთქმული რადიაციის მკვეთრად
გამოხატული წლიური სვლით, მაქსიმუმით ზაფხულში
(13 კკალ/კვ.სმ თვეში) და მინიმუმით დეკემბერში (1-
3 კკალ/კვ.სმ თვეში). ზღვის დონედან 1000მ-ზე დაბლა
განლაგებულ რაიონებში შთანთქმული რადიაციის წლიური
სვლა გათანაბრებულია. შთანთქმული რადიაციის თვიური
ჯამები აქ 89-93 კკალ/კვ.სმ-ს შეადგენს, ხოლო კოლხეთის
ბარში რადიაციის სიდიდე იზრდება 95 კკალ/კვ.სმ-მდე თვეში.
მზის პირდაპირი და გაბნეული რადიაციების გარდა
ატმოსფეროს კვეთენ ერთმანეთის საპირისპიროთ მიმირთული
დედამიწის ზედაპირის და ატმოსფეროს მიერ გამოსხივებული

გრძელტალღოვანი რადიაციის ნაკადები. სხვაობა მათ შორის წარმოადგენს ეფექტურ გამოსხივებას.

ი.ცუცქირიძის(1967) თანახმად საქართველოს ტერიტორიისათვის ეფექტური გამოსხივება წლის განმავლობაში 33-49 კგალ/კვ.სმ-ს შეადგენს. ნ.გვასალიას (1986) მონაცემებით კოლხეთის ბარში ეფექტური გამოსხივება 32-38 კგალ/კვ.სმ-ია წელიწადში, რაც განპირობებულია მომატებული ღრუბლიანობით და მაღალი ტენიანობით. !500-2500გ ზონაში ეფექტური გამოსხივება იზრდება და შეადგენს 40-44 კგალ/კვ.სმ-ს. ეფექტური გამოსხივების წლიურ სვლაში მინიმუმი იანვარ-დეკემბერში მყარდება და იცვლება 2,1 კგალ/კვ.სმ-დან (ანასეული, აბასოუმანი) 3,2 კგალ/კვ.სმ-დე (ყაზბეგი მაღალმთიანი) ფარგლებში. მაქსიმუმის დადგომა მნიშვნელოვნად არის დამოკიდებული ფიზიკურ-გეოგრაფიულ პირობებზე. ასე მაგალითად, სოხუმში ეფექტური გამოსხივების მაქსიმუმი ნოემბერში (3,4 კგალ/კვ.სმ), თბილისში-ივლისში (5,2 კგალ/კვ.სმ), ხოლო ყაზბეგში-აპრილში (4,7 კგალ/კვ.სმ) აღინიშნება.

მზის სხივური ენერგიის შემოსავალ-გასავალი, რომელსაც შთანთქავს და გამოასხივებს დედამიწის ზედაპირი, ქმნის რადიაციულ ბალანსს. რადიაციული ბალანსის შემოსავალ ნაწილს შეადგენს მზის პირდაპირი და გაბნეული რადიაციები, აგრეთვე ატმოსფეროს გრძელტალღოვანი გამოსხივება, რომელიც შთანთქმევა დედამიწის მიერ. გასავალ ნაწილს კი განსაზღვრავს

ცხრილი 1.2.3. რადიაციული ბალანსის ჯამები.კპალ/კგ.სმ (Н.С.Гвасалия, 1968)

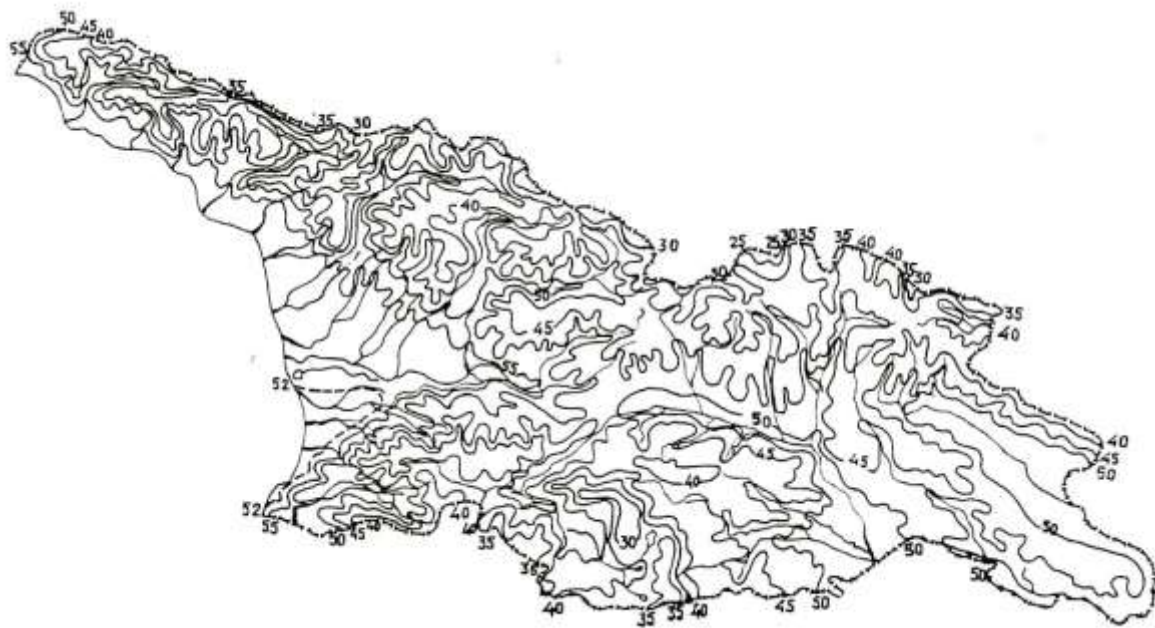
პუნქტი	თვეები												
	I	რა	რაბი	რბ	თ	თა	თაბი	თაბი	რს	ს	სა	საბი	წელი
ყაზბეგი მ/მთ	-1,4	-0,3	0,2	1,6	2,2	5,7	8,3	6,9	2,5	0,4	0,5	-0,7	25,3
თბილისი	-0,1	1,1	4,1	5,1	7,0	8,8	7,8	6,8	6,3	3,4	0,8	-0,2	50,9
აბასთუმანი	-0,7	1,1	2,4	3,7	7,0	7,6	7,2	7,0	4,8	3,6	4,0	-0,8	43,9
შოვი	-0,7	0,9	2,2	4,9	7,8	8,5	9,0	8,4	4,5	2,7	0,7	-0,7	48,2
ბახმარო	-1,2	0,8	3,6	4,3	8,4	8,4	8,7	6,3	3,6	3,0	1,1	-0,2	46,8
ანასული	0,9	1,9	4,1	6,3	7,3	7,7	6,9	5,6	5,3	4,0	2,4	0,6	53,5
სოხუმი	0,9	2,6	4,1	5,4	6,6	8,2	7,4	5,9	5,1	3,6	2,9	0,9	53,4

დედამიწის ზედაპირის საკუთარი სიტბური გამოსხივება. აქედან გამომდინარე რადიაციული ბალანსი შეიძლება იყოს როგორც დადებითი, ისე უარყოფითი. ეს კარგად ჩანს ცხრილიდან 1.2.3.

ცხრილიდან გამომდინარეობს აგრეთვე, რომ დასავლეთ საქართველოს ზღვისპირა ზოლში (სოხუმი, ანასული) რადიაციული ბალანსის წლიური მნიშვნელობანი აღმატება აღმოსავლეთ საქართველოსათვის დამახასიათებელ შესაბამის მნიშვნელობებს. ეს შეიძლება აიხსნას ეფექტური გამოსხივებისა და ალბედოს მნიშვნელობათა განსხვავებით დასავლეთ და აღმოსავლეთ საქართველოში. რადიაციული ბალანსის უდიდესი მნიშვნელობები სწორედ კოლხეთის ბარში აღინიშნება (ნახ.1.2.2).

სიმაღლის ზრდით რადიაციული ბალანსის სიდიდე მცირდება და დაახლოებით 4-4,5ქ სიმაღლეზე უარყოფითი ხდება. ზღვის დონედან 1000მ სიმაღლეზე რადიაციული ბალანსი აღმოსავლეთ კავკასიონზე შეადგენს 47 კპალ/კვ.სმ.-ს, ხოლო დასავლეთ კავკასიონსა და მცირე კავკასიონზე-50 კპალ/კვ.სმ-ს; 2000მ სიმაღლეზე რადიაციული ბალანსი კავკასიონის სამხრეთ ფერდობზე 38-39 კპალ/კვ.სმ-ია, მცირე კავკასიონზე კი-46 კპალ/კვ.სმ-ია; 3000მ სიმაღლეზე დასავლეთ კავკასიონზე რადიაციული ბალანსი 23, ხოლო აღმოსავლეთ კავკასიონზე-28 კპალ/კვ.სმ-ს შეადგენს; 4000მ სიმაღლეზე შესაბამისად გვაქვს 5 და 7 კპალ/კვ.სმ.

წლიურ სვლაში რადიაციული ბალანსის უდიდესი მნიშვნელობები ზაფხულში აღინიშნება. 500-1500მ სიმაღლეთა ინტერვალში მისი თვიური ჯამი 8-10-ს, ხოლო 3500მ სიმაღლეზე და უფრო მაღლა- 5-6 კპალ/კვ.სმ-ს შეადგენს. ზამთარში 400-500მ სიმაღლიდან რადიაციული ბალანსი უარყოფითია. 500-დან 1000მ ზონაში რადიაციული



ნახ.1.2.2. დედამიწის ზედაპირის რადიაციული ბალანსი. გგალ/გვ.სმ წელიწადში
(Н.С.Гвасалия, 1986)

ბალანსი შეადგენს მინუს 0,3-1,2 კგალ/კვ.სმ-ს., ხოლო 1000-1500მ ზონაში-მინუს 1,5-2,3 კგალ/კვ.სმ-ს.

დედამიწის მიერ მიღებული მზის სხივური ენერგია გარდაიქმნება სითბურ ენერგიად, რომელიც იხარჯება აორთქლებაზე, ტურბულენტურ სითბოცვლაზე ნიადაგსა და ატმოსფეროს შორის, და ნიადაგში სითბოს გადაცემაზე. საშუალოდ წლის განმავლობაში სითბოს ნაკადი ნიადაგში ნულის ტოლია.

აორთქლებაზე დახარჯული სითბოს რაოდენობის მაღალი მნიშვნელობები აღინიშნება კოლხეთის ბარში და შეადგენს 45-50 კგალ/კვ.სმ-ს წელიწადში. ეს განპირობებულია რადიაციული ბალანსის და ატმოსფერული ნალექების მაღალი მნიშვნელობებით. სიმაღლის მიხედვით დახარჯული სითბოს რაოდენობა კანონზომიერად მცირდება (ცხრილი 1.2.4).

განსაკუთრებული კანონზომიერებით ხასიათდება აორთქლებაზე დახარჯული სითბოს რაოდენობის ცვლილება ცენტრალურ კავკასიონსა და აღმოსავლეთ საქართველოში მთლიანად. კერძოდ, რადიაციული ბალანსისა და ატმოსფერული ნალექების სიუხვის გამო 1300-1500მ სიმაღლის ზონაში იქმნება აორთქლებისათვის ხელსაყრელი პირობები.

ტურბულენტური ცვლის უდიდესი მნიშვნელობები დამახასიათებელია ქვემო ქართლის მშრალი რაიონებისათვის, სადაც მისი წლიური სიდიდეები 15-20 კგალ/კვ.სმ-ს შეადგენს, ხოლო უმცირესი მნიშვნელობები-კოლხეთის ბარისათვის, აჭარის და აფხაზეთის ზღვისპირეთისათვის, და მაღალმთიანი რაიონებისათვის.

ცხრილი 1.2.4. აორთქლებაზე დახარჯული სითბოს (LE) და სითბოს ტურბულენტური ნაკადის (P) ცვლილება სიმაღლის მიხედვით. კკალ/კვ.სმ (H.C.Гвасалия, 1986)

ოლქი	სიმაღლე, მ							
	500	1000	1500	2000	2500	3000	3500	4000
დასავლეთკავკასიონი LE P	41,5	37,2	34,2	30,0	25,6	19,4	12,6	5,0
	11,0	12,6	11,0	8,2	6,2	3,7	1,1	0,2
ცენტრალური კავკასიონი	LE	34,8	39,0	34,2	27,0	22,2	18,0	13,8
		13,3	8,2	10,3	12,7	13,1	10,2	4,4
								0,5

1.3. ატმოსფეროს ცირკულაციური პროცესები

ატმოსფეროს ზოგადი ცირკულაციის კანონზომიერებებიდან გამომდინარე ტროპოსფეროში გაბატონებულია ტროპიკებიდან პოლუსებისაკენ მიმართული ჰორიზონტალური ბარიული გრადიენტები, რაც დედამიწის ბრუნვით გამოწვეული გადამხრელი ძალის მოქმედებით განაპირობებს ტროპოსფეროსა და ქვედა სტრატოსფეროში დასავლეთის ქარებს. ატმოსფეროს ძირითადი მასა ასრულებს ბრუნვით მოძრაობას დასავლეთიდან აღმოსავლეთისაკენ და უსწრებს დედამიწის საკუთარ ბრუნვას იმავე მიმართულებით. ეს მოვლენა კარგად არის გამოხატული ტროპოსფეროს მაღალ ფენებში საქართველოს ტერიტორიაზეც. ამას ადასტურებს ი.კვარაცხელიას(1971) გამოკვლევები, რომლის თანახმადაც 3-6კმ სიმაღლეზე გაბატონებულია სამხრეთ-დასავლეთის, დასავლეთის და ჩრდილო-დასავლეთის მიმართულებები, ანუ ის მიმართულებები, რომლებიც დამახასიათებელია ზომიერი განედებისათვის. აღნიშნულ მიმართულებათა ქარების ჯამური განმეორადობა 5კმ სიმაღლეზე ი.კვარაცხელიას მონაცემებით შეადგენს 70%-ს. ტროპოსფეროს ქვედა ფენებში ცირკულაციის ხასიათზე დიდ გავლენას ახდენს კავკასიონის ძირითადი ქედების მიმართულებანი, ისინი პრაქტიკულად განსაზღვრავნი ჰაერის მასების გადაადგილებათა ტრაექტორიებს-გაბატონებულია დასავლეთის და აღმოსავლეთის მიმართულების ქარები. სწორედ ჰაერის მასების ამ ორი მიმართულებიდან შემოჭრასთან არის დაკავშირებული ამინდის მკვეთრი ცვლილებები როგორც საქართველოში, ისე მთლიანად ამიერკავკასიაში. კავკასიონის მთავარი ქედი პრაქტიკულად გადაულახავი წინაღობაა ჩრთილოეთიდან წამოსული ჰაერის მასებისათვის. სამხრეთიდან წამოსული ჰაერის მასები კი მცირე კავკასიონზე სუსტდებიან და თავისეფლად ვრცელდებიან მხოლოდ ატმოსფეროს მაღალ ფენებში

ცხრილი 1.3.1 ატმოსფერული პროცესების ძირითადი ტიპების განმეორადობა.%.
(E.A. Напетваридзе, 1949)

სეზონი	ციმბირის ანტიციკლონი	ნმელთაშუა ზღვის ციკ ლონი	ჰაზორის ანტიციკლ ონი	შპოლარული აუზის ანტიციკლონი	ტალლური აღრევა	ადგილო ბრივი ანტიციკ ლონი
ზამთარი	19	25	5	11	5	29
გაზაფხული	1	23	19	12	11	14
ზაფხული	0	5	23	6	34	15
შემოდგომა	4	13	11	20	11	25

ცხრილი 1.3.2. ძირითადი სინოპტიკური პროცესების განმეორადობა. %. (შ.ჯავახიშვილი, 1981)

სეზონი	დასავლეთის შემოჭრა	ციკლონები და ოკლუტიის ფრონტები	აღმოსავლეთის შემოჭრა	ორშერივი შემოჭრა	ტალლური აღრევა სამხრეთში
ზამთარი	32	22	20	7	19
გაზაფხული	38	14	12	2	34
ზაფხული	54	5	0	0	41
შემოდგომა	39	9	17	5	30

ატმოსფეროში მიმდინარე სინოპტიკური პროცესების მთელი მრავალფეროვნება შეიძლება დაყვანილ იქნას 5 ძირითად ტიპზე – დასავლეთის, აღმოსავლეთის, ორშერივი შემოჭრების, ანტიციკლონალურ და ტალღურ აღრევაზე ამიერკავკასიის სამხრეთში განლაგებულ ფრონტზე. ამ პროცესების განვითარება დაკავშირებულია ჩრდილოეთ ნახევარსფეროს ბარიული ველის სტრუქტურასთან. კერძოდ, საქართველოს ტერიტორიისათვის ცირკულაციის პირობებს განსაზღვრავს ციმბირის ანტიციკლონი, ხმელთაშუაზღვის ციკლონები, აზორის ანტიციკლონი, პოლარული აუზის ანტიციკლონი, ტალღური აღრევები პოლარულ ფრონტზე და ადგილობრივი ანტიციკლონი. თითოეული ამ პროცესთაგანის განმეორადობა იცვლება წლის სეზონზე დამოკიდებულებით (ცხრილი 1.3.1).

ზამთრის ცირკულაციაში წამყვანი როლი მიეკუთვნება ციმბირის ანტიციკლონს, ხმელთაშუაზღვის ციკლონს და აგრეთვე პოლარული აუზის ანტიციკლონს. ამ პირობებში განვითარებული ცირკულაცია განაპირობებს უმთავრესად ჰაერის მასების დასავლეთიდან და აღმოსავლეთიდან შემოჭრებს. ზაფხულში აზორის ცენტრის მოქმედების გააქტიურების გამო ძლიერდება ცირკულაციის დასავლეთის მდგრელი (ცხრილი 1.3.2).

დასავლეთის პროცესები წლის თბილ პერიოდში იწვევს ტემპერატურის დაცემას, ნალექებს, ქარისა და ელჭექის გაძლიერებას. შ.ჯავახიშვილის გამოკვლევების თანახმად ერთი დასავლეთის შემოჭრის დროს დასავლეთ საქართველოში მოსული ნალექების რაოდენობამ შეიძლება შეადგინოს 60-430მმ, ხოლო აღმოსავლეთ საქართველოში- 2-160მმ.

აღმოსავლეთის შემოჭრის დროს აღმოსავლეთ საქართველოში კლებულობს ტემპერატურა, წარმოიქმნება ღრუბლები, ნისლი და ნალექები. დასავლეთ საქართველოში ხშირად ძლიერი აღმოსავლეთის შემოჭრის დროსაც კი შენარჩუნებულია ნათელი და მშრალი ამინდი მაღალი ტემპერატურებით.

ჰაერის მასების ორმხრივი შემოჭრა საქართველოს ტერიტორიაზე ძალზე იშვიათია. ამ დროს დასავლეთ

საქართველოში მოდის საშუალოდ 130მმ, ხოლო აღმოსავლათში-80მმ ნალექი.

დასავლეთის და აღმოსავლეთის პროცესების დასკვნით სტადიას წარმოადგენს ადგილობრივი ანტიციკლონალური ოლქი, რომელიც წარმოიქმნება ამიერკავკასიის ცენტრალურ რაიონებზე, ეს პროცესი განაპირობებს საქართველოში მშრალ ამინდს დაბალი ტემპერატურებით ზამთარში და მაღალი ტემპერატურებით ზაფხულში. დასავლეთ საქართველოში, განსაკუთრებით რიონის ხეობაში ქრის ძლიერი ქარი.

დასავლეთის და ორმხრივი შემოჭრების უშუალო გაგრძელებას წარმოადგენს ტალღური აღრევა ამიერკავკასიის სამხრეთში. ის ინტენსიურ განვითარებას აღწევს აღმოსავლეთ ამიერკავკასიაში, ამიტომაც აღმოსავლეთ საქართველოში უფრო მეტი ნალექი მოდის ვიზრე დასავლეთში.

ე.ნაფერგარიძემ(1949) და კ.პაპინაშვილმა(1963) განიხილეს ამინდის განსაკუთრებული პირობების გამომწვევი მიზეზები, კერძოდ მათ გამოიკვლიეს უხვი ნალექების და მშრალი პერიოდების სინოპტიკურ-აეროლოგიური პირობები, და დაადგინეს მშრალი პერიოდების ჩამოყალიბების სამი ძირითადი პროცესი-აზორის, პოლარული და შერეული. მაღლივი-სინოპტიკური რუკების ანალიზის საფუძველზე დადგინდა, რომ საქართველოში მშრალი პერიოდები ყალიბდება პოლარული პროცესების 70% შემთხვევაში, შერეული პროცესების 30% შემთხვევაში და აზორის პროცესების 15% შემთხვევაში (ე.ელიზბარაშვილი, ზ.ჭავჭანიძე, 1992).

მაღლივი თერმობარიული ველების შესწავლის საფუძველზე კ.გოგიშვილმა(1974) ცირკულაციის მთელი მთელი მრავალსახეობა განაზოგადა სამ კლიმატო-გენეტიკურ ტიპად: ზონალურ (დასავლეთის და აღმოსავლეთის მდგრელებით), მერიდიანულ (ჩრდილოეთის და სამხრეთის მდგრელებით) და ანტიციკლონალურ მდგომარეობად. აქ ზონალურ ტიპში გაერთიანებულია პროცესები, რომლებიც ტერიტორიაზე გადაინაცვლებს დასავლეთიდან აღმოსავლეთისაკენ ან აღმოსავლეთიდან დასავლეთისაკენ. ამათგან, პირველი დაკავშირებულია აზორის ანტიციკლონის

ან მისი აღმოსავლეთის თხემის გავლენასთან, ხოლო მეორე – აზიის (კიმბირის) ანტიციკლონთან ან მისი სამხრეთ-დასავლეთ თხემის გავლენასთან. მერიდიანულ ზემოქმედებად მიჩნეულია პროცესები, რომლებიც გამოწვეულია ჩრდილო-დასავლეთიდან, ჩრდილოეთიდან ან ჩრდილო-აღმოსავლეთიდან შემოჭრით, აგრეთვე პროცესები, რომლებიც გამოწვეულია ხმელთაშუა ზღვის ციკლონისა და სამხრეთიდან ფრონტალური აღრევების გავლენით ამიერკავკასიაში.

ფრონტალური და შიდმასიური ამინდების ხასიათი დასავლეთ და აღმოსავლეთ საქართველოში განსხვავებულია. შიდამასიური ამინდების განმეორადობა აღმოსავლეთ საქართველოში უფრო მეტია, ვიდრე დასავლეთში, ხოლო ფრონტალური ამინდების განმეორადობა პირიქით, დასავლეთში უფრო მეტია ვიდრე აღმოსავლეთ საქართველოში. ეს გამოწვეულია ფრონტალური პროცესების შესუსტებით აღმოსავლეთ საქართველოში ლიხის ქედის გადალახვის შემდეგ.

1.4. შავი ზღვა

საქართველოს დასავლეთიდან შავი ზღვა ესაზღვრება. ის დიდ გავლენას ახდენს არა მხოლოდ მიმდებარე ტერიტორიის, არამედ მთლიანად დასავლეთ საქართველოს ჰავაზე. შავი ზღვის აკვატორიის ჰავა საქართველოს სანაპიროსთან განისაზღვრება მისი გეოგრაფიული მდებარეობით, რადიაციული და ატმოსფეროს ზოგადი ცირკულაციური ფაქტორებით, და სუბტროპიკულ ხასიათს ატარებს.

შავი ზღვის აკვატორიის კლიმატური თავისებურებები უპირველეს ყოვლისა წყლის ზედაპირის რადიაციული თვისებებით აიხსნება. ზღვის ზაღაპირის ალბედო ხმელეთისაგან განსხვავებით, დამატებით კიდევ ორი ფაქტორის- წყლის გამჭვირვალობის და ზედაპირის მდგომარეობის (ტალღების გარეშე, ტალღიანი) ფუნქციას წარმოადგენს, ამიტომაც მისი არეკვლისუნარიანობა კლებულობს და შესაბამისად შთანთქმული რადიაცია მატულობს. რ.სამუკაშვილის მონაცემებით შავი ზღვის აკვატორია (ბათუმი-სოხუმის სექტორში) შთანთქავს საშუალოდ 20%-ით მეტ მზის სხივურ ენერგიას ზღვისპირა

ხმელეთის ზოლთან შედარებით, რაც თავის მხრივ მნიშვნელოვან კლიმატურ ფაქტორს წარმოადგენს.

ატმოსფეროს ზოგადი ცირკულაციის პირობები ზღვაზე განისაზღვრება ბარიული ცენტრების მოქმედების ინტენსივობით და მდგრადიობით. ზამთარში, როდესაც აზიის ანტიციკლონი ვრცელდება ევროპის აღმოსავლეთ ნაწილში, შავ ზღვაზე წარმოიქმნება მდგრადი ძლიერი ქარები, რომელთაც მოაქვთ ზომიერი განედების ცივი და მშრალი კონტინენტური ჰაერი. აზიის ანტიციკლონის შესუსტება იწვევს შავ ზღვაზე ციკლონური მოქმედების გააქტიურებას, რაც განაპირობებს ტემპერატურის გაზრდას და უხვ ნალექებს. ზაფხულში შავი ზღვა იმყოფება სუბტროპიკული ანტიციკლონის გავლენის ქვეშ და ყალიბდება წყარო, უნალექო ამინდები. პოლარული ფრონტის გავლის დროს კი ვითარდება ციკლონები, რომლებიც ხელს უწყობენ ნალექების მოსვლას.

შავი ზღვის აკვატორიაზე მთელი წლის განმავლობაში ჰაერის და წყლის ტემპერატურები ახლოს არის ერთმანეთთან და ოცვლება 8° -დან 25° -მდე დიაპაზონში (ცხრილი 1.4.1). წლის ცივი პერიოდის განმავლობაში – სექტემბრიდან მარტის ჩათვლით, წყლის ტემპერატურა საშუალოდ $1-2^{\circ}$ -ით აღემატება ჰაერის ტემპერატურას, ხოლო წლის თბილი პერიოდის განმავლობაში სხვაობა ნაკლებია. მინიმალური ტემპერატურა აღინიშნება თებერვალში და ჰაერისათვის შეადგენს 7° -ს, ხოლო წყლისათვის – 9° -ს. მაქსიმალური ტემპერატურა აღინიშნება აგვისტოში და შეადგენს 25° -ს.

წყლის დინების საშუალო სიჩქარე მთელი წლის განმავლობაში საშუალოდ 0.4 მ/წმ-ზე ნაკლებია (ცხრილი 1.4.2). კერძოდ, ზაფხულში 1 მ-ზე ნაკლები სიმაღლის ტალღის განმეორადობა შეადგენს 70% -ს, ხოლო 3 მ-ზე მეტი სიმაღლის ტალღები ძალზე იშვიათია.

წყლის მარილიანობა წლის განმავლობაში უმნიშვნელოდ ოცვლება და შეადგენს $15-18 \frac{\%}{00}$ -ს. უდიდესი მარილიანობა დამახასიათებელია წლის ცივი პერიოდისათვის, ხოლო უმცირესი – წლის თბილი პერიოდისათვის (აპრილი). ცხრილში 1.4.3 წარმოდგენილია მარილების შემადგენლობა შავი ზღვის აკვატორიის სოხუმ-ბათუმის სექტორში.

**ცხრილი 1.4.1 შავი ზღვის აკვატორიის ბათუმის სექტორის კლიმატური
მახასიათებლები (ე.ელიზბარაშვილი, ზ.ქარსელაძე, 2003)**

მახასიათებელი	თ ვ ე ე ბ ი											
	ა	აბ	აბა	აბ	ნ	ნა	ნაბ	ნაბა	ას	ს	სა	საბ
ჰაერის საშ. ტემპერატურა	8,0	7,3	8,8	11,3	16,1	20,4	23,4	24,4	21,6	18,0	14,0	10,5
ჰაერის მაქს. ტემპერატურა	2,1	13	16	24	25	26	29	31	30	28	19	18
ჰაერის მინ. ტემპერატურა	0	1	1	4	10	12	13	18	13	7	1	1
წყლის ტემპერატურა $^{\circ}\text{C}$	10	9	9	11	16	21	24	25	23	19	15	12
ქარის საშ. სიჩქარე მ/წმ	4,6	3,9	4,3	3,0	3,0	2,9	3,1	3,1	3,6	4,0	3,4	4,6
ქარის მაქს. სიჩქარე მ/წმ	17	17	23	13	13	17	15	20	18	19	17	18
წყლის დინების სიჩქ. მ/წმ	0,4	0,3	0,2	0,3	0,3	0,3	0,2	0,15	0,15	0,3	0,2	0,2
ტალღის მაქს. სიძალვე, მ	10	10	9	8	8	8	8	8	7	8	11	11
წყლის მარილიანობა $\%$	18	18	18	15-17	16-17	16-17	16-17	17	18	17-18	18	18

ცხრილი 1.4.2 ზღვის ტალღის სიმაღლის
განმეორადობა . %.

(ე.ელიზბარაშვილი, ზ.ქარსელაძე, 2003)

სიმაღლე (მ)	ს ე ზ ო ნ ი			
	ზამთარი	გაზაფხული	ზაფხული	შემოდგომა
კ 1	27	45	70	42
1-2	43	40	24	42
2-3	20	12	5	12
3-6	9	3	1	4
უ6	1	0	0	0

ცხრილი 1.4.3 მარილების შემადგენლობა შავ ზღვაში

მარილი	გ/ლ ³	%
NaCl	26,86	78,33
KCl	0,58	1,69
NCl ₂	3,24	9,44
MgSO ₄	2,2	6,4
CaSO ₄	1,35	3,94
სხვა	0,07	0,2
სულ	34,3	100,0

მარილიანობა სიღრმის გაზრდით იზრდება და ფსკერთან $22,5\%$ -ს აღწევს.

შავი ზღვის მნიშვნელოვანი თავისებურება მასში გოგირდწყალბადის დიდი რაოდენობით შემცველობაა. 150 მ სიღრმეზე გოგირდწყალბადის კონცენტრაცია 0.5 სმ³/ლ, ხოლო ფსკერზე – 6.8 სმ³/ლ-ს შეადგენს.

უანგბადის შემცველობა 50 მ სიღრმეზე 5.7 სმ³/ლ, 75 მ-ზე – 2.76 სმ³/ლ, ხოლო 100 მ სიღრმეზე – 0.91 სმ³/ლ-ია. უგვე 175-225 მ სიღრმეზე უანგბადი პრაქტიკულად აღარ შეიმჩნევა.

ი.ხომერიკის(1999) მონაცემებით შავი ზღვის ზღაპრზე წლის განმავლობაში მოსული ნალექები წარმოქმნის 230კუბ.კმ წყალს, კონტინენტური ჩამონადენი წყალი შეადგენს 310კუბ.კმ-ს, აზოვის ზღვიდან შემოდის

30 კუბ.კმ წყალი, შავი ზღვის ზედაპირიდან ორთქლდება 360 კუბ.კმ, ხოლო ბოსფორის სრუტიდან ხმელთაშუა ზღვაში გადადის 210 კუბ.კმ მოცულობის წყალი.

შავი ზღვის დონის რეჟიმის ჩამოყალიბებაში პიდრომეტეოროლოგიურთან ერთად მნიშვნელოვნად მონაწილეობენ გეოლოგიური, ეკსტატიკური, ასტროფიზიკური და სხვა ფაქტორები.

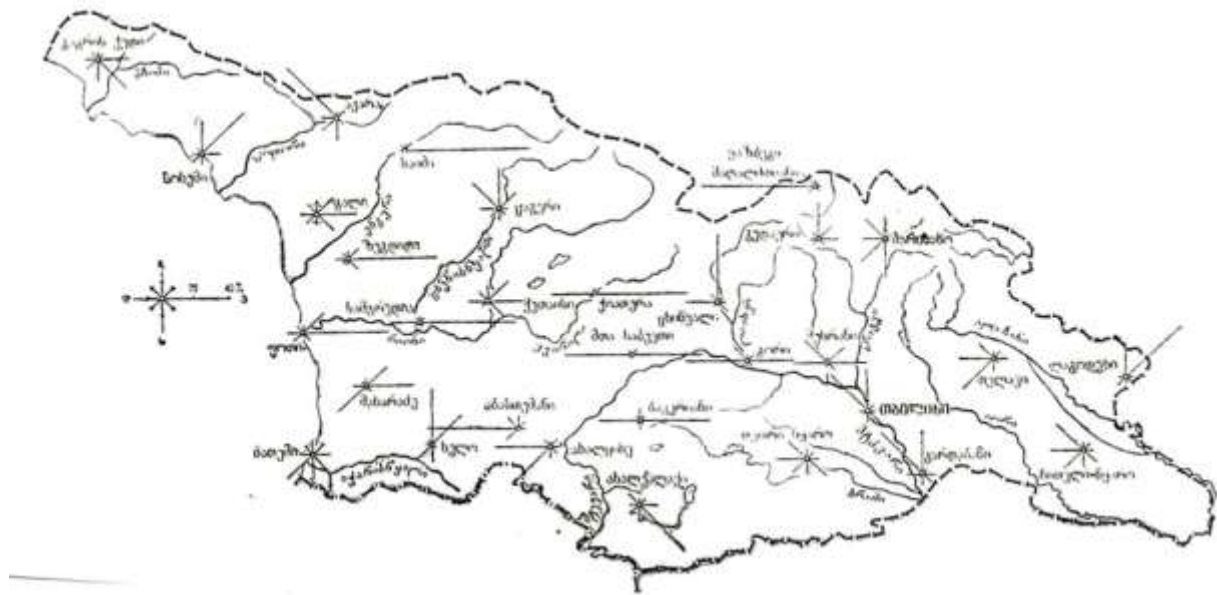
ზღვისა და ხმელეთის არათანაბარი გათბობა-გაცივების შედეგად წარმოიშვება თერმული ქარები – ბრიზები და მთაბარის ქარები. ბრიზული და მთა-ბარის ქარები ერთდროულად მოქმედებენ და ერთმანეთს აძლიერებენ. ამის გამო ძალზე მნელია აქ თითოეული მათგანის მოქმედების არეალის დადგენა. ბრიზული ცირკულაციის განვითარებაზე კარგად გამოიხატება ზღვიდან დაშორებისა და აბსოლუტური სიმაღლის გავლენა. აჭარისათვის ჩვენს მიერ ჩატარებულმა გამოკვლევებმა (ე.ელიზარაშვილი, ზ.ქარსელაძე, 2003) აჩვენა, რომ ზღვიდან ქარების მიმართულების განმეორადობის აშკარა უპირატესობა ხმლეთის ქარების განმეორადობასთან შედარებით აღინიშნება ზღვის დონიდან 500 მ სიმაღლემდე და მდინარე აჭარისწყლის ხეობაში 40 კმ სიღრმემდე. აქ ზღვიური ბრიზების გააქტიურება იწყება აპრილის დასასრულს და მთავრდება აგვისტოს დასასრულს. 700-800 მ სიმაღლეზე ზღვის ბრიზები მხოლოდ შუა ზაფხულში აღინიშნება. ამ კრიტიკულ ზღვარს შემდეგ ბრიზების მოქმედება შეუმჩნეველია.

თავი 2. მიწისპირა ქარის რეჟიმი და რესურსები

2.1. ქარის გაბატონებული მიმართულება

ჰაერის მასების საერთო დასავლეთის გადატანა ირლვევა საქართველოს ტერიტორიის ქვეფნილი ზედაპირის მოქმედების გავლენით, რაც განაპირობებს მიწისპირა ფენაში მეტად როგორ, თავისებურ ქარის რეჟიმს. ქარის გაბატონებული მიმართულება იცვლება ფიზიკურ-გეოგრაფიული პირობებების, წლის და დღელამის დონობებით. მისი დღელამური და სეზონური ცვალებადობა კარგად ვლინდება მთელ ტერიტორიაზე, რაც განპირობებულია ქარის მუსონური და მთა-ბარის ცირკულაციის ხასიათით(ნახ.2.1.1 და ნახ.2.1.2).

მიწისპირა ქარის ზონალური და მერიდიანული მდგენელების განაწილება სეზონურ ხასიათს ატარებს. ზამთარში საქართველოს ტერიტორიის დიდ ნაწილზე გაბატონებულია ქარის მდგენელების პირობითად უარყოფითი მიმართულებანი (M. ე. ელიზბარაშვილი, 1995)- აღმოსავლეთიდან დასავლეთისაკენ და ჩრდილოეთიდან სამხრეთისაკენ. კერძოდ, დასავლეთ საქართველოში ჭარბობს ჰაერის მასების გადაადგილება ხმელეთიდან ზღვისკენ, რაც ცირკულაციის მუსონური ხასიათით აიხსნება. ქარის მერიდიანული მდგენელის უარყოფითი მიმართულების გამო შავი ზღვიდან წამოსული ნოტიო ჰაერის მასები უმთავრესად ჩრდილო-დასავლეთიდან ვრცელდება. სწორედ ამიტომ ამ დროს ყველაზე ნალექიანი ადგილებია მესხეთის ქედის ჩრდილო-დასავლეთი ფერდობი და ბათუმის მიმდებარე ტერიტორია. აღმოსავლეთ საქართველოში ქარის სიჩქარის ზონალურ მდგენელს უმთავრესად დადებითი მიმართულება გააჩნია ე.ი. გაბატონებულია დასავლეთის ცირკულაცია.



2.1.1 ქარის მიმართულება. იანვარი (შ.ჯავახიშვილი, 1977)



ნახ.2.1.2 ქარის მიმართულება. ივლისი (შ.ჯავახიშვილი, 1977)

გაზაფხულზე სურათი არსებითად იცვლება. დასავლეთ საქართველოში ტერიტორიის დიდ ნაწილზე გაბატონებულია ქარის ძღვენელების დადებითი მიმართულებანი, ანუ დასავლეთიდან აღმოსავლეთით და სამხრეთიდან ჩრდილოეთით, რაც განაპირობებს ქარის სიჩქარის მოდულის სამხრეთ დასავლეთის მიმართულების სიჭარბეს. აღმოსავლეთ საქართველოს ცალკეულ რაიონებში ქარის სიჩქარის მდგენელების დადებითი მიმართულებანი შენარჩუნებულია, ტერიტორიის დიდ ნაწილზე კი გაბატონებულია აღმოსავლეთის ცირკულაცია.

ზაფხულში საქართველოს ტერიტორიის თთქმის მთელ ნაწილზე გაბატონებულია ქარის ზონალური მდგენელის დადებითი მიმართულება-დასავლეთიდან აღმოსავლეთისაკენ. რაც შეეხება მერიდიანულ მდგენელს, დასავლეთ საქართველოში ის უმთავრესად დადებითია, ხოლო აღმოსავლეთში -უარყოფითი, ანუ ქარი მიმართულია შესაბამისად ჩრდილოეთისაკენ და სამხრეთისაკენ. სწორედ ამიტომ გაზაფხულსა და ზაფხულში დასავლეთ საქართველოს ხეობებში იქმნება ჰაერის აღმავალი დინებების საუკეთესო პირობები(მ.ელიზბარაშვილი, 1995).

შემოდგომაზე საქართველოს ბარში ქარის მიმართულების ზონალური მდგენელი ხდება უარყოფითი-მიმართულია დასავლეთისაკენ, ხოლო მთებში ჯერ კიდევ შენარჩუნებულია დადებითი მიმართულება. მიწისპირა ქარის მერიდიანული მდგენელი დასავლეთ საქართველოში კვლავ უარყოფითი ხდება და მიმართულია სამხრეთისაკენ, ხოლო აღმოსავლეთ საქართველოში დადებითია და მიმართულია ჩრდილოეთისაკენ.

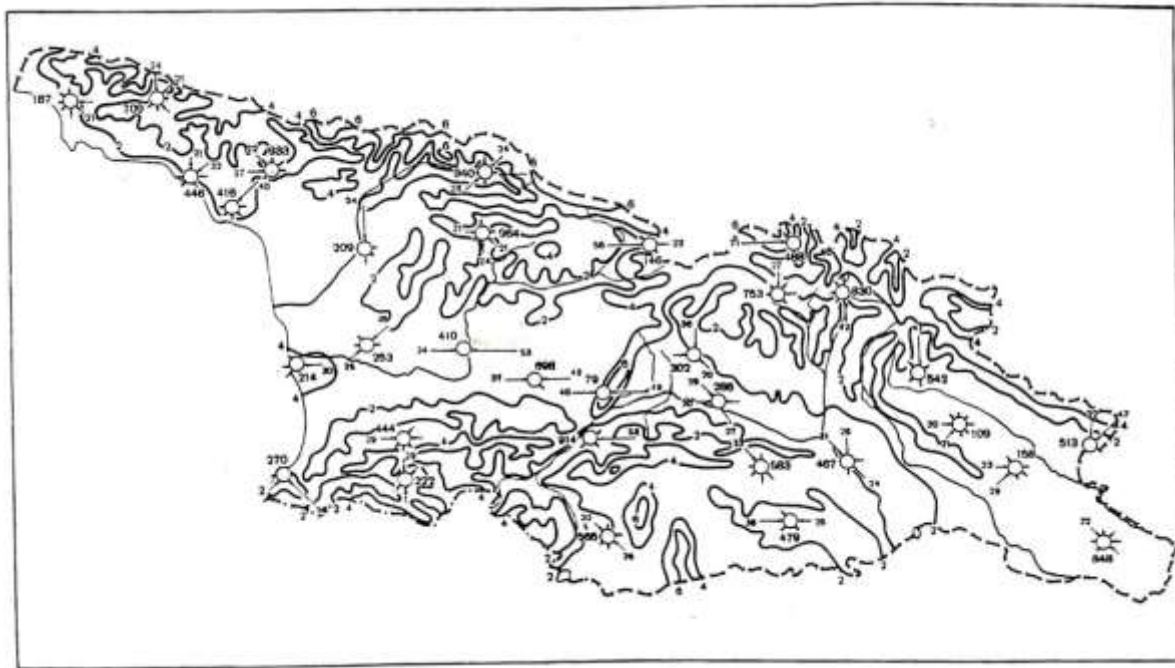
აქ ყველგან ქარის მიმართულება განისაზღვრება კოორდინატთა ღერძების მიმართულებით ჰარალელისა და მერიდიანის გასწვრივ (M.ე.ელიზბარაშვილი, 1995).

2.2. ქარის საშუალო და სამუშაო სიჩქარეები

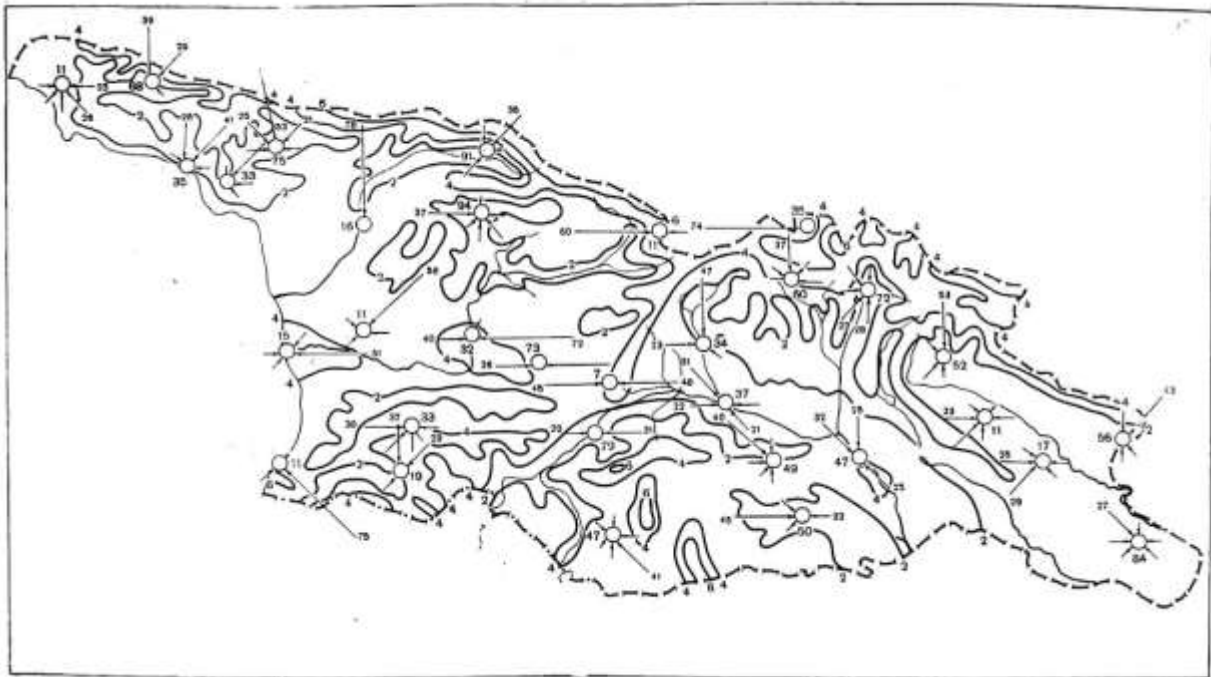
ისევე როგორც მიმართულება, ქარის სიჩქარეც მნიშვნელოვნად არის დამოკიდებული ფიზიკურ-გეოგრაფიულ თავისებურებებზე და წლის დროზე(ნახ.2.2.1-2.2.3).

ქარის საშუალო წლიური სიჩქარე საქართველოს ტერიტორიაზე იცვლება 0,6-დან(აბასთუმანი) 9,2მ/წმ (მთა-

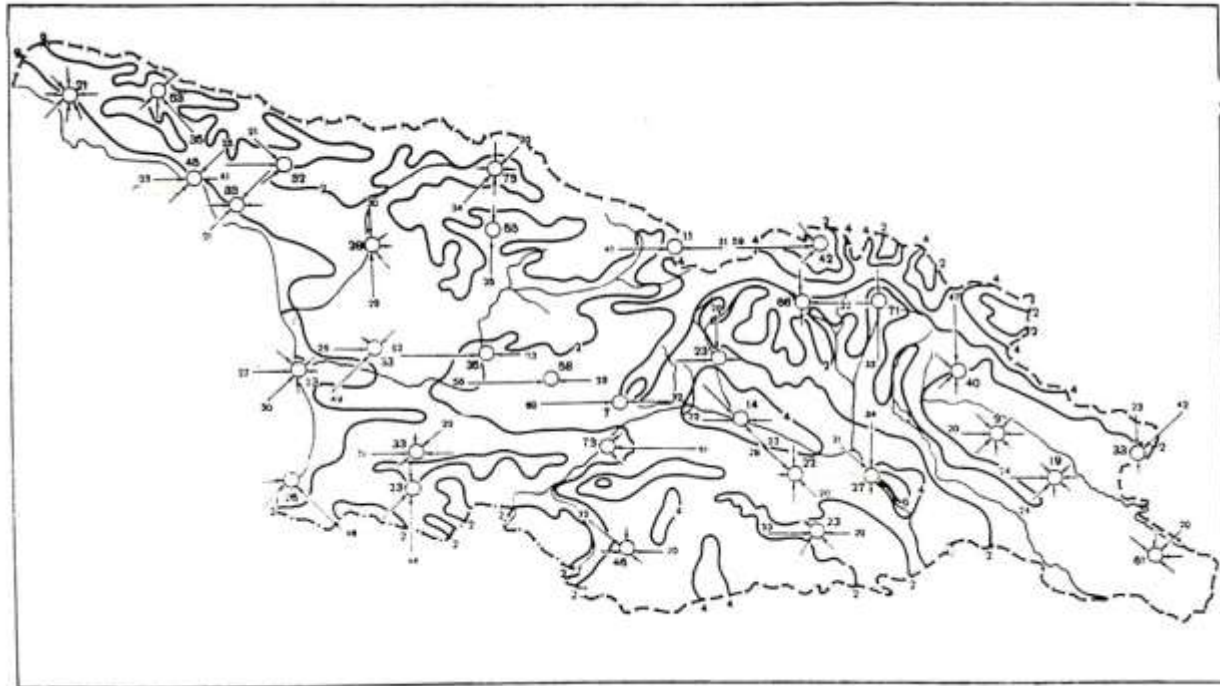
საბუეთი) ფარგლებში. ყველაზე ძლიერი ქარები დამახასიათებელია ლიხის ქედისათვის. ძლიერი ქარიანობით გამოიჩევა საქართველოს ტერიტორიის საშუალო და მაღალმთიანი ზონა. აქ ქარის საშუალო წლიური სიჩქარე ძირითადად 5-9მ/წმ ფარგლებშია. ძლიერი ქარებია დამახასიათებელი აგრეთვე მდინარე რიონის ხეობისათვის, კერძოდ ქუთაისის მიდამოებში ქარის საშუალო წლიური სიჩქარე 5-10მ/წმ-ს აღწევს. უმცირესი სიჩქარეები აღინიშნება კავკასიონის და სამხრეთ საქართველოს მთიანეთის ღრმა ხეობებში, ქვემო ქართლის ბარის სამხრეთ-დასავლეთ ნაწილში, კახეთის ბარში. შავი ზღვის აფხაზეთის სანაპიროზე ქარის საშუალო წლიური სიჩქარე მოქცეულია 2.1 – 4.0 მ/წმ-ის ფარგლებში. ასეთივე სიჩქარეებია გაგრის, ბზიფის და კოდორის ქედებზე 2000 მეტრამდე სიმაღლეზე. ცალკეული ქედების თხემებზე იგი 4 მ/წმ-ზე მეტია. აჭარის სანაპიროსათვის დამახასიათებელია ქარის დაბალი სიჩქარეები, ძირითადად 1.1-3.0 მ/წმ. ქარის მაღალი სიჩქარეებით გამოიჩევა კახაბერის ბარი და ჭოროხის ხეობის ის ნაწილი, სადაც იგი ფართოვდება და ერწყმის კახაბერის ბარს. აქ ქარის საშუალო წლიური სიჩქარე აჭარბებს 4 მ/წმ-ს და კაპანდიბასა და ჭარნალში 5.3-6 მ/წმ-ს აღწევს. დიდი სიჩქარეებია აგრეთვე გოდერიმის უღელტეხილზე – 5 მ/წმ (ე.სუხიშვილი, 2003). ცალკეულ წლებში ქარის სიჩქარე მნიშვნელოვნად აჭარბებს აქ მოტანილ საშუალო მნიშვნელობებს. ამასთანავე მისი



ნახ.2.2.1. ქარის სიჩქარე და მიმართულება. მ/წმ. წელიწადი (ვ.В.Сухишვილი, 1971).
ციფრები წრეხაზთან მიუთითებენ შტალთა(სიწყნარე) რაოდენობას



ნახ.2.2.2. ქარის სიჩქარე და მიმართულება. გ/წმ. იანვარი (Э.В.Сухишвили, 1971).
(აღნიშვნები იხ. ნახ.2.2.1-ზე)



ნახ.2.2.3. ქარის სიჩქარე და მიმართულება. მ/წმ. ივლისი (Э.В.Сухишвили, 1971)
(აღნიშვნები იხ. ნახ.2.2.1-ზე)

შესაძლო მაქსიმალური სიდიდე დაკვირვებათა პერიოდის
სანგრძლივობასთან ერთად იზრდება(ცხრილი 2.2.1.).

ცხრილი 2.2.1 ქარის მაქსიმალური სიჩქარეები (v მ/წმ)
შესაძლებელი 5, 20, 50 წელიწადში ერთხელ მაინც
(ე.სუბიტვილი)

i:N _o	პუნქტის დასახელება	ქარის სიჩქარე მ/წმ		
		v ₅	v ₂₀	v ₅₀
1	აბასთუმანი	19	24	29
2	აბაშა	24	27	30
3	ახალქალაქი	25	31	36
4	ამბროლაური	22	25	27
5	ახმეტა	25	30	33
6	ბათუმი, ქალაქი	24	28	32
7	ბაკურიანი	24	28	31
8	ბახმარო	29	36	40
9	ბორჯომი	17	23	27
10	გაგრა	28	40	48
11	ვაზიანი	44	49	56
12	მამისონის უღელტეხილი	38	44	51
13	ზეპარის უღელტეხილი	40	50	53
14	თბილისი, აეროპორტი	41	48	56
15	თბილისი ობსერვატორია	24	30	34
16	თელავი	21	25	27
17	თეთრი წყარო	28	33	38
18	ლაგოდეხი	23	26	29
19	მესტია	17	20	23
20	მთა საბუეთი	34	38	41
21	ონი	17	22	24
22	უინვალი	18	21	24

ქარის სიჩქარის წლიური სკლა საკმაოდ
გაძლიერდითილია მოელ ტერიტორიაზე. მაქსიმუმის და
მინიმუმის დამფარებაში გარკვეული კანონზომიერება
აღინიშნება(ცხრილი 2.2.2).

საქართველოს ტერიტორიის დიდ ნაწილზე ქარის სიჩქარის მაქსიმუმი ზაფხულში მყარდება, რაც კარგად ჩანს ნახ.2.2.2 და ნახ.2.2.3-დან. მაგალითად, კახაბერის ბარსა და ჭოროხის ხეობის ქვედა გაფართოებულ ნაწილში ქარის სიჩქარის მაქსიმალური საშუალო თვითური სიდიდეები იანვარსა და ივლისში შეადგენს 7.2-7.5 მ/წმ-ს და 2.8-3.6 მ/წმ-ს შესაბამისად(ესუხიშვილი, 2003).

ამავე დროს მთელ რიგ პუნქტებში ქარის სიჩქარის წლიურ სვლას ორი მაქსიმუმი გააჩნია. კერძოდ, თბილისში პირველი მაქსიმუმი მყარდება მარტში, ხოლო მეორე-ივლისში. იგივე სურათი აღინიშნება ბორჯომში. ზოგიერთი ადგილებისათვის დამახასიათებელია მეორე მაქსიმუმი შემოდგომაზე-ქუთაისი, წყალტუბო, ყაზბეგი და სხვ.

ქარის სიჩქარის დღევანდურ სვლაში მაქსიმუმი შეადგეს მყარდება. ამის მიზეზია თერმული არამდგრადობა, რის გამოც ძლიერდება ვერტიკალური ტურბულენტური ცვლა, და ურთიერთქმედება ატმოსფეროს ქვედა და ზედა ფენებს შორის. ატმოსფეროს ქვედა ფენებში მატულობს ზედა ფენებიდან სწრაფად მოძრავი ნაწილაკების ნაკადი, ხოლო ზედა ფენებში კი მატულობს ისეთი ნაწილაკების ნაკადი, რომელთაც პორიზონტალური მოძრაობის ნაკლები სიჩქარე გააჩნია. წლის თბილი პერიოდის განმავლობაში ქარის სიჩქარის მაქსიმუმი გადაინაცვლებს დღის მეორე ნახევარში. მაგალითად ივლისში თბილისში ქარის სიჩქარის მაქსიმუმი შესაბამება 16სთ-ს (ე.III ელიზბარაშვილი, ჩ.Ш., გონგლაძე, 1980).

ცხრილი 2.2.2. ქარის სიჩქარის წლიური სვლა. მ/წე

პუნქტი	თვეები												
	I	რა	არა	რა	ნ	ნა	ნარ	ნარა	რუ	უ	ურ	ურა	წელი
სოხუმი	2,5	2,6	2,6	2,6	2,6	2,4	2,4	2,3	2,2	2,3	2,2	2,2	2,4
ბათუმი	2,6	2,7	2,5	2,3	2,1	2,0	1,8	1,7	1,6	1,8	1,9	2,2	2,1
ფოთი	5,5	5,2	5,0	4,4	3,7	3,3	3,6	3,2	3,2	4,3	5,0	5,2	4,3
ზუგდიდი	1,4	1,5	2,1	1,8	1,4	1,2	1,0	0,8	0,8	0,8	1,8	1,1	1,3
ქუთაისი	5,6	5,6	5,9	5,7	4,6	3,7	3,0	3,4	3,6	4,8	7,2	6,7	5,0
მთა-საბურთი	8,8	9,2	9,6	10,0	8,9	8,3	7,9	8,8	9,4	9,7	10,6	9,1	9,2
თბილისი	2,2	2,7	2,8	2,7	2,5	2,5	2,8	2,3	2,1	2,0	1,7	1,8	2,4
თელავი	2,2	2,7	2,9	3,0	2,5	2,5	2,3	2,3	2,2	2,4	2,0	2,0	2,4
ბორჯომი	0,7	0,8	0,9	1,0	0,9	0,8	0,9	0,9	0,8	0,6	0,5	0,6	0,8
ახალქალაქი	3,7	3,7	3,8	3,6	3,1	2,7	2,7	2,8	2,2	2,1	2,7	3,2	3,0
მამისონის უდელტეხილი	6,6	6,7	6,2	5,2	4,4	4,7	4,8	4,6	4,8	5,6	5,5	6,2	5,4
ონი	0,8	1,1	1,6	1,9	1,6	1,5	1,6	1,6	1,2	0,9	0,8	0,6	1,3
ჯვრის უდელტეხილი	2,2	2,4	2,2	1,8	1,9	2,0	1,9	2,0	2,0	2,0	1,9	2,2	2,0
ფაზბეგი მ	7,0	7,5	7,4	7,0	6,1	4,8	5,0	5,4	6,4	7,1	6,8	6,8	6,4

ე.სუხიშვილის(1986) გამოკვლევების თანახმად მდინარე რიონის ხეობაში ივლისიდან აგვისტოს ჩათვლით ქარის სიჩქარის მომატება აღინიშნება საღამოს საათებში, რაც აიხსნება მუსონური ქარების მოქმედებით. იგივე შედეგი იქნა მიღებული შავიზღვისპირა ზოლში ჩატარებული ექსპედიციების საფუძველზე (ს.ბლანუცა, ე.ელიზბარაშვილი, ნ.ქარცივაძე, 1982). მაღალმთიანი ზონისათვის დამახასიათებელია ქარის მნიშვნელოვანი გაძლიერება ფერდობებზე ღამის საათებში. ეს აიხსნება კონვექციური დინებების მაქსიმალური განვითარების დაგვიანებით.

ქარის სიჩქარის მინიმუმი ძირითადად დამახასიათებელია დილის და საღამოს საათებისათვის, თუმცა, როგორც აღნიშნავს ე.სუხიშვილი, ზოგიერთ ადგილებში ქარის სიჩქარე ღამის საათებში იზრდება. ასეთი სურათი აღინიშნება გარდაბანში, თბილისში(აეროპორტი), ახმეტაში და სხვ. ა.ზანინას(1961) აზრით ეს აიხსნება სამხრეთის ორიენტაციის კალთების ძლიერი გადახურებით, რის შედეგადაც ჰაერი ეშვება ფერდობებზე და იძენს ძლიერ აქტარებას.

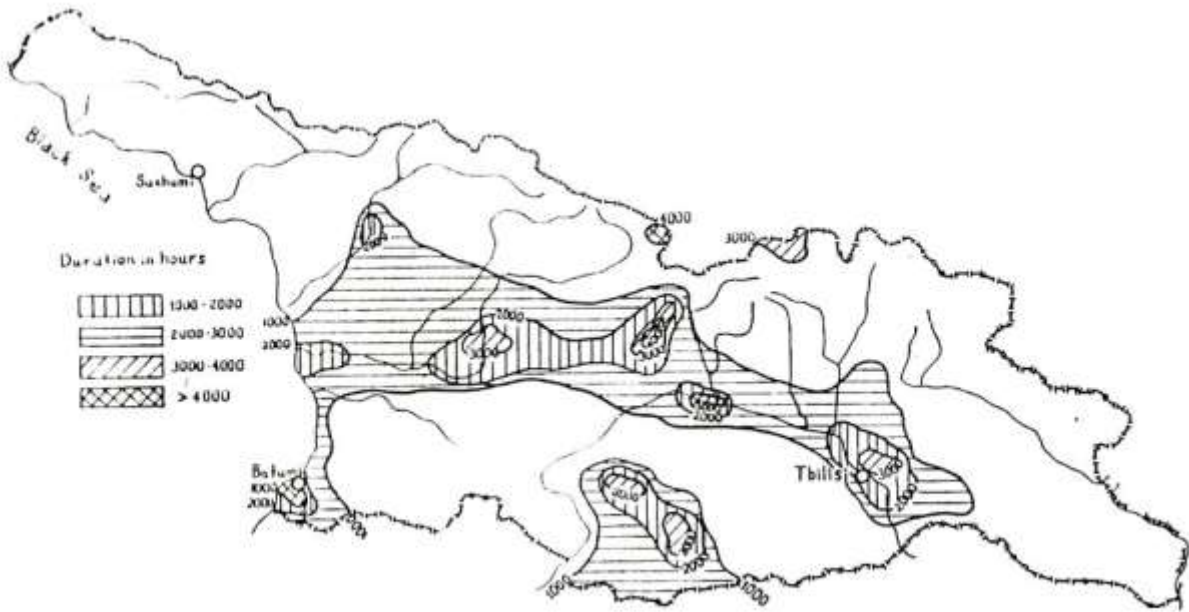
ქარის საშუალო სიჩქარეები წარმოადგენს აუცილებელ, მაგრამ არასაკმარის ენერგეტიკულ მაჩვნებელს. სხვაგვარად რომ ვთქვათ, ქარის სიჩქარის დაბალი მნიშვნელობის დროს გარკვეულია მათი გამოყენების არაპერსაექტიულობა, მაგრამ სიჩქარის მაღალი მნიშვნელობა მუდამ არ უზრუნველყოფს ქარის ენერგიის გამოყენების ეფექტურობას. ენერგეტიკული თვალსაზრისით მნიშვნელოვანია სამუშაო, ანუ ისეთი სიჩქარეები, რომლებიც აღემატება ქარბორბალას დაძრის საწყის სიჩქარეს და უზრუნველყოფს ქარის ენერგეტიკული დანადგარის ავტომატურ რეჟიმს. სამუშაო სიჩქარე იცვლება ქარბორბალას დაძრის საწყისი სიჩქარიდან იმ მაქსიმალურ სიჩქარემდე, რომლის დროსაც ბორბალი ავტომატურად გამოდის რეჟიმიდან. არააქტიურ სიჩქარედ ითვლება ქარის ისეთი სიჩქარეები, რომლებიც ვერ უზრუნველყოფენ ქარბორბალას ბრუნვას, მას მიეკუთვნება 0-2მ/წმ სიჩქარეები.

ქარის სამუშაო სიჩქარეებიდან ენერგეტიკული თვალსაზრისით განსაკუთრებით მნიშვნელოვანია ისეთი სიჩქარეები, რომლებიც აღემატება 5მ/წმ-ს. სწორედ ასეთ სიჩქარეებზე მუშაობს ჩქარმავალი ძრავა.

ნახ.2.2.4-ს თანახმად ქარის სამუშაო სიჩქარეების მაქსიმალური წლიური ხანგრძლივობა დამახასიათებელია მაღალმთიანი რაიონებისათვის(ყაზბეგი მ/მთიანი, მაბისონის უდელტეხილი, მთა-საბუეთი). აქ მათი ხანგრძლივობა 3400-4900 საათს აღწევს. ჯავახეთის ზეგანზე(2000მ-ზე მაღლა), კოლხეთის დაბლობის ცენტრალურ ნაწილში(ქუთაისი) და შავი ზღვის სანაპიროს სამხრეთ ნაწილში(ბათუმი) ქარის ასეთი სიჩქარეების ხანგრძლივობა უდრის 3400-3900სთ-ს. სამგორის ვაკეზე ქარის სამუშაო სიჩქარეების ხანგრძლივობა შეადგენს 2500-3400სთ-ს. იმ რაიონებში სადაც ქარის სამუშაო სიჩქარეები უმნიშვნელოა, იზრდება არააქტიური სიჩქარეების ხანგრძლივობა.

ენერგეტიკული თვალსაზრისით მნიშვნელოვნია აგრეთვე ქარის სამუშაო სიჩქარეების უწყვეტი მოქმედების ხანგრძლივობა. ეს მაჩვენებელი, როგორც ქარის სხვა მახასიათებლები, იცვლება ფართო დიაპაზონში ფიზიკურ-გეოგრაფიული პირობებსა და წლის დროზე დამოკიდებულებით. ნათქვამს ნათლად ადასტურებს ცხრილის 2.2.3-ის მონაცემები, სადაც წარმოდგენილია სხვადასხვა სიდიდის ქარის სამუშაო სიჩქარეების(3,5,10,15მ/წმ) უწყვეტი ხანგრძლივობა წლის სეზონების მიხედვით საქართველოს განსხვავებულ ფიზიკურ-გეოგრაფიულ პირობებში.

ცხრილიდან გამომდინარეობს, რომ ყველაზე დიდი მდგრადობით სივრცეში ხასიათდება ძლიერი ქარი, როდესაც სიჩქარე აღემატება 15მ/წმ-ს. ასეთი ქარის საშუალო



ნახ.2.2.4 ქარის სამუშაო სიჩქარეების (5მ/წმ და მეტი) წლიური ხანგრძლივობა. სათი (ესუხიშვილი)

უწყვეტი ხანგრძლვიობა შეადგენს 3-21 სთ-ს, თუმცა
ცალკეულ შემთხვევაში ის შეიძლება გაცილებით
ხანგრძლივი აღმოჩნდეს. მაგალითად, ე.სუხიშვილის
გამოკვლევების თანახმად 17მ/წმ-ზე მეტი სიჩქარის ქარის
უწყვეტმა ხანგრძლივიობამ ქუთაისში შეადგინა 318სთ, მთა-
საბუეთში-204სთ, თბილისში(აეროპორტი)-130სთ.

**ცხრილი 2.2.3 ქარის სამუშაო სიჩქარეების უწყვეტი
ხანგრძლივობა. საათი.**

პუნქტი	სიჩქარე, არანაკლები მ/წმ	ზამთარი	გაზაფხული	ზაფხული	შემოდგომა
გაგრა	3	24	18	12	17
	5	18	12	9	12
	10	14	10	8	12
	15	12	6	6	10
ბაკურიანი	3	14	17	16	10
	5	12	16	13	8
	10	9	10	10	6
	15	4	5	7	3
თბილისი	3	20	24	16	13
	5	13	16	14	13
	10	9	10	8	10
	15	7	8	7	10
ა:ყაზბეგი, მაღალმთი ანი	3	34	28	30	27
	5	30	27	25	26
	10	18	20	15	21
	15	17	19	14	21

2.3. ადგილობრივი ქარები

ადგილობრივი ქარი წარმოადგენს მეზომასშტაბურ
ატმოსფერულ პროცესს, რომელიც წარმოიქმნება ქვეფანილი
ზედაპირის მოქმედებით ჰაერის დინებებზე. მეზომასშტაბური
პროცესების ჰორიზონტალური მასშტაბები იცვლება

რამოდენიმე ათეული მეტრიდან ათეულ და ასეულ კილომეტრებამდე. ასევავებენ ადგილობრივი ქარების ორ ტიპს: თერმულს და მექანიკურს. თერმულ ქარს შეკუთვნება ბრიზი, მთა-ხეობის და მყინვარული ქარები, ხოლო მექანიკური ქარებია ფიონი და ბორა.

ბრიზი წარმოადგენს წყლისა და ხმელეთის არათანაბარი გათბობა გაცივების შედეგს. რადგანაც დილის საათებში ხმელეთი და ჰაერი უფრო სწრაფად თბება ვიდრე ზღვა, ამიტომ ხმელეთზე წნევა შედარებით ნაკლებია და სიმაღლის მიხედვით იზრდება. ზღვის სანაპიროზე კი საწინააღმდეგო სურათი იქმნება-წნევა მეტია და სიმაღლის მიხედვით სწრაფად ეცემა. ამის გამო ჰაერის ქვედა ფენებში ბარიული გრადიენტი მიმართულია ზღვიდან ხმელეთისკენ, ხოლო ატმოსფეროს მაღალ ფენებში პირიქით გრადიენტი მიმართულია ხმელეთიდან ზღვისკენ. ამრიგად, მყარდება ჰაერის ჩაკეტილი ცირკულაცია, ანუ ბრიზი. დამით ხმელეთი უფრო სწრაფად ცივდება, ვიდრე ზღვა, რის გამოც წარმოიშობა საწინააღმდეგო ცირკულაცია-ატმოსფეროს ქვედა ფენებში ქარი მიმართულია ხმელეთიდან ზღვისკენ, ზედა ფენებში კი პირიქით-ზღვიდან ხმელეთისკენ. ბრიზები კარგად არის გამოხატული საქართველოს შავი ზღვის სანაპიროზე და კოლხეთის ბარში. მათი მაქსიმალური განმეორადობა მოდის ლესელიძე-აბიუბუას მონაკვეთზე და აღმატება 70-80%-ს. შავი ზღვის სანაპირო ზოლში ბრიზები მთელი წლის განმავლობაში დაიკვირვება(ცხრ.2.3.1). დღის განმავლობაში ბრიზი ვრცელდება ღრმად ხმელეთზე, კოლხეთის ბარის სიღრმეში ის აღწევს ქუთაისამდე. ხმელეთის ბრიზი გაცილებით სუსტია და ვრცელდება ზღვაში არა უმეტეს 10კმ-ის სიღრმეზე. ბრიზის დროს ქარის სიჩქარე საშუალოდ 3-5/წმ-ია, ხოლო ტემპერატურა 2-5°C-ით ნაკლები, ვიდრე იმ ადგილებში, სადაც მისი გავლენა არ შეინიშნება. ამიტომ იმ ადგილებში, რომლებიც ზღვის ბრიზების უშუალო გავლენის ქვეშა მოქცეული, თითქმის არ ვლინდება სიცხისა და მხუთვარების შეგრძნება.

მთა-ხეობის ქარი წარმოადგენს ერთი და იგივე სიმაღლეზე ფერდობისა და თაგისუფალი ატმოსფეროს არათანაბარი გათბობა-გაცივების შედეგს. დღისით მთის

ფერდობი და მისი მიმდებარე პაერის ფენები უფრო მეტად თბება, ვიდრე პაერი წეობის ზემოდ. ამიტომ ბარიული გრადიენტი მიმართულია ხეობიდან ფერდობისაკენ. დამთ კი საწინააღმდეგო სურათი წარმოიქმნება. ბრიზების მსგავსად ეს ქარებიც დღელამური პერიოდულობით ხასიათდება. მთა-ბარის ქარის სიჩქარე სიმაღლესთან ერთად ოზრდება და მაქსიმუმს 200-250მ სიმაღლეზე აღწევს, შემდეგ კი მცირდება. გარკვეულ სიმაღლეზე ქარი ოცვლის მიმართულებას საწინააღმდეგოზე.

მთა-ხეობის ქარები კარგად არის განვითარებული საქართველოში. მთა-ბარის ცირკულაცია აღინიშნება კავკასიონის მაღალმთიან და საშუალომთიან ზონაში. დასავლეთ საქართველოს მთიან რაიონებში მთა-ხეობის ქარები მთელი წლის განმავლობაშია. ამასთან, წლის თბილ პერიოდში ხეობის ქარი საღამოს საათებშიც მოქმედობს და მისი განმეორადობა საკმარისად დიდია (ცხრილი 2.3.2). ეს აიხსნება ზაფხულის მუსონით, რომლის მიმართულება ემთხვევა ქარების მიმართულებას და აძლიერებს მას.

აღმოსავლეთ საქართველოს მთიან რაიონებში მთა-ხეობის ქარები მოქმედებენ უმთავრესად წლის თბილი პერიოდის განმავლობაში. მთა-ხეობის ცირკულაცია

ცხრილი 2.3.1 ბრიზების განმეორადობის დღე-ღამური სვლა. %. (ე.სუხიშვილი, 2003)

ბრიზების მიმართულება	დაკვირვების კადა (სო)	თ ვ ე											
		ძ	ძძ	ძძძ	ძძ	ძ	ძძ	ძძძ	ძძძძ	ძ	უ	უძ	უძძ
		ქობულეთი											
სანაპიროს	1	59	55	48	44	40	46	49	54	58	52	71	74
	13	39	32	22	8	7	9	1	2	4	17	38	46
	19	45	41	33	11	6	4	1	3	11	33	59	64
ზღვის	1	28	24	40	46	42	31	28	20	18	21	18	17
	13	38	44	53	72	75	80	80	85	77	52	32	30
	19	40	44	58	78	82	82	81	84	63	41	25	20
		ჩაქვი											
სანაპიროს	1	67	61	60	52	59	75	80	83	81	75	78	81
	13	19	10	5	3	3	5	5	4	7	10	13	20
	19	69	60	52	29	13	15	31	46	69	74	72	73
	1	18	28	23	30	27	16	12	11	11	17	12	14

ზღვის	13 19	50	61	72	82	85	87	86	89	82	68	62	50	
		21	28	32	52	66	67	53	35	22	15	17	14	
		ბათუმი												
სანაპიროს	1	47	36	34	23	18	31	33	41	42	37	45	49	
	13	18	11	5	2	2	1	2	1	5	5	12	16	
	19	40	26	18	7	4	4	6	12	17	30	33	43	
ზღვის	1	25	32	34	43	45	38	38	32	32	31	24	21	
	13	35	45	58	73	82	89	88	89	80	57	43	31	
	19	33	42	53	64	70	80	79	70	59	42	36	24	

რამდენადმე შესუსტებულია ჯავახეთის ზეგანზე, რაც განპირობებულია შედარებით გათანაბრებული რელიეფით. სამაგიეროთ ძთა-ხეობის მძლავრი ცირკულაცია აღინიშნება ქვემო ქართლის ბარში და კახეთის ბარში.

იმ შემთხვევაში თუ მთა დაფარულია მყინვარით, ბარიული გრადიენტი დღედამის განმავლობაში მიმრთულია ხეობიდან მყინვარისაკენ. ამიტომ ქარიც ამ შემთხვევაში ქრის ხეობიდან მყინვარისაკენ, ასე წარმოშობა მყინვარული ქარი.

მექანიკური წარმოშობის ქარი-ფიონი წარმოადგენს ჰარის მასების მიერ მაღალი მთებისა და ქედების გადალახვის, ან მთებზე განლაგებული ანტიციკლონიდან ფერდობზე დაშვებული დაღმავალი ჰარის გაშლის შედეგს. ამ ჰარის გამო ასხვავებენ ფიონის ორ ტიას-ოროგრაფიულს და თავისუფალი ატმოსფეროდან წარმოშობილს.

ფიონური ქარები ხშირია დასავლეთ საქართველოში. ქუთაისა და წყალტუბოში აღინიშნება 100-120 დღე ფიონით. მისი სიჩქარე ხშირად 20მ/წმ-ს აღემატება, ხოლო ვერტიკალური სიმძლავრე- 1-2გმ-ს აღწევს. შ.ჯავახიშვილის(1977) მონაცემებით ფიონების მოქმედებით დასავლეთ საქართველოში ჰარის ტემპერატურამ რამდენიმე საათში შეიძლება $10-20^{\circ}\text{C}$ -ით მოიმატოს, ხოლო შეფარდებითი სინოტივე 10-50%-ით დაეცეს. ქარის სიჩქარე დიდია და ხშირად 40მ/წმ-ს აღწევს. ფიონის დროს ჰარი სუფთაა, ხილვადობა კი კარგი. სამედიცინო კლიმატოლოგიის თვალსაზრისით ის უარყოფით გავლენას ახდენს ადამიანის ორგანიზმზე-იწვევს უსიამოვნო შეგრძნებას, თავის ტკივილს, მხუთვარების შეგრძნებას, უარყოფითად მოქმედებს ჯანმრთელობაზე.

ცხრილი 2.3.2. მთა-ზეობის ქარების განმეორადობა. %. (ე.სუხიშვილი, 2006)

მთა-ბარის ქარების მიმართულება	დაკვირვების ვადა (სთ)	ოვე											
		0	0.5	0.8	1.0	1.5	2	2.5	3	3.5	4	4.5	5
ფ ს ხ ე ვ													
მთის (ჩ + ჩაღ)	1	80	78	71	78	74	81	70	76	78	78	83	83
	13	10	12	9	6	3	3	2	3	2	3	9	13
	19	75	65	50	40	24	27	20	33	61	77	78	77
ხეობის (ს + აღ + სღ)	1	10	12	17	13	12	8	11	9	6	8	9	9
	13	74	74	83	82	89	87	88	88	84	83	74	75
	19	14	22	40	34	48	49	53	41	19	12	13	7
ლ ა თ ა													
მთის (ჩ + ჩაღ + აღ)	1	68	69	63	63	61	63	47	58	59	62	67	67
	13	30	21	18	12	6	5	3	3	6	11	22	32
	19	66	57	39	12	18	16	13	20	35	50	61	67
ხეობის (სღ + საღ)	1	28	27	34	31	34	37	32	13	7	7	6	9
	13	61	72	78	83	90	82	94	95	90	83	72	54
	19	31	37	56	75	80	82	84	78	55	40	34	26
ქ ვ ე ბ ი ნ ი													
მთის (აღ + საღ)	1	88	87	83	78	73	90	92	93	95	94	92	92
	13	41	28	20	12	7	7	9	11	14	22	30	52
	19	86	86	79	50	40	33	42	54	86	90	92	91
ხეობის (სღ + დ + ჩღ)	1	2	4	5	8	6	1	1	1	1	2	2	2
	13	32	42	50	62	73	77	75	71	62	57	43	18
	19	4	4	14	26	39	38	34	22	4	3	2	3

დასავლეთ საქართველოში ფიონის წარმოქმნის საუკეთესო დრო წლის ცივი პერიოდია, თუმცა იშვიათად ფიონი თბილ პერიოდშიც აღინიშნება(ცხრილი 2.3.3.)

აღსანიშნავია, რომ შავი ზღვის სანაპირო ზოლში ჰაერის მრავალწლიური საშუალო ტემპერატურა ყველაზე უფრო მაღალია გაგრაში, მთებედაგად მისი ჩრდილოეთში მდებარეობისა, და შეადგენს 15°C -ს, რაც სხვა ფაქტორებთან ერთად განპირობებულია სწორედ ფიონურ ქართა სიხშირით და ხანგრძლივობით(ცხრილი 2.3.4.).

მექანიკური წარმოშობის ქარების გაძლიერებაში დიდ როლს ასრულებს სიმბიმის ძალა. ნათქვამი ეხება **ბორას-ცივ შტორმისებრ ქარს.** ბორა წარმოიშვება უმთავრესად ზამთარში, როდესაც ცივ კონტინენტზე განლაგებულია ანტიციკლონი, ხოლო შედარებით თბილი ოკეანის თავზე-ციკლონი. საქართველოს პირობებში ბორა განვითარებას თითქმის არ ღებულობს, თუმცა კოლწეთის დაბლობზე შტორმისებური ქარი არც თუ იშვიათია. მაგალითად აქ შტორმისებურ ქარს აღილი ჰქონდა 1969 წლის 4-7 იანვარს. ფოთში აღმოსავლეთის ქარის სიჩქარე 4 იანვარს 16-დან $28\text{d}/\text{წმ}-\text{მდე}$ გაიზარდა. 5 იანვარს დღე-ღამის განმავლობაში ქარის სიჩქარე შეადგენდა $24-28 \text{ d}/\text{წმ}$ -ს. 6 იანვარს ქარის სიჩქარემ 34 $\text{d}/\text{წმ}$ -ს მიაღწია, ხოლო 7 იანვარს 16 $\text{d}/\text{წმ}-\text{მდე}$ დაიკლო. ამ მოვლენამ მნიშვნელოვანი მატერიალური ზარალი მიაყენა მოსახლეობას და მეურნეობას.

ცხრილი 2.3.3. ფიონიან დღეთა საშუალო რიცხვი (რ.კორძახია, 2006)

სადგური	რ	მა	მაბ	მას	მას	მას	მაბ	მაბ	რს	რს	მას	მაბ	წელი
გაგრა	4.0	4.9	2.3	2.5	1.2	0.2	0.1	0.1	0.2	0.7	2.8	3.5	22.5
ლესელიძე	2.1	1.3	1.5	0.9	0.3	0.1	0	0	0.1	0.2	0.9	0.9	8.3
გაგრის ქედი	1.7	1.6	1.2	1.1	0.5	0.1	0.1	0.1	0.3	0.6	1.3	2.0	10.6

ცხრილი 2.3.4. ფიონთა ხანგრძლივობის შემთხვევათა რიცხვი გრადაციების მიხედვით გაგრაში. %. (რ.კორძახია, 2006)

გრადაციის ხანგრძლივობა საათებში	შემთხვევათა რიცხვი
6-18	79
19-36	25
37-54	12
55-67	1
68-80	1
უ80	4

თავი 3. პაერის ტემპერატურა და სითბური რესურსები

3.1. რელიეფის გავლენა ტემპერატურის ველზე

საქართველოს ტერიტორიაზე პაერის ტემპერატურის რეჟიმის ჩამოყალიბებაზე უპირველეს ყოვლისა გავლენას ახდენს ადგილის რელიეფი-სიმაღლე ზღვის დონედან, ფრიდობის ექსპოზიცია და რელიეფის ფორმა.

ცხრილში 3.1.1 წარმოდგენილია პაერის ტემპერატურის საშუალო მნიშვნელობები სტანდარტული სიმაღლეებისათვის საქართველოს ორ განსხვავებულ კლიმატურ ოლქში. ტემპერატურის ცვლილება სიმაღლის მიხედვით ხასიათდება ვერტიკალური ტემპერატურული გრადიენტით, რომელიც ძალზე ცვალებადია და დამოკიდებულია როგორც ფიზიკურ-გეოგრაფიულ პირობებზე, ისე წელიწადის დროზე (ცხრილი 3.1.2).

ცხრილიდან ჩანს, რომ ტემპერატურის გრადიენტის წლიურ სვლაში გამოიკვეთება ორი ტიპი. პირველი, მაქსიმუმით ზამთარში და მინიმუმით გაზაფხულსა და შემოდგომაზე, დამახასიათებელია კოლხეთის ბარისა და მტკვრის ხეობისათვის 300-400მ სიმაღლემდე, ხოლო მეორე-მაქსიმუმით ზაფხულში და მინიმუმით ზამთარში, დამახასიათებელია მთიანი რაიონებისათვის.

ტემპერატურის მაქსიმალური გრადიენტები აღინიშნება წლის თბილი პერიოდის განმავლობაში დასავლეთ საქართველოში 800-1000 და 1400-1600მ სიმაღლეებზე, ხოლო აღმოსავლეთ საქართველოში-1700მ-ზე მაღლა. მინიმალური გრადიენტები აღმოსავლეთ საქართველოში დაიკვირვება წლის ცივი პერიოდის განმავლობაში. ეს აიხსნება ზამთრის თვეებში აქ გაბატონებული ინტენსიური

ცხრილი 3.1.1. ჰაერის ტემპერატურა სტანდარტულ სიმაღლეებზე. $^{\circ}\text{C}$.
 (ე.შ.ელიზბარაშვილი, 1978)

ოლქი	სიმაღლე მ	თვეები											
		σ	σσ	σσσ	ση	η	ηη	ηηη	ηηηη	ηηηηη	ηηηηηη	ηηηηηηη	ηηηηηηηη
დასავლეთ საქართველო	0	5,5	6,0	8,0	12,0	16,5	20,0	22,5	23,0	18,6	16,6	11,5	7,5
	500	1,5	3,0	6,0	11,0	15,5	19,5	20,5	21,0	17,0	14,0	9,0	4,0
	1000	-2,5	-2,0	2,0	7,0	12,5	15,0	18,0	18,0	13,0	10,0	6,0	1,0
	1500	-5,5	-4,0	0	5,0	10,0	13,0	15,0	15,0	11,0	8,0	3,0	-2,5
	2000	-6,0	-6,5	-2,0	3,0	8,0	10,0	13,5	13,6	9,0	7,0	2,0	-3,0
აღმოსავლეთ საქართველო	500	0,5	2,0	6,0	12,0	17,0	20,0	23,5	23,5	19,0	13,0	7,0	3,0
	1000	-3,5	0	5,0	7,0	13,5	16,0	19,0	19,0	16,0	10,0	4,0	0
	1500	-4,5	-3,0	0	6,0	11,5	14,0	16,0	16,0	13,0	8,0	2,0	-2,0
	2000	-8,0	-6,0	-2,0	4,0	9,0	11,0	14,0	14,0	11,5	6,5	0	-5,0
	2500	-12,0	-10,0	-6,0	-2,0	4,0	7,0	10,0	10,0	5,0	1,0	-5,0	-8,0

ცხრილი 3.1.2. ვერტიკალური ტემპერატურული გრადიენტი. $^{\circ}\text{C}/100\text{d}$.
 (ზ.ხვედელიძე, ე-ელიზბარაშვილი, 1982)

რაონი	თვეები											
	I	ას	არს	ას	ვ	ვა	ვარს	ვარს	ას	უ	უა	ურს
ქოლხეთის ბარი	0,72	0,70	0,55	0,25	0,20	0,30	0,35	0,35	0,37	0,55	0,62	0,72
შმტკბრის ხეობა	0,67	0,63	0	-0,3	0	0,20	0	0	0,50	0,33	0,67	0,83
დასავლეთ კავკასიონი	0,50	0,53	0,57	0,60	0,57	0,60	0,53	0,55	0,57	0,53	0,53	0,52
ცენტრალ. კავკასიონი	0,48	0,57	0,57	0,63	0,65	0,63	0,65	0,63	0,60	0,53	0,50	0,54
აღმოსავლ. კავკასიონი	0,48	0,50	0,50	0,55	0,58	0,65	0,68	0,65	0,55	0,48	0,42	0,40

ეფექტური გამოსხივებითა და ტემპერატურული ინვერსიებით, რაც დამახასიათებელია ატმოსფეროს ანტიციკლონალური მდგრძალებისათვის. ეს პროცესები იმდენად ძლიერია, რომ ჰაერის ტემპერატურა $1000-1200\text{d}$ სიმაღლის ფენაში მრავალწლიურ რეზიმშიც კი აღემატება მის ქვემოდ განლაგებული ფენების ტემპერატურას. კოლხეთის ბარში ინვერსია წარმოიქმნება გაზაფხულზე, რაც გამოწვეულია ზღვის ზედაპირზე ჩამოყალიბებული ჰაერის მასების ადგენერირებული ზამთრის განმავლობაში გაცივებული ხმელეთის ზედაპირზე. თბილი ნაკადის ქვედა ფენები სითბოს ნაწილს გადასცემენ ქვეფანილ ზედაპირს და ცივდებიან უფრო მეტად, ვიდრე ზედა ფენების ტემპერატურაა (ცხრილი 3.1.3.).

ცხრილი 3.1.3. ინვერსიული ფენების მახასიათებლები (ე.შ.ელიზბარაშვილი, 1978)

ოლქი	თვეები	სიმაღლე მ	სიმძლავრე მ	სიდიდე $^{\circ}\text{C}$
კოლხეთის ბარი	მარტი	0	70	0,2
	აპრილი	0	70	0,3
	მაისი	0	70	0,3
ცენტრალური კავკასიონი	იანვარი	1030	140	0,7
	თებერვალი	1030	140	0,2
	ნოემბერი	1030	140	0,2
	დეკემბერი	1030	140	0,7
აღმოსავლეთ კავკასიონი	იანვარი	1000	200	0,5
	დეკემბერი	1000	200	0,2

ტემპერატურის რეალური ვერტიკალური გრადიენტი წარმოდგენილ იქნა მისი მდგრძნელების საშუალებით (ე.ელიზბარაშვილი, 1989):

$$\gamma = \gamma(0) + \gamma(1) \operatorname{ctg} \alpha , \quad (3.1.1.)$$

სადაც γ -ტემპერატურის რეალური ვერტიკალური გრადიენტია, $\gamma(0)$ - გრადიენტის ვერტიკალური მდგრძნელია, $\gamma(1)$ -გრადიენტის ჰორიზონტალური მდგრძნელია, α - ფერდობის დახრილობა (ცხრილი 3.1.4.).

ცხრილი 3.1.4. ტემპერატურის ვერტიკალური გრადიენტის მდგრძნელები (ე.შ.ელიზბარაშვილი, 1989)

ვგრადიენტის	დასავლეთ კავკასიონი	აღმოსავლეთ
-------------	---------------------	------------

მდგრელი	კავკასიონი			
	იანვარი	ივლისი	იანვარი	ივლისი
ვერტიკალური $^{\circ}\text{C}/100\text{მ}$	0,50-0,52	0,53-0,55	0,50-0,54	0,62-0,66
განედური $^{\circ}\text{C}/100\text{მ}$	1,0-1,1	2,0-2,3	1,0	2,0-2,2

თუ გავითვალისწინებთ, რომ ტემპერატურის საშუალო პლანეტარული გრადიენტი შეადგენს $0,5^{\circ}\text{C}$ ყოველ 100 კმ-ზე , მაშინ, წარმოდგენილი ცხრილის მონაცემებიდან გამომდინარე, კავკასიონის მთების მასიურობის გავლენა ზაფხულში განისაზღვრება სიღიძით $1,5-1,8^{\circ}\text{C}$ 100 კმ-ზე .

ჰაერის ტემპერატურაზე არსებით გავლენას ახდენს რელიეფის ფორმა. ტემპერატურის ცვლილების ხასიათი რელიეფის ფორმისაგან დამოკიდებულებით შეესაბამება ა.ვოეიკოვის კანონს, რომლის თანახმადაც რელიეფის დადგებითი ფორმები ამცირებენ ამპლიტუდას, ხოლო უარყოფითი ფორმები ზრდიან იმავე ამპლიტუდას. ამ კანონს კარგად შეესაბამება ცხრილში 3.1.5 წარმოდგენილი მონაცემები საქართველოს პირობებისათვის.

ცხრილის თანახმად ზამთარში ზეგნები და ზღვისპირა დაბლობები $1-2^{\circ}$ -ით თბილია, ვიდრე მთის ფერდობები, ქვაბურები და მთათაშორისი ვაკეები. გაზაფხულის განმავლობაში განსაკუთრებით სწრაფად თბება ქვაბურები, და ზაფხულში აქ ტემპერატურა $0,5-1,5^{\circ}$ -ით მეტია, ვიდრე რელიეფის სხვა ფორმებში. ზაფხულის ტემპერატურები მინიმალურია მთის ფერდობებზე და ზეგნებზე, ხოლო რამდენადმე მაღალია მთათაშორის გაკეებზე და ზღვისპირა დაბლობებზე.

ცხრილი 3.1.5. ზღვის დონეზე, 42^0 განედზე და 43^0 გრძედზე დაყვანილი ჰაერის (T_b) და ნიადაგის (T_n) საშუალო ტემპერატურები. $^{\circ}\text{C}$ (მ.ელიზბარაშვილი, 1999)

რელიეფის ფორმა	ტემპერა- ტურა $^{\circ}\text{C}$	თვეები				ვგამოყენებუ- ლი სადგურების რიცხვი
		I	IV	VII	X	
მთის ფერდობი, სამხრეთის ექსპოზიცია, დახრილობა $6-8^0$	T_n	3,5	15,8	28,2	16,4	12
	T_b	3,7	12,8	23,5	15,5	
მთის ფერდობი, ჩრდილოეთის ექსპოზიცია, დახრილობა $3-7^0$	T_n	3,3	15,3	27,5	16,1	6
	T_b	3,6	12,5	23,0	15,1	
ზეგანი	T_n	4,6	16,0	28,1	17,0	10
	T_b	4,6	12,9	23,5	16,0	
ქვაბური	T_n	3,3	16,9	29,3	16,6	10
	T_b	3,5	13,7	24,5	15,6	
მთათაშორისი ბარი	T_n	2,8	15,8	28,6	16,2	8
	T_b	3,1	12,7	24,0	15,2	
ზღვისპირა დაბლობი	T_n	5,3	16,6	28,4	17,5	14
	T_b	5,2	13,4	23,8	16,5	

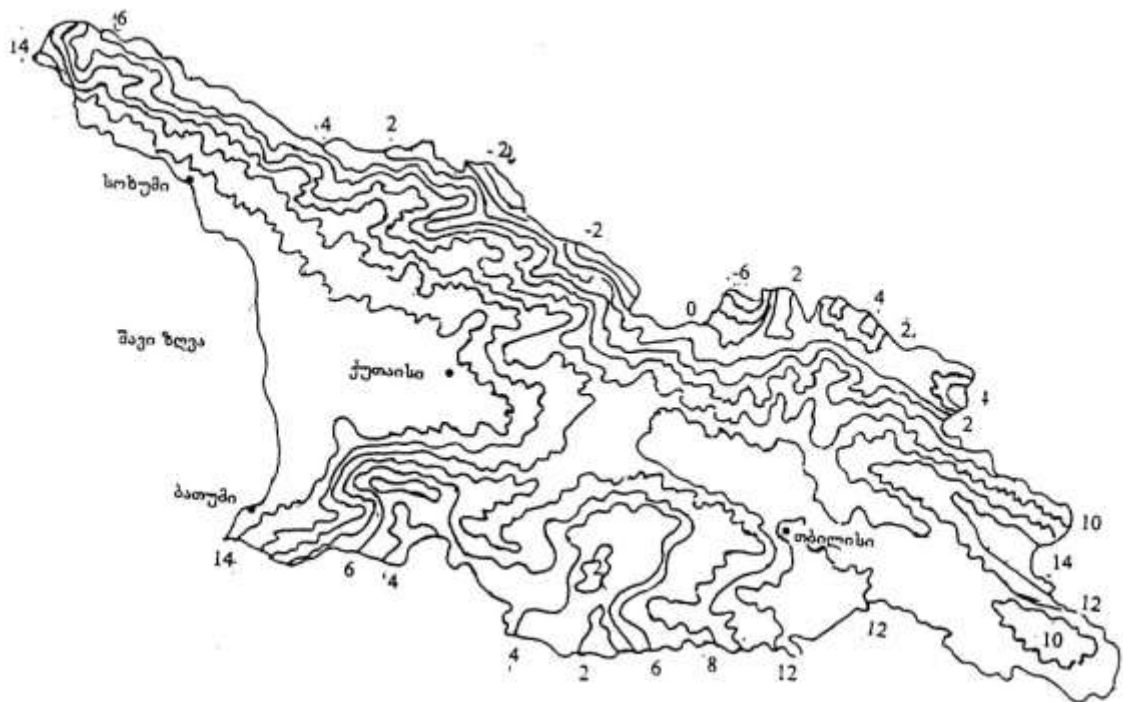
3.2. ტემპერატურის ტერიტორიული განაწილება

საქართველოს ტერიტორიაზე ჰაერის ტემპერატურის საშუალო წლიური მნიშვნელობა იცვლება 15 დან (სოხუმი, გაგრა) 6°C -მდე (ყაზბეგი მ/მთიანი) ფარგლებში. განსაკუთრებით მაღალი ტემპერატურები ($13-15^{\circ}\text{C}$) აღინიშნება შავი ზღვის სანაპიროსა და რიონის ხეობაში. აღვითის სიმაღლის გაზრდასთან ერთად ტემპერატურა კლებულობს და შეადგენს მესხეთის ქედის ზედა სარტყელში (ბახმარო) $4-5^{\circ}\text{C}$ -ს, დასავლეთ კავკასიონზე (მამისონის უღელტეხილი) $-2-3^{\circ}\text{C}$ -ს და ცენტრალურ კავკასიონზე (ყაზბეგი, მაღალმთიანი) $-5-6^{\circ}\text{C}$ -ს. აღმოსავლეთ საქართველოში განსაკუთრებით თბილი რაიონებია მტკვრის შუა დინება და ალაზნის ველი ($12-13^{\circ}\text{C}$). საქართველოს მთელ ტერიტორიაზე ყველაზე ცივი თვე უმთავრესად იანვარია, ხოლო ყველაზე თბილი-ივლისი და აგვისტო.

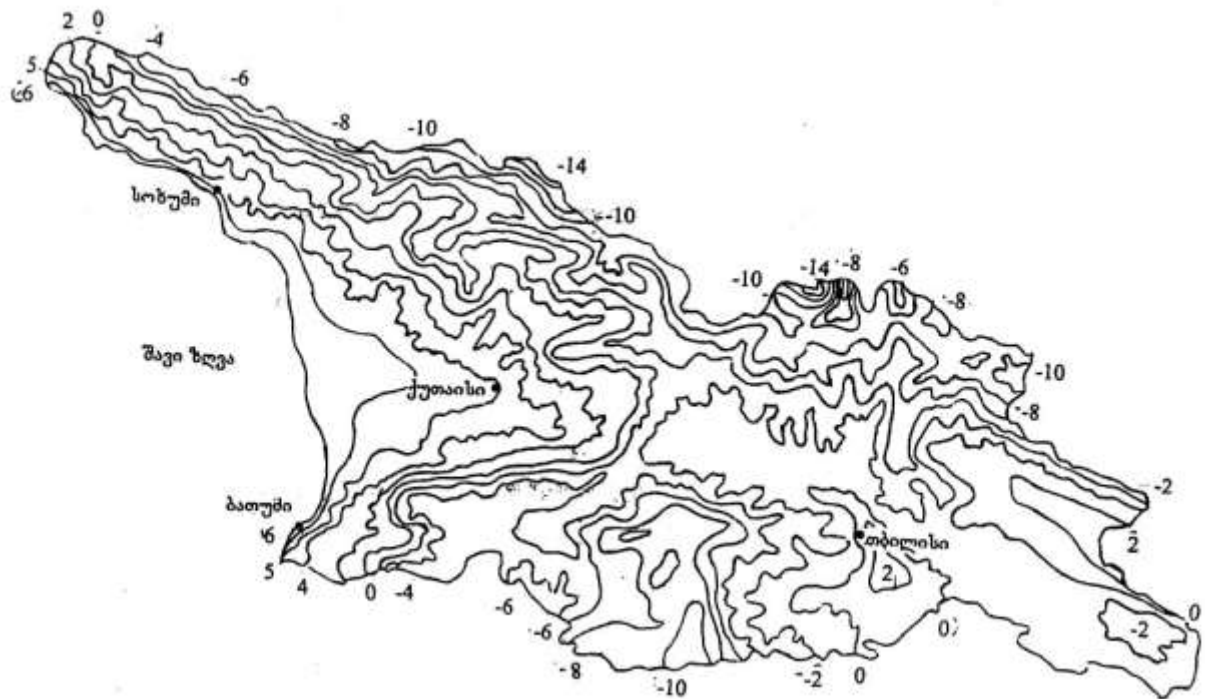
ჰაერის ტემპერატურის ტერიტორიული განაწილების შესახებ უფრო დეტალურად შესაძლებელია ვიმსჯელოთ იზოთერმების რუკებიდან (ნახ. 3.2.1-3.2.5).

იანვარი ყველაზე თბილი აგრეთვე შავი ზღვის სანაპიროზეა. საშუალო თვიური ტემპერატურა აღმატება 6°S . კოლხეთის დაბლობის სიღრმეში ტემპერატურა კლებულობს $4-5^{\circ}$ -მდე, ხოლო იმერეთის მაღლობზე შეადგენს $0-4^{\circ}\text{S}$. მესხეთის ქედის სამხრეთ ფერდობზე ტემპერატურა მინუს 4° -ზე დაბლა ეცემა, ხოლო კავკასიონის მაღალმთიან ზონაში მინუს 14° -ზე ნაკლებია.

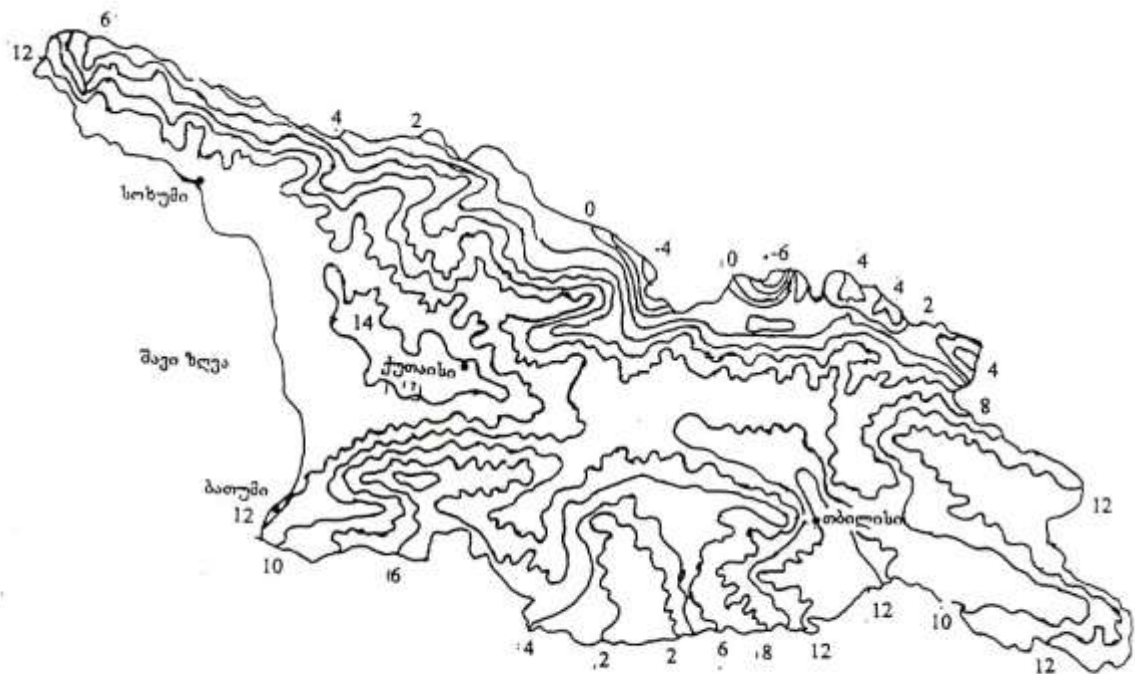
აღმოსავლეთ საქართველოში ყველაზე თბილი აგრეთვე ალაზნის ვაკე და ქვემო ქართლის ვაკის ცენტრალური ნაწილია, აქ საშუალო თვიური ტემპერატურა 2° -მდე აღწევს. მთათაშორისის ბარის ტერიტორიის დიდ ნაწილზე ტემპერატურა $0-$ მინუს 2° -ია, საქართველოს



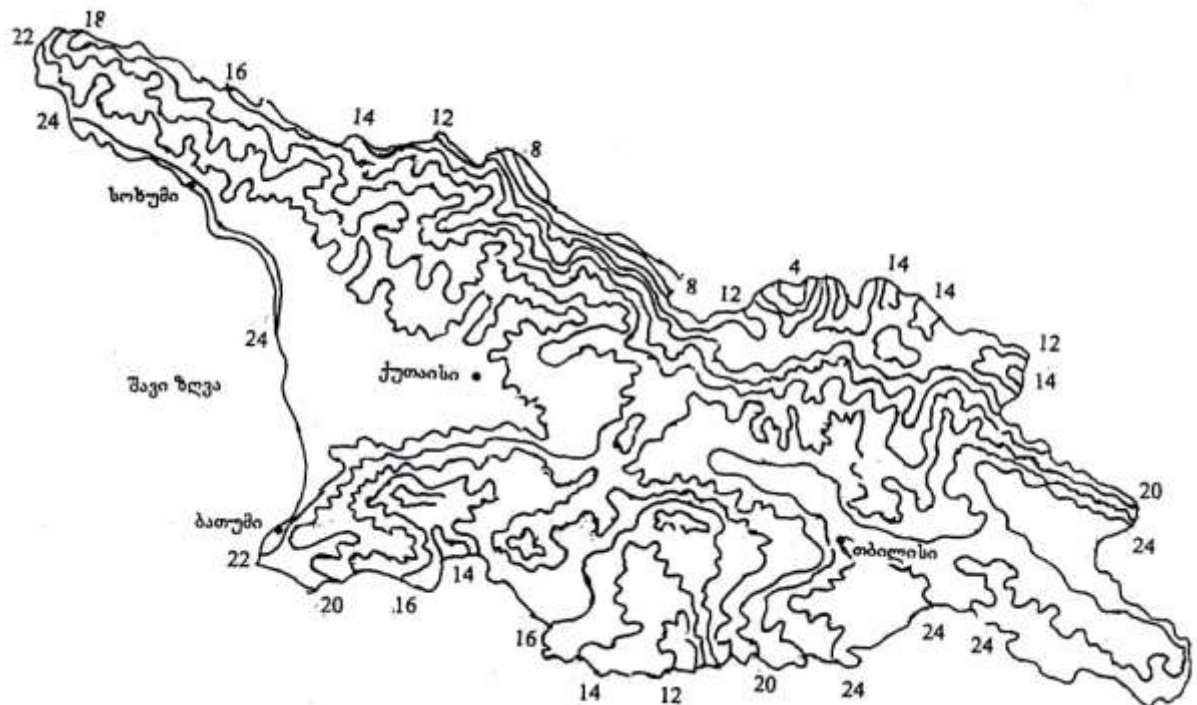
ნახ.3.2.1. ჰაერის ტემპერატურა $^{\circ}\text{C}$. წელიწადი (გ.ელიზბარაშვილი, 1999)



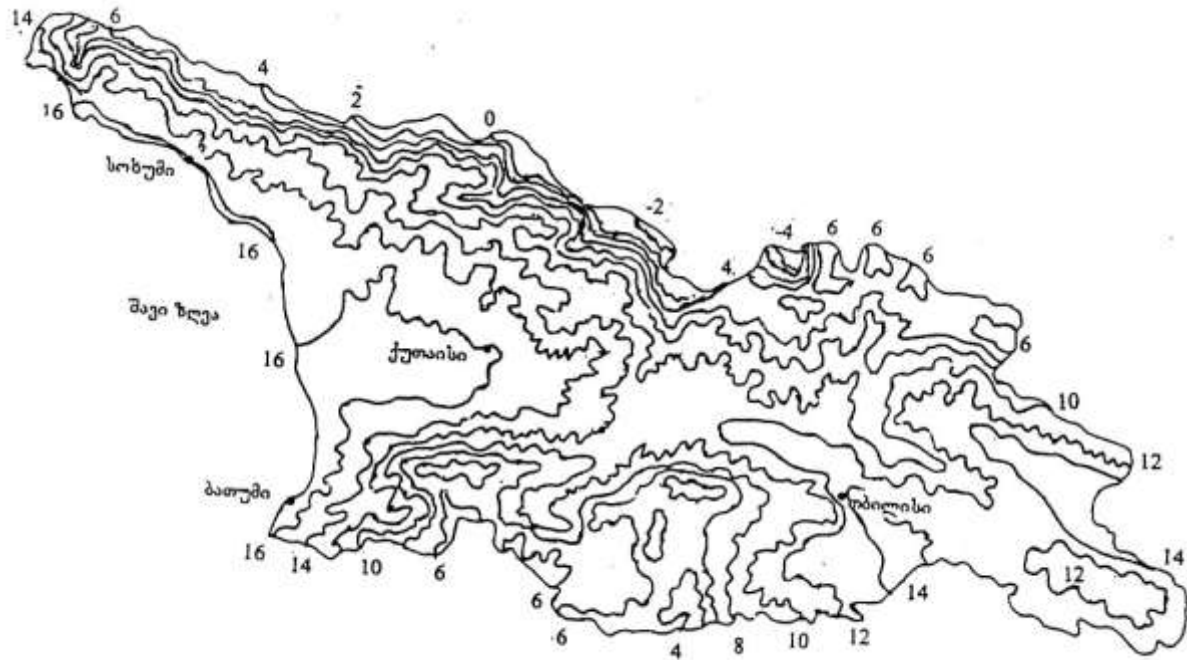
ნახ.3.2.2.კაერის ტემპერატურა. $^{\circ}\text{C}$.იანვარი (ძ.ელიზბარაშვილი, 1999)



ნახ.3.2.3. პაერის ტემპერატურა. ^0C .აპრილი (მ.ელიზბარაშვილი, 1999)



ნახ.3.2.4.კაერის ტემპერატურა. $^{\circ}\text{C}$.ივლისი (მ.ელიზბარაშვილი, 1999)



ნახ.3.2.5. პაერის ტემპერატურა. $^{\circ}\text{C}$.ოქტომბერი (მ.ელიზბარაშვილი, 1999)

სამხრეთ მთიანეთში უცემა მინუს 10^0 -მდე, ხოლო კავკასიონის მაღალმთიან ზონაში-მინუს 14^0 -მდე.

სითბური პირობების თანახმად საქართველოს ტერიტორიაზე ყალიბდება ზამთრის 4 ტიპი: ძალიან რბილი, რბილი, ზომიერად რბილი და ზომიერად ცივი. ძალიან რბილი ზამთარი დამახასიათებელია კოლხეთის ბარისათვის, სადაც იანვრის თვის საშუალო ტემპერატურა დალებითია და აღემატება 4^0 -ს. ტერიტორიის უდიდეს ნაწილზე, განსაკუთრებით აღმოსავლეთ საქართველოში, გაბატონებულია რბილი ზამთარი, როდესაც იანვრის საშუალო ტემპერატურა იცვლება პლუს 4-დან მინუს 4^0 -მდე. საქართველოს სამხრეთი მთიანეთი და კავკასიონის მაღალმთიანი ზონა ხასიათდებიან ზომიერად რბილი ზამთრით, იანვრის საშუალო თვიური ტემპერატურა იცვლება მინუს 4-დან მინუს 10^0 -მდე. კავკასიონის და სამხრეთის მთიანეთის ცალკეულ უბნებზე გაბატონებულია ზომიერად ცივი ზამთარი, როდესაც იანვრის საშუალო ტემპერატურა მინუს 10^0 -ზე ნაკლებია.

აპრილში ყველაზე მაღალი საშუალო თვიური ტემპერატურე (14^0 და მეტი) დამახასიათებელია კოლხეთის დაბლობის შიდა რაიონებისათვის. დაბლობის დანარჩენ ტერიტორიაზე და შავი ზღვის სანაპიროზე ტემპერატურა $12-14^0$ -ია. იმერეთის მაღლობზე ტემპერატურა $10-12^0$ -ს შეადგენს. მესხეთის ქედზე ტემპერატურა კლებულობს 4^0 -მდე, ხოლო კავკასიონის მაღალმთიან ზონაში-მინუს 4^0 -მდე.

ალაზნისა და ქვემო ქართლის ვაკეებზე აპრილის საშუალო თვიური ტემპერატურა აღემატება 12^0 -ს. მთათაშორისი ბარის დანარჩენ ტერიტორიაზე ტემპერატურა $8-12^0$ -ია. მთებში ტემპერატურა კლებულობს, და ჯავახეთის და სამსარის ქედებზე 2^0 -ს, ხოლო მაღალმთიან ყაზბეგში-მინუს 8^0 -ს შეადგენს.

ივლისში ყველაზე მაღალი ტემპერატურა აღინიშნება ალაზნის და ქვემო ქართლის ვაკეებზე, აგრეთვე კოლხეთის დაბლობის ცენტრალურ ნაწილში და აფხაზეთის სანაპირო ზოლში, სადაც საშუალო თვიური ტემპერატურა 24^0 -ს აღემატება. კოლხეთის დაბლობის დანარჩენ ტერიტორიაზე, აგრეთვე შიდა ქართლის ვაკის სამხრეთ ნაწილში და ივრის

ზეგანზე ტემპერატურა $22-24^{\circ}$ -ის ფარგლებშია. მთებში ტემპერატურა კლებულობს, მესხეთის და თრიალეთის ქედებზე ეცემა 14° -მდე, ხოლო მაღალმთიან ყაზბეგში- 4° -მდე.

საქართველოს ტერიტორიაზე ზაფხულის 5

განსხვავებული ტიპი ყალიბდება: ძალიან თბილი, თბილი, ზომიერად თბილი, ზომიერად გრილი და გრილი. ძალიან თბილი ზაფხული, რომლის დროსაც ივლისის თვის საშუალო ტემპერატურა აღემატება 22° -ს, დამახასიათებელია კოლხეთის ბარის, ივრის ზეგანისა და ალაზნის ველისათვის. თბილი ზაფხული გავრცელებულია ტერიტორიის საკმაოდ დიდ ნაწილზე, მათ შორის იმერეთის მაღლობზე, შიდა და ქვემო ქართლში, კავკასიონის მთისწინეთში და ა.შ. აქ ივლისის საშუალო თვიური ტემპერატურა $18-22^{\circ}$ -ია. კავკასიონის სამხრეთ ფერდობის და საქართველოს სამხრეთ მთიანეთის დიდ ნაწილზე ზაფხული ზომიერად თბილია ($14-18^{\circ}$), ხოლო ზედა სარტყელში-ზომიერად გრილი ($10-14^{\circ}$). ძალზე მცირე ფართობზე, მყინვარწვერის მახლობლად, გაბატონებულია გრილი ზაფხული, როდესაც ივლისის საშუალო ტემპერატურა 10° -ზე ნაკლებია.

ოქტომბერში უდიდესი ტემპერატურები შევის სანაპირო ზოლში და კოლხეთის დაბლობის ტერიტორიის დიდ ნაწილზეა (16°). კოლხეთის დაბლობის აღმოსავლეთ ნაწილში ტემპერატურა 14° -მდე ეცემა. ამდენივეა ტემპერატურა აღმოსავლეთ საქართველოს ბარის ტერიტორიის დიდ ნაწილზე. სიმაღლის გაზრდით ტემპერატურა კანონზომიერად კლებულობს და სამხრეთ საქართველოს მთიანეთში შეადგენს 4° -ს, დასავლეთ კავკასიონის მაღალმთიან ზონაში ეცემა $0-მინუს 2^{\circ}$, ხოლო აღმოსავლეთ კავკასიონზე-მინუს 4° -მდე.

ტემპერატურის აბსოლუტური მინიმუმი საქართველოს ტერიტორიაზე აღინიშნა ყაზბეგში(მაღალმთიანი) და შეადგინა მინუს 42° -ს. ტემპერატურის აბსოლუტური მინიმუმი ხერგაში შეადგენს მინუს 40° -ს, ჯვრის უღელტეხილზე- მინუს 38° -ს, ბაკურიანში-მინუს 36° -ს, ხოლო ზღვისპირა რაიონებში არ ეშვება მინუს 10° -ზე დაბლა.

ტემპერატურის საშუალო მინიმუმის განაწილება ტერიტორიაზე ძირითადად შეესაბამება აბსოლუტური მინიმუმების განაწილებას. აფხაზეთის ზღვისპირა რაიონებში

ჰაერის ტემპერატურის საშუალო მინიმუმი შეადგენს მინუს 4° -ს, კოლხეთის დაბლობზე და აჭარაში-მინუს 8° -ს, აღმოსავლეთ საქართველოს ბარში-მინუს $12-16^{\circ}$ -ს, სამხრეთ საქართველოს მთიანეთში-მინუს $20-28^{\circ}$ -ს, ხოლო კავკასიონის ზონაში-მინუს $20-32^{\circ}$ -ს.

ტემპერატურის აბსოლუტური მაქსიმუმები აღნიშნულია ჭარნალში(შავი ზღვისპირეთის სამხრეთში) და ლათაში(აფხაზეთი), და შეადგენს 43° -ს. 42° დაფიქსირებულია ქუთაისში, წყალტუბოში, ზესტაფონში; $40-41^{\circ}$ -ქვემო ქართლში და ალაზნის ველზე. 2006 წლის 1 სექტემბერს 43° დაფიქსირდა ზესტაფონში, 42° -ქართლსა და კახეთში, ხოლო 41° -რაჭაში.

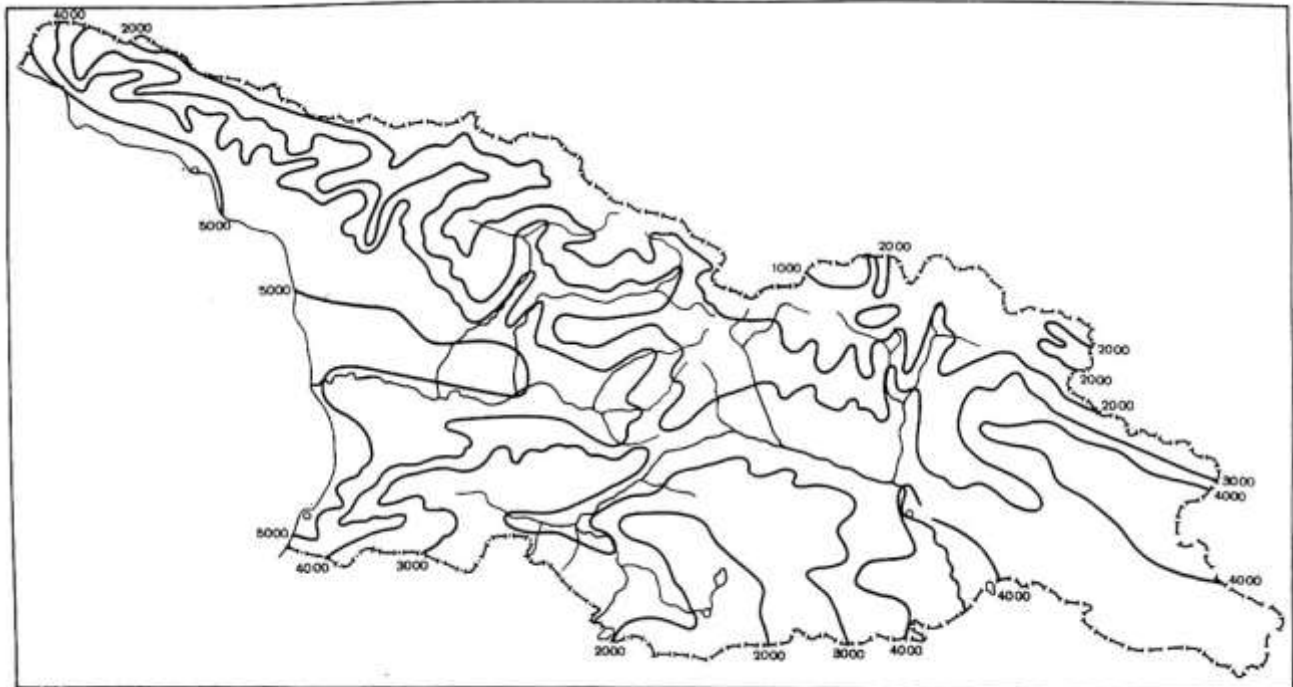
3.3. აქტიურ ტემპერატურათა ჯამები

სითბო წარმოადგენს სასოფლო-სამეურნეო წარმოების დიფერენციაციის ძირითად განმსაზღვრელ ფაქტორს. რაც მეტია სითბო და, შესაბამისად, მეტია სავეგეტაციო პერიოდის ხანგრძლოვობა, მით უკეთესი პირობებია მაღალი მოსავლის მოყვანისათვის. სოფლის მეურნეობის მიზნებისათვის ტერიტორიის სითბური რესურსების შესაფასებლად ხშირად მიმართავენ აქტიურ ტემპერატურათა ჯამს, როდესაც დღედამური ტემპერატურები 10° -ს აღემატება. ასეთი ტემპერატურების დროს ვეგეტაციას განიცდის სასოფლო-სამეურნეო მცენარეთა უმრავლესობა.

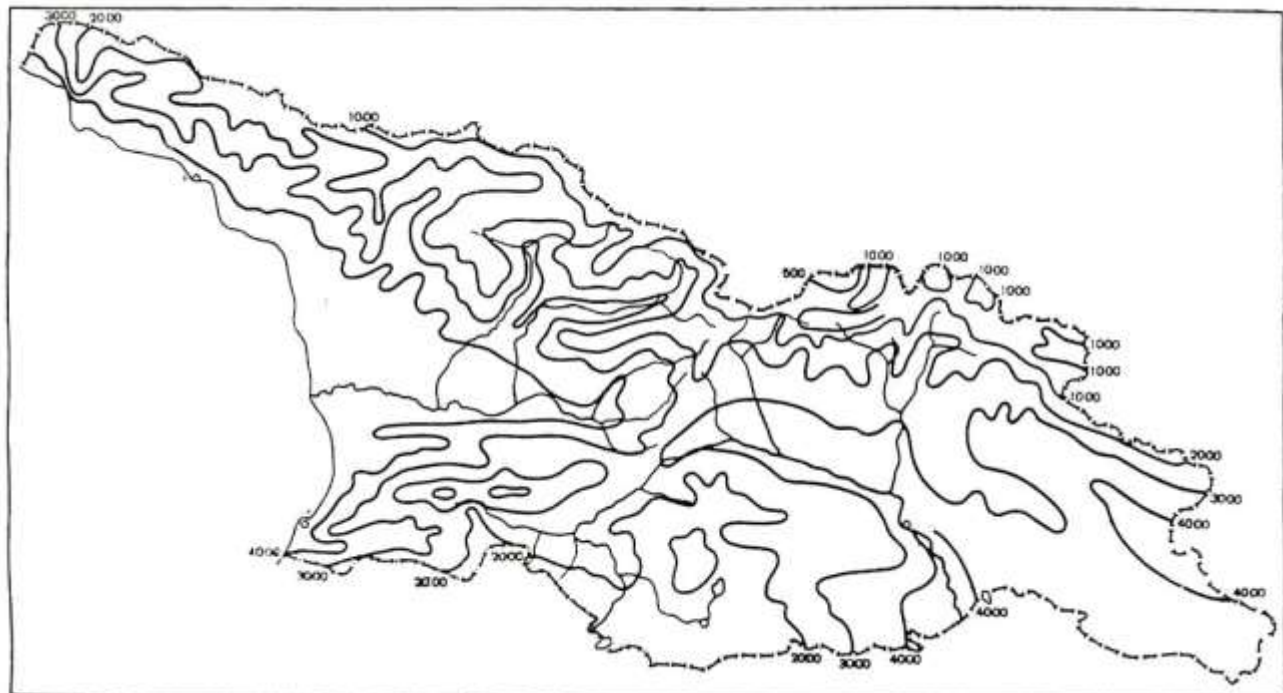
აქედან გამომდინარე, მეცნიერების რაციონალური განლაგებისა და განვითარებისათვის აუცილებელია აქტიურ ტემპერატურათა ჯამების ტერიტორიული განაწილების გათვალისწინება (ნახ.3.3.1, ნახ.3.3.2).

10° -ზე მეტი აქტიურ ტემპერატურათა უდიდესი ჯამები(4000° -ზე მეტი) გროვდება ქვემო ქართლის და ალაზნის ველის სამხრეთ რაიონებში, და კოლხეთის დაბლობზე. ადგილის სიმაღლის ზრდასთან ერთად ტემპერატურათა ჯამები კლებულობს, მაგრამ ის შეიძლება არის დამოკიდებული რელიეფის ფორმაზე, ფერდობის ექსპოზიციაზე და სხვა ადგილობრივ ფაქტორებზე. სამხრეთ საქართველოს მთიანეთში აქტიურ ტემპერატურათა ჯამი არ აღემატება 2000° -ს, ხოლო კავკასიონის მაღალმთიან ზონაში კლებულობს $500-1000^{\circ}$ -მდე.

სხვა სიღიდის ($5,15,20,25^0$) აქტიურ ტემპერატურათა ჯამების განაწილება ანალოგიურია 10^0 -ზე მეტი აქტიურ ტემპერატურათა ჯამების განაწილებისა-უდიდესია ქვემო ქართლში, ალაზნის ველზე და კოლხეთის დაბლობზე, ხოლო უმცირესია კავკასიონის მაღალმთიან ზონაში. კერძოდ, 5^0 -ზე მეტი აქტიურ ტემპერატურათა ჯამები ქვემო ქართლში, ალაზნის ველზე და კოლხეთის დაბლობზე შეადგენს დაახლოებით 5000^0 -ს და მეტს, სამხრეთ საქართველოს მთიანეთში- 2500^0 -ს, ხოლო კავკასიონის მაღალმთიან ზონაში არ აღემატება 2000^0 -ს. 20^0 -ზე მეტი აქტიურ ტემპერატურათა ჯამები შეადგენს ქვემო ქართლში, ალაზნის ველზე და კოლხეთის დაბლობზე 2000^0 -ზე ნაკლებს, ხოლო მთიან და მაღალმთიან ზონაში უმნიშვნელოა.



ნახ.3.3.1. 5° - გე მაღალი ჰაერის აქტიურ ტემპერატურათა ჯამები (შ.გავაშელი, 1971)



ნახ.3.3.2. 10^0 –ზე მაღალი ჰაერის აქტიურ ტემპერატურათა ჯამები (შ.გავაშელი, 1971)

3.4. ეფექტური ტემპერატურები და კლიმატოთერაპიის მეტეოროლოგიური პირობები

ადამიანის მიერ სითბოს შეგრძნების შესაფასებლად კლიმატოთერაპიაში ფართო გამოყენება აქვს ეკვივალენტურ-ეფექტურ და რადიაციულ-ეკვივალენტურ-ეფექტური ტემპერატურა გამოხატავს ადამიანის ორგანიზმზე ჰაერის ტემპერატურის, სინოტივის და მოძრაობის (ქარი) ერთობლივ მოქმედებას. რადიაციულ-ეკვივალენტურ-ეფექტური ტემპერატურა ჩამოთვლილი პარამეტრების გარდა ითვალისწინებს მზის რადიაციის გავლენას.

განიხილავთ ეფექტური ტემპერატურების სამ მახასიათებელს: ეკვივალენტურ-ეფექტურ ტემპერატურას ნორმალური სკალით(T1), ეკვივალენტურ-ეფექტურ ტემპერატურას ძირითადი სკალით(T2) და რადიაციულ-ეკვივალენტურ-ეფექტურ ტემპერატურას(T3). პირველი მათგანი განსაზღვრავს საერთო აეროთერაპიის პირობებს, მეორე-ჰაერის აბაზანების ჩატარების პირობებს, მესამე-ჰელიოთერაპიის პირობებს. ეფექტური ტემპერატურების საანგარიშო ფორმულებს შემდეგი სახე აქვს:

$$T(1)=t-G/80[0,00439T^2+0,456T+9,5]+W[(0,11T-0,13)-0,002TG], \quad (3.4.1)$$

$$T(2)=(T1-7)/0,8,$$

$$T(3)=T2-6,5,$$

აქ $T=t-t(1)$ და $G=100-r$, სადაც t -ჰაერის ტემპერატურაა, $t(1)$ -ადამიანის სხეულის ტემპერატურაა, W -ქარის სიჩქარეა დედამიწის ზედაპირიდან 2მ სიმაღლეზე, r -ჰაერის შეფარდებითი სინოტივა.

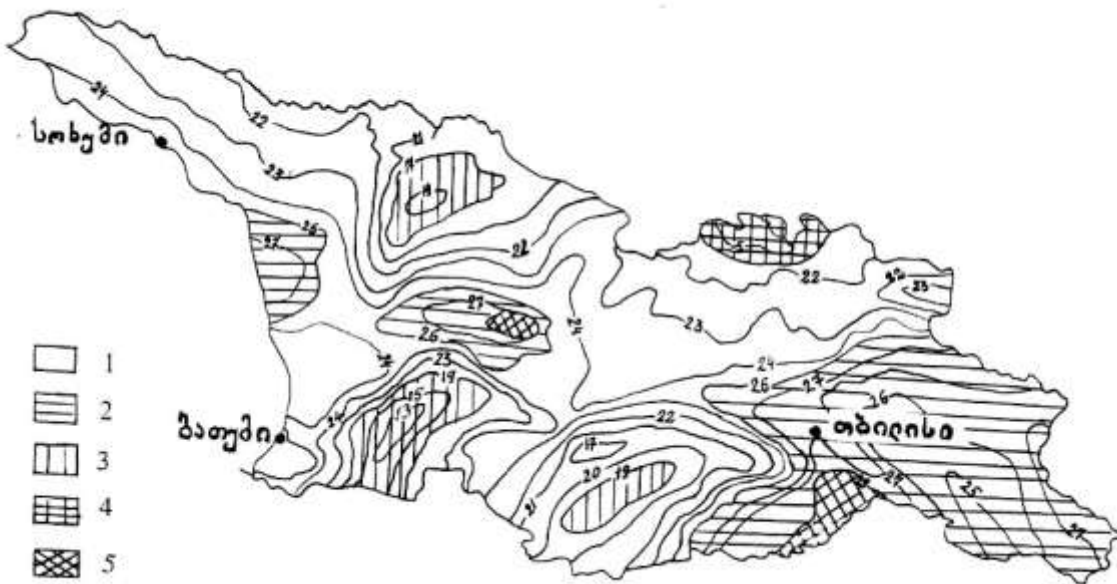
თუ გავითვალისწინებთ, რომ $W=0,7V$, სადაც V ქარის სიჩქარეა ანემოგრიის გაზომვის დონეზე, და ჩავთვლით, რომ $t(1)=37^{\circ}\text{C}$, მაშინ ეკვივალენტურ-ეფექტური ტემპერატურისათვის ნორმალური სკალით მივიღებთ:

$$T(1)=t-(100-r)/80[0,00439(t-37)^2+0,456(t-37)+9,5]+ \quad (3.4.2.) \\ +0,7V[(0,11(t-37)-0,13)-0,002(t-37)(100-r)].$$

ნახ. 3.4.1.-ზე წარმოდგენილია ივლისის თვეში 13 საათზე რაღიაციულ- ეპვივალენტურ-ეფექტური ტემპერატურების განაწილების რუკა. როგორც რუკიდან ჩანს საქართველოს ტერიტორიის დიდ ნაწილზე ივლისში 13 საათზე რაღიაციულ- ეპვივალენტურ-ეფექტური ტემპერატურები იცვლება 19-დან 26-მდე ფარგლებში, რაც ქმნის სითბოს კომფორტულ შეგრძნებას და ხელს უწყობს ინდუსტრიული მზის აბაზანების მიღებას (Г.А.Ушверидзе, 1977). კომფორტული პირობები იქმნება კავკასიონის მაღალმთიან ზონაშიც კი, რაც მთებში მზის რაღიაციის მაღალი დაძაბულობის შედეგია.

ეფექტური ტემპერატურების მაღალი მნიშვნელობები(26-29⁰) აღინიშნება აღმოსავლეთ საქართველოს დაბლობ რაიონებში და კოლხეთის ბარში, საღაც იქმნება მზის თბილი აბაზანების მიღების პირობები. ცალკეულ რაიონებში კი ყალიბდება მხოლოდ გრილი, ცივი და ზომიერად ცხელი მზის აბაზანების ჩატარების პირობები.

ნახ.3.4.2.-ზე წარმოდგენილია ეფექტური ტემპერატურების წლიური სვლა და სითბოს შეგრძნების პირობები კლიმატოთერაპიის სხვადასხვა სახის პროცედურების ჩატარების დროს საქართველოს განსხვავებულ კლიმატურ პირობებში. როგორც ჩანს, საერთო აეროთერაპიის ჩატარებისათვის ყველაზე კომფორტული



ნახ.3.4.1. რადიაციულ-ეფექტურ-ეკვივალენტური ტემპერატურები და ჰელიოთერაპიის პირობები ივლისში 13 საათზე: 1-კომფორტი; 2-თბილა; 3-გრილა; 4-ზომიერად გრილა; 5-ზომიერად ცხელა

პირობები [T(1)=17-22°] იქმნება ქობულეთში მასისის დასასრულიდან ოქტომბრის შუა რიცხვებამდე, წყალტუბოში-აპრილიდან ივლისის შუა რიცხვებამდე და სექტემბრის შუა რიცხვებიდან ოქტომბრის ბოლომდე, ხოლო ბაკურიანში ეგვივალენტურ-ეფექტური ტემპერატურები ვერ აღწევნ კომფორტის ზონას. ივლისის შუა რიცხვებიდან სექტემბრის შუა რიცხვებამდე წყალტუბოში აღინიშნება ჭარბი სითბო.

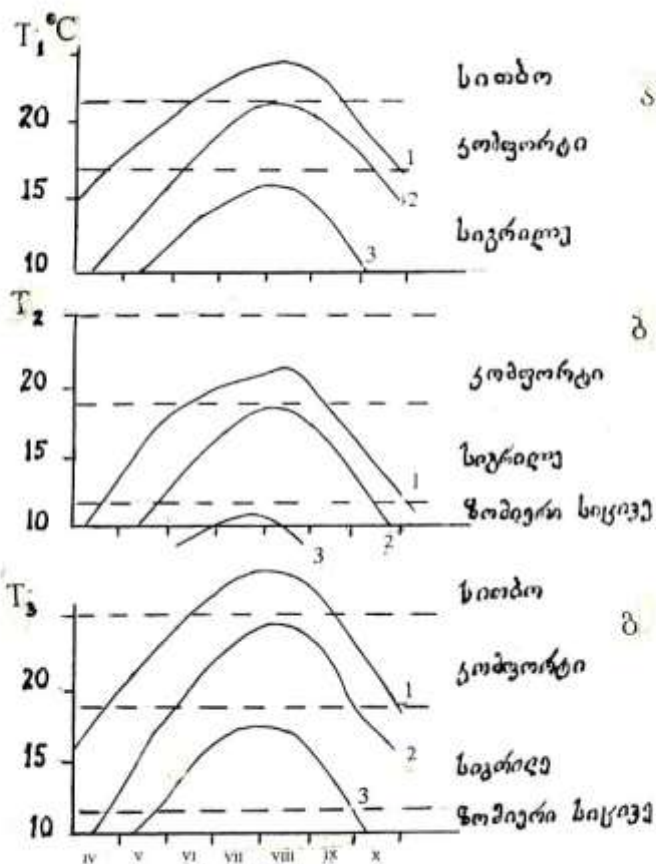
ყველაზე კეთილსასურველი პირობები ჰაერის აბაზანების ჩატარებისათვის [T(2)=19-25°] 13 საათზე იქმნება წყალტუბოში და გრძელდება ივნისის შუა რიცხვებიდან სექტემბრის შუა რიცხვებამდე. ქობულეთში ჰაერის აბაზანები მიზანშეწონილია დაიგეგმოს კომფორტის ზონის პირობების ქვემოთაც-მასის ბოლოდან ოქტომბრის შუა რიცხვებამდე. ბაკურიანში კი ჰაერის აბაზანების ჩატარებისათვის კომფორტული პირობები მთელი წლის განმავლობაში არ იქმნება.

ჰელიოთერაპიისათვის კომფორტული პირობები [T(3)=19-25°] ქობულეთში იქმნება ივნისის დასაწყისიდან ოქტომბრის ჩათვლით და, ხოლო წყალტუბოში- მას-ივნისში და სექტემბერ-ოქტომბერში.

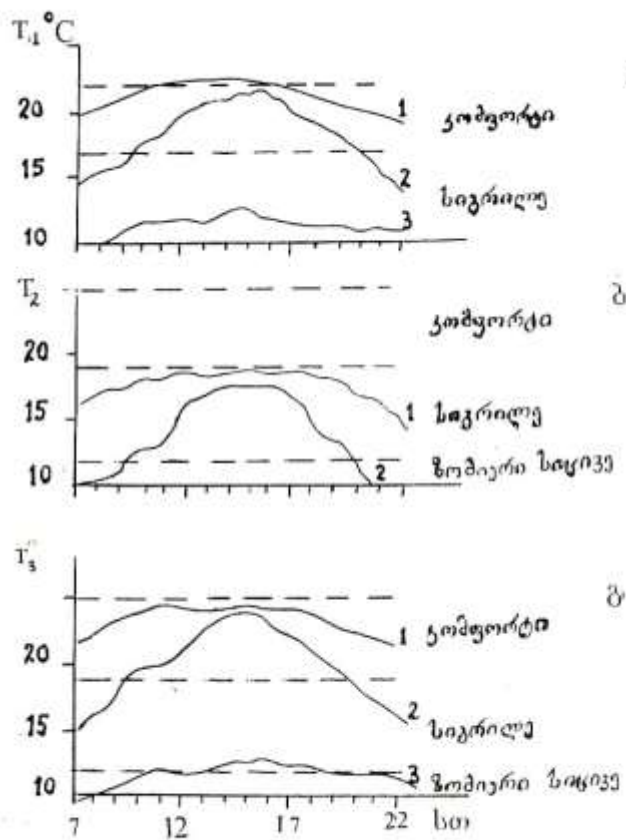
ეფექტური ტემპერატურების დღიური სვლის შესახებ შეიძლება ვიმსჯელოთ ნახ.3.4.3.-დან.

დღის განმავლობაში ყველაზე კეთილსასურველი პირობები, როგორც საერთო აეროთერაპიისათვის, ისე ჰელიოთერაპიისათვის იქმნება ქობულეთში. კომფორტის ზონა რამდენადმე შეზღუდულია აბასთუმანში, სადაც ის გრძელდება 10 საათიდან 20 საათამდე. მაღალმთიან კურორტ ბახმაროზე იქმნება დისკომფორტთან ახლო პირობები.

ამგვე ნახ.-დან გამომდინარეობს, რომ ჰაერის აბაზანები შეზღუდულია ქობულეთშიც კი, სადაც ადამიანის მიერ სითბოს შეგრძნება იმყოფება კომფორტის ზონის დაბლა.



ნახ.3.4.2. ეფექტური ტემპერატურების წლიური სვლა და სითბოს შეგრძნება საერთო აეროთერაპიის(ა), ჰაერის აბაზანების(ბ) და ჰელიოთერაპიის(გ) პირობებში; 1-წყალტუბო; 2-ქობულეთი; 3-ბაკურიანი



ნახ.3.4.3. ეფექტური ტემპერატურების დღელამური სვლა და სითბოს შეგრძნება ივლისში საერთო აეროთერაპიის(ა), ჰაერის აბაზანების(ბ) და ჰელიოთერაპიის(გ) პირობებში: 1-ქობულეთი; 2-აბასთუმანი; 3-ბაზმარო

ეს დასკვნები შეიძლება გავრცელდეს ანალოგიურ ფიზიკურ-გეოგრაფიულ პირობებში და იმავე მაღლივ სარტყელში განლაგებულ სხვა პუნქტებზეც. დასკვნები შეესაბამება საშუალო კლიმატურ პირობებს და ცალკულ წლებში მოსალოდნელია მათი რამდენადმე გადახრა.

3.5. ჰაერის სითბოშემცველობა

ეფექტური ტემპერატურების საკურორტო პრაქტიკაში დღი გამოყენების მიუხედავად დღემდე მაინც ვერ მოხერხდა საიმედო კავშირის დამყარება ამ ტემპერატურებსა და ზოგიერთ ფიზიოლოგიურ მაჩვნებელს შორის. ამიტომ, ხშირად ეფექტურ ტემპერატურებს უპირისპირებენ სხვა პირობით ინდექსებს. ერთ-ერთი ასეთი ინდექსია ჰაერის სითბოშემცველობა. ის გამოისახება კპალ/კგ-ში და გამოხატავს სითბოს იმ რაოდენობას, რასაც ობიექტურად შეიცავს რეალური ჰაერი. სითბოშემცველობა პრაქტიკულად განისაზღვრება სპეციალური ნომორამებიდან, როგორც ჰაერის ტემპერატურის და შეფარდებითი სინოტივის ფუნქცია(К.С. Гогишвили, 1974; მ.ელიზარაშვილი, 1999).

ნახ.3.5.1-ზე წარმოდგენილია ჰაერის სითბოშემცველობის წლიური სვლა საქართველოს სხვადასხვა კლიმატურ პირობებში. არსებული გამოკვლევების თანახმად სითბო კომფორტი შეიგრძნობა მაშინ, როდესაც სითბოშემცველობა ჰაერში უახლოვდება $10\text{კპალ}/\text{კგ}$ (9-11 კპალ/კგ). ასეთი პირობები გაგრაში აღინიშნება მაისში და ოქტომბრის პარველ ნახევარში. მაისის ბოლოდან ოქტომბრის დასაწყისამდე ჰაერი ხასიათდება ჭარბი სითბოშემცველობით, ხოლო წლის დანარჩენ დროს ე.ი. ოქტომბრის ბოლოდან მაისის დასაწყისამდე ჰაერში აღინიშნება სითბოს დეფიციტი. ანალოგიური სურათია მთლიანად შავიზღვისპირეთში და კოლხეთის ბარში, კერძოდ სოხუმში, ფოთში, ბათუმში, ურეკში, სამტრედიაში, წყალტუბოში, ქუთაისში და სხვა.

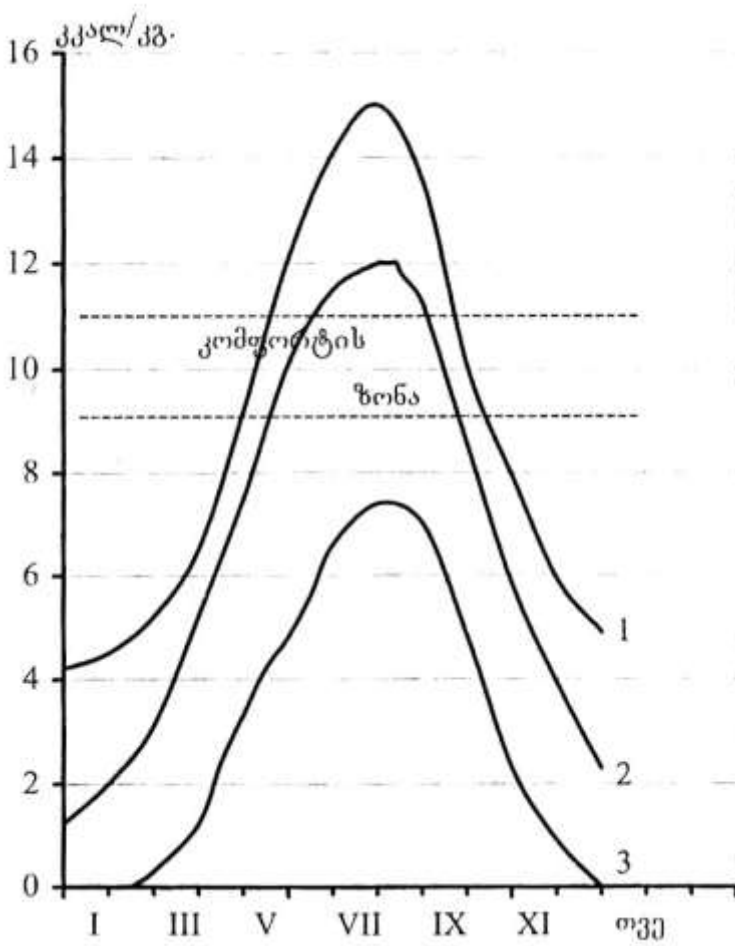
თბილისში სითბო კომფორტი აღინიშნება მაისის შუა რიცხვებიდან ივნისის ბოლომდე და სექტემბრის განმავლობაში. ჭარბი სითბოშემცველობაა ივნისის ბოლოდან სექტემბრამდე, ხოლო ოქტომბრიდან აპრილის ჩათვლით სითბოს დეფიციტია. ანალოგიური მდგომარეობაა მთლიანად

აღმოსავლეთ საქართველოს ბარში-ბოლნისში, რუსთავში, გურჯაანში და სხვ.

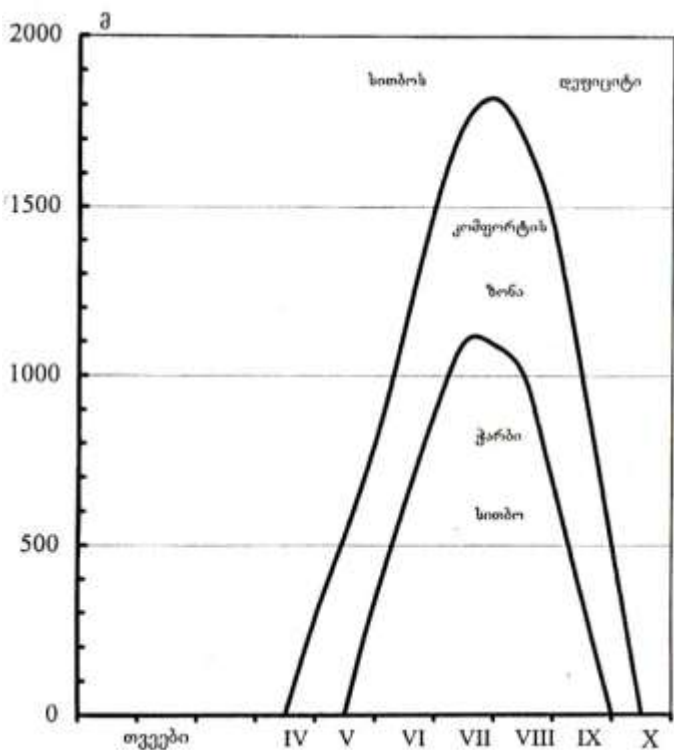
ბახმაროში ჰაერის სითბოშემცველობა ვერ აღწევს კომფორტის ზონას და მთელი წლის განმავლობაში აღინიშნება სითბოს დეფიციტი.

ნახ.3.5.2-ზე წარმოდგენილია სითბური ზონების ჭრილი საქართველოს ტერიტორიისათვის ადგილის სიმაღლისა და ოვეების მიხედვით.

ნახ.3.5.2-დან ჩანს, რომ კომფორტული სითბური პირობები საქართველოში ყალიბდება აპრილის მე-2 ნახევარში ზღვის დონედან 200მ სიმაღლემდე. კომფორტული პირობები ამ დროს არის ზღვისპირა კურორტებზე და კოლხეთის დაბლობზე. მაისში კომფორტული ზონა ვრცელდება ზღვის დონედან 500მ-სიმაღლემდე, ხოლო მის მაღლა შეიგრძნობა სითბოს დეფიციტი. ივნისში კომფორტული ზონა მოთავსებულია 500-1100მ სიმაღლივ სარტყელში. ამ დროს კომფორტული ზონის დაბლა სითბოს სიჭარბე აღინიშნება, ხოლო ამავე ზონის მაღლა სითბოს დეფიციტია. ივლის-აგვისტოში კომფორტული სითბური პირობები ყალიბდება 1100-1700მ სიმაღლივ სარტყელში. სექტემბერში კომფორტული ზონა მოთავსებულია დააზღლებით 300-1000მ სარტყელში, და სითბური პირობები თითქმის ანალოგიურია, რაც ივნისის პირველ ნახევარში. ოქტომბრის პირველ ნახევარში კომფორტული პირობები უმთავრესად ყალიბდება



ნახ. 3.5.1. ჰაერის სითბოშემცველობის წლიური სვლა; 1-გაერა; 2-თბილისი; 3-ბათუმი (ბ.ელიზბარაშვილი, 1999)



ნახ.3.5.2. სითბური ზონების ჭრილი საქართველოს
ტერიტორიისათვის (მ.ელიზბარაშვილი, 1999)

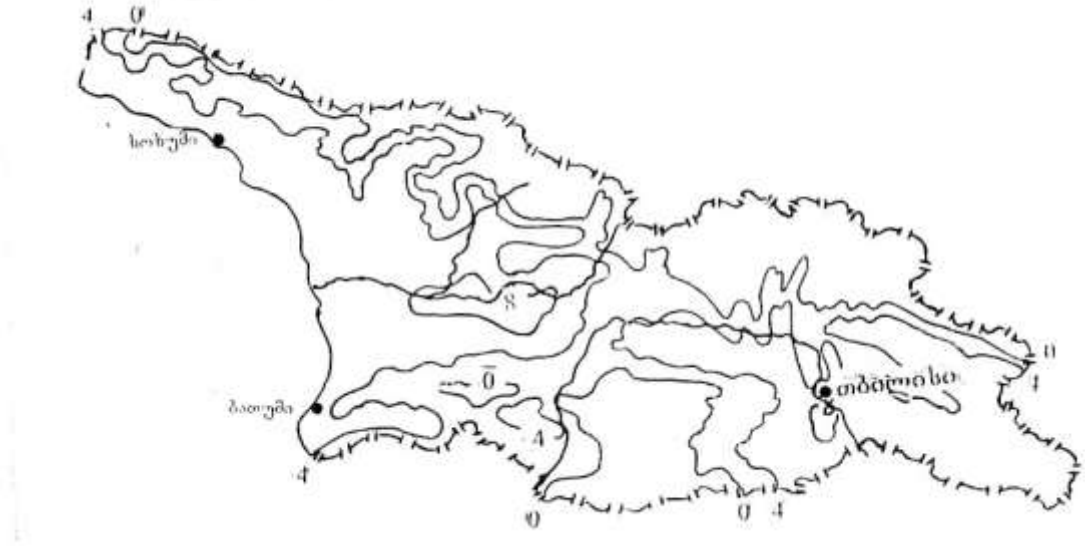
ზღვის დონედან 400მ სიმაღლემდე ე.ი. შავი ზღვის სანაპიროზე და კოლხეთის დაბლობზე, და აგრეთვე აღმოსავლეთ საქართველოს შესაბამის სიმაღლეებზე.

3.6. მაღალი და დაბალი დისკომფორტული ტემპერატურები

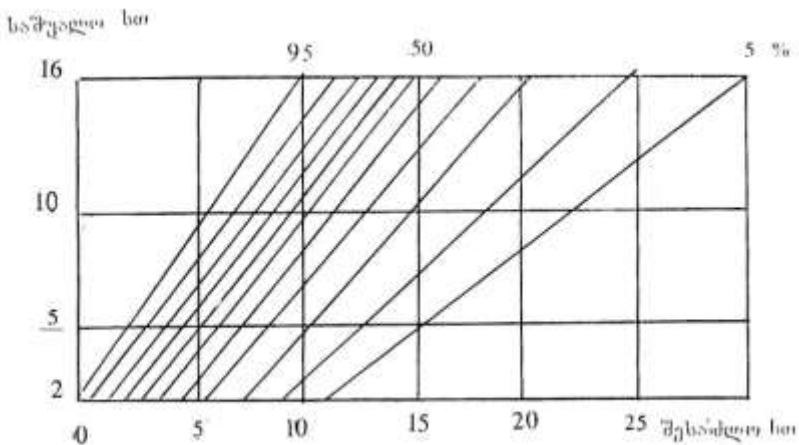
ექსტრემალურად მაღალი და დაბალი ტემპერატურები უარყოფით გავლენას ახდენს ადამიანის ორგანიზმზე ტექნიკის მრავალ სახეობაზე, სამშენებლო მასალებზე, რკინიგზის ტრანსპორტზე და სხვ., ხოლო თუ ჰაერის ტემპერატურა უახლოვდება ადამიანის სხეულის ტემპერატურას, ის მავნე გავლენას ახდენს მის ჯანმრთელობაზე. ასეთი ტემპერატურების უარყოფითი გავლენის ეფექტი მით მეტია, რაც მეტია მათი უწყვეტი ხანგრძლივობა.

მაღალი ტემპერატურების ხანგრძლივობის განაწილება ტერიტორიაზე განპირობებულია რადიაციული რეჟიმით, ატმოსფეროს ცირკულაციის თავისებურებებით და ადგილობრივი ოროგრაფიული პირობებით. შავიზღვისპირეთში ასეთი ტემპერატურების ხანგრძლივობა არ არის დიდი, ზღვიდან დაშორებისას ხანგრძლივობა მატულობს და მაქსიმუმს კოლხეთის ბარის შიდა რაიონებში აღწევს(ცხრილი 3.6.1, ნახ. 3.6.1).

ცხრილში ტირე აღნიშნავს, რომ მაღალი ტემპერატურები არ დაიკვირვება, ან მათი ხანგრძლივობა არ აღწევს 1 საათს. ცხრილიდან გამომდინარეობს, რომ იმ პერიოდების პორიზონტალური გრადიენტი, როდესაც ტემპერატურა აღემატება 30° -ს გაცილებით მეტია, ვიდრე იმ პერიოდებისა, როდესაც ტემპერატურა აღემატება 35 და 40° -ს. ეს იმით აისწნება, რომ 30° -ზე მაღალი ტემპერატურების ხანგრძლივობა სანაპიროზე სწრაფად კლებულობს, ვიდრე ზღვიდან დაშორებულ ადგილებში. 40° -ზე მაღალი ტემპერატურები კი სანაპიროზე პრაქტიკულად



ნახ.3.6.1. მაღალი დისკომფორტული ტემპერატურების (30° და მეტი) უწყვეტი ზანგრძლივობა.
საათი



ნახ.3.6.2. სხვადასხვა უზრუნველყოფის მაღალი
დისკომფორტული ტემპერატურების უწყვეტი ხანგრძლიობის
გამოსაანგარიშებელი ნომოგრამა

არ აღინიშნება, ან წელიწადში მხოლოდ რამოდენიმე საათს გასტანს (ე.ელიზბარაშვილი, ზ.ჭავჭანიძე, 1992). თუ რა ფარგლებში იცვლება 30° -ზე მაღალი ტემპერატურების ხანგრძლივობა მისი ფიქსირებული საშუალო მნიშვნელობის დროს შეიძლება ვიმსჯელოთ ნომოგრამიდან(ნახ.3.6.2). მაგალითად, თუ ფაქტობრივი მონაცემებით 30° -ზე მაღალი ტემპერატურების ხანგრძლივობა იცვლება 2-დან 10საათამდე, ნომოგრამიდან გამომდინარე ასეთი პერიოდების მოსალოდნელი ხანგრძლივობა იცვლება 0-დან 22საათამდე.

ცხრილი 3.6.1. მაღალი ტემპერატურების ($^{\circ}\text{C}$) საშუალო
უწყვეტი ხანგრძლივობა. საათი
(ე.შ. ელიზბარაშვილი, ჩ.შ. გონგლაძე, 1980)

პუნქტი	ივნისი		ივლისი			აგვისტო		
	ј30	ј35	ј30	ј35	ј40	ј30	ј35	ј40
სოხუმი	4	2	5	3	-	5	3	-
ბათუმი	3	2	4	2	-	4	3	-
ქუთაისი	8	6	11	6	4	13	7	4
წყალტუბო	9	5	10	6	3	12	6	4
სენაკი	7	3	8	4	-	8	4	-
ტყიბული	4	2	5	2	-	6	3	-
მესტია	1	-	3	-	-	3	-	-
ახალქალაქი	1	-	2	-	-	3	-	-
თბილისი	6	4	9	6	-	8	7	-
დუშეთი	4	-	5	-	-	5	-	-
თელავი	5	2	7	2	-	7	3	-

უარყოფითი ტემპერატურების დროს ადამიანის ორგანიზმში მრავალი ფიზიოლოგიური პროცესი ირღვევა. ასეთი პირობების სითბური კომფორტის შესაფასებლად სამედიცინო კლიმატოლოგიაში გამოიყენება სხვადასხვა მაჩვენებელი, მათ შორის ყველაზე გავრცელებულია ბოლმანის “სიმკაცრის” ინდექსი:

$$S = (1 - 0,04T)(1 + 0,272V), \quad (3.6.1)$$

სადაც T – ჰაერის ტემპერატურაა, V – ქარის სიჩქარეა. ბოლმანის ფორმულა მიღებულია ექსპერიმენტულად, სადაც ადამიანის გამარტივებულ მოდელად ჩათვლილი იყო წყლით გავსებული ჭურჭელი. ცხადია, რომ ასეთი მოდელი არ ითვალისწინებს ადამიანის ფიზიოლოგიურ თვისებებს, რის გამოც მან ვ.ადამენკოს (1979) სამართლიანი კრიტიკა დამსახურა. ვ.ადამენკომ სიმკაცრის დასახასიათებლად შემოიტანა დაყვანილი ტემპერატურა, რომელიც ითვალისწინებს ადამიანის სითბურ რეჟიმზე მეტეოროლოგიური ფაქტორების გავლენას, ადამიანის მეტაბოლიზმს და სითბოპროდუქციას:

$$Q = T - 8,2\sqrt{V} \quad (3.6.2.)$$

სადაც $1Q$ -დაყვანილი ტემპერატურაა, T -ჰაერის
ტემპერატურა, V -ქარის სიჩქარეა.

მან დაასაბუთა დაყვანილი ტემპერატურის საზღვრები,
როდესაც ხდება დისკომფორტული პირობების ინტენსივობის
შეცვლა:

$Q_{\text{უ}}-20^{\circ}$ – კომფორტთან ახლოს;

$-20^{\circ}\text{უ} Q_{\text{უ}}-27^{\circ}$ – სუსტი დისკომფორტი, შეზღუდულია
ადამიანის ყოფნა და ცის ქვეშ;

$-27^{\circ}\text{უ} Q_{\text{უ}}-33^{\circ}$ – ზომიერი დისკომფორტი, ირლევვა
სისხლის მიმოქცევა სხეულის ქსოვილის და ნაწილებში;

$-33^{\circ}\text{უ} Q_{\text{უ}}-38^{\circ}$ – ძლიერი დისკომფორტი, იწყება
სისხლის მიმოქცევის სრული შეწყვეტა და ჰიპოთერმია;

$-38^{\circ}\text{უ} Q_{\text{უ}}-40^{\circ}$ – მკაცრი დისკომფორტი, ზღუდვს
ხანძოკლედ ყოფნასაც კი ჰაერზე სპეციალური ზომების
მიღების გარეშე.

ცხრილში 3.6.2. წარმოდგენილია იანვრის თვის
ჰაერის ტემპერატურის, ქარის სიჩქარის და მათ საფუძველზე
გაანგარიშებული დაყვანილი ტემპერატურების მნიშვნელობები
საქართველოს ზოგიერთი პუნქტისათვის. ამავე ცხრილშია
მოტანილი ბოდმანის ინდექსები.

ცხრილის თანახმად ჯვრის უღელტეხილზე, სადაც
ჰაერის ტემპერატურა მინუს 11° -ზე ნაკლებია, იქნება სუსტი
დისკომფორტის პირობები, მაშინ როდესაც მთა-საბუეთში და
ცხრაწყაროზე, სადაც ტემპერატურა მნიშვნელოვნად მეტია,
იქნება ზომიერი დისკომფორტის პირობები, რაც

**ცხრილი 3.6.2. იანვრის თვის სითბური დისკომფორტის
მაჩვენებლები (მ.ელიზბარაშვილი, 1999)**

პუნქტი	T ⁰	Vგ/წგ	Q ⁰	ვალისკომფორტის ხარისხი	S
ემამისონის უღელტეხილი	-12,0	6,6	-32	ზომიერი	4,13
ჯვრის უღელტეხილი	-11,4	2,2	-24	სუსტი	2,32
ვგაგრის ქვედი	-3,9	4,2	-23	სუსტი	2,46
გუდაური	-6,7	1,5	-19	კომფორტულ ახლოს	1,79
კობი	-0,8	1,7	-20	სუსტი	1,93
ფასანაური	-4,1	0,9	-11	კომფორტულ ახლოს	1,44
შოვი	-5,6	1,1	-13	კომფორტულ ახლოს	1,59
მესტია	-6,0	0,6	-15	კომფორტულ ახლოს	1,44
ა:ყაზბეგი, მაღალმთიანი	-15,0	7,0	-35	ძლიერი	4,64
ომალო	-9,1	0,8	-18	კომფორტულ ახლოს	1,66
მთა-საბური	-3,9	8,8	-30	ზომიერი	3,90
ბახმარო	-5,2	3,0	-21	სუსტი	2,20
ბაქურიანი	-7,2	2,2	-19	კომფორტულ ახლოს	2,06
(ცხრაწყარო	-10,9	6,8	-32	ზომიერი	4,07
აზალქალაქი	-7,2	3,7	-25	სუსტი	3,52

გამოწვეულია ჯვრის ურელტეხილზე ქარის დაბალი სიჩქარით.

დისკომფორტული პირობები მაღალმთიან ზონაში თითქმის მთელი წლის განმავლობაში დაიკვირვება. ასე მაგალითად, მაღალმთიან ყაზბეგში ძლიერი დისკომფორტი იანვრის გარდა აღინიშნება დეკემბერში, თებერვალსა და მარტში. ოქტომბერში, ნოემბერსა და აპრილში დისკომფორტის ინტენსივობა რამდენადმე სუსტდება და ზომიერ ხასიათს დებულობს. ზომიერი დისკომფორტული პირობები მაბისონის უღელტეხილზე და ცხრაწყაროში გრძელდება დეკემბრიდან მარტის ჩათვლით, შემდეგ კი ყალიბდება სუსტი დისკომფორტი.

თავი 4. ატმოსფერული ტენის რეჟიმი და რესურსები

4.1. სინოტივის რეჟიმის ზოგადი დახასიათება

წყალი ატმოსფეროს შემაღენელი მუდმივი კომპონენტია. ის ატმოსფეროში არსებობს სამ-თხევად, მყარ და აირად აგრეგატულ მდგომარეობაში. ატმოსფეროში არსებულ წყალს სხვადასხვა მაჩვენებლით ახასიათებენ, მათ შორის ყველაზე გავრცელებულია წყლის ორთქლის პარციალური წნევა, აბსოლუტური და შეფარდებითი სინოტივე.

საშუალო დასკვნების თანახმად წყლის ორთქლის პარციალური წნევის განაწილება შეესაბამება ტემპერატურის განაწილებას-მისი უდიდესი მნიშვნელობები აღინიშნება შავი ზღვის სანაპირო ზოლში და დასავლეთ საქართველოში. ზღვიდან დამორებისა და ადგილის სიმაღლის ზრდასთან ერთად წყლის ორთქლის პარციალური წნევა კანონზომიერად კლებულობს(ცხრილი4.1.1).

წყლის ორთქლის პარციალური წნევის დღედამური სვლა აგრეთვე შეესაბამება ჰაერის ტემპერატურის დღედამურ სვლას-

ცხრილი 4.1.1. წყლის ორთქლის პარციალური წნევა ამიერკავკასიაში. ვჰპა
(Э.Ш.Элизбарашвили, 1978)

სიმაღლე მ	თვეები											
	I	II	III	IV	V	VI	VII	VIII	IX	X	XI	XII
0	6,5	7,0	8,0	11,0	14,5	18,0	22,0	22,0	19,0	14,0	10,0	7,5
500	5,0	5,0	9,0	13,0	13,0	15,0	18,0	18,0	14,5	11,0	8,0	6,0
1000	4,0	4,0	5,0	8,0	11,0	13,0	14,5	14,5	12,0	9,5	7,0	5,0
1500	3,5	3,5	4,5	6,5	9,0	11,5	13,0	13,0	11,0	8,0	6,0	4,5
2000	3,0	3,0	3,5	5,0	7,5	9,5	11,6	11,0	9,0	6,5	5,0	3,5
2500	2,5	2,5	3,0	4,5	6,5	8,0	10,5	10,0	8,0	6,0	4,5	3,0
3000	2,0	2,0	3,0	4,0	5,0	7,0	8,0	8,0	6,0	4,5	3,5	2,0

მაქსიმუმი მყარდება შუადღეს, ხოლო მინიმუმი-შუაღამეს ან დილით.

ჰაერის შეფარდებითი სინოტივე საქართველოს ტერიტორიაზე იცვლება ფართო დიაპაზონში. მისი უდიდესი საშუალო წლიური მნიშვნელობები(80-82%) აღინიშნება სანაპირო რაიონებში, ხოლო უმცირესი(65-70%)-აღმოსავლეთ საქართველოში. დროისა და სივრცეში შეფარდებითი სინოტივე იცვლება მრუდწიროვნად, რაც აისწენება ჰაერის ნოტიო და გაჯერებული ფენების შედარებით მშრალ ფენებთან მონაცემებით. განსაკუთრებით მკვეთრი ცვლილებები მის სვლაში აღინიშნება ქვედა სარტყელში 800-1000მ სიმაღლემდე. დასავლეთ საქართველოს მთან რაიონებში შეფარდებითი სინოტივე ნაკლებია(70-75%), ვიდრე ზღვისპირა ზოლში(75-80%). აღმოსავლეთ საქართველოში აღინიშნება შებრუნებული სურათი-შეფარდებითი სინოტივე მაქსიმუმს მთან რაიონებში(80-90%) აღწევს. ასეთი ფენები შეესაბამება ზაფხულის კონვექციის დონეს ღრუბლების ხშირი წარმოქმნის რაიონებში(ე.შ.ელიზბარაშვილი, 1978).

შეფარდებითი სინოტივის წლიური სვლა დასავლეთ და აღმოსავლეთ საქართველოში განსხვავებულია (ცხრილი4.1.2.). დასავლეთ საქართველოში ის ატარებს ზღვის ჰავის დამახსიათებელ თვისებებს-ზაფხული უფრო ტენიანია, ვიდრე ზამთარი. აღმოსავლეთ საქართველოში აღინიშნება საწინააღმდეგო სურათი, რაც დამახსიათებელია კონტინენტური ჰავისათვის.

შეფარდებითი სინოტივის დღეღამური სვლა ტემპერატურის დღეღამური სვლის შებრუნებულია. გარკვეულ სიმაღლემდე შეფარდებითი სინოტივის მინიმუმი მყარდება შუადღის საათებში, ხოლო მაქსიმუმი-დამით. დაწყებული 1500მ სიმაღლიდან დასავლეთ საქართველოში

ცხრილი 4.1.2. პაერის შეფარდებითი სინოტივე. %.

პუნქტი	თვეები											
	I	რა	რამა	რა	თ	თა	თამა	თამა	რა	რა	რა	რამა
სოხუმი	76	76	76	76	78	79	80	79	79	78	76	74
ბათუმი	76	78	80	81	82	80	81	83	85	86	83	77
ბათუმი	73	74	72	67	70	76	80	78	77	72	71	70
ქუთაისი	68	68	69	66	69	72	76	75	74	71	65	64
გორი	82	79	74	68	70	68	66	66	70	71	81	82
ახალქალაქი	76	77	76	70	70	73	73	68	69	72	75	76
თბილისი	73	69	66	62	64	60	56	57	64	73	77	76
ყაზბეგი მ/მ	66	68	68	69	70	71	70	69	66	63	60	60

და 3000გ სიმაღლიდან აღმოსავლეთ საქართველოში, განსაკუთრებით ზაფხულში, ადგილი აქვს ექსტრემუმების წანაცვლებას-მინიმუმი მყარდება 7სთ-ზე, ხოლო მაქსიმუმი-13-19სთ-ზე, რაც განპირობებულია კონვექციური პროცესების განვითარებით, რასაც დიდი ტენის რაოდენობა გადააქვს ბარილან მთებში.

შეფარდებითი სინოტივე შეადლის საათებში აპირობებს აორთქლების ონტენსივობის პროცესს და დატენიანების რეჟიმს, ამიტომ დიდი ყურადღება ენიჭება მის მნიშვნელობას 13 საათზე. შეფარდებითი სინოტივე 13 საათზე საქართველოს ტერიტორიაზე იცვლება 48-77% ფარგლებში. მისი უდიდესი მნიშვნელობა აღინიშნება შავიზღვისპირეთის სამხრეთში და კოლხეთის ბარის მთისწინეთში, და შეადგენს 67-77%-ს. ზღვიდან დაშორებისას ის კლებულობს. აგრეთვე კლებულობს სიმაღლის ზრდასთან ერთად, ხოლო მაღალმთიან ზონაში კვლავ იზრდება.

საყურადღებოა მშრალი და ნოტიო პერიოდები, ე.ო. ისეთი პერიოდები, როდესაც შეფარდებითი სინოტივე შესაბამისად არ აღმატება 30%-ს და არ უცემა 80%-ზე დაბლა. პირველი შემთხვევა არსებითად უკავშირდება ფიონურ პროცესებს, კერძოდ ფიონის ონტენსივობას და სიხშირეს. წლის განმავლობაში მშრალ დღეთა რიცხვი დასავლეთ საქართველოს დაბლობ და ზღვისპირა რაიონებში მერყეობს 1-დან 30-მდე ფარგლებში. კოლხეთის ბარის სიღრმეში ასეთი დღეთა რაოდენობა იზრდება 50-55-მდე, ხოლო დასავლეთ საქართველოს მთიან და მაღალმთიან რაიონებში მერყეობს 30-60 ფარგლებში. აღმოსავლეთ საქართველოში მშრალ დღეთა რიცხვი სიმაღლის ზრდით მატულობს-1 ქვემო ქართლის ბარში შეადგენს 10-30-დღეს, ხოლო ცენტრალურ კავკასიონზე იზრდება 70-მდე.

ნოტიო დღეთა რიცხვი, როდესაც შეფარდებითი სინოტივე აღმატება 80%-ს, დასავლეთ საქართველოში მერყეობს 50-დან 210 დღემდე ფარგლებში. მინიმუმი შეესაბამება კოლხეთის ბარის შიდა რაიონებს, ხოლო მაქსიმუმი დასავლეთ კავკასიონს. აღმოსავლეთ საქართველოში ასეთ დღეთა რიცხვი გაცილებით ნაკლებია და შეადგენს 20-160 დღეს.

პაერის სრული გაფლენთისათვის საჭირო ტენის რაოდენობის შესახებ წარმოდგენას გვაძლევს სინოტივის დეფიციტი. დასავლეთ საქართველოში ძისი საშუალო წლიური მნიშვნელობა 4-6ჰპა-ია, აღმოსავლეთ საქართველოს აღმოსავლეთ რაიონებში იზრდება 7ჰპა-მდე, ხოლო მაღალმთიან რაიონებში მცირდება 1-2 ჰპა-მდე.

სინოტივის დეფიციტის წლიური სვლა ტემპერატურის სვლის მსგავსია. მისი მინიმუმი დგება წლის ციკ პერიოდში და შეადგენს მაღალმთიან ზონაში 0,6ჰპა-ს, დაბლობ რაიონებში კი-4-6ჰპა-ს. ზაფხულში სინოტივის დეფიციტის მაქსიმუმი უდიდესია დაბლობ და სტეპურ რაიონებში(ალაზანი-15,2; თბილისი-15,0), ხოლო უმცირესი-მაღალმთიან ზონაში(3-5).

4.2. მხუთვარება, ფიზიოლოგიური სინოტივე და პაერის ტენშემცველობა

ჯერ კიდევ 50-იან წლებში კ.შარლოუმ (1950) წყლის ორთქლის პარციალური წნევის მიხედვით შეაფასა მხუთვარება, რაც შეიგრძნობა მაშინ, როდესაც ერთი კუბური მეტრი პაერი შეიცავს 14,08 გრამ წყლის ორთქლს, ანუ როდესაც წყლის ორთქლის პარციალური წნევა შეადგენს ან აღემატება 18,8ჰპა-ს, მიუხედავად იმისა თუ რამდენია ტემპერატურა. ასეთი პირობები იყლის-აგვისტოში საშუალო მონაცემებშიც კი დასავლეთ საქართველოში აღინიშნება ზღვის დონედან 400-500მ სიმაღლემდე ყველგან. მხუთვარების შეგრძნება მით ძლიერია და აუტანელია, რაც მეტია პარციალური წნევა. მხუთვარება გამოიხატება მის ინტენსივობაში(ცხრილი 4.2.1.).

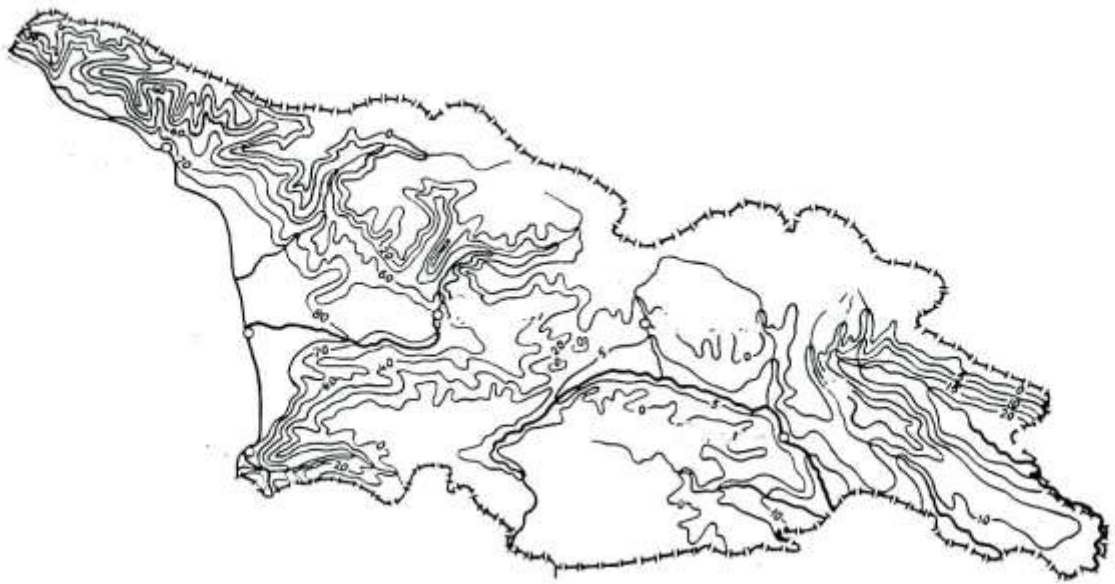
**ცხრილი 4.2.1. მხუთვარების ინტენსივობის სკალა
(К.С.Гогишвили, 1974).**

წყლის ორთქლის პარციალური წნევა. ჰპა.	მხუთვარების ინტენსივობა	წყლის ორთქლის პარციალური წნევა. ჰპა.	მხუთვარების ინტენსივობა
18,8-21,0	j1	29,1-31,0	5-6
21,1-23,0	1-2	31,1-33,0	6-7
23,1-25,0	2-3	33,1-35,0	7-8
25,1-27,0	3-4	35,1 და მეტი	8 და მეტი
27,1-29,0	4-5	-	-

გამოკვლევებმა აჩვენა, რომ შავი ზღვის სანაპიროზე და კოლხეთის ბარში ზღვის დონის სიმაღლეზე იყლის სა და აგვისტოში მხუთვარების ინტენსივობა შეადგენს 1-2 ბალს, ხოლო სექტემბერში 1 ბალზე ნაკლებია. დანარჩენ თვეებში მხუთვარება არ შეიგრძნობა.

წლის თბილი პერიოდის განმავლობაში მხუთვარე დღეთა რიცხვი შავი ზღვის სანაპიროსა და კოლხეთის ბარში შეადგენს 70-80-ს. სიმაღლის ზრდასთან ერთად ის კანონზომიერად მცირდება. აღმოსავლეთ საქართველოში მხუთვარე დღეთა რიცხვი არ აღემატება 15-ს(ნახ.4.2.1)

მხუთვარე დღეთა განაწილების რუკას კარგად შეესაბამება ფიზიოლოგიური სინოტივის რუკა(ნახ.4.2.2). ფიზიოლოგიური სინოტივის ქვეშ იგულისხმება ადამიანის სხეულის ტემპერატურაზე მიყვანილი ჰაერის შეფარდებითი სინოტივე. ის განსაზღვრავს ადამიანის ორგანიზმის მიერ ჰაერის ტენიანობის შეგრძნებას. რუკიდან ჩანს, რომ შავი ზღვის სანაპიროზე და კოლხეთის დაბლობზე, სადაც მხუთვარე დღეთა რიცხვი მაქსიმალურია, ფიზიოლოგიური სინოტივე აღემატება 35%-ს და ადამიანი შეიგრძნობს ნოტიო



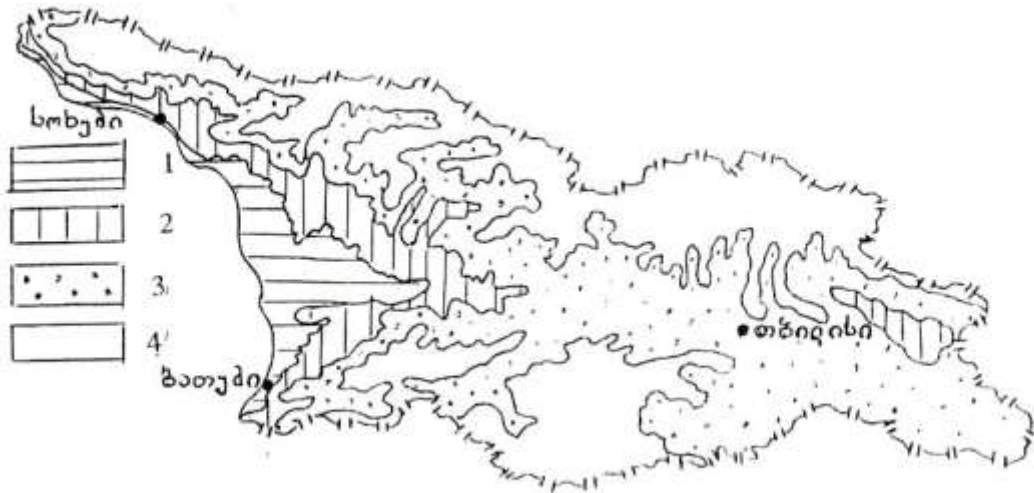
ნახ.4.2.1. 1 ბალზე მეტი ინტენსივობის მხუთვარე დღეთა რიცხვი წლის თბილი პერიოდის
განმავლობაში (კ. ს. გოგიშვილი, 1974)

პირობებს. დასავლეთ საქართველოს მთისწინეთში ფიზიოლოგიური სინოტივე იცვლება 30-35% ფარგლებში და ჰაერი ზომიერად ნოტიოა. საქართველოს მთათაშორისი ბარის უმეტეს ტერიტორიაზე ფიზიოლოგიური სინოტივე შეადგენს 21-30%-ს და ჰაერი ზომიერად მშრალია. მთიან და მაღალმთიან ზონაში, ფიზიოლოგიური სინოტივე 21%-ზე ნაკლებია და, შესაბამისად, ჰაერი მშრალია.

ჰაერში არსებული ტენის რესურსების საიმედო მახასიათებელია **ტენშემცველობა**, ანუ 1 კილოგრამ რეალურ ჰაერში არსებული ტენის რაოდენობა, გამოხატული გრამბეში. ტენშემცველობა ისევე როგორც სითბოშემცველობა ჰაერის ტემპერატურისა და შეფარდებითი სინოტივის ფუნქციაა (ცხრილი 4.2.2.).

ტენშემცველობის ტერიტორიული განაწილება ანალოგიურია მხუთვარებისა და ფიზიოლოგიური სინოტივის განაწილებისა. ის მაქსიმალურია ზაფხულში, და შავი ზღვის სანაპირო ზოლში და კოლხეთის ბარის შიდა რაიონებში იცვლება 28-30გ/კგ ფარგლებში. სიმაღლის ზრდასთან ერთად ტენშემცველობა კლებულობს და შეადგენს გაგრის ქედზე და ავადხარაში 24გ/კგ-ს, ხოლო ბახმაროში-22გ/კგ-ს. აღმოსავლეთ საქართველოში ტენშემცველობის მაქსიმუმი 28-29გ/კგ-ია (თბილისი, გარდაბანი, გურჯაანი, ლაგიძეხი). რამდენადმე ნაკლებია ტენშემცველობა ცხინვალსა და საგარეჯოში(27 გ/კგ), ხოლო გუდაურში ეცემა 22 გ/კგ-მდე.

ტენშემცველობის სვლაში კარგად გამოიხატება ვერტიკალური ზონალობა. მაგალითად ზღვის დონედან 500მ. სიმაღლემდე ჰაერის ტენშემცველობა იანვარში შეადგენს 10-16 გ/კგ-ს, 500-1000მ ზონაში- 9-11 გ/კგ-ს, 1000-1500მ ზონაში -8-9 გ/კგ-ს, ხოლო 1500-2000მ ზონაში -7-8 გ/კგ-ს. აღმოსავლეთ საქართველოში შესაბამისად გვაქვს – 27-30, 26-28, 24-26 და 22-24 გ/კგ.



ნახ.4.2.2. ფიზიოლოგიური სინოტივე(ივლისი): 1-ჰაერი ნოტიოა (35%-ზე მეტი); 2-ჰაერი ზომიერად ნოტიოა (30-35%); 3-ჰაერი ზომიერად მშრალია (21-30%); 4-ჰაერი მშრალია(20%-ზე ნაკლები). (ე.ელიზბარაშვილი,ნ.გონგლაძე; ატლასი,1989)

ცხრილი 4.2.2. ჰაერის ტენშემცველობის წლიური სელა. გ/კგ

პუნქტი	თვეები											წელი	
	I	II	III	IV	V	თბ	თბი	თბის	ბ	თ	თბ		
გაგრა	15	17	18	22	26	29	30	31	28	25	21	18	24
ბათუმი	17	17	18	21	25	28	30	30	28	26	22	18	24
ავადხარა	7	8	10	12	16	20	24	24	20	16	11	9	13
ბახმარო	7	7	9	12	16	18	22	22	19	15	11	8	13
ქუთაისი	14	15	18	21	25	27	29	30	27	25	20	16	23
ცხინვალი	10	12	13	18	23	25	27	26	24	20	14	11	18
თბილისი	11	12	15	20	25	27	28	28	26	22	16	12	21
ლაგოდეხი	12	12	16	20	25	27	28	29	26	23	17	13	21
გუდაური	7	7	9	11	16	20	22	22	16	14	10	8	12
ახალქალაქი	9	8	10	14	18	22	24	24	21	16	12	8	14

4.3. ღრუბლები და მათი რესურსები

საქართველოს ტერიტორიაზე საერთო საშუალო ღრუბლიანობა დაახლოებით 6 ბალის, ხოლო ქვედა იარუსის ღრუბლიანობა 4-4,5 ბალის ტოლია. საერთო ღრუბლიანობის უდიდესი საშუალო წლიური მნიშვნელობა აღნიშნება კოლხეთის ბარის სამხრეთში, კავკასიონის ცალკეულ რაიონებში და ლიხის ქედის საუღელტეხილო მონაკვეთზე (6,5-7,0 ბალი), ხოლო უმცირესი მნიშვნელობები დამახსასიათებელია ახალქალაქის პლატოს და კავკასიონის მაღალმთიანი რაიონებისათვის (5,0-5,5 ბალი). ქვედა იარუსის ღრუბლიანობის განაწილების ხასიათი ანალოგიურია საერთო ღრუბლიანობის განაწილების ხასიათისა და დასავლეთ საქართველოში იცვლება 4,5-5 ბალის, ხოლო აღმოსავლეთში -3,5-4,5 ბალის ფარგლებში.

ღრუბლიანობის განაწილების ხასიათი და რაოდენობა წლის ცივი და თბილი პერიოდების განმავლობაში ბევრად განსხვავდება ერთმანეთისაგან. ზამთარში საერთო ღრუბლიანობის მიხედვით ყველაზე მოღრუბლულ რაიონებად შეიძლება ჩათვალოს აფხაზეთის სანაპირო ზოლი, მასთან მიმდებარე მთისწინეთი და რიონის ხეობის მარცხენა ნაპირი. აქ მოღრუბლული მდგომარეობის განმეორადობა, როდესაც ღრუბლიანობა 8-10 ბალია, შეადგენს 65-70%-ს. ცის მოღრუბლული მდგომარეობის უმცირესი განმეორადობა (35-50%) დამახასიათებელია აღმოსავლეთ კავკასიონის სამხრეთი კალთებისა და ჯავახეთის პლატოსათვის. წლის თბილი პერიოდის განმავლობაში მოღრუბლულობის უდიდესი განმეორადობით ხასიათდება კოლხეთის ბარის შიდა რაიონები და მთისწინეთი (50-60%), ხოლო უმცირესი განმეორადობით-აღმოსავლეთ საქართველოს სტეპური რაიონები და სამხრეთ საქართველოს მთისწინეთი (30-35%).

საქართველოს ტერიტორიის უდიდეს ნაწილზე მოღრუბლული მდგომარეობის განმეორადობა, ქვედა იარუსის მიხედვით, ცივი პერიოდის განმავლობაში შეადგენს 30-40%-ს, კავკასიონის მაღალმთიან ზონაში-20-30%-ს, მესხეთის ქედის ჩრდილო-აღმოსავლეთ ნაწილში და დასავლეთ კავკასიონის მთებში-45-50%-ს. წლის თბილი პერიოდის განმავლობაში მოღრუბლული მდგომარეობის უმცირესი განმეორადობა დამახასიათებელია აღმოსავლეთ საქართველოს სტეპური

ზონისათვის და ქართლის ბარის ცენტრალური ნაწილისათვის, აგრეთვე აფხაზეთის სანაპირო ზოლისათვის (15-20%). განძეორადობის მაქსიმალური მნიშვნელობა აღინიშნება პუნქტ ცისკარაზე.

გამოვლენილია მჭიდრო კავშირები ღრუბლიანობის საშუალო რაოდენობასა, და ცის ნათელ და მოღრუბლულ მდგომარეობათა აღბათობას შორის (ნახ.4.3.1). ეს კავშირები კარგად აღიწერება წრფივი დამოკიდებულებით:

$$P=aN+b, \quad (4.3.1)$$

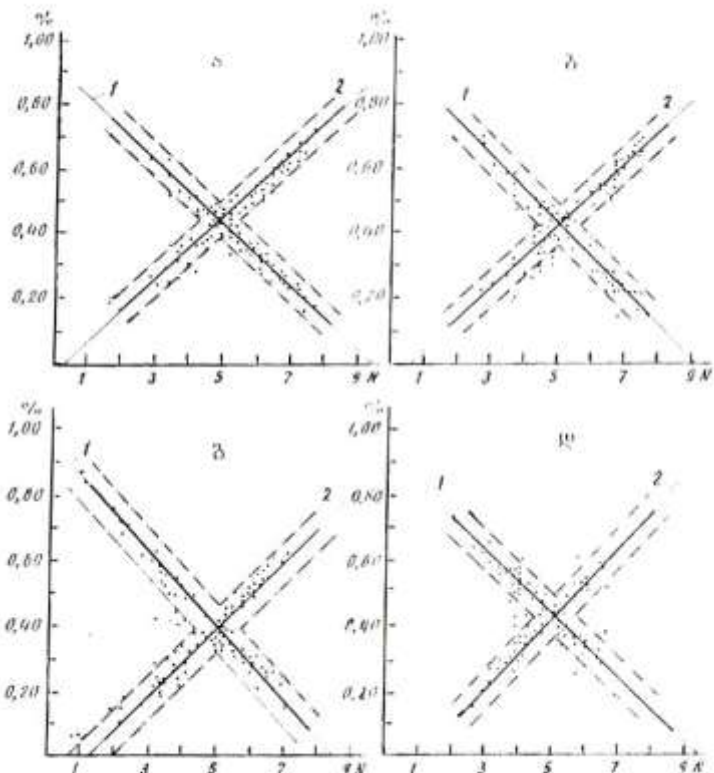
სადაც P -აღბათობაა, N -ღრუბელთა რაოდენობაა, ხოლო a და b სტატისტიკური პარამეტრებია (ცხრილი 4.3.1).

ცხრილი 4.3.1. სტატისტიკური პარამეტრები (4.3.1)

ფორმულისათვის

(Э.Ш. Элизбарашвили, А.А. Попов А.А., 1981).

(ცის მდგომარეობა	თვეები							
	იანვარი		აპრილი		ივლისი		ოქტომბერი	
	a	b	a	b	a	b	a	b
ნათელი	-9,7	92	-10,5	95	-11,5	98	-10,0	91
მოღრუბლული	9,6	-3	9,5	-5	10,4	-13	11,0	-13



ნახ.4.3.1. დამოკიდებულება ღრუბლიანობის საშუალო რაოდენობასა (N) და ცის ნათელ (1) და მოღრუბლულ (2) მდგომარეობათა ალბათობებს შორის: а)-იანვარი; б)-აპრილი; გ)-ივლისი; დ)-ოქტომბერი (ე.შ. ელიზბარაშვილი, 1981).

რეგრესიის წრფეთა განლაგება მჭიდრო კავშირშია სეზონურ თავისებურებებთან. ღრუბლიანობის რაოდენობის ერთი და იგივე მნიშვნელობის დროს ცის მოღრუბლულ და

ნათელ მდგომარეობათა ალბათობა ზაფხულში ნაკლებია, ვიდრე ზამთარში, რაც აიზნება თბილი პერიოდის განმავლობაში ცვალებადი ღრუბლიანობის (3-7 ბალი) გაზრდით.

ი.ცუცქირიძის(1971) თანახმად ზამთარში
საქართველოს მთელ ტერიტორიაზე ზედა იარუსის ღრუბლებიდან ყველაზე ხშირად აღინიშნება ფრთა(Ci) ღრუბლები. თითქმის ანალოგიური მდგომარეობაა გაზაფხულზე. ზაფხულსა და შემოდგომაზე, როგორც ფრთა, ისე სხვა ტიპის ღრუბლების განმეორადობა მნიშვნელოვნად მცირდება.

საშუალო იარუსის ღრუბელთაგან ჭარბობს მაღალ-გროვა(Ac) ღრუბელთა განმეორადობა, რომელიც მაქსიმუმს ზაფხულში აღწევს. მაღალ-ჟფენა(As) ღრუბელთა განმეორადობა სასიათდება მაქსიმუმით ზამთარში და მინიმუმით ზაფხულში.

ქვედა იარუსის ღრუბელთაგან მთელი წლის განმავლობაში გაბატონებულია ჟფენა-გროვა(Sc) ღრუბლები. მათი განმეორადობა წლის განმავლობაში ტერიტორიის დიდ ნაწილზე იცვლება უმნიშვნელოდ. მთიან რაიონებში (ყაზბეგი, მთა-საბუეთი) აღინიშნება ფენა-გროვა ღრუბლების განმეორადობის ზრდა წლის თბილ პერიოდში.

კონკექციური წარმოშობის ღრუბლების განმეორადობა მაქსიმუმს აგრეთვე თბილი პერიოდის განმავლობაში აღწევს. ზაფხულში(ივლისი) გროვა(Cu) ღრუბლების განმეორადობა დაბლობ რაიონებში აღემატება 30%-ს, მთებში კი რამდენადმე ნაკლებია(18-22%). გროვა-წვიმა(Cb) ღრუბლების განმეორადობა გაცილებით ნაკლებია(5-7%), გამონაკლისს წარმოადგენს გაგრა, სადაც ამ ღრუბელთა განმეორადობა წლის განმავლობაში საკმაოდ მაღალია და შეადგენს 14-23%-ს.

დიდი მნიშვნელობა აქვს ღრუბელთა რესურსული პოტენციალის ცოდნას განსაკუთრებით აღმოსავლეთ საქართველოს იმ არიდული რაიონებისათვის, რომლებიც საჭიროებენ ღრუბლებიდან ნალექების ხელოვნურად გამოწვევას. ღ.მეგრელიძემ(2006) ღრუბლიანობის

რაოდენობასა და მოსულ ნალექებს შორის კავშირი გამოსახა წრფივი რეგრესიის განტოლებით:

$$Q=aN+b, \quad (4.3.2)$$

სადაც Q – ნალექების ჯამია, N -ღრუბელთა რაოდენობაა, ა და b – სტატისტიკური პარამეტრებია, რომლებიც წარმოდგენილია ცხრილში 4.3.2.

ცხრილი 4.3.2. სტატისტიკური პარამეტრები (4.3.2) რეგრესიის განტოლებისათვის (ლ.მეგრელიძე, 2006)

თვე	საერთო ღრუბლიანობა		1ქვედა ღრუბლიანობა	
	a	b	a	b
იანვარი	-7,6	86	-3,2	53
ივლისი	57,2	-303	43,1	-124
აპრილი	27,8	-77	16,2	7
ოქტომბერი	20,0	-42	22,4	-126

ლ.მეგრელიძემ დაადგინა, რომ ღრუბლების რაოდენობასა და მისგან მოსულ ნალექებს შორის კორელაცია მით უკეთესია, რაც უფრო მეტია მოსული ნალექების რაოდენობა, ანუ როდესაც არსებული ღრუბელთა საფარი მაქსიმალურად ნალექების გამოყოფის უნარიანია. კორელაცია ღრუბლიანობასა და მოსულ ნალექებს შორის არასაიმედოა შხოლოდ ზამთარში, რაც შეიძლება აიხსნას ამ დროს ფენა ღრუბლების სიჭარბით და ჰაერის მცირე ტენშეცველობით.

ღრუბლიანობასა და მოსულ ნალექებს შორის მაღალი კორელაციით და საიმედობით გამოიჩინა წლის თბილი პერიოდი, განსაკუთრებით ზაფხული, რაც გამოწვეულია ამ დროს ვერტიკალური ღრუბლიანობის განვითარებით, რომლებიც დიდი სიმძლავრით და წყლიანობით გამოიჩინა. ძლიერი კონტაქტური ღრუბლიანობაა აგრეთვე გაზაფხულზე, რასაც ელჭექი და უხვი თავსხმა ნალექები მოსდევს.

დედამიწის ზედაპირზე მოსული ნალექების საერთო რაოდენობის უდიდესი წილი-90% და მეტი, ქვედა იარუსის ღრუბლებიდან მოდის, მხოლოდ გაზაფხულზე ზოგიერთ რაიონში(გომბორის ქედი, ქვემო ქართლი, ჯავახეთის ზეგანი) ეს წილი მცირდება და შეადგენს 70-72%-ს(ცხრილი 4.3.3).

ქვედა იარუსის ღრუბლებიდან მოსული ნალექების ხვედრითი წილი განსაკუთრებით დიდია ზაფხულში, რაც გამოწვეულია გროვა და გროვა-წვიმა ღრუბლების განმეორადობის მატებით. ასეთი ტიპის ღრუბლების განმეორადობა დაახლოვებით მეოთხედს(22-29%) და ზოგჯერ მეტსაც(მაგალითად ახალქალაქში 40%) შეადგენს. ისინი ვერტიკალური განვითარებით სასიათდებიან და მათ დიდი სიმძლავრე გააჩნიათ. სწორედ ასეთი ტიპის ღრუბლებიდან შეიძლება, უპირველეს ყოვლისა, ნალექების ხელოვნური გამოწვევა. ასეთ სამუშაოებს მრავალი წლის განმავლობაში წარმატებით ახორციელებდა საქართველოს მეცნიერებათა აკადემიის პიდრომეტეოროლოგიის ინსტიტუტი. შემოდგომით ქვედა იარუსის ღრუბლებიდან მოსული ნალექების დიდი ხვედრითი წილი აიხსნება ამ დროს ფენა ღრუბელთა განმეორადობის გაზრდით(50-70%). ასეთ ღრუბლებს მთლიანი განფენილობა გააჩნიათ და ისინი ნალექის მომცემ ღრუბლებს წარმოადგენენ.

ცხრილი 4.3.3. ღრუბლიანობის და მოსული ნალექების რაოდენობა.აპრილი.
 (ლ.მეგრელიძე, 2006)

რაიონი	მახასიათებელი				
	საერთო ღრუბლიანო ბა, ბალი	1ქვედა ღრუბლიანო ბა, ბალი	საერთო ნალექები, მმ	1ქვედა ღრუბლიანობის ნალექები,მმ	1ქვედა ღრუბლიანობის ნალექების წილი, %
იორის ზეგანი	7	5	97	91	94
გომბორის ქედი	7	4,5	97	70	72
ქვემო ქართლის გაკი	7	5	97	70	72
თრიალეთის ქედი	7	4,5	97	92	94
ჯავახეთის ზეგანი	7	4	69	48	70
აარაგვის ხეობა	7	5	97	92	94
აალაზნის ვაკე	7	5	97	92	94

თავი 5. ატმოსფერული ნალექები და

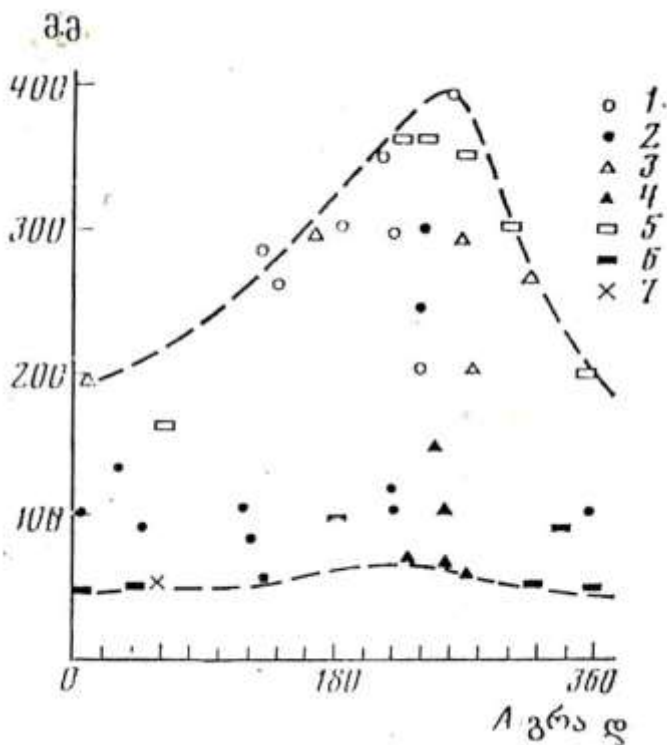
წყლის რესურსები

5.1. რელიეფის გავლენა ნალექების

ველზე

დანაწევრებული რელიეფის პირობებში ნალექების სივრცობრივ განაწილებას როული, მრავალგანზომილებადი ხასიათი აქვს. ამის გამო დღეისათვის ჯერ კიდევ არ არსებობს მთებში ნალექების განაწილების განმაზოგადოებელი სქემა რელიეფისა და ქვეფნილი ზედაპირის ყველა თვისებების გათვალისწინებით. გერტიკალური პლუვიომეტრული გრადიენტი რეგიონალურ ხასიათს ატარებს და დამოკიდებულია არა მხოლოდ ადგილის სიმაღლეზე და რელიეფის ფორმაზე, არამედ ფერდობის ექსპოზიციაზე, დახრილობაზე, მცენარეული საფარის სახეობაზე და ა.შ. დღევანდელ პირობებში შეუძლებელია გათვალისწინებულ იქნას ყველა ჩამოთვლილი ფაქტორის გავლენა ნალექების განაწილებაზე, თუმცა გარკვეული ცდები ამ მიმართულიბით არაურთვზის იყო ჩატარებული, რისი ერთ-ერთი მაგალითიც წარმოდგენილია ნახ 5.1.1-ზე.

ნახ 5.1.1-ზე აშკარად გამოიკვეთება ნალექების სიმაღლეზე დამოკიდებულების ორი მრუდი. ერთი შეესაბამება პერიფერიულ რაიონებს, რომლებიც ხასიათდებიან ნალექების მნიშვნელოვანი რაოდენობით, ხოლო მეორე შიდა რაიონებს ნალექების შედარებით ნაკლები რაოდენობით. ამ ორ მრუდს შორის განლაგებული წერტილები შეესაბამება რაიონებს, სადაც ნალექების რაოდენობა ნაკლებია, ვიდრე პერიფერიულ და მეტია ვიდრე შიდა ფერდობებზე. ნახ.5.1.1-დან ჩანს აგრეთვე, რომ მთათა სისტემების პერიფერიული რაიონებისათვის ყველაზე მეტი ნალექი მოდის დასავლეთით ორიენტირებულ ფერდობებზე. შიდა რაიონებში



ნახ.5.1.1. ნალექების ზრდა 1000-1500მ მაღლივ ზონაში ფერდობის ექსპოზიციაზე დამოკიდებულებით. მმ: 1-კავკასიონის სამხრეთი ფერდობის პერიფერიული რაიონები; 2-კავკასიონის აღმოსავლეთი ნაწილი; 3-მცირე კავკასიონის პერიფერიული რაიონები; 4-მცირე კავკასიონის შიდა რაიონები; 5-პამირისა და ტიან-შანის პერიფერიული რაიონები; 6-პამირისა და ტიან-შანის შიდა რაიონები; 7-კოპეტ-დალი (ე.შ.ელიზბარაშვილი, 1984)

ორიენტაციის გავლენა რამდენადმე სუსტდება, თუმცა ძირითადი მაქსიმუმი მაინც შენარჩუნებულია.

ნალექების ვერტიკალური განაწილების საკითხი მთებში დაკავშირებულია როგორც თვით ელემენტის ბუნების სპეციფიკასთან, ისე ტექნიკური და მეთოდური ხასიათის მთელ რიგ სირთულეებთან. აქ, უპირველეს ყოვლისა, იგულისხმება მაღალმთიან ზონაში ნალექმზომი პუნქტების არასაკმარისი რაოდენობა, მნიშვნელივანი ცდომილებები მყარი ნალექების გაზომვისას, პორიზონტალური ნალექების გაუთვალისწინებლობა და სხვ.

დღეისათვის მიღებული უმარტივესი სქემების შესაბამისად ნალექების უმცირესი რაოდენობა მოდის დაბლობ და მთისწინა რაიონებში, აგრეთვე დახურულ ხეობებსა და ქვაბულებში. სიმაღლის ზრდასთან ერთად ნალექების რაოდენობა იზრდება და მაქსიმუმს მაღალმთიან ზონაში აღწევს.

ჩატარებული გამოკვლევების საფუძველზე დადგინდა, რომ შავი ზღვიდან, როგორც ტენის წყაროდან, დაშორებით და ადგილის სიმაღლის ზრდით ნალექები თავდაპირველად იზრდება. ამიერკავკასიის შიდა რაიონებში ღრუბელთა სისტემების სიმძლავრე სუსტდება, კარგავს ტენს, რის გამოც ნალექების რაოდენობა მცირდება. ეს ცვლილება აღიწერება ექსპონენციალური დამოკიდებულებით (Э.Ш.Элизбарашвили, 1978).

რადგანაც მთებში ნალექმზომი პუნქტები იშვიათია, ხოლო მათი გაზომვის ცდომილება ძალზე დიდი, ნალექების რაოდენობის დასაზუსტებლად მიმართავენ ჰიდროლოგიური და გლაციოლოგიური გამოკვლევების შედეგებს. კერძოდ, მდინარეთა ჩამონადენი, მყინვართა აკუმულაცია, თოვლის დაგროვება და სხვა- ნალექების რაოდენობის ირიბი გაანგარიშების საიმედო ფაქტორებია. ამიტომაც ოდროზდოვმა ერთ-ერთმა პირველმა დაიწყო ჩამონადენის გამოყენება ნალექების დასაზუსტებლად მთებში. მან მიიღო, რომ კავკასიაში ატმოსფერული ნალექების წლიური ჯამები, როგორც წესი, იზრდება 3000-3500მ სიმაღლემდე. ანალოგიური შედეგი მიიღეს გჭირაქამებ და ხ.პოლოსიანმა.

აღსანიშნავია ის მრავალრიცხოვანი გამოკვლევები, რომელთაც ნალექების ზრდის კრიტიკული სიმაღლის გამოსავლენად თოვლის დაგროვების და მყინვართა აკუმულაციის მონაცემები დაედო საფუძვლად. ასეთი

სამუშაოები ჩატარდა რუსეთის მეცნიერებათა აკადემიის გეოგრაფიის ინსტიტუტის თანამშრომელთა მიერ. ა.კრენგეს (1982) თანახმად კავკასიონის დასავლეთ ნაწილში თოვლის დაგროვება სიმაღლის მიხედვით იზრდება 1000-1500მმ-დან (2450მ) 3000-3500მმ-მდე (3000-3500მ სიმაღლეზე). განსაკუთრებული როლი ამ პროცესში ქარის მუშაობას მიეკუთვნება. აღმოსავლეთით თოვლის დაგროვების მაქსიმალური სიმაღლე მცირდება და ცენტრალურ კავკასიონზე 3000-3300მ-ს, ხოლო აღმოსავლეთ კავკასიონზე-2000-3000მ-ს შეადგენს. ა.კრენგეს დასკვნის თანახმად თოვლის აკუმულაციის სიდიდე კლებულობს აღმოსავლეთის მიმართულებით 2500მმ-დან 800მმ-მდე მყინვარწვერის რაიონში, და ნალექების ზრდის საშუალო მაქსიმალური სიმაღლეა 3000მ.

ამ მიმართულებით ჩატარებული კვლევის საბოლოო შედეგები განხოგადოებულია ცხრილში 5.1.1.

ცხრილი 5.1.1-დან გამომდინარეობს, რომ კავკასიონის სამხრეთ ფერდობზე, საქართველოს ტერიტორიის ფარგლებში ნალექების ზრდის კრიტიკული სიმაღლე 3000-3500მ-ს შეადგენს, რაც ძირითადად შეესაბამება ოდროზდოვის, ხ.პოლოსიანის, გ.ჭირაქაძის და სხვათა გამოკვლევებს.

ცხრილი 5.1.1. ნაღექების ზრდის მაქსიმალური სიმაღლე
 (მეტრი) მეტეოროლოგიური დაკვირვებების(ა), მდინარეთა
 ჩამონადენის(ბ), თოვლის დაგროვების(გ) და მყინვარული
 ჩამონადენის(დ) მონაცემების გათვალისწინებით
 (Ж.Д.Алибекова, Э.Ш.Элизбарашвили, 1980)

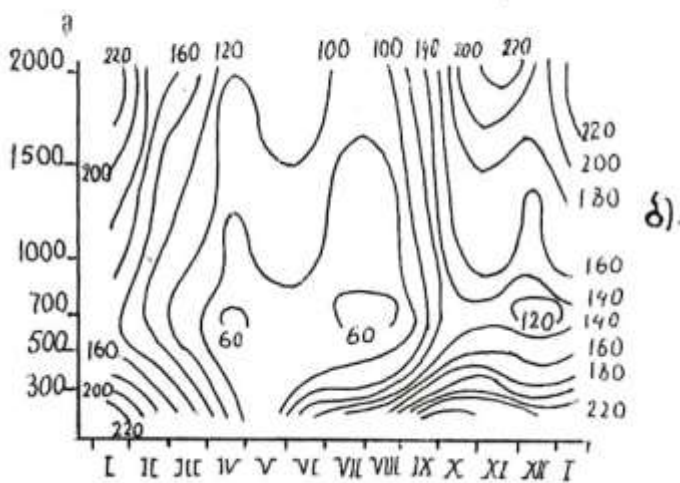
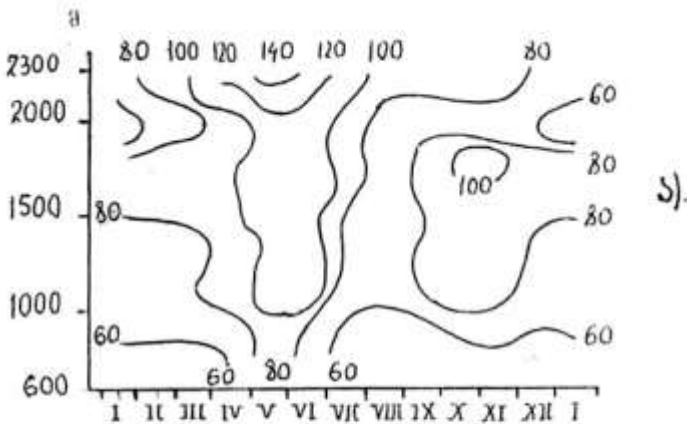
რაიონი	α	δ	δ	φ
კავკასიონის ჩრდილოეთ ფერდობი				
დასავლეთი ნაწილი	3000-4300	1250-2580	3000 ≥	3500-4000
ცენტრალური ნაწილი	3000-4000	3200	3000 ≥	3500-4400
აღმოსავლეთი ნაწილი კავკასიონის სამხრეთი ფერდობი	3000	2400-3000	2000- 3000	3500-4000
დასავლეთი ნაწილი	2500-2800	1400-2400	3000- 3500	
ცენტრალური ნაწილი	2400-2800	2750-3200	3000	
აღმოსავლეთი ნაწილი მცირე კავკასიონი სომხეთის მთიანეთი	2500 2500 2500-3500	1400-2100 2000-2700 2600-2850	3000	

5.2. ნალექების განაწილება საქართველოს მდინარეთა აუზებში

წყლის რესურსების შეფასებისა და გამოყენებისათვის დღიდი მნიშვნელობა აქვს ცალკეულ მდინარეთა აუზებში მოსული ნალექების დროსა და სივცეში ცვლილების საფუძლიან გამოკვლევას, რის საშუალებასაც იძლევა ნახ.5.2.1.-ზე წარმოდგენილი ნალექთა ველების სივრცით-დროითი ჭრილები. ასეთი ჭრილების აგებისა და ანალიზის საფუძველზე გამოვლენილ იქნა ნალექების ცვლილების ძირითადი კანონზომიერებანი საქართველოს 13 მდინარის აუზში.

1. მდინარე ალაზნის აუზი. ნალექების თვიური ჯამები იცვლება 30მმ-დან (იანვარი) 170მმ-მდე(მაისი, 660მ ზღვის დონედან). ნალექების წლიური სელა აუზის ქვედა სარტყელში, 200-250მ სიმაღლეზე ხასიათდება ორი მაქსიმუმით მაისსა და დეკემბერში (120მმ), ხოლო მინიმუმით-იანვარში(25-30მმ). სიმაღლის ზრდით მკვეთრად გამოხატული მაქსიმუმი თანდათან ქრება. ნალექების წლიური ჯამების მაქსიმუმი მოდის 600-700მ სიმაღლეზე და შეადგენს 1300მმ-ს, ხოლო მინიმუმი-200მ სიმაღლეზე და შეადგენს 760მმ-ს. პლუვიომეტრული გრადიუნტის საშუალო მნიშვნელობა 100მმ-ია ყოველ 100მ-ზე.

2. მდინარე იორის აუზი. ნალექების თვიური ჯამები იცვლება 25-30მმ-დან (დეკემბერი, იანვარი, აგვისტო, 500მ.) 140მმ-მდე (მაისი, 1100მ). წლიური მაქსიმუმი მყარდება მაისში. ნალექების წლიური ჯამების მინიმალური რაოდენობა მოდის 450-500მ სიმაღლეზე და შეადგენს 560მმ-ს, მაქსიმუმი კი შეესაბამება 1000-1100მ-ს ზღვის დონედან და შეადგენს 800-900მმ-ს. საშუალო წლიური პლუვიომეტრული გრადიუნტი შეადგენს 60მმ-ს 100მ-ზე.



ნახ.5.2.1. ატმოსფერული ნალექების სივრცითი-დროითი ჭრილი. მმ; ა)-ლიაზვის აუზი; ბ)-აჭარისწყლის აუზი (X.M.Асатиани, Э.Ш.Элизбарашили, 1977)

3. მდინარე არაგვის აუზი. ნალექების თვიური ჯამები მერყეობს 30მმ-დან (დეკემბერი,იანვარი, 450-500მ) 170მმ-დე (მაისი, 19 00-2000მ). ნალექების წლიური სვლა ანალოგიურია ივრის აუზისათვის დამახასიათებელი წლიური სვლისა: მაქსიმუმი (110-170მმ) მოდის მაისში, ხოლო მინიმუმი (30-90მმ)-დეკემბერ-იანვარში. ნალექების წლიური ჯამები სიმაღლის ზრდით იზრდება 600მმ-დან (500მ ზღვის დონედან) 1500მმ-დე (19 00მ). ვერტიკალური პლუვიომეტრული გრადიენტი საშუალოდ შეადგენს 65მმ-ს 100მ-ზე.

4. მდინარე ქსნის აუზი. ნალექების თვიური ჯამები მერყეობს 20-25მმ-დან(დეკემბერი,იანვარი, 800-9 00მ) 170მმ-დე(მაისი, 16 00მ) ფარგლებში. ნალექების წლიური სვლა ხასიათდება მაქსიმუმით მაისში (170მმ) და მინიმუმით დეკემბერ-იანვარში(20-80მმ). ზღვის დონედან 700-800მ სიმაღლეზე წლიური სვლა თანაბრდება და ნალექების წლიური ამპლიტუდა შეადგენს მხოლოდ 30მმ-ს. წლიური ნალექები სიმაღლის მიხედვით იზრდება 530მმ-დან(500მ ზღვის დონედან) 1300მმ-დე (1600მ). პლუვიომეტრული გრადიენტი შეადგენს 70მმ-ს 100მ-ზე.

5. მდინარე ლიახვის აუზი. ნალექების თვიური ჯამები იცვლება 40მმ-დან (აგვისტო, 700-800მ.) 160მმ-დე(მაისი, 2200-2300მ). წლიურ სვლაში ძირითადი მაქსიმუმი აღინიშნება მაისში. 1100-1800მ სიმაღლივ ზონაში ვლინდება სუსტად გამოხატული მეორე მაქსიმუმი ოქტომბერ-ნოემბერში (90-110მმ). მინიმუმი (40-70მმ) აღინიშნება აგვისტოში, ხოლო 19 00მ-ზე მაღალ ზონაში გადაინაცვლებს იანვარში(60-70მმ). ნალექების წლიური ჯამი სიმაღლის მიხედვით თავდაპირველად იზრდება 380მმ-დან(700მ) 1200მმ-დე (1800მ), შემდეგ კლებულობს 900მმ-დე, ხოლო დაწყებული 2000მ-დან კვლავ იზრდება და 2200მ სიმაღლეზე შეადგენს 1300მმ-ს. პლუვიომეტრული გრადიენტის საშუალო მნიშვნელობა შეადგენს 70მმ-ს 100მ-ზე.

6. მდინარე ყვირილას აუზი. ნალექების თვიური ჯამები იცვლება 50მმ-დან (ივნისი, 400-500მ.) 160მმ-დე(დეკემბერი-იანვარი, 50მ-დე). წლიური სვლა ხასიათდება მაქსიმუმით ზამთარში(დეკემბერი-იანვარი,100-160მმ) და

მინიმუმით ზაფხულში (ივლისი-აგვისტო, 50-70მმ). ნალექების წლიური ჯამები სიმაღლის ზრდით კანონზომიერად კლებულიბს 1320მმ-დან 1000მმ-მდე. პლუვიომეტრული გრადიენტი უარყოფითია და შეადგენს მინუს 80მმ-ს 100მ-ზე.

7. მდინარე რიონის აუზი. ნალექების თვიური ჯამები იცვლება 80მმ-დან (500-600მ.) 200მმ-მდე(იანვარი, 200მმ-დე). 200-300მ სიმაღლეზე ნალექების წლიური სვლა ხასიათდება მაქსიმუმით იანვარში(200მმ) და მინიმუმით მაისში(100მმ). ამავე დროს აღინიშნება მეორე მაქსიმუმი ივლისში(170მმ), ხოლო მინიმუმი აგვისტოში(130მმ). ადგილის სიმაღლის ზრდით ნალექების წლიური სვლა თანაბრდება და 400მ. სიმაღლეზე წლიური ამპლიტუდა მცირდება 30მმ-მდე. ზღვის დონედან 300-500-მ-ზე მაღლა მაქსიმუმი თანდათან მაისზე გადაინაცვლებს და 1000მ-სიმაღლეზე აღწევს 180მმ-ს. ამ დროს მინიმუმი გადადის იანვარზე(80-100მმ). დაახლოებით 700მ სიმაღლიდან ნალექების წლიურ სვლაში ჩნდება მეორე მაქსიმუმი ოქტომბერში(100-130მმ).

8. მდინარე ცხენისწყლის აუზი. ნალექების თვიური ჯამები იცვლება 70მმ-დან (თებერვალი, 1200-1300მ) 240მმ-მდე(სექტემბერი, 600-700მ). წლიური სვლა როული ხასიათისაა: სიმაღლის მიხედვით მაქსიმუმი იანვრიდან(220მმ 300მ) გადადის მაისზე(120მმ,400-500მ), შემდეგ ოქტომბერზე(230მმ,650მ), მარტზე(200მმ,700-800მ) და კვლავ ოქტომბერზე(100-140მმ,1200-2100მ). მინიმუმი 300მ სიმაღლეზე აღინიშნება მაისში და შეადგენს 160მმ-ს. სიმაღლის ზრდით მინიმუმი გადაინაცვლებს აგვისტოზე(90მმ, 450-500მმ), შემდეგ მაისზე(110მმ ,600-1000მ) და დეკემბერ-იანვარზე(70-100მმ, 1200მ). ნალექების წლიური ჯამების მინიმუმი(1000მმ) შეესაბამება 1200-1300მ მაღლივ სარტყელს, ხოლო მაქსიმუმი(2200-2300მმ)- 600-700მ სიმაღლეს. პლუვიომეტრული გრადიენტი უარყოფითია და შეადგენს 55მმ-ს 100მ-ზე.

9. მდინარე ხობის აუზი. ნალექების თვიური ჯამები იცვლება 90მმ-დან (მაისი, 0-50მ) 300მმ-მდე(ივლისი ,300-500მ). აუზის ქვედა სატყელში ნალექების წლიური სვლა ხასიათდება მაქსიმუმით სექტემბერში(220მმ) და მინიმუმით მაისში(90მმ). ზღვის დონედან 250 მ-ზე მაქსიმუმი

გადაინაცვლებს ივლისში(300მმ), ხოლო მინიმუმი-აპრილში(180მმ). ამავე დროს, ყალიბდება მეორე მკვეთრად გამოხატული მაქსიმუმით იანვარში(230მმ) და მინიმუმით ნოემბერში(160მმ). ნალექების წლიური ჯამები სიმაღლის მიხედვით იზრდება, პლუვიომეტრული გრადიენტი უდრის 230მმ-ს.

10. მდინარე ენგურის აუზი. ნალექების თვიური ჯამები იცვლება 80მმ-დან (აპრილი, ივლისი, აგვისტო, 200მ.) 220მმ-მდე (ივლისი, 250-300მ). ადგილის სიმაღლის ზრდასთან ერთად მაქსიმუმის ზონა გადაინაცვლებს ივლისიდან დეკემბერ-იანვარზე(100-190მმ, 600-1300მ). მინიმუმი გადადის ივლისზე, ხოლო 800-1300მ ზონაში ჩნდება მეორე მინიმუმი მარტსა და აპრილში. ნალექების წლიური ჯამები სიმაღლის მიხედვით იზრდება.

11. მდინარე კოდორის აუზი. ნალექების თვიური ჯამები იცვლება 110მმ-დან (აპრილი, 550-850მ.) 200მმ-მდე(იანვარი, 300მ). მისი წლიური სვლა ზასიათდება მაქსიმუმით იანვარში(150-200მმ) და მინიმუმით აპრილში(110-130მმ). ნალექები სიმაღლის მიხედვით ჯერ კლებულობს 2000-დან 1500-მმ-მდე (600მ), ხოლო შემდეგ იზრდება 1800მმ-მდე(900-1000მ). პლუვიომეტრული გრადიენტის საშუალო მნიშვნელიბა 80მმ-ს 100მ-ზე.

12. მდინარე ბზიფის აუზი. ნალექების თვიური ჯამები იცვლება 100მმ-დან (ივნისი, 100მ.) 260მმ-მდე(დეკემბერ-იანვარი, 600-700მ). წლიურ სვლაში მაქსიმუმი აღნიშნება იანვარში(160-260მმ), ხოლო მინიმუმი-ივნისში(80-130მმ). პლუვიომეტრული გრადიენტი შეადგენს 140მმ-ს 100მ-ზე.

13. მდინარე აჭარისწყლის აუზი. ნალექების თვიური ჯამები მერყეობს 60მმ-დან(აპრილი, ივნისი, აგვისტო, 500-600მ) 270მმ-მდე(ოქტომბერი, 150მ) ფარგლებში. წლიურ სვლაში აღინიშნება რამდენიმე მაქსიმუმი, რომელთა შორის გამოიჩინა ორი ძირითადი-იანვარში(130-230მმ) და ნოემბერში(130-270მმ). მინიმუმი დგება აპრილსა და აგვისტოში. სიმაღლის მიხედვით ნალექების წლიური ჯამები იცვლება მრუდწიროვნად, საშუალო პლუვიომეტრული გრადიენტი შეადგენს 20მმ-ს ყოველ 100მ-ზე.

ზემოდ მოტანილი ანალიზის შედეგები საფუძვლად დაედო საქართველოს მდინარეთა აუზების შესაბამის კლასიფიკაციას(ცხრილი 5.2.1)

ცხრილი 5.2.1. საქართველოს მდინარეთა აუზების კლასიფიკაცია ნალექების რაოდენობრივი მახასიათებლების მიხედვით(Х.М.Асатиани, Э.Ш.Элизбарашвили, 1977).

ტიპი	ემდინარის აუზი	ზნალექების თვიური ჯამი	ემაქსიმუმი (თვე)	ემინიმუმი (თვე)
I	ალაზანი, თორი, არაგვი, ქსანი, ლიახვი, მტკვარი	20-170	მაისი	იანვარი, თებერვალი
II	ყვირილა, კოდორი, ბზიფი, აჭარისწყალი	50-270	თნოებერი, დეკემბერი, იანვარი	აპრილი, ივლისი, აგვისტო
III	რიონი, ხობი, ცხენისწყალი, ენგური	70-300	ცვალებადი	ცვალებადი

5.3. ნალექების ტერიტორიული განაწილება და რეჟიმი

ნალექების ტერიტორიული განაწილება დიდი კონტრასტულობით ხასიათდება, რაც განპირობებულია ატმოსფეროს ცირკულაციური პროცესებისა და რელიეფის ურთიერთქმედებით. ტერიტორიის ზოგიერთი ნაწილი უხვად ირწყვება ატმოსფერული ნალექებით, ზოგი კი პირიქით დეფიციტს განიცდის(ნახ. 5.3.1.).

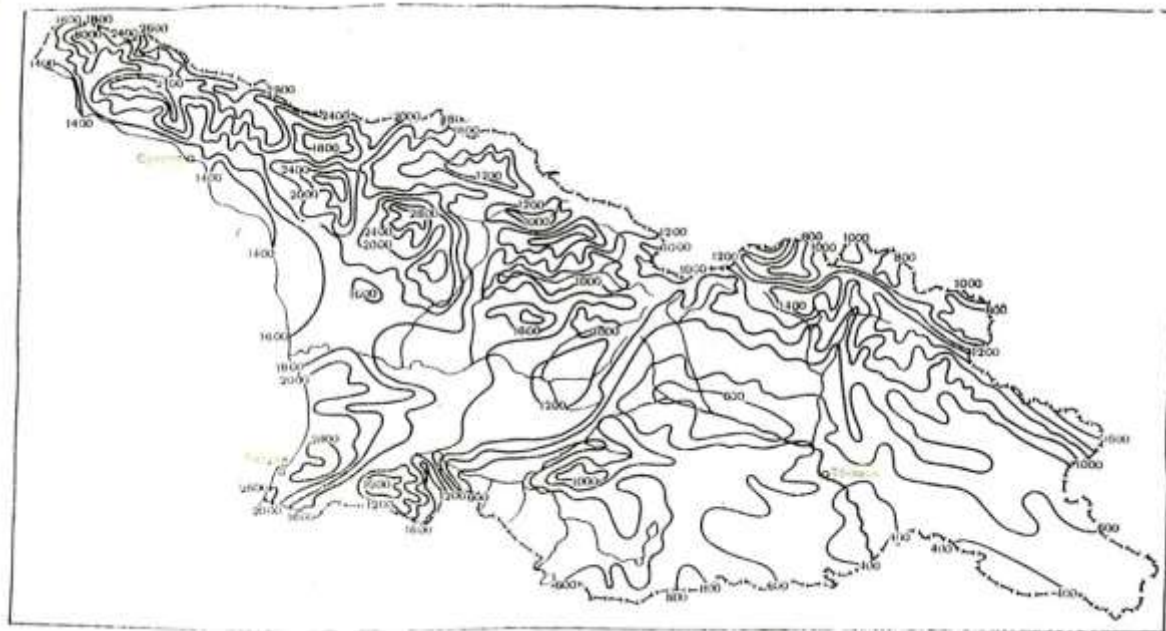
ნალექების უდიდესი რაოდენობით ხასიათდება აჭარის ზღვისპირა ზოლი. სართველის წლის განმავლობაში მოდის 3145მმ ნალექი, ბათუმში-2718მმ. ნალექების მაქსიმუმი კი ფიქსირდება ბათუმის მახლობლად, ცისკარაში, ზღვის დონედან 1200მ-ზე და შეადგენს 4500მმ-ს.

აჭარის მოსაზღვრე გურიის ზღვისპირა ზოლში ნალექები კლებულობს 2000-2400მმ-მდე, ხოლო აფხაზეთის სანაპიროზე არ აღემატება 1600მმ-ს. კოლხეთის ბარის შიდა რაიონებში წლიური ნალექები შეადგენს 1200-1400მმ-ს.

ნალექების რაოდენობის განაწილებაში კარგად გამოიხატება რელიეფის ფორმის, ხეობის განფენილობის თუ

ფერდობის ექსპოზიციის გავლენა. მაგალითად, კოდორის, ენგურის, ცხენისწყლის ხეობების იმ ადგილებში, რომელთაც განედური მიმართულება გააჩნიათ, ნალექები მნიშვნელოვნად კლებულობს და შეადგენს 1000-1200მმ-ს. სამაგიეროდ ბზიფის, კოდორის, ეგრისის და რაჭის ქედების ზღვისკენ მიქცეულ ფერდობებზე ნალექები უხვად მოდის(2800მმ), დასავლეთ კავკასიონის თხემურ ნაწილში კი აღემატება 3000მმ-ს.

აღმოსავლეთ საქართველო ნალექების მცირე რაოდენობით სასიათდება. განსაკუთრებით მცირე ნალექები მოდის ივრის ზეგანზე და ქვემო ქართლის ვაკეზე, სადაც



ნახ.5.3.1. ატმოსფერული ნალექები. მმ.წელიწადი (M.C.Хвичия, 1971)

ნალექების წლიური ჯამი 400მმ-ზე ნაკლებია. შიდა ქართლის ვაკეზე ნალექები იზრდება 600მმ-მდე, ალაზნის ველზე-800მმ-მდე, კავკასიონის სამუალო მთიანეთში-1000-1200მმ-მდე, ხოლო მისივე თხემურ ნაწილში-2000მმ-მდე.

მცირე ნალექებით ხასიათდება სამხრეთ საქართველო. განსაკუთრებით მცირე ნალექები ახალქალაქის ზეგანზე და ძღინარე ხრამის ზემო წელში, სადაც წლის განმავლობაში მოსული ნალექების რაოდენობა შეადგენს 500-600მმ-ს. აქ ნალექების ყველაზე დიდი რაოდენობა-1200მმ მოისა თრიალეთის ქედის დასავლეთ ნაწილში.

წლის ცივი და თბილი პერიოდების განმავლობაში მოსული ნალექების განაწილება დასავლეთ საქართველოში წლიური ნალექების ჯამების განაწილების ანალოგიურია-დასავლეთიდან აღმოსავლეთით კლებულობს და უკეთესად ტენიანდება დასავლეთით მიმართული ფერდობები. ცივი პერიოდის განმავლობაში დასავლეთ საქართველოში მოსული ნალექები შეადგენს 350-1800მმ-ს, ხოლო თბილი პერიოდის განმავლობაში-430-2100მმ-ს. აღმოსავლეთ საქართველოში ნალექების ცვალებადობა ცივი და თბილი პერიოდების განმავლობაში შეადგენს შესაბამისად 90-500მმ-ს და 260-1200მმ-ს.

ნალექების წლიური სელა დიდი მრავალფეროვნებით გამოირჩევა. შ.ჯავახიშვილი(1977) გამოყოფს ნალექების წლიური სელის 5 ტიპს: ზღვიურს(მაქსიმუმი შემოდგომაზე, მინიმუმი გაზაფხულზე), ხმელთაშუაზღვიურს(მაქსიმუმი ზამთარში, მინიმუმი ზაფხულში), კონტინენტურს(მაქსიმუმი გაზაფხულზე ან ზაფხულში, მინიმუმი ზამთარში), გარდამავალს(მაქსიმუმი ზამთარში ან ზაფხულში, მინიმუმი გაზაფხულზე) და შერეულს(მაქსიმუმი შემოდგომაზე, მინიმუმი ზაფხულში, ან ზამთარში).

ატმოსფერული ნალექების წლიური სელის მაგალითები მოტანილია ცხრილში 5.3.1.

ცხრილი 5.3.1. ატმოსფერული ნალექების წლიური სელა. მმ.

პუნქტი	თვეები											წელი	
	I	II	III	IV	V	თბ	თბი	თბის	რს	ს	ზრ		
სოხუმი	152	135	132	129	113	109	117	109	151	127	137	144	1555
ბათუმი	281	228	174	122	92	163	182	255	335	306	304	276	2718
ქუთაისი	174	168	136	112	92	105	115	95	124	143	156	166	1586
ხარაგაული	138	124	118	100	118	124	102	82	92	115	124	129	1366
მესტია	75	70	80	83	93	83	81	79	86	101	83	81	992
თბილისი	19	27	36	57	93	58	52	39	46	46	40	26	559

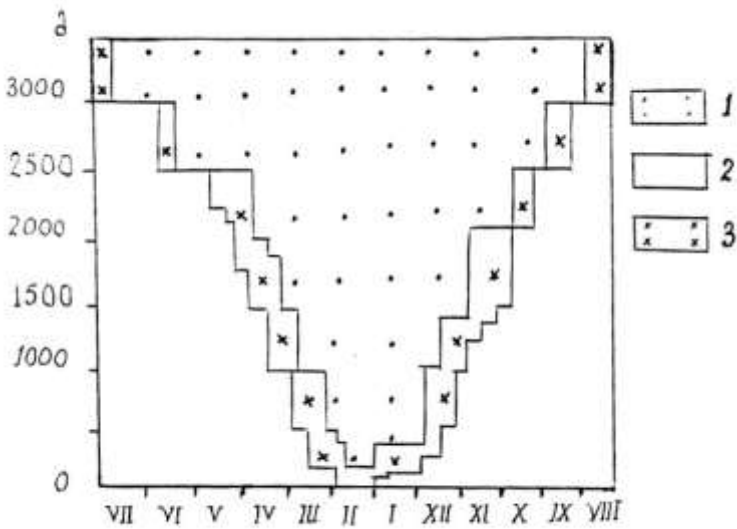
ცხრილიდან ჩანს, რომ ნალექების წლიური სვლის ზღვიური ტიპი დამახასიათებელია ბათუმისათვის, ხმელთაშუაზღვიური-სოხუმისა და ქუთაისისათვის, კონტინენტური-თბილისისათვის, გარდამავალი-ხარაგაულისათვის, ხოლო შერეული-მესტიისათვის.

5.4. ნალექთა ტიპები

თანამედროვე ლიტერატურაში ნალექების კლასიფიკაციას საფუძვლად უდევს მათი გარეგანი სახე (მორფოლოგია) და წარმოშობის ფიზიკური პირობები (გენეტიკა). მორფოლოგიური თვალსაზრისით განასხვავდება ნალექთა სამ ძირითად სახეობას-მყარს, თხევადს და შერეულს. ამ სახეობების ნალექთა განაწილება მთებში ადგილის სიმაღლეზეა დამოკიდებული. თუ ზღვის დონეზე მყარი ნალექების ხევდრითი წილი ნალექების საერთო რაოდენობაში უმნიშვნელოა, 1000მ-სიმაღლეზე დაახლოებით 20-25%-ია, ხოლო 3000მ-ზე- 95%-ზე მეტია(ნახ.5.4.1.)

თოვლის საფარის მახასიათებლების განაწილების მიხედვით საქართველოს ტერიტორიაზე სამი ზონა გამოიყოფა (ლ.კ.პაპინაშვილი, 1971).

I ზონა მოიცავს თოვლის ხაზის ზემოდ განლაგებულ ტერიტორიებს, როგორც კავკასიონის ფერდობებზე, ისე სამხრეთ-საქართველოს მთიანეთში. ზონა ხასიათდება მდგრადი თოვლის საფარით. თოვლის საფარის სიმძლავრე კლებულობს დასავლეთდან აღმოსავლეთის მიმართულებით. ამავე მიმართულებით კლებულობს თხევადი ნალექებიც. თოვლის საფარის დიდი სიმაღლეები აღინიშნება ლიხის ქედის დასავლეთ ფერდობზე. მთა-საბუეთში თოვლის საფარის სიმაღლე 90სმ-ს აღწევს.



ნახ.5.4.1. ნალექების შიდათვიური თანაფარდობის წლიური სკლა სიმაღლის მიხედვით: 1-მყარი ნალექები; 2-თხევადი ნალექები; 3-შერეული ნალექები (Ц.А.Швер, 1976)

II ზონა მოიცავს კავკასიონის და სამხრეთ-საქართველოს მთიანეთის იმ ნაწილს, რომელიც მდებარეობს I ზონის დაბლა. მისი ქვედა საზღვარი განლაგებულია 500-700მ-ზე ზღვის დონედან. ზამთრის უხვი ნალექები და ჰაერის მაღალი დატენიანება დასავლეთ საქართველოში განაპირობებს თოვლის საფარის დიდ სიმაღლეს. განსაკუთრებით გამოირჩევან მდინარეების ბზიფის, გუმისტის და კოდორის ხეობები. მყარი ნალექების დიდი რაოდენობა მოდის არაგვის ხეობაში. ჯვრის უღელტეხილზე თოვლის საფარის საშუალო დეკადური სიმაღლე 200მ-ს აღწევს. უფრო დიდია თოვლის საფარის სიმაღლე სამხრეთ-საქართველოს მთიანეთის დასავლეთ ნაწილში. ცისკარასა და

ბახმაროში თოვლის საფარის სიმაღლის უდიდესი მნიშვნელობები შეადგენს შესაბამისად 304 და 250სმ-ს. საშხრეთ-საქართველოს მთიანეთის აღმოსავლეთ ნაწილში თოვლის საფარის სიმძლავრე მნიშვნელოვნად კლებულობს. ასე მაგალითად, ფარავნის ზეობაში ის შეადგენს 24-58სმ-ს, ხოლო თრიალეთის ქედის უკიდურეს აღმოსავლეთ ნაწილში -20-30სმ-ს. აქ თოვლის საფარის რამდენადმე გაზრდილი სიმძლავრე ბორჯომ-ბაკურიანის რაიონში აღინიშნება.

III ზონას უკავია საქართველოს მთათაშორისი ბარი. მისი ზედა საზღვარი დასავლეთ საქართველოში 500-550მ, ხოლო აღმოსავლეთში 700-800მ სიმაღლეზე მდებარეობს. მას განეკუთვნება შავი ზღვის სანაპირო, კოლხეთის დაბლობის დიდი ნაწილი, შიდა და ქვემო ქართლის ვაკეები, ალაზნის ველი და იორის ზეგანი. აქ თოვლის საფარი არამდგრადია, შესაძლოა წლის განმავლობაში საერთოდ არ მოვიდეს.

გერტიკური თვალსაზრისით ნალექების აგრეთვე სამტიას განასხვავებენ:

1. ჟინჟღლი. ყალიბდება ფენა და ფენა-გროვა ღრუბლებში, რომლებიც ზასიათდება მცირე ვერტიკალური სიმძლავრით და წვეთის დამსხვილება ვერ ხერხდება. ჟინჟღლი ნალექების ინტენსივობა ძალზე უმნიშვნელოა.

2. გაბმული ნალექი. დამახასიათებელია თბილი ფრონტის ღრუბლებისათვის. მოიცავს დიდ ფართობს, ხანგრძლივი და ერთნაირი საშუალო ინტენსივობისაა.

3. თავსებმა ნალექი. მოდის მძლავრი გროვა-წვიმის ღრუბლებიდან. ხშირად ის დაკავშირებულია ცივი ფრონტის გავლასთან. მისი ინტენსივობა დიდია, ხანგრძლივობა კი მცირე.

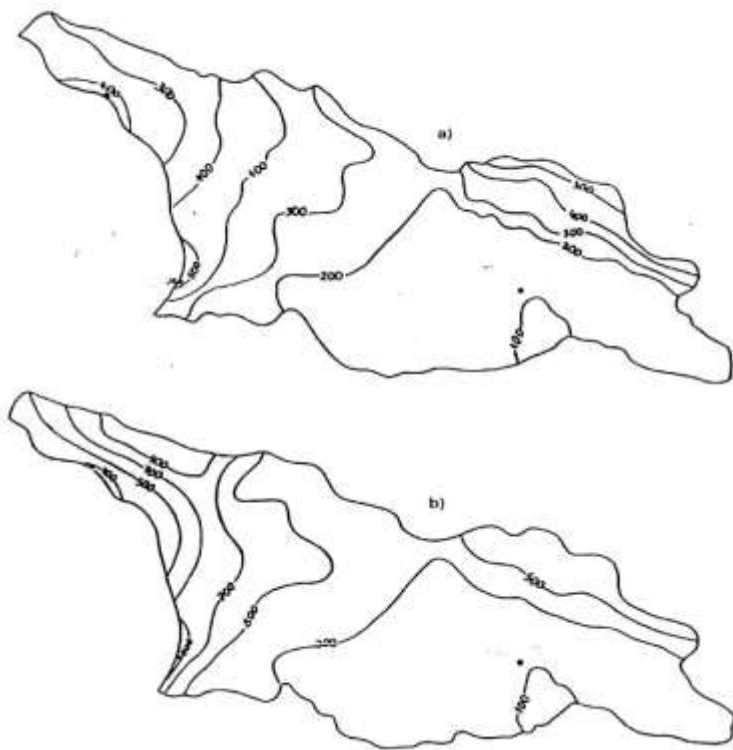
დასავლეთ საქართველოსათვის ძირითადად დამახასიათებელია წვრილწვეთოვანი გაბმული და თავსებმა ნალექები, ხოლო აღმოსავლეთ საქართველოსათვის-თავსებმა ნალექები(ცხრილი 5.4.1.).

ცხრილი 5.4.1. ნალექთა ტიპების განმეორადობა%.
(Ж.Д.Алибекова, Э.Ш.Элизбарашвили, 1980)

ოლქი	უინულლი	წვრილწვე თოვანი გაბმული	მსხვილწვე თოვანი გაბმული	თავსხმა
დასავლეთ საქართველო	11	34	24	31
აღმოსავლეთ საქართველო	7	28	24	41

თავსხმა ნალექების ხვედრითი წილი ნალექების საერთო ჯამში 40-80%-ს შეადგენს. ყველაზე დიდი წილი მოდის ახმეტაში(80%), ბათუმში(77%) და ახალქალაქში (74%). ტყიბულში, ფოთში, თელავსა და გალში თავსხმა ნალექები შეადგენს ნალექების საერთო რაოდენობის 65-66%-ს, გაგრაში, სამტრედიაში, წყალტუბოში, გურჯაანში, თბილისში-დაახლოებით 60%-ს, ბოლნისში და ბაკურიანში-50%-ს, ხაიში, მთა-საბუთში, აბასთუმანში, მანგლისში და გოდერძის უღელტეხილზე-50%-ზე ნაკლებს. ყოველივე ეს რაოდენობრივად ნაჩვენებია ნახ.5.4.2-ზე.

თავსხმა ნალექების ხანგრძლივობა ნალექების საერთო ხანგრძლივობის 35%-ზე ნაკლებია. ამასთანავე თავსხმა ნალექები ყველაზე ხანგრძლივია ახალქალაქში-35%, ახმეტასა და ცხინვალში ხანგრძლივობა 20-25%-ია, ტერიტორიის უმეტეს ნაწილზე- 20%-ზე ნაკლებია, ხოლო



ნახ.5.4.2. წლის თბილი პერიოდის განმავლობაში
მოსული გაბმული(a) და თავსხმა(b) ნალექების ჯამები
(Э.Ш.Элизбарашили, З.Б.Чавчанидзе, М.С.Янакидис, 1994)
ნაიშში, საქარაში, მთა-საბუეთში, ბილნისში, ხულოში და
გოდერძის გადასასვლელზე-10%-ზე ნაკლებია.

5.5. სეტყვა

სეტყვა საშიშ აზმოსფერულ მოვლენათა რიცხვს მიეკუთვნება. ის ხშირია საქართველოშიც და განპირობებულია, როგორც ფრონტალური, ისე ადგილობრივი პროცესებით. მისი მოსვლა ხორციელდება ჰაერის მასების შემოჭრის შედეგად დასავლეთიდან, აღმოსავლეთიდან ან ამიერკავკასიის სამხრეთში ტალღური აღრევების გამო. აღმოსავლეთ საქართველოში სეტყვის მოსვლა 44% შემთხვევაში განპირობებულია ცივი ფრონტის შემოჭრით, 24% შემთხვევაში-ტალღური აღრევის გამო, 17% შემთხვევაში-მიდამასიური პროცესების, ხოლო 15% შემთხვევაში-ფრონტალური ოკლუზის შედეგად (B.M. გიგინეიშვილი, 1960).

სეტყვა ყველაზე ხშირია ჯავახეთის ზეგანზე, მესხეთის და თრიალეთის ქედის სამხრეთ ფერდობებზე, კახეთის ქედის ჩრდილოეთ ნაწილში და ცენტრალური კავკასიონის მაღალმთიანეთში, სადაც სეტყვის პროცესების განმეორადობა მაქსიმუმს აღწევს და წელიწადში საშუალოდ 9-10 სეტყვიანი დღეა, თუმცა ცალკეულ წლებში აჭარბებს 20 დღეს. მესხეთის და თრიალეთის ქედის ჩრდილოეთის ფერდობებზე, გომბორის ქედზე და კავკასიონის ცენტრალურ ნაწილში საშუალოდ 2-4 სეტყვიან დღეთა რიცხვია, ცალკეულ წლებში კი აღმატება 10 დღეს. ლიხის ქედზე, აღმოსავლეთ საქართველოს დაბლობ რაიონებსა და მთისწინეთში, აგრეთვე შავი ზღვის სანაპიროსა და კოლხეთის ბარის ცალკეულ რაიონებში წელიწადში 1-2 სეტყვიანი დღეა. კოლხეთის ბარის სამხრეთ და შიდა რაიონებში სეტყვა იშვიათი მოვლენაა.

სეტყვის მოვლენების ძირითადი ტრაექტორიები გადის ბაკურიანზე, აბასთუმანზე, გუდაურზე და ცივ-გომბორზე(B.M. გიგინეიშვილი, 1960). სწორედ ამ მიმართულებას შეესაბამება ავიაციისათვის განსაკუთრებით საშიში ელჭექების პროცესების განვითარება.

სეტყვის მოსვლის ხანგრძლივობა ერთ პუნქტში ამიერკავკასიისათვის შეადგენს 3-5 წელს (Я.Г. Сулаквелиძე, 1988). სეტყვის მატარებელი ღრუბელი გადადგილდება საშუალოდ სიჩქარით 20-30 კმ/სთ-ში. თუ

ჩავთვლით, რომ ერთი ღრუბლიდან სეტყვის მოსვლის ხანგრძლივობა დაახლოებით 1 სათია, დედამიწის ზედაპირზე სეტყვა აღინიშნება 25-30 კმ სიგრძის და 1-2 კმ სიგანის ტერიტორიაზე.

სეტყვის მოსვლის ხასიათის მიხედვით ი.სულაქელიძემ(1988) საქართველო დაჲყო 5 რაიონად:

1.შავი ზღვის სანაპირო ზოლი. მაქსიმალური დღეთა რიცხვი სეტყვით შეადგენს 8-ს. მაქსიმუმი შეესაბამება შემოდგომას(ოქტომბერი) და ზამთარს(თებერვალი), ხოლო მინიმუმი-გაზაფხულსა და ზაფხულს. სეტყვის მარცვლები ვერ ასწრებენ დამსხვილებას, რადგანაც ნულოვანი იზოთერმა საკმაოდ მაღლაა განლაგებული. ამიტომ რაიონი არაა სეტყვასაშიში.

2.დასავლეთ კავკასიონის მთისწინეთი, ზემო იმერეთი და რიონის ხეობა. სეტყვიან დღეთა რიცხვის მაქსიმუმი 16-ია, ხოლო საშუალო მნიშვნელობა-2,5. ზამთარში სეტყვა პრაქტიკულად არ აღინიშნება, ყველაზე ხშირად კი მაისში იცის.

3.აჭარა-თრიალეთის მთები. სეტყვიან დღეთა მაქსიმუმი 14-ია, ხოლო საშუალო მნიშვნელობა-1,7-ია. სეტყვის პროცესები ყველაზე აქტიურია ივნისში, ხოლო ყველაზე ნაკლებად აქტიური-თებერვალსა და მარტში.

4.აღმოსავლეთ საქართველოს უმეტესი ნაწილი(მტკვრის მარჯვენა სანაპირო). სეტყვიან დღეთა მაქსიმალური რიცხვი 23-ია, საშუალო-3,6. სეტყვა უმთავრესად აპრილიდან სექტემბრის ჩათვლით მოდის.

5.მტკვრის მარცხნა სანაპირო, გარე და შიდა კახეთი, იორის და ალაზნის ზემო დინებები, არაგვის და ლიახვის აუზები. სეტყვიან დღეთა რიცხვის მაქსიმალური მნიშვნელობაა 21, ხოლო საშუალო-3,4. სეტყვის პროცესების ნახევარზე მეტი მოდის მაისსა და ივნისშე. ხშირია აგრეთვე სეტყვა აპრილიდან აგვისტოს ჩათვლით, ამიტომაც ის დიდ საშიშროებას წარმოადგენს სოფლის მურნეობისათვის.

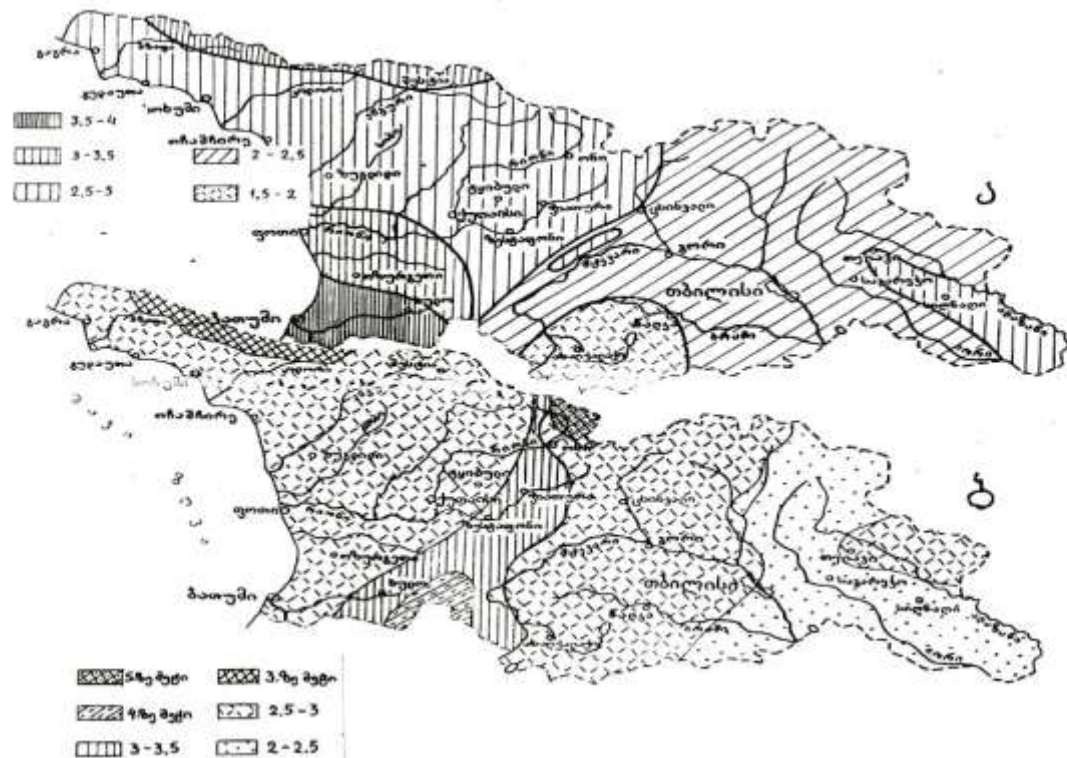
5.6. ნალექიანი პერიოდები

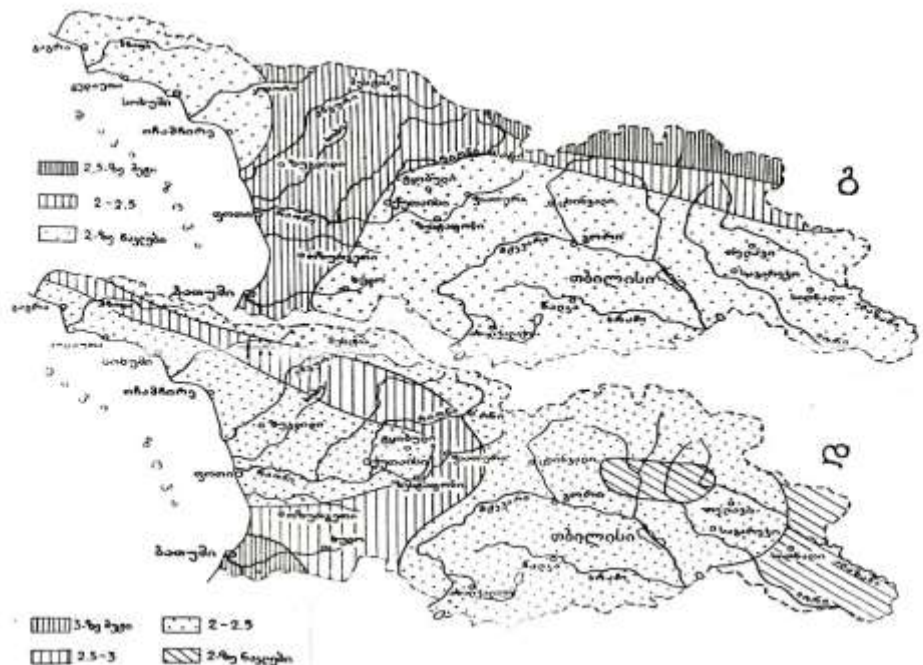
ნალექიანი პერიოდების განაწილება საქართველოს ტერიტორიაზე დიდი კონტრასტულობით ხასიათდება, რაც განპირობებულია აგრეთვე ატმოსფეროს ცირკულაციური

პროცესებისა და რელიეფის ურთიერთქმედებით, და სეზონური თავისებურებებით გამოირჩევა(ნახ.5.6.1).

ზამთარში ნალექიანი პერიოდების საშუალო უწყვეტი ხანგრძლივობა 1,5-4 დღე-დამის ფარგლებში იცვლება, მინიმუმით სამხრეთ-საქართველოს მთიანეთში, ხოლო მაქსიმუმით აჭარასა და კავკასიონის მაღალმთიან ზონაში, ეს განპირობებულია ზამთრისათვის დამახასიათებელი ფრონტალური პროცესებით, რომლებიც განსაკუთრებით ინტენსიურია დასავლეთ საქართველოში.

გაზაფხულზე ფრონტალური პროცესების განმეორადობა რამდენადმე იზრდება, ამასთან დაკავშირებით იზრდება ნალექიანი პერიოდების ხანგრძლივობაც (2-5 დღე-დამე). ზღვისპირა ზოლში და კოლხეთის დაბლობზე ნალექიანი პერიოდების ხანგრძლივობა 2,5-3 დღე-დამეა, იმერეთის მთისწინა რაიონებში იზრდება 3,5-ძღე, ხოლო





ნალექებიან დღეთა რიცხვის უწყვეტი ხანგრძლივობა: а)-ინგარი; ბ)-აპრილი;
გ)-ივლისი; დ)-ოქტომბერი (ე.ელიზბარაშვილი, ზ.ჭავჭავაძე, 1992)

აჭარა-თრიალეთის მთიანი სისტემის დასავლეთ კალთებზე 4 დღე-ღამებდე აღწევს. პერიოდის მაქსიმალური ხანგრძლივობა აღინიშნება კავკასიონის მაღალმთიან ზონაში და მამისონის უღელტეხილის რაიონში 5 დღე-ღამეს შეადგენს. აღმოსავლეთ საქართველოში ნალექიანი პერიოდების ხანგრძლივობა 2-3 დღე-ღამეს შეადგენს, რაც დაკავშირებულია ამ რაიონში ოროგრაფიით განპირობებული ჰაერის მასების დინამიკურ გადაადგილებასთან.

ზაფხულში ფრონტალური პროცესების განმეორადობა მცირდება, ხოლო შიდამასიური პროცესები აქტიურდება. ამ დროს მოსული თავსხმა ნალექების ხანგრძლივობა, როგორც წესი მცირეა, ამის გამო ნალექიანი პერიოდების საშუალო ხანგრძლივობაც კლებულობს.

შემოდგომაზე ნალექიანი პერიოდების ხანგრძლივობა, ისევე როგორც ზაფხულში, 2-4 დღე-ღამეს შეადგენს, მაქსიმუმით აგრეთვე აჭარაში და მინიმუმით აღმოსავლეთ საქართველოს სტეპურ ზონაში.

სხვადასხვა ხანგრძლივობის ნალექიანი პერიოდების განმავლობაში მოსული ნალექების რაოდენობის ტერიტორიული განაწილება ნალექების წლიური ჯამების განაწილების ანალოგიურია- ნალექების უდიდესი რაოდენობა მოდის დასავლეთ საქართველოში, ხოლო უმცირესი-სამხრეთ საქართველოში და აღმოსავლეთ საქართველოს სტეპურ ზონაში (ცხრილი5.6.1).

ცხრილიდან ირკვევა, რომ ნალექიანი პერიოდის ხანგრძლივობის ზრდასთან ერთად ნალექების რაოდენობა იზრდება. მაგალითად, აპრილში თუ ერთდღიანი ნალექიანი პერიოდის განმავლობაში დასავლეთ საქართველოში მოდის 9მმ-მდე, ხოლო სამხრეთ საქართველოში-6მმ ნალექი, სამდღიანი ხანგრძლივობის ნალექიანი პერიოდის განმავლობაში მოსული ნალექების რაოდენობა შესაბამისად 26-42 და 18მმ-ს შეადგენს.

ცხრილი5.6.1. სხვადასხვა ხანგრძლივობის ნალექიანი პერიოდის განმავლობაში მოსული ნალექების რაოდენობა. მმ
ა)-ხანგრძლივობა 1 დღე-ღამე; ბ)- ხანგრძლივობა 3 დღე ღამე (ე.ელიზბარაშვილი, ზ.ჭავჭანიძე, 1992).

პუნქტი	იანვარი		აპრილი		ივლისი		აგვისტო	
	ა	ბ	ა	ბ	ა	ბ	ა	ბ
სოხუმი	8	28	5	45	11	36	6	29
ბათუმი	7	45	9	27	10	34	12	40
ზუგდიდი	4	19	6	32	13	41	8	44
ქუთაისი	3	31	8	18	5	26	12	29
ცხინვალი	2	58	4	18	5	9	2	22
ახალქალაქი	2	8	6	18	4	10	2	18
თელავი	4	12	3	14	7	5	2	25
ლაგოდეხი	3	11	3	11	5	33	6	27

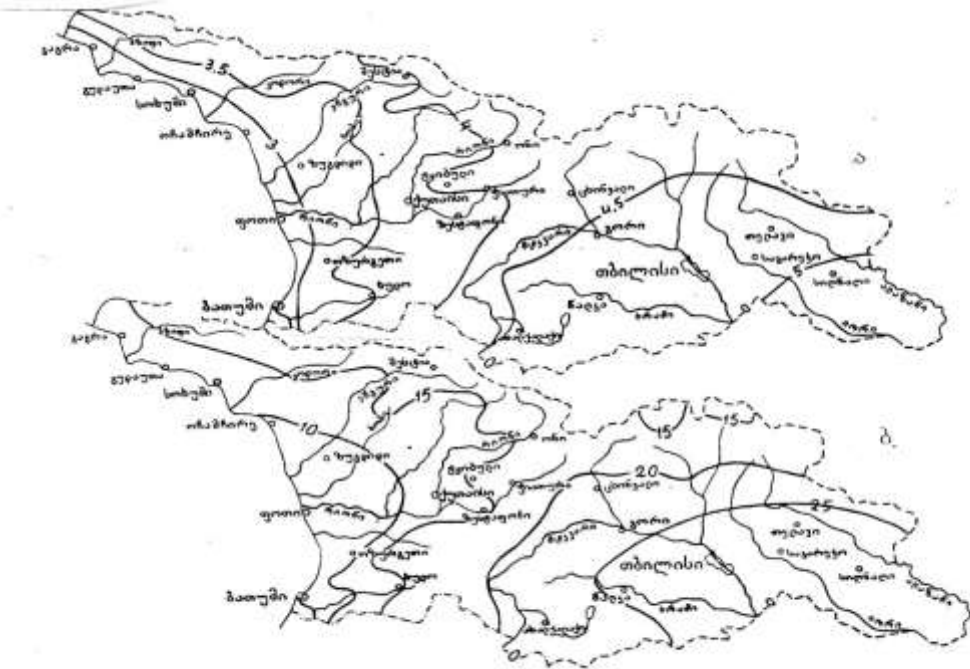
5.7. უნალექო პერიოდები და გვალვა

ნახ.5.7.1.-ზე წარმოდგენილია წლის თბილი პერიოდის განმავლობაში უნალექო პერიოდების განაწილების რუკები. უწყვეტი უნალექო პერიოდი, როდესაც დღე-ღამური ნალექების ჯამი არ აღემატება 10მმ-ს საქართველოს ტერიტორიაზე იცვლება 10-25 დღის ფარგლებში, მინიმუმით აჭარაში, ხოლო მაქსიმუმით აღმოსავლეთ საქართველოში (გარდაბნის, დედოფლისწყარის, გურჯაანის, საგარეჯოს, ახალქალაქის რაიონები). როდესაც დღე-ღამური ნალექების ჯამი არ აღემატება 0,1მმ-ს უნალექო პერიოდის ხანგრძლივობა მცირდება, თუმცა ძირითადი ექსტრემუმების ზონები შენარჩუნებულია.

ცხრილში 5.7.1 წარმოდგენილია ცხვადასხვა ხანგრძლივობის უნალექო პერიოდის განმეორადობები საქართველოს განსხვავებულ ფიზიკურ-გეოგრაფიულ პირობებში განლაგებული პუნქტებისათვის.

ცხრილი 5.7.1 სხვადასხვა ხანგრძლივობის უნალექო
პერიოდის განმეორადობა.%. ა)-ნალექები 0,1მმ-ზე ნაკლები
ან ტოლი; ბ)- ნალექები 5მმ-ზე ნაკლები ან ტოლი; გ)-
ნალექები 10მმ-ზე ნაკლები ან ტოლი
(ე.ელიზბარაშვილი, ზ.ჭავჭანიძე, 1992)

პუნქტი	გრა და ცია	უნალექო პერიოდის ხანგრძლივობა					
		1-3	4-5	6-10	11-15	16-20	21-25
თბილისი	ა	54	16	20	5	5	-
	ბ	36	8	20	20	10	6
	გ	10	20	25	20	5	10
ბათუმი	ა	69	14	10	5	2	-
	ბ	51	16	20	10	2	1
	გ	40	16	20	15	6	3
1ქუთაისი	ა	62	16	15	5	1	1
	ბ	39	14	25	10	10	1
	გ	35	16	16	16	10	2
ახალქალაქი	ა	69	10	15	6	-	-
	ბ	15	14	30	20	16	4
	გ	10	10	10	15	15	20
თელავი	ა	71	18	10	1	-	-
	ბ	35	20	3	5	10	-
	გ	30	18	25	15	5	5
ა:ყაზბეგი, მაღალმთიანი	ა	66	16	15	2	1	-
	ბ	45	12	30	10	3	-
	გ	18	10	30	10	15	10



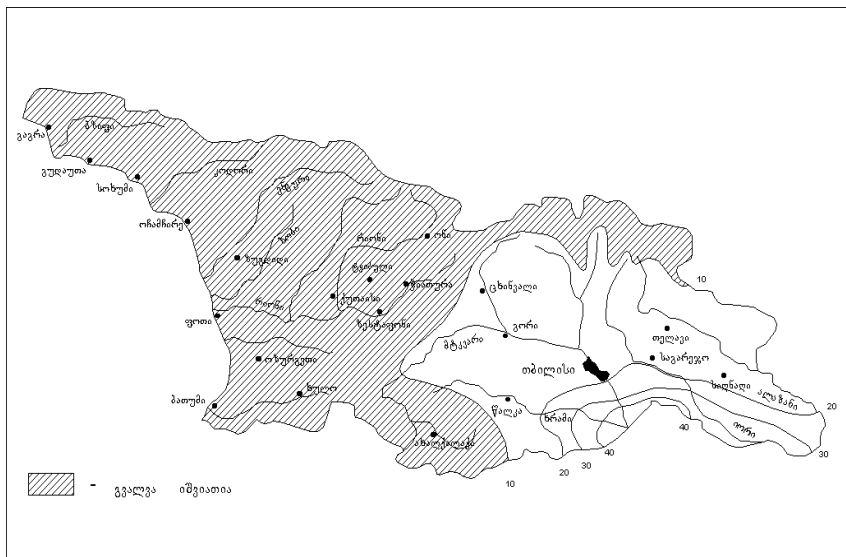
ნახ.5.7.1. უნალექო პერიოდების უწყვეტი ხანგრძლივობა. დღე: а)-ნალექები 0,1მმ-ზე ნაკლებია; б)-ნალექები 10მმ-ზე ნაკლებია

ცხრილში 5.7.1 ტირე მიუთითებს, რომ მოცემული გრადაციის ალბათობა არ აღემატება 1%-ს.

როგორც ცხრილი 5.7.1-დან ჩანს ყველაზე უფრო ალბათურია 1-3 დღის ხანგრძლივობის უნალექო პერიოდი. ასეთი პერიოდის ალბათობა, როდესაც ნალექების რაოდენობა არ აღემატება 0,1მმ-ს შემდგენ 50-70%-ს, ხოლო თუ ნალექების რაოდენობა არ აღემატება 5მმ-ს, შესაბამისი ალბათობა იკლებს 15-50%-მდე.

ხანგრძლივი უნალექო პერიოდები განაპირობებუნ გვალვის ჩამოყალიბებას. გვალვა წარმოიქმნება ნალექების უკმარისობისა და გაზრდილი აორთქლების ისეთი თანაფარდობის დროს, რაც იწვევს მკვეთრ შეუსაბამობას მცენარის ტენის მოთხოვნილებასა და ნიადაგიდან მის მიწოდებას მორის. გვალვა განსაკუთრებით საშიშია ზაფხულში. მაღალი ტემპერატურა, დაბალი სინოტივე და ძლიერი აორთქლება აშრობს ნიადაგის ზედა ფენებს, აფერხებს ვეგეტატიური მასის დაგროვებას, ამცირებს მცენარის კვირტს და ზრდის ფესვებს, საერთო ჯამში კი ამცირებს ყველა სასოფლო-სამურნეო კულტურის მოსავლიანობას.

ცნობილია გვალვის ინტენსივობის შეფასების სხვადასხვა აგრომეტეოროლოგიური მაჩვენებელი-გ.სელიანინვის პიდროთერმული კოეფიციენტი, ვ.პოპოვის ჰავის სიმშრალის კოეფიციენტი, ტორნვეიტის ტენიანობის ინდექსი და სხვ. მიუხედავად ამისა გვალვის ყველაზე საიმედო მაჩვენებელია ტენის მარაგი ნიადაგის ფესვწარმომქნელ შრეში. ტერიტორიის ტენით უზრუნველყოფის კრიტიკულ ნორმად მიღებულია ნალექების ჯამი სავეგეტაციო პერიოდში 150-200მმ-ის ფარგლებში. აქედან გამომდინარე მკაცრ გვალვად მიღებულია პერიოდი, როდესაც ნალექების ჯამი სავეგეტაციო პერიოდის განმავლობაში არ აღემატება 150მმ-ს. ასეთი გვალვები საკმაოდ ხშირად აღინიშნება აღმოსავლეთ საქართველოში(ნახ.5.7.2.). აღმოსავლეთ საქართველოს ზოგიერთ რაონიში მკაცრი გვალვის ალბათობა 40%-ს აღემატება, რაც იმას ნიშნავს, რომ ასეთი გვალვა მისალოდნელია ყოველ ორ-სამ წელიწადში ერთხელ.



ნახ.5.7.2. მკაცრი გვალვების განმეორადობა. %.
(ე.ელიზბარაშვილი, ზ.ჭავჭავაძე, 1992)

დიდი სიმკაცრით გამოირჩეოდა 2006 წლის გვალვა, როდესაც ხანგრძლივი უნალექო პერიოდის განმავლობაში შენარჩუნებული იყო მაღალი ტემპერატურული ფონი.

ხშირი გვალვიანობა განაპირობებს გაუდაბნოების პროცესების გააქტიურებას, რასაც საფუძვლიანად მონოგრაფიის მე-12 თავში განვიხილავთ.

თავი 6. ნიადაგების კლიმატი და კლიმატური რესურსები

6.1 ნიადაგების თერმული რეჟიმი და სითბური რესურსები
 დედამიწის ზედაპირზე მოსული მზის რადიაცია
 განაპირობებს ქვეფენილი ზედაპირის სითბურ რეჟიმს.
 გამობარი დედამიწის ზედაპირიდან სითბო გადაცემა
 ატმოსფეროს. სითბოს გადატანა ნიადაგიდან
 ატმოსფეროსაკენ ხორციელდება მოლექულური
 სითბოგამტარობის, ტურბულენტური შერევის, სითბური
 კონვექციის, რადიაციული სითბოგამტარობის, და ტენის
 აორთქლებისა და შემდგომი კონდენსაციის გზით.
 ჩამოთვლილი პროცესებიდან წამყვანი როლი
 ტურბულენტურ შერევას და სითბურ კონვექციას ეკუთვნის.
 ძირითადად ამ პროცესების გავლენით ყალიბდება ნიადაგის
 და ატმოსფეროს ტემპერატურათა თანაფარდობა, რაც
 წრფივი ფუნქციით გამოისახება(ე.ელიზბარაშვილი, თ.ხელაძე,
 გ.ჭავჭანიძე, ნ.სულხანიშვილი, 1992):

$$T_b = kT_n + T_{bo} \quad (6.1.1.)$$

სადაც T_b - პაერის ტემპერატურაა, T_n -ნიადაგის
 ტემპერატურაა, k - კოეფიციენტია, ხოლო T_{bo} - პაერის
 ტემპერატურაა, როდესაც ნიადაგის ტემპერატურა ნულის
 ტოლია(იხ. ცხრილი 6.1.1.).

ცხრილი 6.1.1. პარამეტრები (6.1.1.) ფორმულისათვის და
 კორელაციის კოეფიციენტი (ე.ელიზბარაშვილი, თ.ხელაძე, გ.ჭავჭანიძე,
 ნ.სულხანიშვილი, 1992)

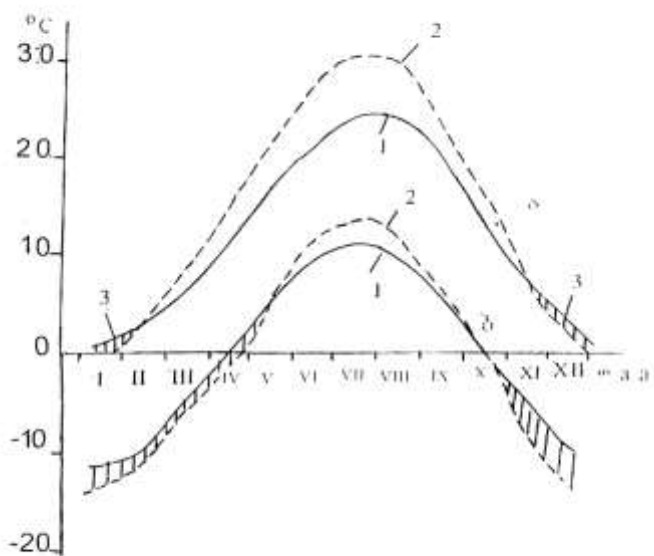
პარამეტრი	თვეები			
	I	IV	VII	X
k	0,85	0,86	1,04	1,00
T_{bo}	0,72	-0,85	-5,70	-0,98
R	0,96	0,95	0,93	0,95

მთლიანად საქართველოს ტერიტორიაზე წლის
 უმეტესი დროის განმავლობაში, როდესაც რადიაციული
 ბალანსი დადებითა, ნიადაგი პაერთან შედარებით თბილია,

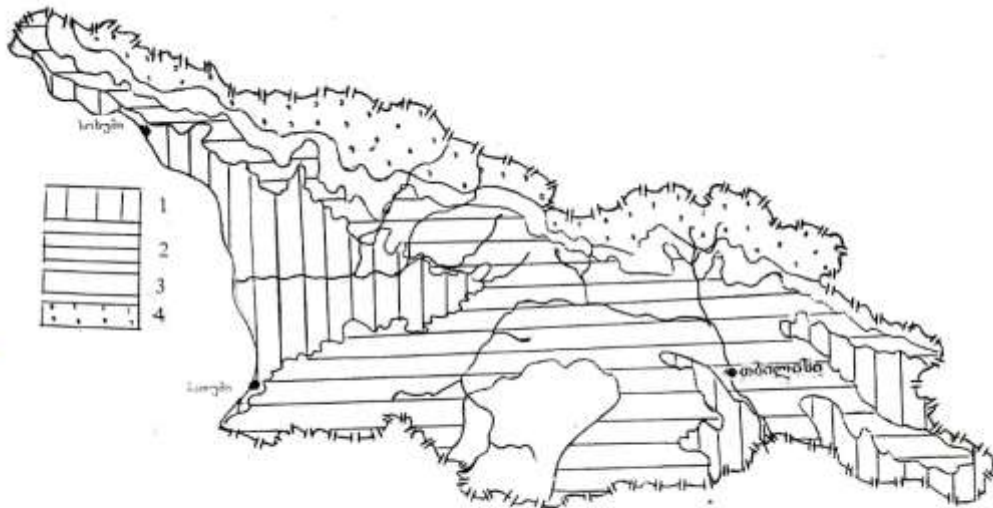
ხოლო ზამთარში ნიადაგი გამოსხივების გამო კარგავს სითბოს და პაერზე მეტად ცივდება. მაგალითად, ნახ.6.1.1-დან ჩანს, რომ თბილისში ნიადაგის ტემპერატურა დაახლოვებით თებერვლის შუა რიცხვებიდან ნოემბრის შუა რიცხვებამდე აღემატება პაერის ტემპერატურას. წლის დანარჩენ დროს აღინიშნება შებრუნვებული სურათი- პაერის ტემპერატურა აღემატება ნიადაგის ტემპერატურას, ანუ ადგილი აქვს უარყოფით სითბოცვლას. თითქმის ანალოგიური ძღვომარეობაა ბათუმსა და დედოფლისწყაროში. ჯვრის უღელტეხილზე, ზღვის დონედან 239 მ სიმაღლეზე, პაერი თბება ხანძოკლე პერიოდის განმავლობაში-მაისის დასასრულიდან ოქტომბრის დასასრულამდე, წლის უმეტესი დროის განმავლობაში კი გაბატონებულია უარყოფითი სითბოცვლა. წნორში, რუსთავში, მარნეულში, სამგორში, იორმუღანლოში და სხვა თბილი მშრალი პავისა და ნიადაგების პირობებში უარყოფით სითბოცვლა არ აღინიშნება. ასეთი განსხვავებანი ნიადაგ-ატმოსფეროს სისტემის თერმული რეჟიმის ჩამოყალიბებაში განპირობებულია ნიადაგების განსხვავებული სითბური თვისებებით.

ნიადაგების გეოთერმული პირობების გამოკვლევის საფუძველზე საქართველოს ტერიტორიაზე გამოყოფილია მეტად თბილი, თბილი, ზომიერად თბილი, ზომიერი და ცივი ნიადაგების გეოთერმული რაიონები(ნახ.6.1.2.).

მეტად თბილ ნიადაგებს უკავია კოლხეთის ბარის თითქმის მთელი ტერიტორია და მთისწინეთის ნაწილი, აგრეთვე ალაზნის ვაკე, ივრის ზეგნისა და ქვემო ქართლის ვაკის ნაწილები. აქ წლის თბილი პერიოდის განმავლობაში (აპრილი-ოქტომბერი) ნიადაგის ზედაპირის ტემპერატურა 22° -ს, ხოლო 20სმ სიღრმეზე ტემპერატურა 20° -ს აღემატება. თბილი ნიადაგები გავრცელებულია საქართველოს ტერიტორიის უდიდეს ნაწილზე კავკასიონისა და სამხრეთ საქართველოს მთიანეთის მთისწინეთის ჩათვლით,



ნახ.6.1.1. ჰაერის(1) და ნიადაგის ზედაპირის(2) ტემპერატურების წლიური სვლა თბილისში(ა) და ჯვრის უღელტეხილზე(ბ); 3-უარყოფითი სითბოცვლა

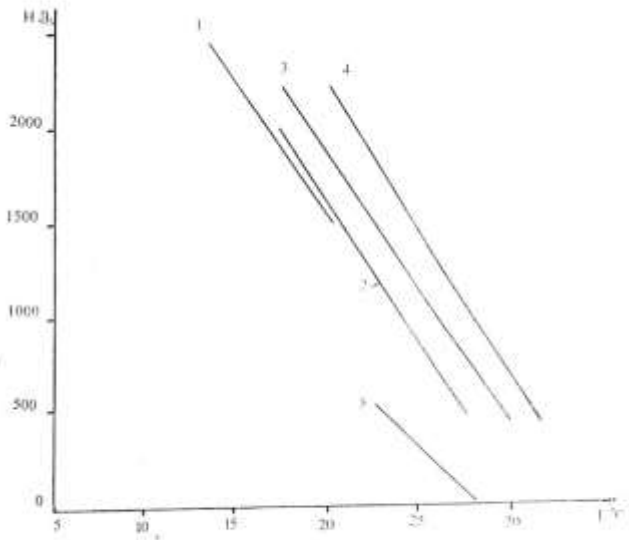


ნახ.6.1.2. საქართველოს გეოთერმული რაიონები: 1-მეტად თბილი ნიადაგები; 2- თბილი ნიადაგები; 3-ზომიერად თბილი ნიადაგები; 4-ზომიერი და ცივი ნიადაგები

იმერეთის მაღლობზე, შიდა ქართლის ვაკეზე და ა.შ. ნიადაგის ზედაპირის ტემპერატურა აქ $15-20^0$ -ია, ხოლო 20სმ სიღრმეზე 20^0 -ს აღემატება. ზომიერად თბილი ნიადაგები გავრცელებულია კავკასიონის ქედის ვიწრო ზოლში და აგრეთვე საქართველოს სამხრეთი მთანეთის მნიშვნელოვან ნაწილზე, სადაც ტემპერატურა წლის თბილი პერიოდის განძავლობაში როგორც ნიადაგის ზედაპირზე, ისე 20სმ სიღრმეზე $10-15^0$ -ს შეადგენს. კავკასიონის მთავარი ქედის მნიშვნელოვანი ნაწილი უკავია ზომიერ და ცივ ნიადაგებს, სადაც ტემპერატურა ნიადაგის ზედაპირზე 10^0 -ზე ნაკლებია, ხოლო 20სმ სიღრმეზე $0-10^0$ -ს შეადგენს.

ამ ზოგადი კანონზომიერებების გარდა ნიადაგის ტემპერატურა თითოეულ რაობოში დამოკიდებულია რელიეფის ფორმაზე. რელიეფის დადებითი ფორმები იანვარში უფრო თბილია, ხოლო ივლისში ცივი, ვიდრე რელიეფის უარყოფითი ფორმები. ტემპერატურათა სხვაობა რელიეფის განსხვავებულ ფორმებს შორის იანვარში 3^0 , ხოლო ივლისში $5-6^0$ -მდე აღწევს.

განსხვავებული სითბური თვისებები გააჩნია სხვადასხვა ტიპის ნიადაგებს (ნახ.6.1.3.). დასავლეთ საქართველოს სუბტროპიკული ზონის ტენიანი ნიადაგები ივლისში $4-8^0$ -ით ცივია, კარგის შედარებით მშრალი ჰავის ნიადაგებზე. კარგად თბებიან სამხრეთ საქართველოს მთანეთისა და აღმოსავლეთ საქართველოს მთა-სტეპური ზონის ნიადაგები, მათთან შედარებით $1-2^0$ -ით ცივია აღმოსავლეთ საქართველოს მთა-ტყის ზონის ნიადაგები, ხოლო უკანასკნელთან შედარებით კიდევ $1-2^0$ -ით ცივია დასავლეთ საქართველოს იგივე ზონის ნიადაგები. ნიადაგების ტემპერატურის ცვლილების ასეთი ხასიათი დასავლეთ საქართველოს ნიადაგების დიდი სითბო- და ტენტევალობით, აგრეთვე მათთვის დამახასიათებელი წყლის დიდი მარაგით აიხსნება. ამავე დროს სითბოს დიდი რაოდენობა იხსრჯება აორთქლებაზე ნოტიო ნიადაგებიდან და ამიტომ ისინი შედარებით ნაკლებად თბებიან, ვიდრე მშრალი ნიადაგები.



ნახ.6.1.3. ნიადაგის ზედაპირის ტემპერატურის დამოკიდებულება აღვილის სიმაღლეზე: 1-მთა-მდელოს ზონის ნიადაგები; 2-დასავლეთ საქართველოს მთა-ტყის ზონის ნიადაგები; 3-აღმოსავლეთ საქართველოს მთა-ტყის ზონის ნიადაგები; 4-აღმოსავლეთ და სამხრეთ საქართველოს მთა-სტეპების ზონის ნიადაგები; 5-დასავლეთ საქართველოს სუბტროპიკული ზონის ნიადაგები (ე.ელიზბარაშვილი, თ.ხელაძე, ზ.ჭავჭანიძე, ნ.სულხანიშვილი, 1992)

ნახ.6.1.3.-ზე წარმოდგენილი დამოკიდებულებები აღიწერება შემდეგი სახის წრფივი განტოლებებით:

$$T_n = T_0 - \gamma H, \quad (6.1.2.)$$

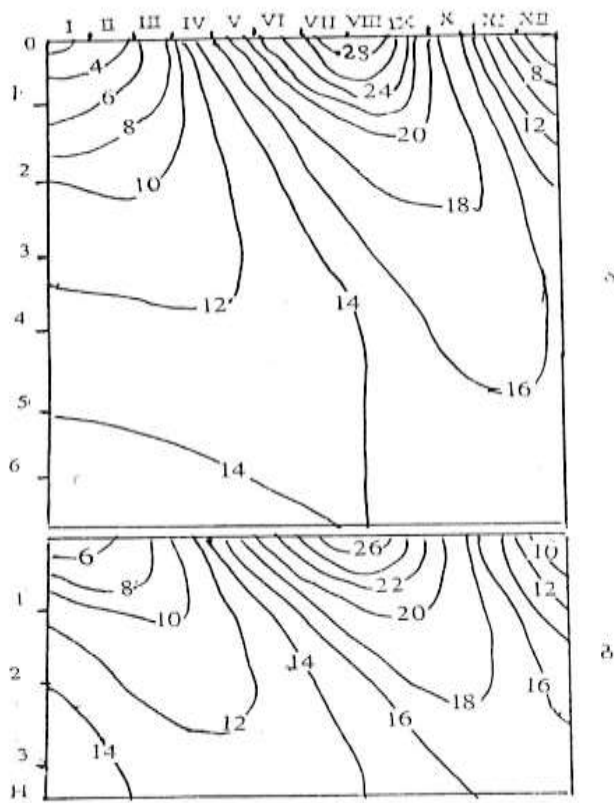
სადაც T_n - ნიადაგის ზედაპირის ტემპერატურაა, H -სიმაღლეა ზღვის დონედან მეტრებში, T_0 - ნიადაგის ზედაპირის ტემპერატურაა ზღვის დონეზე, γ -ნიადაგის

ზედაპირის ტემპერატურის ვერტიკალური გრადიენტია (ცხრილი 6.1.3.).

ცხრილი 6.1.3. T_o და γ –ის მნიშვნელობები (ე.ელიზბარაშვილი, თ.ხელაძე, ზ.ჭავჭანიძე, 6.სულხანიშვილი, 1992)

ზნიადაგის ტიპი	T_o °C	γ °C/ გ
მთა-მდელოს ზონის დასავლეთ საქართველოს მთა-ტყის ზონის აღმოსავლეთ საქართველოს მთა-ტყის ზონის აღმოსავლეთ საქართველოს მთა-სტეპის ზონის დასავლეთ საქართველოს სუბტროპიკული ზონის	32 31 33 34 28	0,0081 0,0070 0,0078 0,0067 0,0122

ტემპერატურათა სხვაობა ნიადაგის ზედაპირსა და უფრო ღრმა ფენებს შორის დამოკიდებულია ნიადაგის სითბოვამტარობაზე, სითბოტევადობაზე და ტემპერატურაგამტარობაზე (ნახ. 6.1.4.). ტენიანი ნიადაგები ხასიათდებიან მაღალი ტემპერატურაგამტარობით, ამიტომ ტემპერატურათა სხვაობა ნიადაგის ზედაპირსა და ღრმა ფენებს შორის დასავლეთ საქართველოში, სადაც უფრო ტენიანი ნიადაგებია, მინიმალურია. მაგალითად, ტემპერატურათა სხვაობა ნიადაგის ზედაპირზე და 20სმ სიღრმეში დასავლეთ საქართველოს სუბტროპიკული ზონის ნიადაგებისათვის შეადგენს 1° -ს, მთა-ტყის ზონის ნიადაგებისათვის -3° -ს, ხოლო სამხრეთ საქართველოს მთიანეთისა და აღმოსავლეთ საქართველოს სტეპური ზონის ნიადაგებისათვის -4° -ს. ასეთი კანონზომიერება შენარჩუნებულია უფრო ღრმა ფენებშიც.



ნახ.6.1.4. ნიადაგის ზედა ფენების თერმოზოპლეტები
თბილისში(ა) და ჩაქვში(ბ). °C

ნიადაგის სიღრმეში ტემპერატურის განაწილება სეზონურ ხასიათს ატარებს. ზაფხულში ტემპერატურა სიღრმის მიხედვით კლებულობს, ხოლო ზამთარში-იზრდება. გაზაფხულზე ტემპერატურა თავდაპირველად მცირდება, ხოლო გარკვეული სიღრმიდან დაწყებული იზრდება. შებრუნებული ხასიათი აქვს ტემპერატურის განაწილებას შემოდგომით. სიღრმე საიდანაც იცვლება ტემპერატურის სვლის ხასიათი 1-1,8 მეტრს შეადგენს.

სიღრმის მიხედვით ტემპერატურის წლიური ამპლიტუდა კლებულობს და გარკვეული სიღრმიდან ტემპერატურის წლიური რყევადობა აღარ აღინიშნება. ეს სიღრმე დაახლოვებით 8-10 მეტრია, მის ქვემოდ მდებარეობს მუდმივი წლიური ტემპერატურის სიღრმე, სადაც არ აღინიშნება ტემპერატურის არც წლიური და არც დღე-ღამური რყევადობა.

ტემპერატურის მაქსიმუმის და მინიმუმის დადგომის პერიოდები სიღრმის მიხედვით გვიანდება. მაგალითად, თბილისში ნიადაგის ზედაპირზე ტემპერატურის მინიმუმი მყარდება იანვრის პირველ ნახევარში, 1 მეტრ სიღრმეზე-თებერვლის შუა რიცხვებში, 2 მეტრ სიღრმეზე-მარტის დასაწყისში, 3 მეტრ სიღრმეზე-აპრილში, 6 მეტრ სიღრმეზე-ივლისში. მაქსიმუმი აღინიშნება ნიადაგის ზედაპირზე ივლისში, 1 მეტრ სიღრმეზე-აგვისტოში, 2 მეტრ სიღრმეზე-სექტემბერ-ოქტომბერში, 6 მეტრ სიღრმეზე-დეკემბერში. რაღაც აღინიშნება მშრალი ნიადაგები გაცილებით სწრაფად თბებიან და სწრაფადვე ცივდებიან, ვიდრე ნოტიო ნიადაგები, ტემპერატურის მაქსიმუმის და მინიმუმის დამყარება ნოტიო ნიადაგებში გვიანდება. ტემპერატურის მაქსიმუმის და მინიმუმის დამყარება ყოველ 1 მეტრ სიღრმეზე მშრალ ნიადაგებში(თბილისი) აგვიანებს საშუალოდ 30 დღით, ხოლო ნოტიონ ნიადაგებში(ჩაქვა)-35-40 დღით.

6.2. ნიადაგების დატენიანების რეჟიმი და ტენის რესურსები

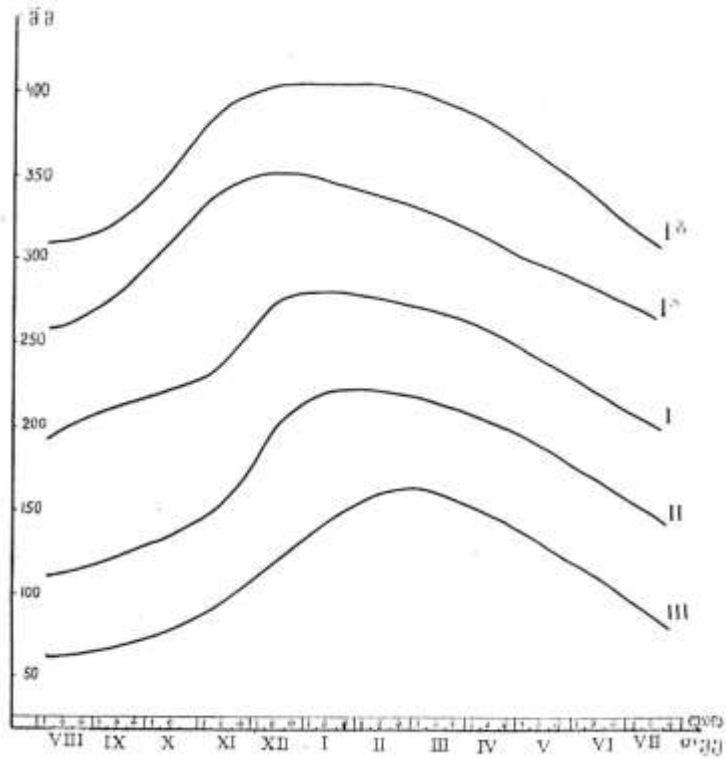
საქართველოს ნიადაგების დატენიანების ხასიათში გამოვლენილია პროდუქტიული ტენის მარაგის დინამიკის 3 ტიპი(ე.ჭლიზბარაშვილი, ზ.ჭავჭავაძე, ნ.სულხანიშვილი, 1992): გაწყლოვანების(Iტიპი), კაპილარული დატენიანების(IIტიპი) და გაზაფხულის სრული დასველების(IIIტიპი).

გაწყლოვანების ტიპი წარმოდგენილია 3 ქვეტიპად: ძლიერი გაწყლოვანების(I_b), ზომიერი გაწყლოვანების(I_a) და სუსტი გაწყლოვანების(I) (ნახ.6.2.1).

ძლიერი გაწყლოვანების ტიპად ჩათვლილია პირობა, როდესაც 1 მეტრი სისქის ნიადაგის ფენაში არსებული პროდუქტიული ტენის მარაგის სიდიდე წლის განმავლობაში 300-400მმ-ს და მეტს შეადგენს. ზომიერი გაწყლოვანების ტიპს მიეკუთვნება ისეთი ნიადაგები, რომელთათვისაც პროდუქტიული ტენის მარაგი წლის განმავლობაში 250-350მმ-ს შეადგენს. სუსტი გაწყლოვანების ნიადაგებისათვის პროდუქტიული ტენის მარაგი წლის განმავლობაში 200-300მმ-ს შეადგენს.

კაპილარული დატენიანების დროს 1 მეტრი სისქის ნიადაგის ფენაში პროდუქტიული ტენის მარაგის სიდიდე წლის განმავლობაში 100-200მმ-ს, ხოლო გაზაფხულის სრული დასველების ტიპის ნიადაგებისათვის-50-150მმ-ს შეადგენს.

გაწყლოვანების აგროპიდროლოგიური რაიონები მოიცავს საქართველოს დასავლეთ ნაწილს (ნახ.6.2.2.). ძლიერი გაწყლოვანების რაიონს უკავია კოლხეთის დაბლობის ტერიტორია, რომელიც უშუალოდ აკრავს შავ ზღვას, და გავრცელებულია უმთავრესად ჭაობის და ალუვიური დაჭაობებული ნიადაგები. კოლხეთის დაბლობის დანარჩენი ტერიტორია უკავა ზომიერი გაწყლოვანების რაიონს, ის მოიცავს წითელ- და ყვითელმიწებს, აგრეთვე ალუვიურ და ნაწილობრივ მთა-ტყის ნიადაგებს. დასავლეთ საქართველოს დანარჩენ მთისწინა და მთიან რაიონებში უმთავრესად გავრცელებულია სუსტი გაწყლოვანების ტიპის



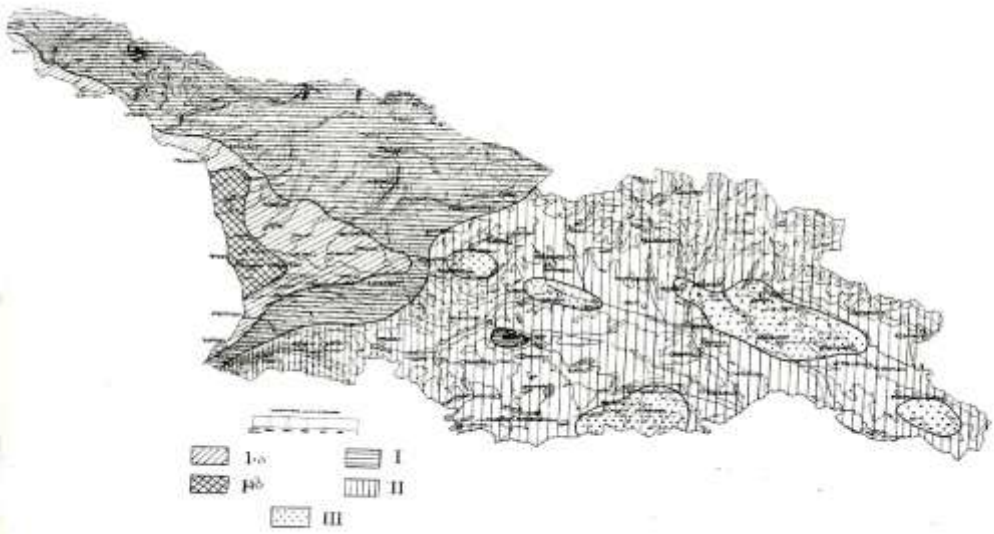
ნახ.6.2.1. ბუნებრივი საფარის ქვეშ 1მ სისქის ნიადაგის ფენაში არსებული პროდუქტიული ტენის მარაგის წლიური სვლის ტიპები: Ia-ძლიერი გაწყლოვანების; Ia-ზომიერი გაწყლოვანების; I-სუსტი გაწყლოვანების; II-კაპილარული დატენიანების; III-გაზაფხულის სრული დსველების (ე-ელიზბარაშვილი, ჩ.ჭავჭანიძე, სულხანიშვილი, 1992)

ნიადაგები, რომელთაც მიეკუთვნება მთა-ტყის და მთა-მდელოს ნიადაგები. აღმოსავლეთ საქართველოს ტერიტორიის დიდი ნაწილი უკავია კაპილარული დატენიანების რაიონს, ხოლო ცალკეულ ადგილებში

ყალიბდება გაზაფხულის სრული დასველების კუნძულოვანი რაიონები.

ზემოდ მსჯელობა ეხებოდა პროდუქტიული ტენის მარაგს ბუნებრივი საფარის ქვეშ, სადაც მელიორაციული სამუშაოები არ ტარდება. ამ კანონზომიერებებში გარკვეული კორექტივები შეაქვს კულტურულ მცენარეულობას. კულტურული მცენარეულობა ითვისებს რა ნიადაგის ტენს, განაპირობებს პროდუქტიული ტენის მარაგის შემცირებას. ათვისებული ტენი ხმარდება კულტურის ზრდა-განვითარებას. დახარჯული ტენი სხვადასხვა კულტურისათვის სხვადასხვა. შემოღომით, ტემპერატურის დაცემისა და ტენის ნაკლები ხარჯვის გამო, ნიადაგში პროდუქტიული ტენის მარაგი რამდენადმე იზრდება.

პროდუქტიული ტენის მარაგის ხარჯვის ხასიათი დამოკიდებულია, როგორც მცენარეულობაზე, ისე თვით ნიადაგის დატენიანების რეჟიმზე. მაგალითად, ბოლნისში, სადაც ნიადაგი ხასიათდება კაპილარული დატენიანების რეჟიმით, ვეგეტაციის პერიოდის დასაწყისისათვის პროდუქტიული ტენის მარაგი, როგორც ბუნებრივი საფარის, ისე ვაზის კულტურის ქვეშ საერთოდ მცირდება, მაგრამ კულტურის ქვეშ ის მაინც მეტია, რაც გამოწვეულია აორთქლების პროცესების შენელებით. ბუნებრივი საფარიდან აორთქლება უფრო ინტენსიურია, ამიტომაც მის ქვეშ ტენის მარაგი სწრაფად ეცემა. შემოღომით, მცენარის მიერ ტენის ათვისების გამო, სხვაობა მცირდება. ანალოგიური სურათი აღინიშნება საგარევოს, გურჯანის, ყვარლის, მუხრანის, და კაპილარული დატენიანების და გაზაფხულის სრული



ნახ.6.2.2. საქართველოს აგროკიდროლოგიური რაიონები: Iბ-ძლიერი გაწყლოვანების; Iა-ზომიერი გაწყლოვანების; I-სუსტი გაწყლოვანების; II-კაპილარული დატენიანების; III-გაზაფხულის სრული დასველების (ე.ელიზბარაშვილი, ზ.ჭავჭანიძე, ნ.სულხანიშვილი, 1992)

დასველების აგროპიდროლოგიურ რაიონებში განლაგებულ სხვა აგრომეტეოროლოგიური სადგურების დაკვირვებათა მოხაცემებში.

ზუგდიდში, ზომიერი გაწყლოვანების პირობებში, ვეგეტაციის პერიოდის დასაწყისში სხვაობა ბუნებრივი საფარის, სიმინდის და ჩაის კულტურის ქვეშ დაგროვილ პროდუქტიულ ტენის მარაგებს შორის მინიმალურია. ზაფხულის განმავლობაში კულტურის მიერ ტენის ათვისების გამო, ტენის მარაგი სიმინდის და ჩაის კულტურის ქვეშ მინიმუმამდე ეცემა, და შეადგენს 130 და 120მმ-ს შესაბამისად, მაშინ როდესაც ბუნებრივი საფარის ქვეშ ტენის მარაგის რაოდენობა 140მმ-ს აღემატება. შემოდგომით ტემპერატურა ეცემა, მცენარის მოთხოვნილებაც ტენის მიმართ კლებულობს და ამიტომ ტენის მარაგი ნიადაგში იზრდება. ზამთრისათვის პროდუქტიული ტენის მარაგი ბუნებრივი საფარის ქვეშ 160მმ-ს, ხოლო სიმინდისა და ჩაის კულტურის ქვეშ-140მმ-ს აღწევს.

ამბოლაურში, სუსტი გაწყლოვანების აგროპიდროლოგიური რაიონში, არსებითი სხვაობა ბუნებრივი საფარის და კულტურული მცენარეულობის ქვეშ დაგროვილ პროდუქტიული ტენის მარაგებს შორის არ აღინიშნება.

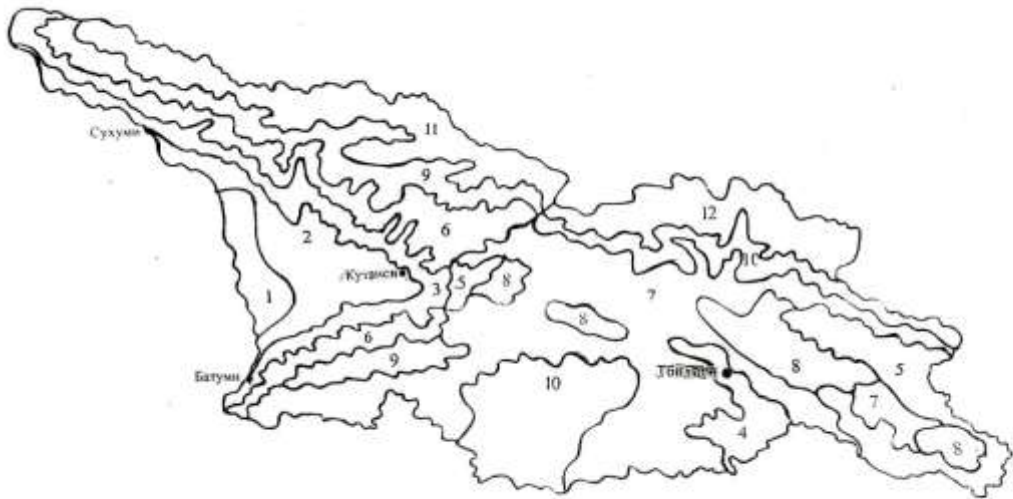
6.3. ნიადაგების კლიმატური დარაიონება

ნიადაგების კლიმატური დარაიონება გულისხმობს ტერიტორიის დაყოფას ნიადაგის ჰავის დამახსიათებელი ელემენტების საფუძველზე ნიადაგ-კლიმატური რესურსების სასოფლო-სამურნეო შეფასებისა და რაციონალური გამოყენების მიზნით. ნიადაგების კლიმატური დარაიონება წარმოადგენს აგროკლიმატური და უფრო ზოგადი კომპლექსური ფიზიკურ-გეოგრაფიული დარაიონების შემაღენელ ნაწილს. ამავე დროს ის არსებითად განსხვავდება აგროკლიმატური დარაიონებისაგან, რადგანაც უკანასკნელი ძირითადად ატმოსფეროს კლიმატურ პირობებს ითვალისწინებს, ხოლო ნიადაგების კლიმატური დარაიონება ემყარება თვით ნიადაგების კლიმატური რესურსების შეფასებას.

დღეისათვის არ არსებობს ნიადაგების კლიმატური დარაიონების რაიმე ჩამოყალიბებული კლასიფიკაცია. შეცნიერთა დიდი ნაწილი ნიადაგის კლიმატური რესურსების შესაფასებლად წამყვან ფაქტორებად ნიადაგის სითბურ თვისებებს, დატენიანების და გაზურ რეჟიმს მიიჩნევს. საქართველოს ნიადაგების კლიმატურ დარაიონებას საფუძვლად დაედო საქართველოს გეოთერმული და აგროპიდროლოგიური რაიონები(ნახ.6.3.1).

საქართველოს ტერიტორიაზე გამოყოფილია 12 ნიადაგ-კლიმატური რაიონი: მეტად თბილი ნიადაგები ძლიერი გაწყლოვანებით(1), მეტად თბილი ნიადაგები ზომიერი გაწყლოვანებით(2), მეტად თბილი ნიადაგები სუსტი გაწყლოვანებით(3), მეტად თბილი ნიადაგები კაპილარული დატენიანებით(4), მეტად თბილი ნიადაგები გაზაფხულის სრული დასველებით(5), თბილი ნიადაგები სუსტი გაწყლოვანებით(6), თბილი ნიადაგები კაპილარული დატენიანებით(7), თბილი ნიადაგები გაზაფხულის სრული დასველებით(8), ზომიერად თბილი ნიადაგები სუსტი გაწყლოვანებით(9), ზომიერად თბილი ნიადაგები კაპილარული დატენიანებით(10), ზომიერი და ცივი ნიადაგები სუსტი გაწყლოვანებით(11), ზომიერი და ცივი ნიადაგები კაპილარული დატენიანებით(12).

თითოეული რაიონის კლიმატური მაჩვენებლები წარმოდგენილია ცხრილში 6.3.1.



ნახ.6.3.1. საქართველოს ნიადაგ-კლიმატური დარაიონება
 (ე.ელიზბარაშვილი, ნ.სულხანიშვილი, 2002; ე.შ.ელიზბარაშვილი, ზ.ბ. ჭავჩანიძე,
 მ.ე.ელიზბარაშვილი დან.) აღნიშვნები იხ. ცხრილი 6.3.1.

ცხრილი 6.3.1. საქართველოს ნიადაგ-კლიმატური რაიონების ძირითადი მახასიათებლები
 (ე.ელიზბარაშვილი, ნ.სულხანიშვილი, 2002; ე.შ.ელიზბარაშვილი, 3.ბ.ჭავჩანიძე,
 მ.ე.ელიზბარაშვილი, რ.ვ.მაგლაკელიძე, ნ.გ.სულხანიშვილი, შ.ე.ელიზბარაშვილი, 2006)

რაიონი №	კლიმატური მახასიათებლები	თნიადაგის ზედაპირის ტემპერატურა თბილი პერიოდისათვის. °C	თნიადაგის ტემპერატურა 20სმ სიღრმეზე, °C	პპროდუქტიული ტენის მარაგი 1მ ნიადაგის ფენაში წლის განმავლობაში, მმ
1	მეტად თბილი ნიადაგები ძლიერი გაწყლოვანებით	22და მეტი	20 და მეტი	300 და მეტი
2	მეტად თბილი ნიადაგები ზომიერი გაწყლოვანებით	"	"	250-350
3	მეტად თბილი ნიადაგები სუსტი გაწყლოვანებით	"	"	200-300
4	მეტად თბილი ნიადაგები კაპილარული დატენიანებით	"	"	100-200
5	მეტად თბილი ნიადაგები გაზაფხულის სრული დასველებით	"	"	50-150
6	თბილი ნიადაგები სუსტი გაწყლოვანებით	15-22	15-20	200-300

7	თბილი ნიადაგები კაპილარული დატენიანებით	"	"	100-200
8	თბილი ნიადაგები გაზაფხულის სრული დასველებით	"	"	50-150
9	ზომიერად-თბილი ნიადაგები სუსტი გაწყლოვანებით	10-15	10-15	200-300
10	ზომიერად-თბილი ნიადაგები კაპილარული დატენიანებით	"	"	100-200
11	ზომიერი და ცივი ნიადაგები სუსტი გაწყლოვანებით	10 და ნაკლები	0-10	200-300
12	ზომიერი და ცივი ნიადაგები კაპილარული დატენიანებით	"	"	100-200

თავი 7. კლიმატური მახასიათებლების სტატისტიკური სტრუქტურა

7.1. კლიმატური რიგების განაწილებათა სტატისტიკური მომენტები

ატმოსფერო წარმოადგენს ტურბულენტურ გარემოს და მეტეოროლოგიური რიგები და ველები მეტად ცვალებადნი არიან სივრცესა და დროში. ამიტომ მათი სრულფასოვანი აღწერისათვის მიზანშეწონილია სტატისტიკური მიღომა, სადაც რიგები და ველები განიხილებან როგორც შემთხვევითი პროცესები. აქედან გამომდინარე საშუალება იქმნება დაგახსასათოთ ისანი არა მხოლოდ საშუალო მნიშვნელობით, არამედ ცვალებადობით, სიზუსტით, განაწილების ფუნქციით, დროითი და სივრცითი კორელაციის ფუნქციებით და სხვ. სწორედ ამ პარამეტრების ერთობლიობა განსაზღვრავს ამა თუ იმ ელემენტების რიგის ან ველის სტატისტიკური სტრუქტურის ბუნებას.

კლიმატოლოგიაში დაკვირვებათა რიგების დროით სტრუქტურას ახასიათებენ საწყისი მომენტით, ანუ საშუალო სიდიდით, მეორე რიგის ცენტრალური მომენტით, ანუ დისპერსიით, მესამე რიგის ძირითადი მომენტით, ანუ ექსცესით და ვარიაციის კოუფიციენტით. განვიხილოთ ზოგიერთი მათგანის ძირითადი თავისებურებანი.

პარამეტრების ტემპერატურა. საშუალო დღე-დამური ტემპერატურის საშუალო კვადრატული გადახრის ტერიტორიული განაწილების ძირითადი თვესება სტაბილურობა(Л.Ф.Корошинадзе, Э.Ш.Элизбарашвили, 1976).

ინვარში ტემპერატურის საშუალო კვადრატული გადახრის მინიმალური მნიშვნელობები კოლხეთის ზღვისპირა ზოლში აღინიშნება(4° -ზე ნაკლები). კოლხეთის ბარის შიდა რაიონებში, იმერეთის მაღლობზე და დასავლეთ კავკასიონზე რამდენადმე იზრდება($4,2$ - $4,4^{\circ}$), ხოლო აღმოსავლეთ საქართველიში მაქსიმუმს აღწევს($4,7$ - $5,0^{\circ}$). აპრილში ტემპერატურის საშუალო კვადრატული გადახრის დიაპაზონი რამდენადმე იზრდება($3,7$ - $5,5^{\circ}$), თუმცა მისი ტერიტორიული განაწილების ძირითადი კანონზომიერება-მინიმუმი შავი ზღვის სანაპიროზე და მაქსიმუმი აღმოსავლეთ საქართველიში, შენარჩუნებულია. გადახრის სიდიდის გაზრდა

შეიძლება აიხსნას ადგილობრივი ცირკულაციის გააქტიურებით. ივლისში საშუალო კვადრატული გადახრის სიდიდე მინიმალურია($1,9-3,6^{\circ}$). მის ტერიტორიულ განაწილებაში კონტრასტი აღარ იგრძნობა, მაგრამ ზღვის მასტაბილიზებელი გავლენა მაინც შეიმჩნევა. ოქტომბერში ტემპერატურის საშუალო კვადრატული გადახრა მინიმალურია შავი ზღვის სანაპიროზე და აღმოსავლეთ საქართველოს ბარში($3,6-3,8^{\circ}$). კოლხეთის ბარის შიდა რაიონებში და მთებში იზრდება $4,0-4,2^{\circ}$ -მდე.

დღე-ღამურ ტემპერატურას იანვარში ახასიათებს უმთავრესად მნიშვნელოვანი უარყოფითი ასიმეტრია. ტერიტორიის დიდ ნაწილზე ასიმეტრია $0-0,25$ -ის ფარგლებშია. დასავლეთ საქართველოს საშუალო- და მაღალმთიანეთში ასიმეტრია ძლიერია(აღმატება $0,5$ -ს), რაც განპირობებულია ამ დროს მდგრადი თოვლის საფარის არსებობით. დადგებითი ტემპერატურების დროს თოვლის საფარი დწება, რაც იწვევს ტემპერატურის დაცემას. ამიტომაც ტემპერატურის რამდენადმე გაზრდა სითბოს ადვექციის გამო გამორიცხულია. ასიმეტრია ძლიერია აგრეთვე აღმოსავლეთ საქართველოში-ივრის ზეაზზე. შირაქში კი ასიმეტრია მაქსიმუმს აღწევს($1-2$). ამ შემთხვევაში ძლიერი ასიმეტრიულობა აიხსნება ვპავის კონტინენტურობით-ლამთ ტემპერატურა ძლიერ ეცემა, რაც განაპირობებს ნორმიდან უარყოფითი გადახრების სიხშირის გაზრდას.

გაზაფხულზე აქტიურდება ადვექციური პროცესები. თბილი ჰაერის მასების ხშირი ადვექცია შავი ზღვის მხრიდან იწვევს ტემპერატურის დადგებითი ნაზრდის მატებას. ამიტომაც დასავლეთ საქართველოს ტერიტორიის უმეტეს ნაწილზე ასიმეტრია დადგებითია. აღმოსავლეთ საქართველოში შენარჩუნებულია ასიმეტრიის უარყოფითი მნიშვნელობები. ასიმეტრიის კოეფიციენტის აბსოლუტური სიდიდე ძირითადად მოქცეულია $0-0,25$ -ის ფარგლებში, გამონაკლისია შავი ზღვის სანაპირო, სადაც მუსონური ცირკულაციის გააქტიურების შედეგად ის რამდენადმე იზრდება.

ზაფხულში, ტემპერატურის დისპერსიის შემცირებასთან დაკავშირებით, მცირდება ასიმეტრიაც.

მთლიანად საქართველოს ტერიტორიაზე ასიმეტრია სუსტია, ამავე დროს შავიზღვისპირეთსა და კოლხეთის ბარში შეხარჩუნებულია დადგებითი მნიშვნელობები.

ოქტომბერში ტემპერატურის ასიმეტრია მთელ ტერიტორიაზე უარყოფითია, რაც განპირობებულია ამ დროისათვის დამახასიათებელი ატმოსფეროს ცირკულაციური პროცესებით. ტერიტორიის მნიშვნელოვან ნაწილზე ასიმეტრია სუსტია(აფხაზეთი, იმერეთის მაღლობი, შიდა ქართლის ვაკე, ქვემო ქართლის ვაკე, ალაზნის ვაკე, ივრის ზეგანი). ასიმეტრია ზომიერია აჭარაში, კავკასიონზე, ჯავახეთის პლატოზე, ხოლო ძლიერია მთიულეთის ქედის ჩრდილოეთით.

შეფარდებითი სინოტივე. შეფარდებითი სინოტივის საშუალო კვადრატული გადახრა 13 საათისათვის ხასიათდება მკვეთრად გამოხატული მნინიშვით ზაფხულში(8-21%), ხოლო მაქსიმუმით ზამთარში და გარდამავალ სეზონებში(24%). საშუალო კვადრატული გადახრას ტერიტორიული განაწილება დასავლეთ და აღმოსავლეთ საქართველოში თავისი განსაკუთრებულობით ხასიათდება. დასავლეთ საქართველოში შეფარდებითი სინოტივის საშუალო კვადრატული გადახრა იზრდება სამხრეთიდან ჩრდილოეთის და აღმოსავლეთის მიმართულებით, ისე რომ მისი მნინიშვი მთელი წლის განმავლობაში აჭარის სანაპიროზე, ხოლო მაქსიმუმი-კოლხეთის ბარის ცენტრალურ ნაწილში აღინიშნება. აღმოსავლეთ საქართველოში შეფარდებითი სინოტივის საშუალო კვადრატული გადახრა კანონზომიერად იზრდება სამხრეთიდან ჩრდილოეთის მიმართულებით და მაქსიმუმს მაღალმთიან ზონაში აღწევს.

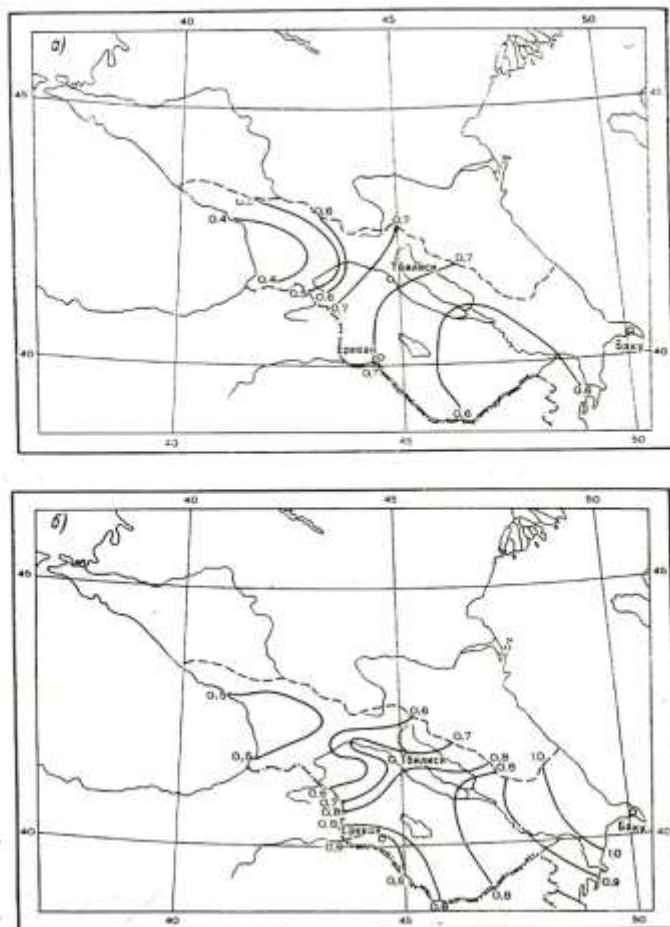
განაწილების ასიმეტრია მთელი წლის განმავლობაში ინარჩუნებს მაღალ მნიშვნელობებს, თუმცა ცალკეულ რაიონებში არ აღემატება 0,25-ს.

ღრუბლიანობა. ღრუბლიანობის საშუალო კვადრატული გადახრის სიღრიე ტერიტორიაზე საკმაოდ სტაბილურია და 3-4 ბალისფარგლებში იცვლება. ქვედა იარუსის ღრუბელთა საშუალო კვადრატული გადახრა რამდენადმე აღემატება მის შესაბამის მნიშვნელობას საერთო ღრუბლიანობისათვის. ღრუბლიანობის საშუალო კვადრატული გადახრის მდგრადობა სიკრცეში

განპირობებულია მისი განაწილების U-ს –მაგვარი ფორმით. განაწილების ასეთი ფორმა კი იმისი შედეგია, რომ ღრუბლიანობა შემოსაზღვრულია ზედა და ქვედა მხრიდან(Ж.Д.Алибегова, Э.Ш.Элизбарашвили, 1977).

საერთო ღრუბლიანობის ასიმეტრია უმთავრესად უარყოფითია, ხოლო ქვედა იარუსის ღრუბლიანობის ასიმეტრია დადებითი და აბსოლუტური მნიშვნელობით არ აღემატება 1-ს.

ატმოსფერული ნალექები. ატმოსფერული ნალექების სივრცეში ძღვრადობის დახასიათება მიზანშეწონილია ვარიაციის კოეფიციენტის საშუალებით. ვარიაციის კოეფიციენტი მჭიდრო კავშირშია ჰავის არიდულობასთან-მისი უდიდესი მნიშვნელობები მშრალ, ხოლო უმცირესი-



ნახ.7.1.1. ატმოსფერული ნალექების ვარიაციის
კოეფიციენტი: а)-იანვარი; б)-ივლისი
(Ж.Д.Алибекова, Э.Ш.Элизбарашвили, 1980)

დასავლეთის ტენიან რაიონებში აღინიშნება(ნახ.7.1.1.).
განაწილების ასიმეტრია განსაკუთრებით გამოხატულია
აღმოსავლეთ საქართველოს მშრალ რაიონებში
(Ж.Д.Алибекова, Э.Ш.Элизбарашвили, 1980).

ქარის სიჩქარე. ქარის სიჩქარის საშუალო კვადრატული გადახრა ტერიტორიაზე იცვლება 1-70/წმ ფარგლებში და პირდაპირ პროპორციულია ქარის საშუალო სიჩქარისა-უდიდესი მნიშვნელობები აღინიშნება შავი ზღვის სანაპიროზე, კოლხეთის ბარში, ლიხის ქედზე, კავკასიონის თხემის ზოლში. საშუალო კვადრატული გადახრა მინიმალურია ზაფხულში. მისი უმცირესი მნიშვნელობის სამი ზონა გამოიკვეთება-აფხაზეთი, აჭარა და სამხრეთ-საქართველის მთიანეთი, და ალაზნის ველი და ორის ზეგანი. ამ დროს გადახრა უდიდესია ყაზბეგში, მთა-საბუეთში და თბილისის აეროპორტში. ქარის სიჩქარის ასიმეტრია უმეტეს შემთხვევაში აღემატება 1-ს.

7.2. კლიმატური რიგების ემპირიულ განაწილებათა თეორიული ფუნქციები

კლიმატური რიგების განაწილებათა ფუნქციების აღწერისათვის გამოიყენება თეორიული ფუნქციები-ბინომიალური, პუასონის, ნორმალური, პირსონის, გამა, შარლეს, გუმბელის და სხვა განაწილებები.

ბინომიალური განაწილების ალბათობა
გამოიანგარიშება ფორმულით:

$$P(x) = \frac{n!}{x!(n-x)!} k^x (1-k)^{n-x}, \quad (7.2.1)$$

სადაც n და k - ბინომიალური განაწილების პარამეტრებია.
ბინომიალური განაწილების თვისებაა $\sigma^2 \bar{x}$ ის, რომ
დისპერსია ნაკლებია საშუალო სიდიდეზე.

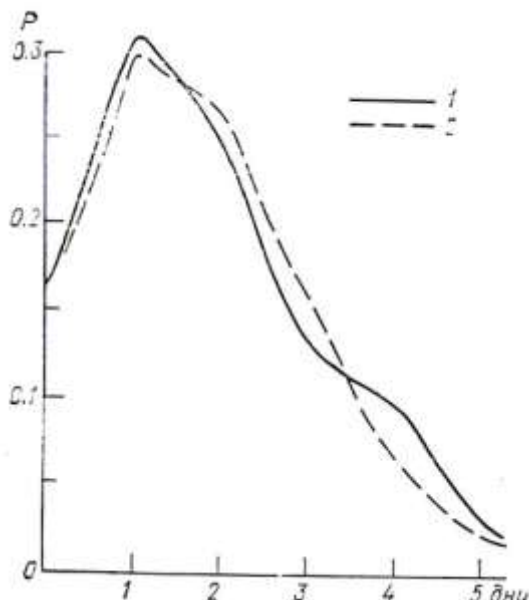
ბინომიალური განაწილება ზღვარში, როდესაც $k \rightarrow 0$,
ან $n \rightarrow \infty$, პუასონის განაწილებას წარმოადგენს:

$$P(x) = \frac{e^{-a} a^x}{x!}, \quad (7.2.2)$$

აქ a - პუასონის პარამეტრია. პუასონის განაწილების
მთავარი თვისებაა ის, რომ პუასონის პარამეტრი

ერთდღოულად საშუალო სიდიდეცაა, დისპერსიაც და ასიმეტრიაც.

საქართველოს პირობებში პუასონის განაწილება კარგად აღწერს უხვ და ინტენსიურ ნალექებიან დღეთა რიცხვისგანაწილებას (К.А.Сапицкий, Э.Ш.Элизбарашили, 1972, 1973; Ж.Д.Алибекова, Э.Ш.Элизбарашили, 1980), რისი ერთ-ერთი მაგალითიც ნახ. 7.2.1-ზეა წარმოდგენილი.



ნახ. 7.2.1 უხვი ნალექების დღეთა რიცხვის დიფერენციალური განაწილება თბილისში: 1-ებჯირიული; 2-თეორიული პუასონის მიხედვით (Ж.Д.Алибекова, Э.Ш.Элизбарашили, 1980)

დიდი თეორიული მნიშვნელობა და პრაქტიკული გამოყენება აქვს ალბათობის გაანგარიშებას ნორმალური განაწილების ქანონის მიხედვით:

$$P(x) = \Phi(t_2) - \Phi(t_1), \quad (7.2.3)$$

$$\text{სადაც} \quad (t) = \frac{1}{\sqrt{2\pi}} \int_0^t e^{-t^2/2} dt \quad - \text{ნორმალური}$$

$$\text{განაწილების} \quad \text{ფუნქციაა,} \quad \text{ხოლო} \quad t = \frac{x - \bar{x}}{\sigma}.$$

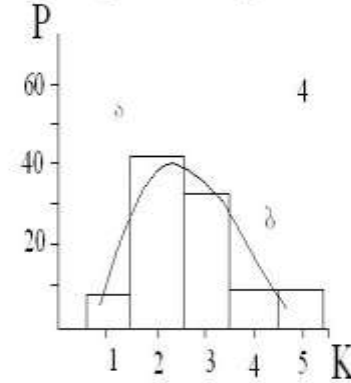
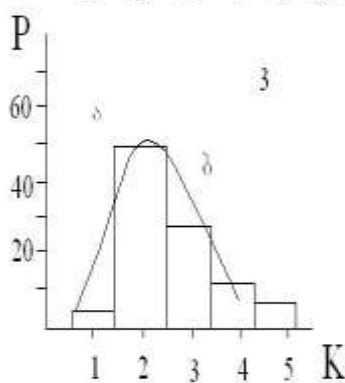
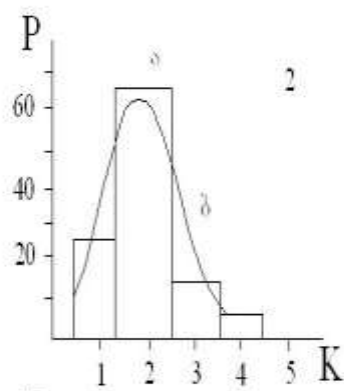
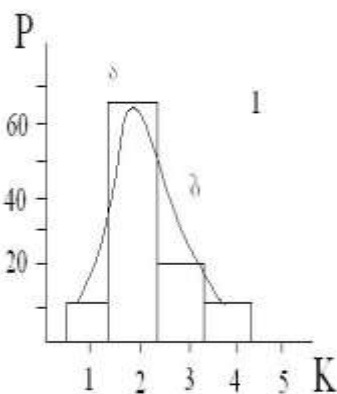
ნორმალური განაწილების კანონი საქართველოს პირობებში წარმატებით იყოვნებული პარის საშუალო თვიური ტემპრატურების, სიმშრალის რადიაციული ინდექსის და სხვა კლიმატური პარამეტრების მიმართ (ლ. ფ. კოროშინაძე, ე. შ. ელიზბარაშვილი, 1976; ე. შ. ელიზბარაშვილი, მ. ე. ელიზბარაშვილი, 2002). ქვემოდ ნაჩვენებია ნორმალური განაწილების ფუნქციის გამოყენების ერთი მაგალითი (ნახ. 7.2.2).

ნახ. 7.2.2 -დან ჩანს, რომ შესაბამისობა ემპირიულ მონაცემებსა და თეორიულ მრუდს შორის კარგია, რასაც ადასტურებს აგრეთვე თანხმობის კრიტერიუმები. ეს გვაძლევს საფუძველს ნორმალური განაწილების ფუნქცია წარმატებით გამოვიყენოთ გაუდაბნების ალბათობის გამოსაანგარიშებლად (იხ. თავი 12).

ბუნებაში არსებულ განაწილებათა მრუდების მთელი მრავალფეროვნება დამაკმაყოფილებლად აღიწერება პირსონის სისტემით, რომელიც 13 ტიპისაგან შედგება და ყველა ტიპის სიმკვრივე ჩაიწერება შემდეგი სახით:

$$\frac{d(\lg y)}{dx} = \frac{x - a}{B_O + B_1(x - a) + B_2(x - a)^2}, \quad (7.2.4)$$

სადაც a -განაწილების მოდაა, x -პარამეტრია, y -სიმკვრივის მრუდის ორდინატაა.



0

ნახ.7.2.2.. სიმშრალის რადიაციული ინდექსის ალბათობის განაწილება

α – გმპირიული; δ – თეორიული, ნორმალური განაწილებით.
1 – ბოლნისი, 2 – თბილისი, 3 – გარდაბანი, 4 – უდაბნო
(Э.Ш.Элизбарашвили, М.Э.Элизбарашвили, 2002)

პირსონის ფუნქციის ტიპი განისაზღვრება კრიტერიუმით:

$$K = -\frac{r_3^2(S+2)^2}{16(S+1)} , \quad (7.2.5)$$

$$\text{სადაც} \quad K = \frac{\sigma(r_4 - r_3^2 - 1)}{3r_3^2 - 2r_4 + 6}, \quad r_3 \text{ და } r_4 \text{ შესაბამისად მესამე}$$

და მეოთხე რიგის ძირითადი მომენტებია. კრიტერიუმის მნიშვნელობის შესაბამისად ხდება მრუდის ტიპის შერჩევა.

საქართველოს პირობებში პირსონის განაწილებები გამოყენებული იყო ნალექების წლიური ჯამების მიმართ, თუმცა დამაკმაყოფილებელი შედეგი არ მოჰყვა (ცხრილი 7.2.1).

შარლემ შემოიტანა A და B ფუნქციები, რომლებიც ემყარებიან სიმკვრივის გაშლას მწკრივად. A-ტიპის განაწილებაში გამოყენება ნორმალური განაწილების სიმკვრივის, ხოლო B - ტიპის განაწილებაში-პუასონის განაწილების სიმკვრივის გაშლა მწკრივად.

შარლეს A -ტიპის განაწილებისათვის შემთხვევითი სიდიდის $t_{i-1}-t_i$ ინტერვალში მოხვედრის ალბათობა განისაზღვრება ფორმულით:

$$F(t_i) - F(t_{i-1}) = [\Phi(t_i) + AB_i + KC_i] - [\Phi(t_{i-1}) + AB_{i-1} + KC_{i-1}], \quad (7.2.6)$$

სადაც A და k -შესაბამისად ასიმეტრიის და ექსცესის კოეფიციენტებია, $\Phi(t_1)$ -ნორმალური განაწილების ინტეგრალური ფუნქციაა, B და C -შესწორებებია, შესაბამისად ასიმეტრიის და ექსცესის.

საქართველოს პირობებში შარლეს კანონი, სხვა თეორიულ განაწილებებთან ერთად, გამოყენებული იყო ნალექების წლიური ჯამების ემპირიული განაწილების აღსაწერად (ცხრილი 7.2.1.).

ცხრილი 7.2.1. ნალექების წლიური ჯამების აბსოლუტური
სიხშირე. თბილისი.

(К.А.Сапицкий, Э.Ш.Элизбарашвили, 1975)

განაწილების ფუნქცია	თნალექების გრადაცია, მმ							
	კ360	361- 400	401- 440	441- 480	481- 520	521- 560	561- 600	კ601
ემპირიული	6	6	9	10	8	10	7	9
ნორმალური	5	6	8	11	12	10	7	6
შარლეს A ტიპი	6	8	9	8	8	7	8	9
პირსონის III ტიპი	4	7	8	15	5	13	6	7

კოლმოგოროვის თანხმობის კრიტერიუმის შეფასების საფუძველზე ნალექების წლიური ჯამების ემპირიული განაწილება შეესაბამება პირსონის III-ტიპის განაწილებას - 30%, ნორმალურ განაწილებას 60%, ხოლო შარლეს A ტიპის განაწილებას - 9.5% დონეზე (К.А.Сапицкий, Э.Ш.Элизбарашвили, 1975).

შარლეს სისტემას მიეკუთვნება U-ს მაგვარი განაწილება, რაც კარგად აღწერს ღრუბლიანობის რაოდენობის და განმეორადობის ემპირიულ ფუნქციას.

მრავალმხრივი პრაქტიკული გამოყენება აქვს გუმბელის კანონს:

$$p(x) = e^{-e^{-y}}, \quad (7.2.7)$$

სადაც $y = \alpha(x-q) - + \text{ნორმირებული}$ გადახრაა მოდისაგან, $\alpha > 0$, $q < 0$ დამივაა.

გუმბელის კანონი გამოიყენება კლიმატური ელემენტების ექსტრემუმების მიმართ. საქართველოსათვის ეს ნაჩვენები იყო ჰაერის ტემპერატურის და ნალექების დღე-დღამური მაქსიმუმების მაგალითზე (Э.Ш.Элизбарашвили, 1974).

კლიმატური მახასიათებლების ემპირიულ განაწილებათა აპროკსიმაციისათვის შედარებით იშვიათად გამოიყენება რელეის განაწილება, ჯონსის განაწილებათა სისტემა და სხვა თეორიული ფუნქციები.

7.3. კლიმატური ელემენტების ორგანზომილებიანი განაწილება

ორ- და სამგანზომილებიან კლიმატურ კომპლექსებს დიდი პრაქტიკული გამოყენება აქვს. განსაკუთრებით მნიშვნელოვანია ისეთი კომპლექსები როგორებიცაა ტემპერატურა-ტყლის ორთქლის პარციალური წნევა, ტემპერატურა-შეფარდებითი სინოტივე, ტემპერატურა-ღრუბლიანობა, ტემპერატურა-ქარი.

ცხრილში 7.3.1. წარმოდგენილია ბათუმისათვის ყველაზე მნიშვნელოვანი ორგანზომილებიანი კომპლექსის ტემპერატურა-შეფარდებითი სინოტივეს განმეორადობები.

ყველაზე მაღალი განმეორადობა აღინიშნება $15-20^0$ ტემპერატურისა და $85-90\%$ ჰაერის შეფარდებითი სინოტივის დროს. უარყოფითი ტემპერატურების დროს ბათუმში სინოტივის დაბალი მნიშვნელობა საერთოდ არ გვხვდება, ხოლო 40% და მეტი სინოტივე გვხვდება ერთეულოვან შემთხვევაში.

ცხელი დღეებისათვის, როდესაც ტემპერატურა 25^0 და მეტია (ასეთი დღეების განმეორადობა $8\%-ია$) სინოტივის ყველაზე აღბათური მნიშვნელობაა $66-80\%$, რაც არსებულ შემთხვევათა $5\%-ს$ შეადგენს.

ეს კომპლექსი საშუალებას გვაძლევს დავადგინოთ, რომ შედარებით დაბალი ტემპერატურების დროს სინოტივის მინიმალური სიდიდეები იშვიათად ეცემა $50\%-ზე$ დაბლა, ხოლო მცირე სინოტივისა და ტემპერატურის მაღალი მნიშვნელობის კომპლექსისათვის ერთეულოვანი შემთხვევებია აღრიცხული.

ცხრილი 7.3.1.ტემპერატურის და შეფარდებითი სინოტივის კომპლექსის განმეორადობა. (%).
ბათუმი (რ.კორძახია, 2002) (0.1%-ზე ნაკლები განმეორადობა აღნიშნულია წერტილით)

სინოტივე %	ტემპერატურა $^{\circ}\text{C}$										Σ
	-5.0	0.0	5.0	10.0	15.0	20.0	15.0	30.0	35.0	39.9	
	-1.0	4.9	9.9	14.9	19.9	24.9	29.9	34.9	39.9	39.9	
11-15					0.1						0.1
16-20					0.1	0.1					0.2
21-25		0.1	0.2	0.5	0.3	0.1					1.2
26-30		0.1	0.5	0.8	0.3	0.2					1.9
31-35		0.2	0.7	0.6	0.4	0.2					2.1
36-40		0.3	0.9	0.7	0.4	0.2					2.5
41-45	0.1	0.5	0.9	0.8	0.4	0.2					2.9
46-50	0.2	0.6	0.9	0.7	0.5	0.1					3.0
51-55	0.2	0.8	0.9	1.0	0.6	0.3					3.8
56-60	0.2	0.8	0.9	1.0	1.1	0.3					4.3
61-65	0.1	0.4	0.7	1.1	1.1	1.9	0.5				5.8
66-70	0.0	0.3	1.0	1.3	1.5	2.0	1.4				7.5
71-75	0.0	0.4	1.3	1.6	1.7	2.6	2.5				10.1
76-80	0.1	0.7	1.5	1.7	2.1	2.5	1.2				9.8
81-85	0.1	0.8	1.9	2.4	2.9	2.9	0.4				11.4
86-90	0.0	1.5	2.9	2.5	3.9	3.0					13.8
91-95	0.1	2.5	2.9	3.3	3.0	1.9					13.7
96-100	0.1	1.1	1.6	1.4	1.1	0.3					5.6
განმეორადობა	0.5	8.4	17.2	21.2	23.6	21.2	7.6	0.2	0.1	100%	

უზრუნველყოფა	100	99.5	91.1	73.9	52.7	29.1	7.9	0.3	0.1	
--------------	-----	------	------	------	------	------	-----	-----	-----	--

ცხრილი 7.3.2. კორელაციის კოეფიციენტები კომპლექსის მდგენელებს შორის
(ე.ვ. სუხიშვილი, ე.შ. ელიზბარაშვილი და სხვ., 1988)

კომპლექსი	თბილისი		შოვი	
	იანვარი	ივლისი	იანვარი	ივლისი
ტემპერატურა-წყლის ორთქლის პარციალური წნევა	0,75	0,13	0,56	0,13
ტემპერატურა-შეფარდებითი სინოტივე	-0,45	-0,69	-0,25	-0,82
ტემპერატურა-ღრუბლიანობა	0,24	-0,31	0,20	-0,25
ტემპერატურა-ქარის სიჩქარე	-0,02	0,05	0,04	0,10

ურთიერთკავშირი კომპლექსის ელემენტებს შორის უპირველეს ყოვლისა დამოკიდებულია თვით ელემენტების ბუნებაზე. მიუხედავად გეოგრაფიული მდებარეობისა კორელაცია ტემპერატურასა და წყლის ორთქლის პარციალურ წნევას შორის ყველგან დადგებითია, კორელაცია ტემპერატურასა და შეფარდებით სინოტივეს შორის-უარყოფითია, კორელაცია ტემპერატურასა და ღრუბლიანობას შორის-ზამთარში დადგებითია, ხოლო ზაფხულში უარყოფითია, კორელაცია ტემპერატურასა და ქარის სიჩქარეს შორის უმნიშვნელოა (ცხრილი 7.3.2).

კლიმატოლოგიაში მიღებულია, რომ როდესაც კორელაციის კოეფიციენტის მნიშვნელობა აღემატება 0,70-ს, კავშირი კომპლექსის მდგრენელებს შორის შეიძლება გამოისახოს წრფივი რეგრესიის განტოლებით. ჩვენ შემთხვევაში ეს ხეხბა კომპლექსებს ტემპერატურა-წყლის ორთქლის პარციალური წნევა(ზამთარი) და ტემპერატურა-შეფარდებითი სინოტივე(ზაფხული). თუ კორელაციის კოეფიციენტი არ აღემატება 0,30-ს, კავშირი ძლიერ სუსტია. ასეთ პირობებში ყალიბდება კომპლექსები ტემპერატურა-ღრუბლიანობა, ტემპერატურა-წყლის ორთქლის პარციალური წნევა(ზაფხული) და ტემპერატურა-ქარის სიჩქარე. ამ შემთხვევაში ორგანზომილებიანი კომპლექსის განმეორადობის გამოსაანგარიშებლად გამოიყენება ალბათობათა გამრავლების წესი:

$$P(x,y)=P(x)P(y) \quad (7.3.1)$$

სადაც $P(x,y)$ -არის x და y -ელემენტების კომპლექსის განმეორადობა, $P(x)$ არის x - ელემენტის განმეორადობა, ხოლო $P(y)$ არის y - ელემენტის განმეორადობა.

იმ შემთხვევაში, როდესაც კორელაციის კოეფიციენტი მოთავსებულია 0,3-0,7 შორის გამრავლების წესის გამოყენება არ იძლევა კარგ შედეგს, ამიტომ მიზანშეწონილია კომპლექსის განაწილების თეორიული ფუნქციით აპროკსიმაცია(ცხრილი 7.3.3).

ცხრილი 7.3.3. ტემპერატურა-შეფარდებითი სინოტივის კომპლექსის ორგანზომილებიანი განაწილება ფაქტიური მონაცემებით(ა) და მორგეშტერნ-გუმბელის განაწილებით(ბ).%. თბილისი, იანვარი

(Э.В.Сухишвили, Э.Ш.Элизбарашвили и др, 1988)

შეფარდებითი სინოტივე %	ცჰაერის ტემპერატურა, °C					
	-15- -10	-1- -5	-5-0	0-5	5-10	10-15
26-30					0,2	0,3
	δ				0,1	0,7
31-35	δ		0,2	0,1	0,2	0,8
	δ		0,8	0,5	0,8	0,9
36-40	δ			0,3	1,0	0,6
	δ			0,5	1,2	1,0
41-45	δ		0,2	0,2	2,1	0,7
	δ		0,1	0,1	1,9	0,9
46-50	δ	0,2	0,2	0,7	1,8	1,0
	δ	0,1	0,5	1,5	2,5	2,8
51-55	δ	0,2	0,6	1,1	2,9	1,0
	δ	0,1	0,1	1,5	3,2	1,2
56-60	δ	0,2	1,0	2,4	3,3	1,1
	δ	0,5	1,5	3,2	2,8	1,5
61-65	δ	0,2	0,6	3,4	3,8	0,2
	δ	0,3	1,0	3,0	4,5	0,5
66-70	δ	0,2	0,8	4,4	3,9	0,2
	δ	0,1	0,3	3,9	4,5	0,5
71-75	δ	0,1	1,0	3,2	3,7	0,2
	δ	0,5	0,7	4,5	4,0	0,1
76-80	δ	0,2	0,2	2,5	4,6	3,3
	δ	0,5	0,5	1,9	5,5	5,2
81-86	δ	0,3	0,2	3,7	5,0	1,3
	δ	0,1	0,5	4,0	6,5	3,2
87-90	δ	0,2	4,4	5,5	1,8	
	δ	0,5	3,9	6,2	3,2	
91-96	δ	0,4	3,5	6,0	1,8	
	δ	0,1	4,5	8,5	2,0	
97-100	δ	0,2	2,4	1,4	0,6	
	δ	0,1	1,8	2,5	0,1	

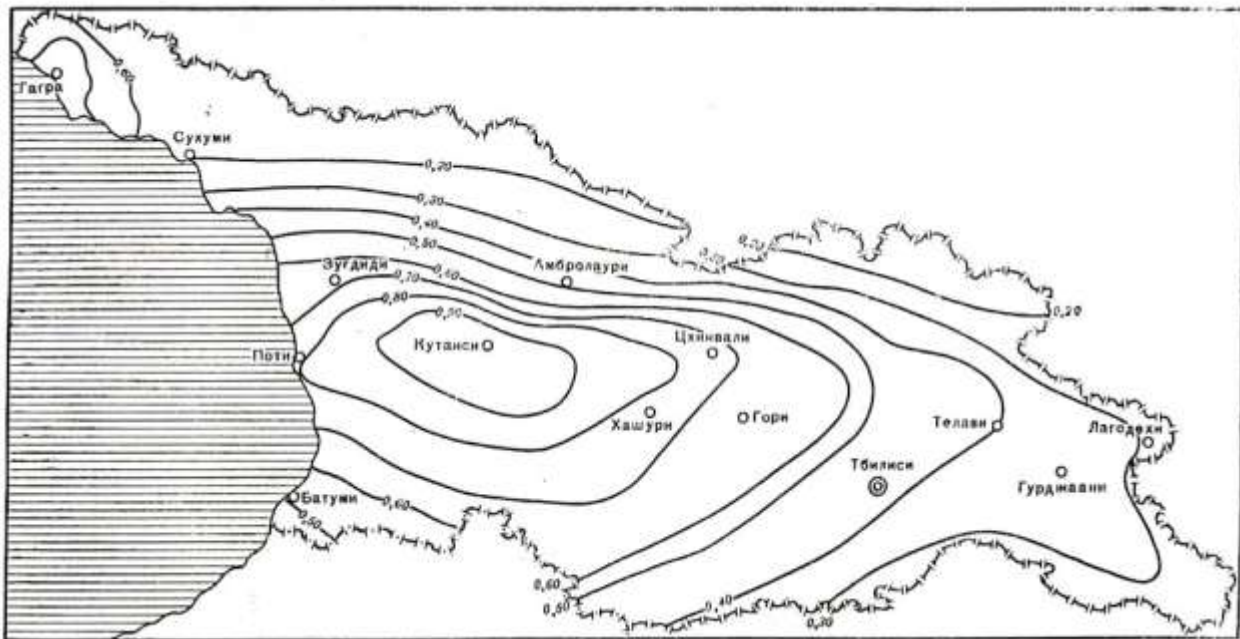
7.4. კლიმატური ველების სივრცითი სტრუქტურა

კლიმატური ველების სივრცითი სტრუქტურის ძირითად თავისებურებებს კარგად გამოხატავს სივრცითი კორელაციური ფუნქცია. კორელაციური მომენტები სადგურთა წყვილებს შორის ცალსახად არ არიან დამოკიდებული მანძილზე. იზოკორელატები წაგრძელებულია ჩრდილო-დასავლეთიდან სამხრეთ-აღმოსავლეთის მიმართულებით, რაც ჰაერის მასების გადაადგილების გაბატონებული მიმართულებით და რელიეფის გავლენით აიხსნება (მაგ.ნახ.7.4.1).

ველის იზოტროპულობისა და ერთგვაროვნების დაშვებით კორელაციური ფუნქციები დამაკმაყოფილებლად აღიწერება გამოსახულებით (Ж.Д.Алибекова, ე.შ.Элизбарашили, 1977, 1980; Л.Ф.Корошинадзе, ე.შ.Элизбарашили, 1976):

$$\mu(r) = \mu(0) \exp\{(-r/r_0)^\alpha\}, \quad (7.4.1)$$

სადაც $\mu(0)$ -კორელაციის კოეფიციენტია ნულოვან მანძილზე, $r(0)$ -სივრცითი კორელაციის რადიუსია, რა



ნახ.7.4.1. საერთო ღრუბლიანობის იზოკონტერატების ველი 1-ეთაისის მიმართ. ივნისი.
(Э.Ш.Элизбарашвили, Н.Ш.Гонгладзе и др.,1983)

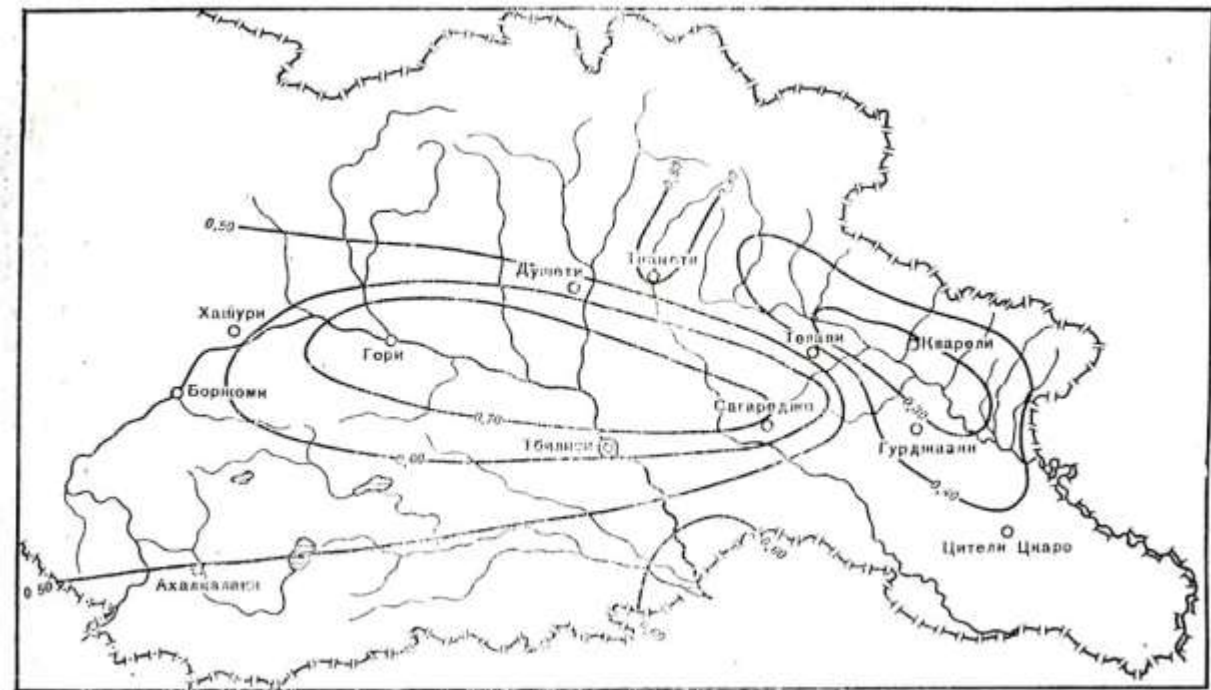
მანძილზედაც კორელაციური ფუნქცია მცირდება $e^{-\lambda r}$, ასტრუქტურული პარამეტრია (ცხრილი 7.4.1).

ცხრილი 7.4.1. კორელაციური ფუნქციის
პარამეტრები (Ж.Д.Алибегова, Э.Ш.Элизбарашвили,
1977, 1980; Л.Ф.Корошинадзе, Э.Ш.Элизбарашвили, 1976)

ელემენტი	თვე	$\mu(0)$	$r(0)$	α	η^2
ტემპერატურა	იანვარი	0,94	360	2,38	0,06
	აპრილი	0,98	260	2,39	0,07
	ივლისი	0,88	250	1,82	0,16
	ოქტომბერი	0,98	300	3,50	0,02
	წელი	0,99	290	2,24	0,01
ღრუბლიანობა (საერთო)	იანვარი	0,98	1250	1	0,02
	ივლისი	0,96	1250	1	0,04
ღრუბლიანობა (ქვედა)	იანვარი	0,97	850	1	0,03
	ივლისი	0,90	850	1	0,11
ნალექები	იანვარი	0,96	380	1	0,04
	ივლისი	0,83	380	1	0,20

$$\text{აქ } \eta^2 = \frac{1 - \mu(0)}{\mu(0)} - \text{დაკვირვებათა } \frac{\text{ცდომილების }}{\text{საზომია.}}$$

განსაკუთრებით ძლიერი ანიზოტროპულობა და არაერთგვაროვნება დამახასიათებელია ნალექებისა და ქარის ველებისათვის (Ж.Д.Алибегова, Э.Ш.Элизбарашвили, 1977, 1980; ჭ.ხვედელიძე, ე.ელიზბარაშვილი, 1982). მათ ჩამოყალიბებაზე კავკასიონის ქედის გარდა მნიშვნელოვან გავლენას ახდენს მერიდიანულად მიმართული ლიზის ქედი, რომელიც ასრულებს ზღვის ნოტიო ჰაერის ტრანსფორმაციას კონტინენტურში.



ნახ.7.4.2. ელქექის დღეთა ჩიტვის იზოკორელატების ველი გორის მიმართ. ივნისი-ივლისი
(Э.Ш.Элизбарашвили, Н.Ш.Гонгладзе и др., 1983)

ავიაციისათვის განსაკუთრებით საშიშია ელჭექის ადგილობრივი კერა-ბორჯომ-ბაკურიანის რაიონი. ამ რაიონში წარმოქმნილი ელჭექი გადაადგილდება ბორჯომი-ხაშური-გორი-მუხრანი-თბილისის მიმართულებით, რაც კარგად აისახება ელჭექის იზოკორელატების ველზე(ნახ.7.4.2.).

თავი 8. მიკროკლიმატური გამოკვლევები

8.1. შავი ზღვის სანაპირო ზოლის

მიკროკლიმატური გამოკვლევები

შავი ზღვის სანაპირო ზოლის ჰავა ყალიბდება თბილი შავი ზღვის გავლენით. ზღვის წყლის ტემპერატურის საშუალო თვიური მნიშვნელობა არ ეცემა 9° -ზე დაბლა და სხვაობა ზაფხულისა და ზამთრის ტემპერატურებს შორის $12-14^{\circ}$ -ს შეადგენს (ცხრილი 8.1.1). რაც შეეხება წყლის ტემპერატურის დღიურ სკლას, ის იცვლება გრადუსის მეათედებში(ცხრილი 8.1.2).

ზღვის მიმდებარე პლაჟის სიგანე შეადგენს სოხუმში $25-30\text{მ}$ -ს, გაგრაში, ბიჭვინთაში, ფოთსა და ურეკში- $35-40\text{მ}$ -ს, ქობულეთში- $40-50\text{მ}$ -ს. მდინარეების სუფსასა და ნატანებს შორის 11მ -ის სიგრძის და $30-50\text{მ}$ სიგანის ზოლი წარმოდგენილია მაგნეტიტის სხვადასხვა ხარისხით გამდიდრებული ქვიშებით. შავი ზღვისპირა მაგნიტური ქვიშები ცნობილია XIX საუკუნიდან (გ.აბიზი, ს.სიმონოვიჩი, ა.სოროკინი და სხვ.). ურეკის საბადოს მაგნიტური ქვიშების მეტალურგიული თვისებების ლაბორატორიული გამოკვლევა ჩატარდა საქართველოს მეცნიერებათა აკადემიის მეტალურგიის ინსტიტუტში(იხ. ცხრილი 8.1.3).

მინერალური ანალიზის შედეგებმა აჩვენა, რომ ქვიშის ძირითად მინერალებს წარმოადგენს მაგნეტიტი და ტიტანომაგნეტიტი. მათი შემაღებენლობა ქვიშებში დაახლოვებით 4% -ის ზოლია. მაგნეტიტის მარცვლების ზომები $0,05-0,4\text{მმ}$ -ის ფარგლებში მერყეობს. განსაკუთრებით

ცხრილი 8.1.1. შავი ზღვის წყლის ტემპერატურა. $^{\circ}\text{C}$.
 (Э.В.Сухишвили, 1977)

პუნქტი	თვე											
	ძ	ძძ	ძძძ	ძძ	ძ	ძძ	ძძძ	ძძძძ	ძ	უ	უძ	უძძ
სოხუმი გაგრა	10,2 10,1	8,8 8,9	9,0 9,2	11,2 10,9	16,0 14,6	20,3 19,4	24,1 23,8	25,9 25,0	23,7 23,2	19,8 19,4	16,1 15,9	12,4 12,5
ბათუმი	10,9	9,6	9,4	11,7	16,5	21,5	24,3	25,4	23,6	20,4	16,8	13,4
ჭყოთი	9,8	8,9	9,2	11,4	16,1	21,5	24,7	25,6	23,2	19,4	15,6	11,9

ცხრილი 8.1.2. ზღვის წყლის ტემპერატურის დღიური სვლა გაგრაში. $^{\circ}\text{C}$.
 (Р.П.Кавкасидзе.,Н.Ш.Гонгладзе, 1963)

საათი	თვე					
	ძ	ძძ	ძძძ	ძძძძ	ძ	უ
7	14,8	19,0	22,2	24,4	23,1	19,5
13	15,3	19,8	22,8	24,8	23,8	23,5
19	15,1	19,4	22,6	24,6	23,4	19,6

ალბათურია ზომა 0,16-0,07მმ, აქ თაგმოყრილია მაგნეტიტის და ტიტანომაგნეტიტის ძირითადი მასა. ხშირად გვხვდება აგრეთვე ილმენიტი, რომლის ზომებიც 0,005-0,015მმ-ს შეადგენს.

ცხრილი 8.1.3. მაგნიტური ქვიშის ქიმიური ანალიზის
შედეგები(თ.სიგუა და სხვ.)

სინჯის №	შემადგენლობა, %						
	Fe	FeO	SiO ₂	CaO	Al ₂ O ₃	MgO	TiO ₂
1	47,6	16,6	13,4	4,4	4,6	2,8	5,2
2	38,6	15,6	12,7	3,8	6,7	3,6	4,8
3	48,1	16,2	12,9	4,1	5,2	3,1	5,1

1978 წელს საქართველოს მეცნიერებათა აკადემიის გეოფიზიკისა და კურორტოლოგიის და ფიზიოთერაპიის სამეცნიერო-კვლევითი ინსტიტუტების თანამშრომლებმა ჩაატარეს დეტალური მაგნიტური აგეგმვა მთელ სანაპიროზე მაგნეტიტიდან მდინარე სუფსას შესართავამდე. დადგინდა, რომ ქვიშის მაგნიტური შემთვისებლობა 1000×10^{-6} დან 6000×10^{-6} CGSE ერთეულის ფარგლებში იცვლება. ამასთან დაკავშირებულია რაიონში მაგნიტური ველის ცვლილება. ველის ანომალიის სიღიდე საშუალოდ $100-200$ გაუსს შეადგენს, მაგრამ ცალკეულ უბნებში აღმატება $250-300$ გაუსს(ე.შ.ელიზბარაშვილი, ნ.შ.გონგლაძე, 1980; ს.ბლანუცა, ე.ელიზბარაშვილი, ნ.ქარცივაძე, 1982).

ე.სუხიშვილის(1977) მონაცემებით დღის განმავლობაში ქვიშა პლიაზე ძლიერ თბება და მზეზე $60-70^{\circ}$ -ს ტემპერატურას აღწევს, ამ დროს ჰაერის ტემპერატურა $20-30^{\circ}$ -ით ნაკლებია. სიმაღლის ზრდით ჰაერის ტემპერატურის ცვლილებას რთული ხასიათი აქვს, რაც კარგად ჩანს ცხრილში 8.1.4 წარმოდგენილი მონაცემებიდან.

ცხრილი 8.1.4. ჰაერის ტემპერატურის დღე-დამური სვლა
სიმაღლის მიხედვით ზღვის სანაპიროზე, $^{\circ}\text{C}$. ურეკი,
პანსიონატი „მეგობრობა“. აგვისტო

(ე.შ. ელიზბარაშვილი, ჩ.შ. გონგლაძე, 1980;
ს.ბლანუცა, ე.ელიზბარაშვილი, ნ.ქარცივაძე, 1982).

სიმაღლე, მ	დაკაირვების ვადა, სთ.							
	1	4	6	10	13	16	19	22
0,5	20,2	19,6	20,7	22,6	24,2	24,2	23,2	21,0
1	20,2	20,8	19,7	22,8	23,5	24,3	23,1	21,6
2	20,2	19,3	19,4	22,2	23,4	23,5	22,6	20,6
4	-	-	20,6	22,1	22,1	23,3	23,0	-
8	-	-	61,4	21,8	23,0	23,3	22,2	-

ტემპერატურის ანალიზით გრადიენტული გაზომვები 1,5მ სიმაღლემდე წლის თბილი პერიოდისათვის გაგრასა და სონუმში ჩატარეს საქართველოს კურორტოლოგის და ფიზიოთერაპიის სამეცნიერო-კვლევითი ინსტიტუტის და მისი აფხაზეთის ფილიალის თანამშრომლებმა (ცხრილი 8.1.5).

საქართველოს შავი ზღვის სანაპიროს ზოლში ყველგან კარგად არის გამოხატული მუსონური ცირკულაცია: წლის თბილ პერიოდში გაბატონებულია დასავლეთის ქარები, ხოლო ცივ პერიოდში-აღმოსავლეთის ქარები. ქარის სიჩქარე სიმაღლის მიხედვით ყველგან იზრდება (ცხრილები 8.1.6; 8.1.7; და 8.1.8).

ცხრილების განხილვიდან გამომდინარეობს აგრეთვე, რომ დღე-დამური სვლაში ქარის სიჩქარე მაქსიმუმს შუადღის შემდეგ (16-18 საათზე) აღწევს, რაც უსათუოდ

ცხრილი 8.1.5. პაერის საშუალო ტემპერატურა პლაფზე. $^{\circ}\text{C}$.
 (Р.П.Кавкасидзе.,Н.Ш.Гонгладзе, 1963; А.А.Григория, Б.П.Джанашия, 1967)

პუნქტი	სიმაღლე მ	დაკვირვებათა ვადა სთ	თვე					
			Ⅰ	Ⅱ	Ⅲ	Ⅳ	៥	Ⅵ
სოხუმი	0.5	7	15,6	20,6	22,4	21,4	18,5	13,6
		13	19,0	22,3	26,6	26,6	24,7	20,3
		17	19,7	24,7	26,0	26,0	23,8	18,8
	1.5	7	15,4	21,1	22,4	20,9	18,4	13,6
		13	18,8	21,9	25,8	25,8	23,8	19,4
		17	18,1	23,4	25,3	25,4	23,2	18,3
გაგრა	0.2	8	19,0	18,7	22,3	20,5	19,3	14,1
		13	21,8	23,7	27,5	29,7	25,7	19,5
		19	16,2	22,8	25,8	23,1	22,1	15,3
	0.5	7	15,1	19,9	22,7	20,7	19,5	14,4
		13	20,1	22,9	26,5	28,6	24,1	18,5
		17	17,0	21,8	25,2	22,2	21,5	15,0

ცხრილი 8.1.6. ქარის სიჩქარე სოხუმის სამედიცინო პლატფორმაზე. გ/წმ.
 (A. A. Григория, B. P. Джанашия, 1967)

სიმაღლე მ	დაკვირვებათა ვადა სთ	თვე					
		თ	თბ	თბი	თბის	ძს	უ
0.5	7	0,4	0,4	0,4	0,4	0,4	0,6
	13	1,0	1,0	1,4	1,5	1,2	1,6
	17	1,0	1,5	1,4	1,4	1,0	0,6
1.5	7	0,6	0,6	0,4	0,6	0,6	0,6
	13	1,3	1,4	1,8	1,9	1,7	1,4
	17	1,4	1,7	1,8	1,9	1,4	0,7

ცხრილი 8.1.7. ქარის სიჩქარის დღე-დამური სვლა გაგრაში. ივლისი. გ/წმ.
 (Р.П.Кавкаидзе.,Н.Ш.Гонгладзе, 1963)

სიმაღლე მ	დაკვირვების ვადა, სთ							
	8	9	10	11	12	13	17	19
0.2	0,28	0,55	0,76	0,87	1,0	1,1	1,21	1,15
0.5	0,32	0,64	0,69	0,92	1,0	1,25	1,37	1,19
1.0	0,33	0,66	0,92	1,12	1,5	1,6	1,65	1,37
1.5	0,35	0,66	0,96	1,20	1,5	1,7	1,80	1,5

ცხრილი 8.1.8. ქარის სიჩქარის დღე-დამური სკლა ურეკში.
აგვისტო. მ/წმ
(ს.ბლანუცა, ე.ელიზბარაშვილი, 6.ქარცივაძე, 1982).

სიმა დღე, გ	პლაკვირვების ვადა, სთ.							
	1	4	7	10	13	16	19	22
0,5	1,8	1,5	2,5	2,0	2,2	3,2	3,5	3,2
1	1,7	2,0	2,3	2,2	2,5	3,4	3,4	2,4
2	2,1	2,2	2,5	3,2	2,7	3,8	3,7	2,7
4	2,3	2,7	2,9	2,7	3,4	4,8	4,3	3,2
8	2,5	2,9	3,5	3,4	3,6	4,9	4,7	3,7
12	3,2	3,6	4,1	3,6	4,1	5,1	5,2	4,1

დაკავშირებულია კონვექციის განვითარებასთან. ამავე
მიზეზის გამო აღნიშნულ დროს ქარის სიჩქარის
ვერტიკალური გრადიენტი მაქსიმუმს აღწევს.

ჰაერის შეფარდებითი სინოტივე პლაუზე სიმაღლის
მიხედვით უმნიშვნელოდ იზრდება, ამავე დროს ღრუბლიან
დღეებში სინოტივე მეტია, ვიდრე უდრუბლო დღეებში და
სხვაობა მაქსიმუმს აღწევს შუადღის საათებში. ნათქვამი
დეტალურად ჩანს ცხრილებიდან 8.1.9 და 8.1.10.

ცხრილი 8.1.9. ჰაერის შეფარდებითი სინოტივე სოხუმის
სამედიცინო პლაუზე.%.

(Р.П.Кавкасидзе.,Н.Ш.Гонгладзе, 1963)

სიმაღლე, მ	დაკვირვების ვადა, სთ.	თვეები					
		V	VI	VII	VIII	IX	X
0,5	7	80	71	76	70	74	62
	13	71	72	67	63	68	59
	17	65	69	69	64	70	70
1,5	7	80	66	75	70	74	62
	13	72	78	70	64	70	61
	17	67	76	70	66	70	71

ცხრილი 8.1.10. ჰაერის შეფარდებითი სინოტივის დღე-ლამური სვლა ულრუბლო(ა) და ლუბლიან(ბ) დღეებში გაგრაში. %.
 (А.А.Григолия, Б.П.Джанашия, 1967)

სიმაღლე, მ	ვდაძვირვების ვადა, სთ.											
	8		9		11		13		17		19	
	ა	ბ	ა	ბ	ა	ბ	ა	ბ	ა	ბ	ა	ბ
0,2	83	79	78	73	67	81	65	80	59	75	67	76
0,5	81	79	77	77	74	88	73	82	62	76	66	76
1,0	81	81	77	79	76	87	73	82	62	79	67	80
1,5	81	81	79	79	76	87	74	82	63	79	67	80

8.2. ქალაქის თბილისის მიკროკლიმატური თავისებურებანი

დიდი ქალაქის მიკროკლიმატი განისაზღვრება მთელი რიგი ფაქტორებით:

1. გამონაბოლქვებისა და მტვრის არსებობით, რაც ცვლის რადიაციულ რეჟიმს და წყლის ორთქლის კონდენსაციის პირობებს;
2. ქეეფენილი ზედაპირის თავისებურებით, რომელიც ხასიათდება კარგი სითბოგამტარობით;
3. ქალაქის ძლიერ დანაწევრებული რელიეფით(ქუჩათა ქსელი, მოედნები, სკერები, პარკები, ნაგებობები), რაც განაპირობებს ქარის სიჩქარის და მიმართულების, აგრეთვე ტურბულენტური ცვლის ინტენსივობის შეცვლას.

რადიაციული ბალანსის შეცვლა და სითბოს დამატებითი მოდენა ატმოსფეროში განაპირობებს ქალაქის მაღალ ტემპერატურულ ფონს. ოდროზდოვის თანახმად საშუალო წლიური ტემპერატურები გარეუბანთან შედარებით მოსკოვსა და თბილისში მომატებულია $0,8^{\circ}$ -ით, პარიზსა და სტოკოლმში- $0,7^{\circ}$ -ით, მილანში- $1,3^{\circ}$ -ით, ხოლო ნიუ-იორკში- $1,8^{\circ}$ -ით.

ცხრილში 8.2.1. წარმოდგენილია პარის ტემპერატურის წლიური სვლა თბილისის ცენტრსა და აეროპორტში, და აგრეთვე ამ ტემპერატურათა სხვაობები. როგორც ცხრილიდან ჩანს ქალაქის როლის გავლენა პარის ტემპერატურაზე განსაკუთრებით დიდია გაზაფხულზე, რაც ამ დროს ტურბულენტური ცვლის გააქტიურების შედეგია.

პარის აბსოლუტური სინოტივე თბილისის ცენტრსა და გარეუბანში მნიშვნელოვნად არ განსხვავდება ერთმანეთისაგან. შეფარდებითი სინოტივე კი ქალაქის ცენტრში ტემპერატურის მაღალი ფონის გამო რამდენადმე

ცხრილი 8.2.1. პაერის ტემპერატურის წლიური სვლა თბილისის ცენტრსა და აეროპორტში.
⁰C.

პუნქტი	თვე											წელი	
	ი	იი	ია	ივ	ვ	ვა	ვი	ვაა	რ	უ	ს		
ცენტრი	0,9	2,6	6,6	11,9	17,3	21,1	24,4	24,2	19,6	13,8	7,6	2,8	12,7
აეროპორტი	0,4	1,9	5,7	11,2	16,6	20,5	24,0	24,1	19,4	13,7	7,3	2,5	12,3
სხვაობა	0,5	0,7	0,9	0,7	0,7	0,6	0,4	0,1	0,2	0,1	0,3	0,3	0,3

დაკლებულია. სხვაობა მაქსიმუმს გაზაფხულსა და ზაფხულში აღწევს.

ქარის სიჩქარის საშუალო თვიური მნიშვნელობები თბილისის ცენტრში 3-4გ/წმ-ით ნაკლებია გარეუბანთან შედარებით.

ქალაქის გავლენა შეინიშნება აგრეთვე ღრუბლიანობისა და ნალექების მნიშვნელობებშიც. ქალაქის თავზე ჰაერის სწრაფი გათბობის, ტურბულენტობის გაძლიერების და ანთროპოგენული წარმოშობის აეროზოლების კონცენტრაციის გაზრდის გამო წარმოიქმნება ღრუბლების განვითარების ხელსაყრელი პირობები. ამიტომ ღრუბლიანობა და ნალექები ქალაქის ცენტრში იზრდება. სხვაობა უდიდესია ზაფხულის თვეებში, რაც კონვექციური პროცესების გააქტიურებას და ტურბულენტური ცვლის გაძლიერებას უკავშირდება.

თბილისის მიკროკლიმატურ თავისებურებათა შესახებ შეიძლება ვიმსჯელოთ საქართველოს მეცნიერებათა აკადემიის ჰიდრომეტეოროლოგიის ინსტიტუტის თანამშრომელთა მიერ მომზადებული ორი მონოგრაფიის მიხედვით (Климат Тбилиси, 1992 და თბილისის კლიმატის მრავალწლიური ცვლილება და ციკლური რეგვადობა, 2001).

მიკროკლიმატური სხვაობების გამოსავლენად ტემპერატურისა და ნალექების მონაცემები დაყვანილი იყო თბილისის ცენტრალური ნაწილის საშუალო სიმაღლეზე-ზღვის დონეზე 400მ-ზე. ამან გამორიცხა ადგილის სიმაღლის გავლენა და გამოავლინა მიკროკლიმატური განსხვავებები (მ.ელიზარაშვილი, თ.ალაძაშვილი, ნ.ჯანგულაშვილი, 2001). დადგინდა თბილისში „სითბოს კუნძულის“ არსებობა, რომელიც წლის განმავლობაში იცვლის მდებარეობას.

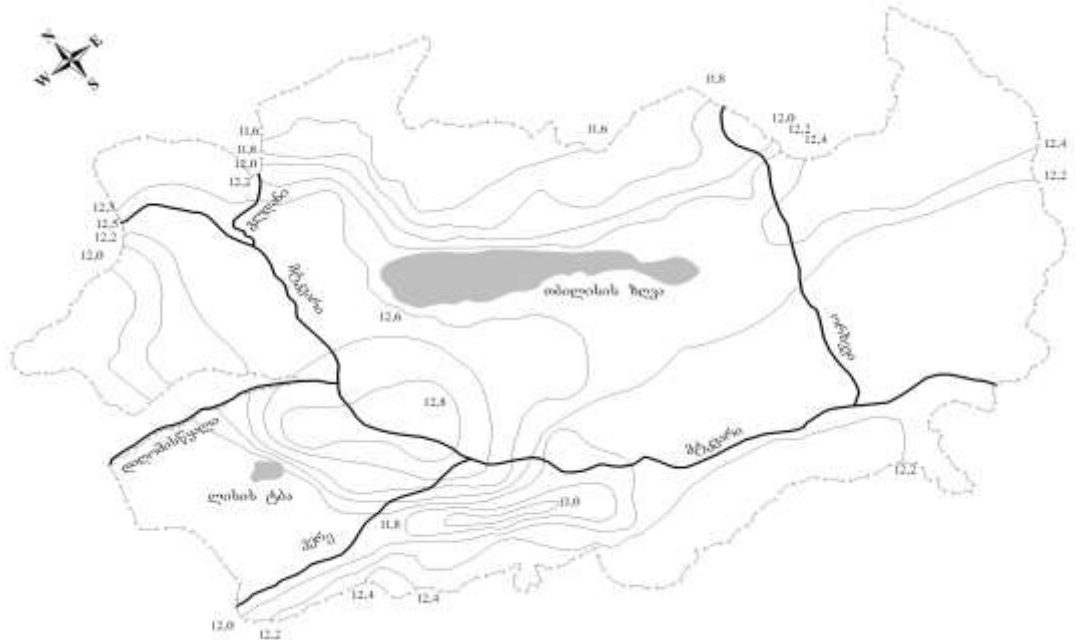
ზამთარში „სითბოს კუნძული“ ძირითადად მთაწმინდის რაიონშია განლაგებული. რუსთაველის პროსპექტზე ჰაერის საშუალო თვიური ტემპერატურა $2,8^{\circ}$ -ს შეადგენს. $2,6^{\circ}$ ტემპერატურაა ვაკეში, 3° მო ვერაზე და აღმაშენებლის პროსპექტზე. მზგვრის ხეობაში ტემპერატურა $2,4^{\circ}$ -მდე ეცემა, ხოლო ყველაზე დაბალი ტემპერატურა ($2,0^{\circ}$) ქალაქის ჩრდილოეთ-გლდანის რაიონშია.

გაზაფხულზე „სითბოს კუნძული“ დიდუბის და საბურთალოს რაიონებში გადაინაცვლებს. ეს აიხსნება მთაწმინდის რაიონში მწვანე ნარგავების სიუხვით, რაც გავლენას ახდენს მის მიკროკლიმატზე და ტემპერატურას დაბლა სცემს დაახლოვებით $0,5\text{--}0,9^{\circ}$ -ით. „სითბოს კუნძულში“ ამ დროს $12,8^{\circ}$ -ია, ხოლო გაგის პარკში და მთაწმინდის ასასვლელთან $11,0\text{--}11,3^{\circ}$ (ნახ.8.2.1).

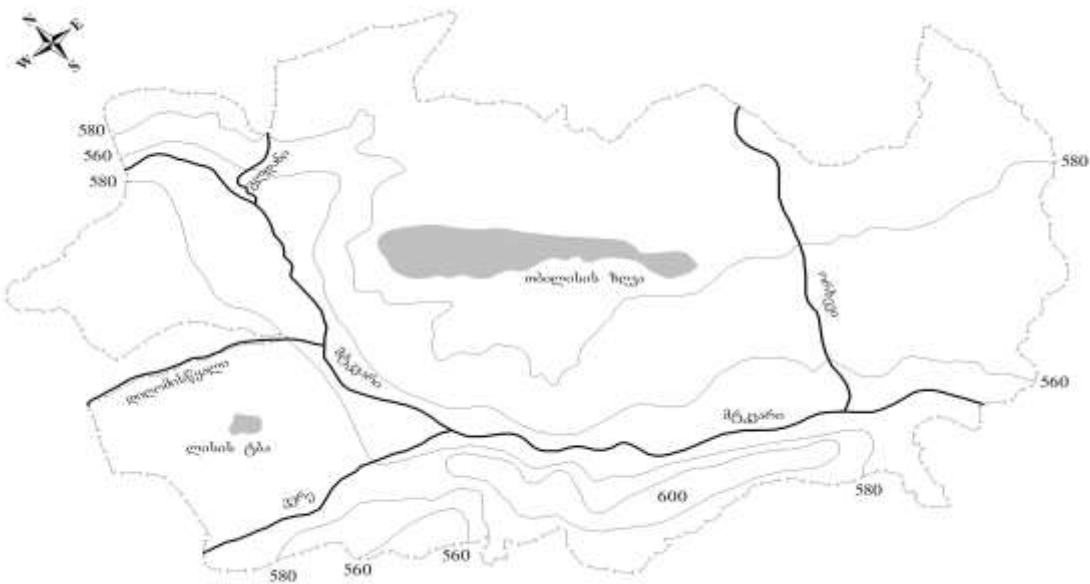
ზაფხულის განმავლობაში ყველაზე ძლიერ თბება აღმაშენებლის პროსპექტი, სადაც საშუალო თვეური ტემპერატურა $23,6^{\circ}$ -ს აღწევს. რამდენადმე ნაკლებია ტემპერატურა ჩუღურეთის რაიონის დანარჩენ ტერიტორიაზე, აგრეთვე ისნის, ნაბალადევის, დიდუბის და კრწანისის რაიონების დიდ ნაწილზე ($23,4^{\circ}$). ყველაზე დაბალი ტემპერატურა აღინიშნება გლოდანის რაიონის ჩრდილოეთ ნაწილში ($22,6^{\circ}$).

შემოდგომით „სითბოს კუნძულს“ უკავია აღმაშენებლის და რუსთაველის პროსპექტები, დილუბის, ისნის და კრწანისის რაიონები. აქ ჰაერის საშუალო ტემპერატურა $14,0^{\circ}$ -ს შეადგენს, ყველაზე დაბალი ტემპერატურა კი სამგორის რაიონის ჩრდილოეთ ნაწილში და ზემო ვერაზე აღინიშნება ($13,2^{\circ}$).

წლიური ნალექების უდიდესი რაოდენობა (600მმ -ზე მეტი) ქალაქის ცენტრში-მთაწმინდისა და კრწანისის რაიონებში მოდის, იქ სადაც ძლიერ განვითარებულია „სითბოს კუნძული“. ნალექების გაზრდა ქალაქის ცენტრში



ნახ.8.2.1. ჭღვის დონედან 400მ-ზე დაყვანილი იზოთერმების რუკა. გაზაფხული.
 (მ.ელიზბარაშვილი, თ.ალადაშვილი, ნ.ჯანგულუშვილი, 2001)



ნახ.8.2.2. ზღვის დონედან 400მ-ზე დაყვანილი იზოპიეტების რუკა. წელიწადი.
(გ.ელიზბარაშვილი, თ.ალადაშვილი, ნ.ჯანგულუშვილი, 2001)

განპირობებულია სითბოს კუნძულის არსებობით, ქალაქის ნავებობათა შემაშფოთებელი გავლენით და ატმოსფეროს გაჭუჭყიანებით. მეორეს მხრივ, ნალექების მაქსიმუმი ქალაქის ცენტრში, ანუ მის სამხრეთ-აღმოსავლეთ ნაწილში, აიხსნება ქარის დაბალი სიჩქარეებით, რის გამოც აქ კონდენსაციის პროდუქტების დიდი რაოდენობა გადმონაწილდება (ნახ.8.2.2).

მტკვრის მარცხენა სანაპიროზე ნალექები 500მმ-ზე ნაკლებია. გამონაკლისი თბილისის ზღვის მიდამოებია, სადაც ნალექების ჯამი 580მმ-მდე იზრდება. ამრიგად წლიური ნალექების ზრდა ქალაქის ცენტრში გარეუბანთან შედარებით დაახლოვებით 5-7%-ს შეადგენს.

ნალექების მაქსიმუმი ქალაქის ცენტრში შენარჩუნებულია წელიწადის ცივი და თბილი პერიოდების განმავლობაშიც. ეს განსაკუთრებით კარგად ჩანს თბილი პერიოდის ნალექებისათვის, რადგანაც მათი რაოდენობა გაცილებით აღემატება ცივი პერიოდის ნალექებს. თბილი პერიოდის ნალექების უდიდესი რაოდენობა(440მმ) აგრეთვე მთაწმინდისა და კრწანისის რაიონებში მოდის. გაზრდილია ნალექები თბილისის ზღვის მიდამოებში(430მმ), ხოლო უმცირესი ნალექები სამგორის რაიონის აღმოსავლეთ ნაწილში მოდის, მდინარე ლოჭინის მახლობლად, სადაც მათი რაოდენობა არ აღემატება 370მმ-ს. ამდენად თბილი პერიოდის განმავლობაში ქალაქის ცენტრსა და გარეუბანში მოსულ ნალექებს შორის სხვაობა 16%-ს შეადგენს. ცივი პერიოდის ნალექების განაწილებაში მნიშვნელოვანი სხვაობა არ აღინიშნება, თუმცა მტკვრის მარჯვენა სანაპიროზე, იგივე მთაწმინდისა და კრწანისის რაიონებში ნალექების რაოდენობა აღემატება 155მმ-ს, მაშინ როდესაც მარცხენა სანაპიროზე-ჩუღურეთის და ისნის რაიონებში, ნალექები ვერ აღწევს 150მმ-ს.

8.3. ქალაქ თელავის მიკროკლიმატური გამოკვლევა

ქალაქ თელავის მიკროკლიმატური თავისებურებების გამოსაკვლევად 2000 წლის ზაფხულის განმავლობაში მიკროკლიმატური გაზომვები ჩატარდა საგანგებოდ შერჩეულ 4 პუნქტში: მე-2 საშუალი სკოლის ეზო (ქალაქის ჩრდილო-აღმოსავლეთი ნაწილი, 680მ ზღვის დონედან);

საკოლმეურნეო ბაზრის მიმდებარე ტერიტორია(ქალაქის ჩრდილოეთი ნაწილი, 715მ); ი.ჭავჭავაძის სახელობის მოედანი (ქალაქის ცენტრი, 740მ); ი.გოგებაშვილის სახელობის სახელმწიფო უნივერსიტეტის მიმდებარე ტერიტორია (ქალაქის სამხრეთ-დასავლეთი ნაწილი, 880მ).

ჩატარებული გაზომვები საფუძვლად დაედო ქალაქ თელავის მიკროკლიმატური რუკების შედგენას ზაფხულის საშუალო პირობებისა და აგვისტოს თვის 17 საათისათვის (ე.ელიზაბარაშვილი, ი.ჭინჭარაშვილი, 2001).

რუკების ანალიზმა გამოავლინა, რომ ჰაერის საშუალო ტემპერატურა ზაფხულში ქალაქის საზღვრებში 24-26⁰-ს შეადგენს. უდიდესი ტემპერატურა ქალაქის ჩრდილოეთ ნაწილში-ი.ჭავჭავაძის პროსპექტის ჩრდილოეთით აღინიშნება. ქალაქის ცენტრში-თავისუფლების მოედანზე, კოსტავას ქუჩაზე და მათ მიმდებარე ტერიტორიებზე ტემპერატურა 25-25,5⁰-ია. ქალაქის ცენტრიდან აღმართზე მიმავალ ქუჩებზე-განხელის, 26 მაისის, ე.აზვლელიანის, 9 აპრილის, რ.ლალიძის და სხვ., ტემპერატურა 25⁰-ზე ნაკლებია, ხოლო სახელმწიფო უნივერსიტეტის მახლობლად 24⁰-მდე კლებულობს.

აგვისტოს 17 საათიან დაკვირვებათა ვადაზე ქალაქის ცენტრში „სითბოს კუნძული“ ყალიბდება, რომელიც მოიცავს თავისუფლების და ი.ჭავჭავაძის მოედანებს, და კოსტავას ქუჩის მოხაკვეთს. „სითბოს კუნძულში“ ტემპერატურა 31,5⁰-ს აღემატება. კოსტავას ქუჩის ჩრდილოეთით- ქალაქის ტერიტორიის ვრცელ ნაწილზე ტემპერატურა 30-31⁰-ია, ხოლო მის სამხრეთით კლებულობს და მინიმუმს (28⁰) სახელმწიფო უნივერსიტეტის მიმდებარე ტერიტორიაზე აღწევს.

ტემპერატურათა დიდი სხვაობის გამო, აქტიურდება ადგილობრივი ცირკულაცია და ქარის სიჩქარე მაქსიმუმს აღწევს (2-2,5მ/წმ). საშუალოდ კი ქარის სიჩქარე ქალაქის შერჩეულ პუნქტებში თითქმის თანაბარია და 1,6მ/წმ-ს შეადგენს.

ჰაერის შეფარდებითი სინოტივე ქალაქის ტერიტორიაზე 47-51% ფარგლებში იცვლება და მაქსიმუმს სახელმწიფო უნივერსიტეტის მიმდებარე ტერიტორიაზე

აღწევს, რაც ტყის საფარის სიახლოებით არის განპირობებული.

8.4.წყალსაცავების მიკროკლიმატური თავისებურებანი

გასული საუკუნის 50-იანი წლებიდან საქართველოში მდინარეთა ჩამონადენის რეგულირების მიზნით ფართოდ გაიშალა წყალსაცავების მშენებლობა და უკვე ხანგრძლივი დროის გამავლობაში უუნქციონირებნ შაორის, ტყიბულის, გალის, წალკის, სიონის, თბილისის და ვჯვრის წყალსაცავები. ზოგი მათგანი გამოიყენება ენერგეტიკული მიზნებისათვის, ხოლო ზოგი ირიგაციის, ან ირიგაციის და ენერგეტიკისათვის.

წყალსაცავები თავის საკუთარ კლიმატს ქმნიან. მთელი რიგი თეორიული და ექსპერიმენტული ხასიათის გამოკლევების თანახმად დადგენილია, რომ წყალსატევი ათბობს (ან აგრილებს) და ატენიანებს მიმდებარე ტერიტორიას. გამაგრილებელი ეფექტი აღინიშნება დღისით, ხოლო გამათბობელი-ღამით. მეორე ჭარბობს პირველს, ამიტომ შეიძლება ჩაითვალოს, რომ წყალსაცავი საშუალოდ ათბობს მიმდებარე ტერიტორიას. ამავე გამოკლევების თანახმად წყალსატევის გავლენის უდიდესი ეფექტი აღინიშნება 5-7 კმ მანძილამდე.

წყალსატევის გავლენის ზონაში ქარის სიჩქარე იზრდება. სიჩქარე მაქსიმუმს შემოდგომაზე აღწევს, როდესაც წყალი ჰაერზე თბილია და განვითარებულია ტურბულენტური ცვლა. წყალსატევის გავლენა ადგილობრივ კლიმატზე სხვადასხვა გეოგრაფიულ პირობებში განსხვავებულია, რაც კარგად ჩანს ცხრილიდან 8.4.1.

ჯვრის წყალსაცავის ეფექტის შეფასების თანახმად (ე.შ. ელიზაბარაშვილი, T.B. ხელაძე, 1989, a) წყალსაცავის გამათბობელი კვექტი ჯვარში შეადგენს $0,4-0,5^{\circ}$ -ს, მესტიაში- $0,3-0,4^{\circ}$ -ს. გამაგრილებელი ეფექტი ტოლია $0,5-0,7^{\circ}$ -ს. სიონის წყალსაცავის გამათბობელი ეფექტი თანეთში შეფასებულია $0,1-0,3^{\circ}$ -ით, ხოლო გამაგრილებელი ეფექტი- $0,1-0,2^{\circ}$ -ით.

რ. სამუკაშვილის (2001) თანახმად წყალსაცავის აშენების შედეგად სადგურ ჯვარში 1979-90წწ პერიოდში

ჰემპერატურის საშუალოთვიური მნიშვნელობები 10 თვის (ნარ-ძვ) განმავლობაში აღმოჩნდა ნაკლები, ხოლო მაისში და ოქტომბერში მეტი წინა პერიოდის (1959-1979) შესაბამის მნიშვნელობებზე. ტემპერატურის მნიშვნელობებს შორის განსხვავების სიდიდე მაქსიმალურია მარტში და აპრილში ($-0,6^{\circ}$). საშუალოწლიური ტემპერატურა უკანასკნელ პერიოდში წინა პერიოდთან შედარებით ჯვარში და ხაიშში დაეცა $0,2^{\circ}$ -ით, მესტიაში $0,1^{\circ}$ -ით ხოლო გალში მოიმატა $0,4^{\circ}$ -ით. აღსანიშნავია, რომ ოქტომბერ-აპრილში ჯვარში წყალსაცავის აშენების შემდევ პერიოდში აღინიშნა ტემპერატურის დაბალი მნიშვნელობები წინა პერიოდთან შედარებით, რაც მისი აზრით არ შეესაბამება წყალსაცავში მიმდინარე სითბური პროცესების ფიზიკურ არსეს, რასაც რ.სამუკაშვილი ადგილობრივ ქარებს (განსაკუთრებით ფიონებს) უკავშირებს. მისივე მონაცემებით სადგურ ხაიშში

ცხრილი 8.4.1. წყალსატევის გავლენით მეტეოროლოგიური პირობების შესაძლო ცვლილება
(В.Н.Адаменко, 1979)

εბუნებრივი ზონა	სეზონის დადგომის დაგვიანება დღე-დაბე		ჟუბინვო მპერიოდ - კვის 3 გაზრდა ა დღე	ტემპერატურის გაზრდა °C C	გამათბობელი ეფექტი, თვე	ემდგრადი ვავლენის ზონა, ქმ
	გაზაფ- ხული	ზაფ- ხული				
ტუნდრა	10	4	7	0,5	VII-VIII	0,5-0,7
ტყეტუნდრა	12	6	10	0,7	VIII	1,0-1,5
ტაიგა	13-16	8-10	10-15	1,0	IX	1,2-2,5
ტყესტეპი	17-18	11-13	15-16	1,5	IX-X	3,2-5,0
სტეპი	18-20	14-15	16-22	2,5	X	5,0-7,0

წყალსაცავის გამაგრილებელ ეფექტს ადგილი აქვს ნოემბერ-თებერვლის, მესტიაში ოქტომბეტ-აპრილის, გალში კი-ხოემბერ-იანვრის განმავლობაში. რ.სამუკაშვილი ასკვის, რომ ხუდონის წყალსაცავის აშენების შემთხვევაში პაერის ტემპერატურის ცვლილება სადგურ ხაიშში გახდება უფრო ინტენსიური, გინაიდან იგი პრაქტიკულად განლაგებულია ხუდონის მშენებარე წყალსაცავის სანაპირო ზოლში.

საქართველოს ოთხი წყალსაცავის- ჯვრის, სიონის, ტყიბულის და შაორის, მიმდებარე ტერიტორიის კლიმატზე გავლენის დასაზუსტებლად საქართველოს მეცნიერებათა აკადემიის ჰიდრომეტეოროლოგიური ინსტიტუტის კლიმატის მოდელირების ლაბორატორიაში შემუშავებული სტატისტიკური მეთოდის(2001) გამოყენებით გამორიცხულ იქნა რეგიონზე კლიმატის თანამედროვე ცვლილების გავლენა და შეფასდა უშუალოდ წყალსაცავის ეფექტი (ცხრილი 8.4.2). აღმოჩნდა, რომ პაერის ტემპერატურის საშუალო წლიურ მონაცემებში უდიდესი ეფექტი გაყინვად შაორის წყალსაცავზე($0,9^{\circ}$) აღინიშნება, მისი გამათბობელი ეფექტი უდიდესია ზამთარსა და გვიან შემოდგომაზე($1,8-2,2^{\circ}$). სიონის წყალსაცავის გამათბობელი ეფექტი უდიდესი იანვარ-თებერვალშია და შეადგენს $0,2-0,9^{\circ}$ -ს, ხოლო ჯვრის წყალსაცავისა-ოქტომბრიდან თებერვლამდე($1,0-1,1^{\circ}$). ჯვრის და სიონის წყალსაცავების გამაგრილებული ეფექტი ყველაზე მეტად ვლინდება გაზაფხულსა და ზაფხულში, და შეადგენს $0,4^{\circ}$ და $0,6-0,7^{\circ}$ -ს შესაბამისად.

ტყიბულის და შაორის წყალსაცავების მიკროკლიმატი ზაფხულში უფრო თბილია, ვიდრე მიმდებარე ტერიტორიების მიკროკლიმატი, რაც განპირობებულია მათი შედარებით მცირე ზომებით. უმეტესობა წყალსაცავებზე გამაგრილებული ეფექტი იწყება თებერვალი-მარტიდან, ხოლო

ცხრილი 8.4.2. წყალსაცავების კლიმატზე გავლენის ანტროპოგენური ეფექტი
 (ე.შ.ელიზარაშვილი, მ.ე.ელიზარაშვილი, 2006)

წყალსაცავი, (შექმნის წელი), მოცულობა მლნ. კუბ.მ., სარკის უდინობი მკ.მდ. სიღრმე, მ.	ელემენტი	თვეები												წლი
		I	II	III	IV	V	VI	VII	VIII	IX	X	XI	XII	
ჯვრის (1978) 1093 13,5 81,5	ტემპ. °C θნალექი მმ ჰაკარც.წნ.პპა 1ქარი მ/წმ	1,0 -5 0,6 0,8	0,2 -6 0,5 0,2	0,4 18 0,3 0,2	0 17 0,1 0,1	-0,1 -35 0,2 1,0	-0,3 -55 0,2 1,0	-0,4 53 0,2 0,9	-0,1 0 1,2 1,4	0 -64 1,3 1,5	-0,2 -33 0,9 1,0	0 -32 0,4 0,5	1,1 -40 0,5 1,0	-0,1 -200 0,5 0,7
შაორის (1954) 90,6 13,0 7,0	ტემპ. °C θნალექი მმ ჰაკარც.წნ.პპა	2,0 -4 0,2	1,5 0 0,2	0,7 -20 0	0,6 -21 -0,7	0,7 -18 0	0,7 7 -0,2	-0,4 11 -0,8	0,5 -2 -0,4	0,5 -15 0,1	0,8 -13 0,5	2,2 -4 0,5	1,8 -5 0,4	0,9 -90 0
ტყიბულის (1955) 84,0 12,1 7,0	ტემპ. °C θნალექი მმ ჰაკარც.წნ.პპა	0,6 20 0,2	-0,4 17 0	-0,7 26 -0,4	1,1 15 -0,3	0,1 30 -0,2	0,6 42 0,1	0,5 14 -0,6	0,5 26 -0,5	-0,7 0 0	-0,4 19 0,7	0,3 28 0,5	-0,4 1 0	0,1 200 0

სიონის(1963წ)	ტემპ. °C	0,2	0,9	-0,4	-0,7	0	-0,1	-0,4	-0,6	-0,6	-0,4	-0,7	-0,2	0
325	θნალექი მმ	14	-1	7	5	11	-7	16	-9	0	3	-2	-4	50
10,4	ჰარგ.წნ.პაა	-0,1	0	-0,3	0,4	2,1	0,6	0,6	0,1	-0,2	-0,8	-0,3	0,6	0,2
31,4	1ქარი მ/წმ	0,5	0,7	0,2	0,8	0,2	0,9	1,1	1,3	1,2	0,4	1,7	0,4	0,7

ცხრილი 8.4.3. პაერის ტემპერატურისა და წყლის ორთქლის პარციალური წნევის ცვლილება
წყლის კიდევან მანძილზე დამოკიდებულებით ჯვრის წყალსაცავზე
(ე.შ.ელიზბარაშვილი, მ.ე.ელიზბარაშვილი, 2006)

თვეები	ტემპერატურა. °C.						წყლის ორთქლის პარციალური წნევა. კპა.				
	მანძილი კმ						მანძილი კმ				
	0,1	0,5	1,0	5	10	20	0,1	0,5	1,0	5,0	10
III	0,6	0,3	0,2	0,1	0	0	0,8	0,2	0,1	0	0
IV	-0,1	-0,1	0	0	0	0	1,0	0,2	0,1	0	0
V	-0,8	-0,4	-0,2	-0,1	-0,1	0	1,1	0,3	0,1	0	0
VI	-1,3	-0,6	-0,4	-0,2	-0,1	-0,1	1,0	0,3	0,1	0,1	0
VII	-1,7	-0,7	-0,5	-0,2	-0,2	-0,1	0,9	0,2	0,1	0,1	0
VIII	-2,0	-0,9	-0,7	-0,3	-0,2	-0,1	1,1	0,2	0,1	0,1	0
IX	-1,3	-0,7	-0,5	-0,3	-0,2	-0,1	1,0	0,3	0,1	0,1	0,1
X	-0,5	-0,3	-0,2	-0,1	-0,1	-0,1	1,2	0,3	0,2	0,1	0
XI	0,3	0,1	0,1	0,1	0	0	0,9	0,2	0,1	0,1	0

ტყიბულის წყალსაცავზე გამათბობელი გავლენა უქმება აპრილიდან იწყება, რაც აგრძელებული ბისი შცირე ზომების შედეგია(მოცულობა, სარკის ფართობი, სიღრმე).

ხმელეთისა და წყლის უთანაბრო გათბობისა და გაცივების გამო ვითარდება ადგილობრივი ბრიზული ცირკულაცია. რადგანაც საქართველოს წყალსაცავები ძირითადად მთის ხეობებშია განლაგებული, და ერთდღოულად მთა-ხეობის ცირკულაციის პირობებში იმყოფებან, ამ ქარების კომბინირებული მოქმედება აძლიერებს მათ სიჩქარეს. საშუალო წლიურ მონაცემებში ქარის სიჩქარის გაზრდა დაახლოვებით $0,7\text{d}/\text{წ}\text{-სიღრმით}$ ფასდება.

ბრიზული ცირკულაცია განაპირობებს ინვერსიების წარმოქმნას, რაც აფერხებს ჰაერის აღმავალი დინებების განვითარებას და კონვექციური ღრუბლების წარმოქმნას. ამის გამო წყალსაცავების მახლობლად ღრუბლიანობა და ნალექები კლებულობს. შეფასებების თანახმად ჯვრის წყალსაცავის გავლენით ნალექების წლიური ჯამი შემცირებულია 200მმ-ით , შაორის წყალსაცავის გავლენით 90მმ-ით . გასული საუკუნის $80-90\text{-იან}$ წლებში თანახოვდი ნალექების რამდენადმე ზრდა, განსაკუთრებით წლის თბილ პერიოდში, ამას სიონის სიონის წყალსაცავის მიღამოებში საქართველოს მეცნიერებათა აკადემიის ჰიდრომეტეოროლოგიის ინსტიტუტის მიერ წარმოებული ექსპერიმენტებით ნალექების ხელოვნურად გამოწვევის დარგში.

ჯვრის წყალსაცავის ადგილობრივ კლიმატზე გავლენის მოდელირება ჩატარებული იყო ა.ვოეიკოვის სახელობის მთავარ გეოფიზიკურ ობსერვატორიაში დამუშავებული მეთოდური მიდგომის საფუძველზე, რომლის თანახმადაც ჰაერის ტემპერატურისა და პარციალური წნევის ცვლილება ჰაერის ნაკადის წყალსატევიდან ხმელეთზე გადაადგილებისას განისაზღვრება ფორმულებით:

$$\Delta T = T_1 - T^* = (T_n - T^*)(1 - F_T)\varphi,$$

$$\Delta e = e_1 - e^* = (E_n - E^*)(1 - F_e)\varphi, \quad (8.4.1)$$

სადაც T_1 და e_1 – ტემპერატურისა და პარციალური წნევის საძიებო მნიშვნელობებია ხმელეთზე წყლის კიდევან

მოცემულ მანბილზე, **T** `და **e** - ტემპერატურა და პარციალური წნევაა ხმელეთზე წყალსაცავის შექმნამდე, **T_n** და **E_n** - წყალსაცავის ზედაპირის ტემპერატურა და ამ ტემპერატურაზე წყლის ორთქლის გაჯერებული პარციალური წნევაა, **F_T** და **F_e** - უგანზომილებო ფუნქციებია, რომლებიც ითვალისწინებენ წყალსაცავის ატმოსფეროსთან სითბო- და ტენცვლის მახასიათებლებს, **φ** - უგანზომილებო ფუნქციაა, რომელიც ითვალისწინებს ხმელეთის ატმოსფეროსთან სითბო- და ტენცვლის მახასიათებლებს. მოდელირების შედეგები წარმოდგენილია ცხრილში 8.4.3.

ცხრილიდან ჩანს, რომ ჯვრის წყალსაცავის გამაგრილებელი ეფექტი აღინიშნება აპრილის მეორე ნახევრიდან ოქტომბრის ბოლომდე, ხოლო გამათბობელი ეფექტი-ნოემბრიდან აპრილის დასაწყისამდე, რაც კარგად შეესაბამება ფაქტიურ მონაცემებს.

წყალსაცავის გავლენა ტემპერატურასა და სინოტივეზე განსაკუთრებით არსებითია წყლის კიდედან 500გ მანბილამდე, მდგრადი გავლენა ვრცელდება 5კმ-მდე, ხოლო 15-20კმ-ზე გავლენა პრაქტიკულად არ შეიმჩნევა.

**თავი 9. კლიმატური ველების მათემატიკური
მოდელირება და გეოინფორმაციული
კარტოგრაფირება**

**9.1 კლიმატური ელემენტების ვერტიკალური
განაწილების მოდელირება**

ნებისმიერი კლიმატური ელემენტის ცვლილება სიმაღლის მიხედვით ზოგადად აღიწერება რაიმე ი-ხარისხის მრავალწევრით:

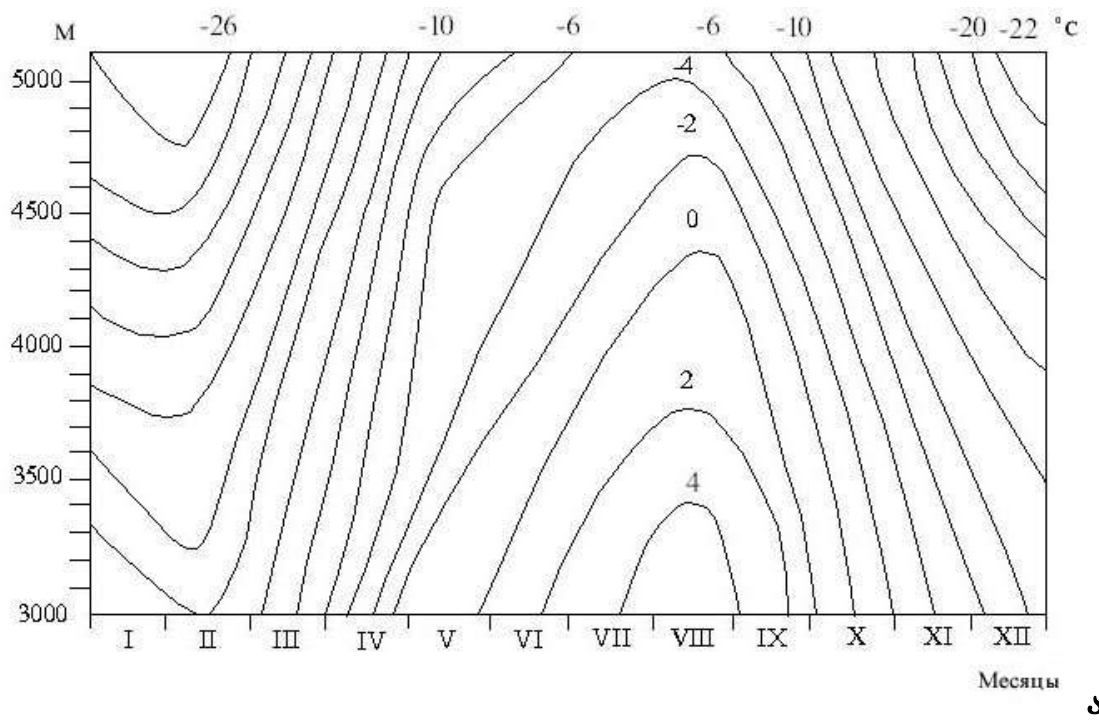
$$M = \sum_{i=1}^n \alpha_i Z^i, \quad (9.1.1)$$

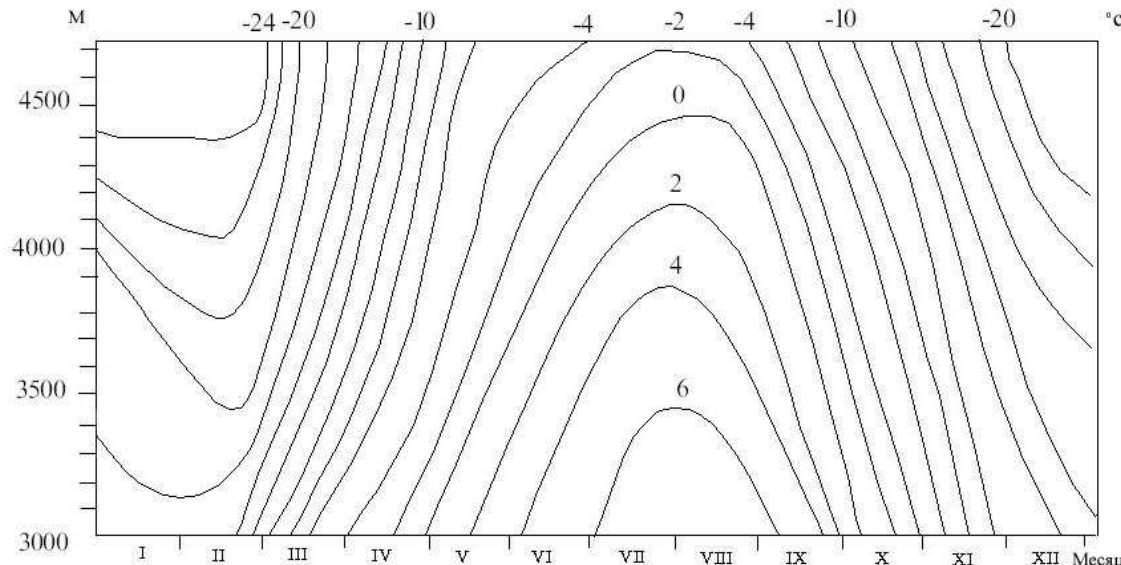
სადაც M -კლიმატური ელემენტია, Z -ადგილის სიმაღლეა, α_i - რეგრესიის კოეფიციენტებია, $i=0,1,2,\dots,n$.

რაც მეტია მრავალწევრის ხარისხი, მით უფრო ზუსტად აღწერს ის კლიმატური ელემენტის ვერტიკალურ განაწილებას, მაგრამ ამავე დროს ვერ უზრუნველყოფს „მეტეოროლოგიური ხმაურით“ გამოწვეულ ცდომილებათა გამორიცხვას. დაბალი რიგის მრავალწევრი კი ემპირიული მასალის საკმაოდ უხეშ აღწერას იძლევა. ამიტომ მრავალწევრის შერჩევა უნდა მოხდეს სპეციალური კრიტერიუმების საფუძველზე.

(9.1.1) ფორმულის უმარტივესი შემთხვევაა წრფივი ფუნქცია, როდესაც $i=1$. ამ ფორმულით, როგორც წესი, აღიწერება ჰაერის ტემპერატურის, აგრეთვე წყლის ორთქლის ჰარციალური წნევის განაწილება (ე.ელიზბარაშვილი, 1978). ასეთი მიღვომის საფუძველზე მოხერხდა ტემპერატურის ვერტიკალური ჭრილების მიღება იმ მაღალმთიანი ზონისათვის, სადაც მეტეოროლოგიური დაკვირვებები არ წარმოებს (ნახ. 9.1.1).

მიუხედავად იმისა, რომ ჰაერის ტემპერატურის სიმაღლის მიხედვით ცვლილება წრფივ კანონზომიერებას





δ)

ნახ.9.1.1. ტემპერატურის ველის სივრცით-დროითი ჭრილი: ა)- დასავლეთ საქართველო;
-ბ)-აღმოსავლეთ საქართველო (M.Э.Элизбарашилии, 2004)

ექვემდებარება, ხშირად ინვერსიული მოვლენების გამო ეს კანონზომიერება ირღვევა. ინვერსია განსაკუთრებით ხშირია გაზაფხულზე, რაც განპირობებულია ხმელეთის გაციებულ ზედაპირზე ზღვიდან თბილი ჰაერის მასების გადაადგილებით. ამ დროს თბილი ნაკადის ქვედა ფენები სითბოს ნაწილს გადასცემენ ქვეფენილ ზედაპირს და ამით თვითონ უფრო ცივი აღმოჩნდებიან, ვიდრე ზედა ფენები. ეს მნიშვნელოვან გავლენას ახდენს ტემპერატურის განაწილების ხასიათზე და ტემპერატურის ცვლილება სიმაღლის მიხედვით მარტივი წრფივი ფუნქციით ვეღარ აღიწერება. ამ შემთხვევაში მიზანშეწონილია გამოვიყენოთ კვადრატული ფუნქცია:

$$T = aZ^2 + bZ + c, \quad (9.1.2)$$

სადაც, T – ჰაერის ტემპერატურაა, Z – ადგილის სიმაღლე მეტრობით, ხოლო a , b და c – რეგრესიის კოეფიციენტებია. (9.1.2)-ის რეგრესიის კოეფიციენტები აჭარის ტერიტორიისათვის წარმოდგენილია ცხრილში 9.1.1.

ცხრილი 9.1.1. რეგრესიის კოეფიციენტები (9.1.2)-
განტოლებისათვის
(მ.ელიზბარაშვილი, ზ.ქარსელაძე, 2003)

კოეფიციენტი	თ ვ ე				წელი
	იანვარი	აპრილი	ივლისი	ოქტომბერი	
$a * 10^{-5}$	0.24	-0.56	0.50	0.40	0.40
$b * 10^{-2}$	-0.82	0.36	-0.95	-0.90	-
c	6.5	11.5	23.0	17.0	0.80 14.5

იგივე სახის ფუნქციით თხელამებ და ბ. ელიზბარაშვილმა (1991) აღწერეს ატმოსფერული ნალექების ვერტიკალური განაწილება საქართველოს ძირითად მდინარეთა ხეობებში და ცალკეულ ქედებზე. რეგრესიის კოეფიციენტები გამოთვლილი იყო 9 რაიონისათვის (ცხრილი 9.1.2).

**ცხრილი 9.1.2. რეგრესიის კოეფიციენტები ატმოსფერული
ნალექების გამოსაანგარიშებლად
(თ. ზელაძე, მ. ელიზბარაშვილი 1991)**

რაიონი	c	b	a
მდინარე ენგურის ზეობა	2550	-1.88	0.00055
მდინარე რიონის ზეობა	3200	-2.95	0.00094
მდინარე აჭარისწყლის ზეობა	2380	-2.12	0.00088
მდინარე კოდორის ზეობა	1500	1.50	-0.00142
კავკასიონის სამხრეთი ფერდობი (კახეთი)	1080	-0.42	0.00052
მდინარე არაგვის ზეობა	210	0.91	-0.00014
თრიალეთის ქედის დასავლეთ ფერდობი	100	0.51	-0.000044
ჯავახეთის ქედის დასავლეთ ფერდობი	50	0.36	-0.000044
მესხეთის ქედის სამხრეთ ფერდობი	-1380	2.37	-0.00060

რადიაციული კომპონენტების მოდელირებისათვის
რ.სამუკაშვილმა(2001,2003) ფართოდ გამოიყენა როგორც
წრფივი, ისე მეორე ხარისხის ფუნქციები, ხოლო
უკანასკნელ წლებში კლიმატური ელემენტების
გეოინფორმაციულ კარტოგრაფირებასთან დაკავშირებით მათი
ვერტიკალური განაწილება აღწერილი იყო მაღალი რიგის
ფუნქციებითაც(Ш.Э.Элизбарашили, 2006; Э.Ш.Элизбараши
или, Д.Н.Кереселидзе, Ш.Э.Элизбарашили, 2006).

9.2. კლიმატური ველების მოდელირება გეოგრაფიული კოორდინატების და მორფომეტრიული ფაქტორების გათვალისწინებით

ნებისმიერი პუნქტის გეოგრაფიული მდებარეობა შეიძლება დახასიათდეს სამი კოორდინატით სფერულ კოორდინატთა სისტემაში: გეოგრაფიული განედით φ, გეოგრაფიული გრძედით λ და ადგილის სიმაღლით Z. ნებისმიერი კლიმატური ელემენტის მნიშვნელობა შეიძლება განხილულ იქნას როგორც ამ კოორდინატების ფუნქცია:

$$M = \alpha_0 + \alpha_1 \varphi + \alpha_2 \lambda + \alpha_3 Z, \quad (9.2.1)$$

სადაც α_1 , α_2 და α_3 -შესაბამისად ელემენტის განედური, მერიდიანული და ვერტიკალური გრადიენტებია, α_0 - თავისუფალი წევრია.

ამ მიდგომით მიღებული იყო რეგრესიის განტოლებები საქართველოს ტემპერატურის ველისათვის. შესაბამისი რეგრესიის კოეფიციენტები და კრებსითი კორელაციის კოეფიციენტი წარმოდგენილია ცხრილში 9.2.1.

როგორც ცხრილიდან ჩანს კრებსითი კორელაციის კოეფიციენტები საკმაოდ მაღალია, რაც რეგრესიის განტოლებების სამძღობაზე მიუთითებს.

დამუშავდა ტემპერატურის ველის არასტაციონალური მოდელი, რომელშიც (9.2.1)-ს დაემატა ერთი წევრი (ე.შ. ელიზბარაშვილი, M. ე. ელიზბარაშვილი, 2004):

$$T = \alpha_0 + \alpha_1 \varphi + \alpha_2 \lambda + \alpha_3 Z + \alpha_4 \tau, \quad (9.2.2)$$

სადაც τ -დროა, ხოლო α_4 -ტემპერატურის ცვლილების სიჩქარეა საშუალოდ 10 წელიწადში.

მოდელი (9.2.2)-ს და ცხრილ 9.2.2-ს გამოყენებით შედგენილი იქნა პარას ტემპერატურის მოდელური ველი XXI საუკუნის პირველი ნახევრისათვის (ნახ. 9.2.1).

ცხრილი 9.2.1. რეგრესიის და კრებსითი კორელაციის(R) კოეფიციენტები
 (Т.В. Хеладзе, Г.П.Лорткипанидзе, М.Э.Элизбарашвили , 1990)

კოეფიციენტი	თვე												შელი
	I	II	III	IV	V	VI	VII	VIII	IX	X	XI	XII	
α_0	38,4	26,8	1,4	-7,3	-12,0	-11,2	-17,0	-6,6	14,9	38,4	52,6	52,0	14,1
α_1	-0,25	-0,19	0,11	0,10	0,15	0,16	0,20	0,06	0,21	-0,47	-0,53	-0,42	-0,10
α_2	-0,54	-0,10	0,06	0,38	0,55	0,60	0,76	0,66	0,34	-0,06	-0,45	-0,65	0,11
$\alpha_3 * 10^0$	-0,61	-0,63	-0,62	-0,58	-0,56	-0,58	-0,58	-0,57	-0,57	-0,55	-0,56	-0,57	-0,58
R	0,97	0,98	0,99	0,98	0,98	0,98	0,98	0,98	0,98	0,98	0,97	0,96	0,99

ცხრილი 9.2.2. რეგრესიის კოეფიციენტები (9.2.2) –
მოდელისათვის

(Э.Ш.Элизбарашили, М.Э.Элизбарашили, 2004)

კოეფიციენტი ტიპი	თვეები				წელი
	I	IV	VII	X	
α_0 (1)	27,5	44,9	59,9	63,4	47,2
α_0 (2)	34,0	48,5	62,1	65,5	51,3
α_1	0,99	0,037	-0,42	-0,077	0,24
α_2	-1,65	0,82	-0,46	-1,075	-1,04
α_3	-0,0065	-0,0053	-0,0050	-0,0049	-0,0055
α_4 (1)	-0,45	-0,17	0	-0,18	-0,22
α_0 (2)	0,78	0,22	0,25	-0,25	0,18

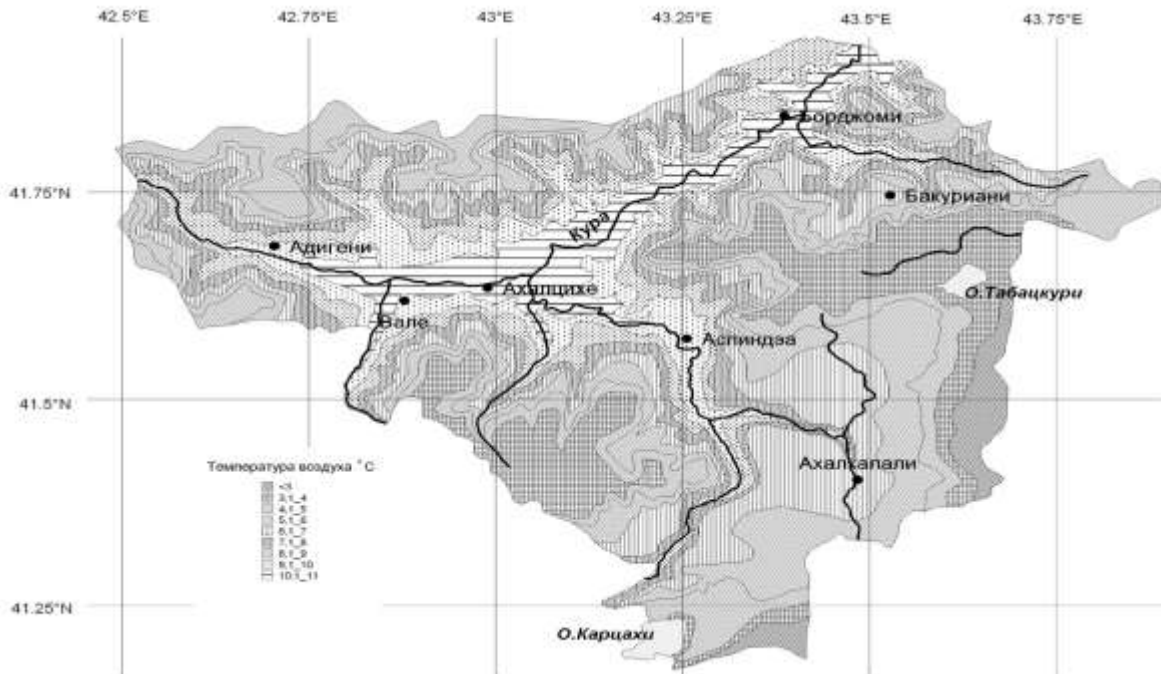
1 -შეესაბამება პუმიდურ ლანდშაფტებს; 2 -შეესაბამება არაპუმიდურ ლანდშაფტებს.

გეოგრაფიული კოორდინატები დაედო საფუძვლად ატმოსფერული ნალექების ველის მოდელირებასაც, იმ განსხვავებით, რომ ამ შემთხვევაში გამოყენებული იყო მეორე რიგის ფუნქციები და მიღებული იყო შემდეგი მოდელი(ე.ელიზბარაშვილი, შ.ელიზბარაშვილი, 2002):

$$Q=58825-39008\bar{\varphi}+6240\bar{\varphi}^2 \quad 22576\bar{\lambda}+11628\bar{\varphi}\bar{X}- \\ 816\bar{\varphi}^2\bar{X}+461\bar{X}^2+1012\bar{\varphi}\bar{X}^2-528\bar{\varphi}^2\bar{X}^2 \quad (9.2.3.)$$

სადაც, $\bar{\varphi}=\varphi-40^0$, $\bar{X}=X-40^0$.

მოდელი(9.2.3) შედგენილია იზოპიეტების რუკის საფუძველზე ბიჯით 0,5 და ცხადია მასში რელიეფი ძალზე ზოგადად არის გათვალისწინებული. ამიტომაც, ის ზუსტად ვერ გამოსახავს ნალექების რაოდენობას კონკრეტულ პუნქტში, არამედ იძლევა მხოლოდ ნალექების ზოგად ფონს და ნალექების განაწილების ზოგად სურათს. განსხვავებანი



ნახ. 9.2.1. XXI საუკუნის პირველი ნახევრისათვის ჰაერის ტემპერატურის მოდელური ველის ფრაგმენტი. სამხრეთ საქართველო (ე.შ.ელიზბარაშვილი, მ.ე.ელიზბარაშვილი, 2004)

მოდელურ და ფაქტურ მონაცემებს შორის განპირობებულია იმ მეზო- და მიკროკლიმატური პირობებით, რაც არ არის გათვალისწინებული მოდელში.

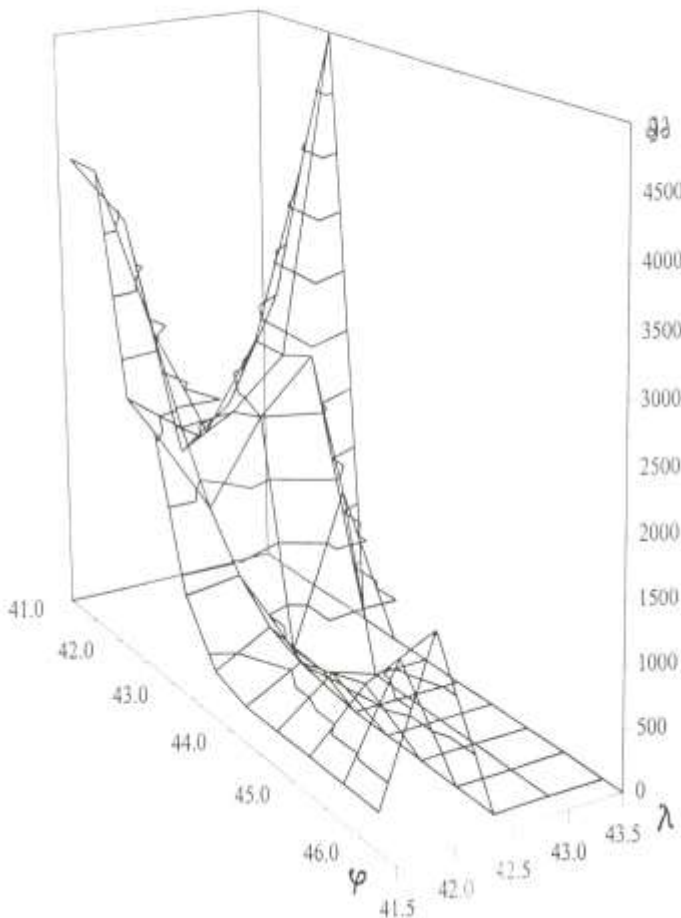
შედარებით კარგი მოდელის მიღება შეიძლება თუ გავზრდით მრავალწევრის რიგს 6-8 მდე, რაც პრაქტიკულად მიზანშეუწონელია, ან მას საფუძვლად დავუდებთ შესაბამის კარტოგრაფიულ საფუძველს, რომლის შედგენა გათვალისწინებულია მომავალში.

მიუხედავად ამისა მიღებული მოდელი სავსებით დამაკმაყოფილებლად ასახავს საქართველოს ტერიტორიაზე ნალექების ფონურ ველს და ამ ველისათვის დამახასიათებელ ძირითად კანონზომიერებებს. ეს კარგად ჩანს ნახ. 9.2.2-ზე წარმოდგენილი მოდელური ველიდან, რომელიც აგებულია 9.2.3- მოდელით. ნახ.9.2.2-ზე წარმოდგენილი მოდელური ზედაპირი ხარისხობრივად გამოსახავს ყველა იმ ძირითად თვისებებს, რაც დამახასიათებელია ატმოსფერული ნალექების სივრცითი განაწილებისათვის საქართველოს ტერიტორიაზე.

კერძოდ, ნალექების დაბალი დონე კოლექტის სანაპირო ზოლში აჭარასა და აფხაზეთთან შედარებით, ნალექების კლება აღმოსავლეთ საქართველოში და შემდეგ ზრდა აღმოსავლეთ კავკასიონზე, აგრეთვე ძალიან მცირე ნალექები შირაქის ვაკეზე და ნალექების კლება მთათუშეთში, და ა.შ.

ატმოსფერული ნალექების სივრცითი ველის მოდელური ფუნქცია(9.2.3) საშუალებას იძლევა განვსაზღვროთ ველის გასამუალოებული სიდიდეები და შესაბამისად ატმოსფეროდან მოსული ნალექების საერთო რაოდენობა ტერიტორიის ნებისმიერ მონაკვეთზე.

ინტეგრალური აღრიცხვის ელემენტალური მოსაზრებებიდან გამომდინარე რამე S ტერიტორიაზე



ნახ.9.2.2. ატმოსფერული ნალექების წლიური ჯამების
მოდელური ველი
საქართველოს ტერიტორიისათვის
(ე.ელიზბარაშვილი შ.ელიზბარაშვილი, 2002)

მოსული ატმოსფერული ნალექების საშუალო რაოდენობა განისაზღვრება ფორმულით:

$$\bar{Q}(S) = \frac{1}{S} \iint_S Q d\bar{\lambda} \cdot d\bar{\varphi} \quad (9.2.4.)$$

თუ ამ ფორმულაში ჩავსვამთ ნალექების (9.2.3) მოდელის გამოსახულებას და S -ტერიტორიის საზღვრებს გამოვსახავთ გეოგრაფიული გრძელის და განედის საშუალებით, მაშინ მივიღებთ:

$$\begin{aligned} \bar{Q}(S) &= \frac{1}{(\bar{\lambda}_2 - \bar{\lambda}_1)(\bar{\varphi}_2 - \bar{\varphi}_1)} = \\ &= \iint_{\substack{\bar{\lambda}_1 \bar{\varphi}_1 \\ \bar{\lambda}_2 \bar{\varphi}_2}} (58825 - 39008\bar{\varphi} + 6240\bar{\varphi}^2 - 22576\bar{\lambda} + \\ &+ 11628\bar{\varphi}\bar{\lambda} - 816\bar{\varphi}^2\bar{\lambda} + 461\bar{\lambda}^2 + 1012\bar{\varphi}\bar{\lambda}^2 - 528\bar{\varphi}^2\bar{\lambda}^2) d\bar{\lambda} d\bar{\varphi}, \end{aligned} \quad (9.2.5.)$$

სადაც, $\bar{\varphi} = \varphi - 40$ და $\bar{\lambda} = \lambda - 40$.

(9.2.5) ფორმულით გამოთვლილი შედეგები დასავლეთ და აღმოსავლეთ საქართველოსათვის ცალ-ცალკე წარმოდგენილია ცხრილში 9.2.3.

ცხრილი 9.2.3. ნალექების გასაშუალოებული სიდიდე $\bar{Q}(S)$ და წყლის მთლიანი მოცულობა $\bar{Q}(S) \cdot S$.

რაიონი	$\bar{Q}(S)$ მმ	$\bar{Q}(S) \cdot S \beta^3$
დასავლეთ საქართველო	1700	65
აღმოსავლეთ საქართველო	900	29
საქართველო	1350	94

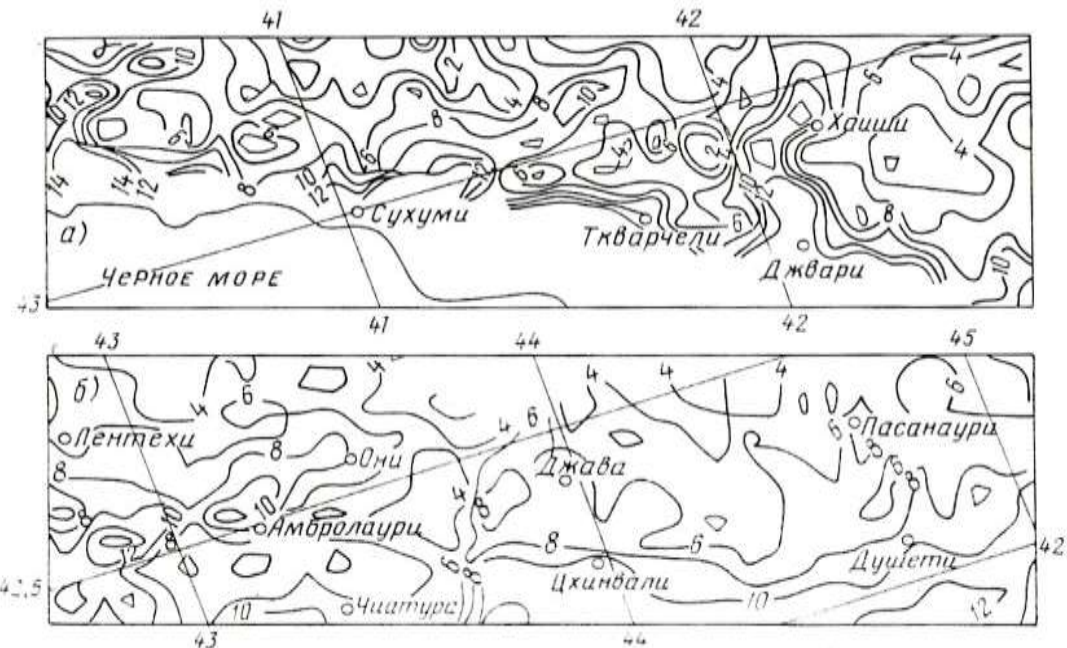
როგორც ცხრილიდან ჩანს წლიური ნალექების სივრცეში გასაშუალოებული სიდიდე დასავლეთ საქართველოში შეადგენს 1700მმ-ს, ხოლო აღმოსავლეთ საქართველოში -900მმ-ს. თუ გადავიანგარიშებთ

ფართობზე მივიღებთ, რომ წლის განმავლობაში ატმოსფეროდან დასავლეთ საქართველო ღებულობს 65კუბ, კმ. წყალს, ხოლო აღმოსავლეთ საქართველო-29 კუბ. კმ. წყალს, მთლიანად საქართველო-94 კუბ.კმ. წყალს. ატმოსფეროდან მოსული წყლის რესურსების ასეთი შეფასებები მოხერხდა მხოლოდ ატმოსფერული ნალექების ველის მათემატიკური მოდელის ავების საფუძველზე.

ანალოგიური გაანგარიშებებით მიღებულია, რომ აჭარის ტერიტორიაზე წლის განმავლობაში მოსული წყლის საერთო მოცულობა 6,1კუბ.კმ-ს შეადგენს, ხოლო ატმოსფერული ნალექების გასაშუალოებული მნიშვნელობა დაახლოებით 2110მმ-ია (ე.შ.ელიზბარაშვილი, დ.ნ.კერესელიძე, შ.ე.ელიზბარაშვილი, 2006).

გეოგრაფიული კოორდინატები ვერ უზრუნველყოფს მოდელში რთული დანაწევრებული რელიეფის სრულ გათვალისწინებას. ეს შესაძლებელი ხდება მხოლოდ იმ შემთხვევაში თუ მოდელში გათვალისწინებული იქნება რელიეფის მორფომეტრული ფაქტორები. ასეთი მიდგომა განხორციელებული იყო ტემპერატურისა და ნალექების ველების სტატისტიკური მოდელირებისას (ე.შ.ელიზბარაშვილი, თ.ბ.ხელაძე, 1988, 1989), რამაც აგრეთვე კარგი შედეგი გამოიიღო (ნახ. 9.2.3).

აღნიშნული მოდელის შედგენისას გათვალისწინებული იყო ისეთი მორფომეტრული მახასიათებლები, როგორებიცაა პუნქტის შეფარდებითი დაშორება მთის სისტემის საზღვრიდან, ადგილმდებარეობა ხეობის გასწრივ და განივ ღერძებზე, ხეობის პროფილი, რელიეფის ვერტიკალური დანაწევრება, ქედების ეკრანირება და სხვ.



ნახ 9.2.3 პარენის საშუალო წლიური ტემპერატურის მოდელური ველის ფრაგმენტები. $^{\circ}\text{C}$.
 (Э.Ш.Элизбарашвили, Т.В.Хеладзе, 1988)

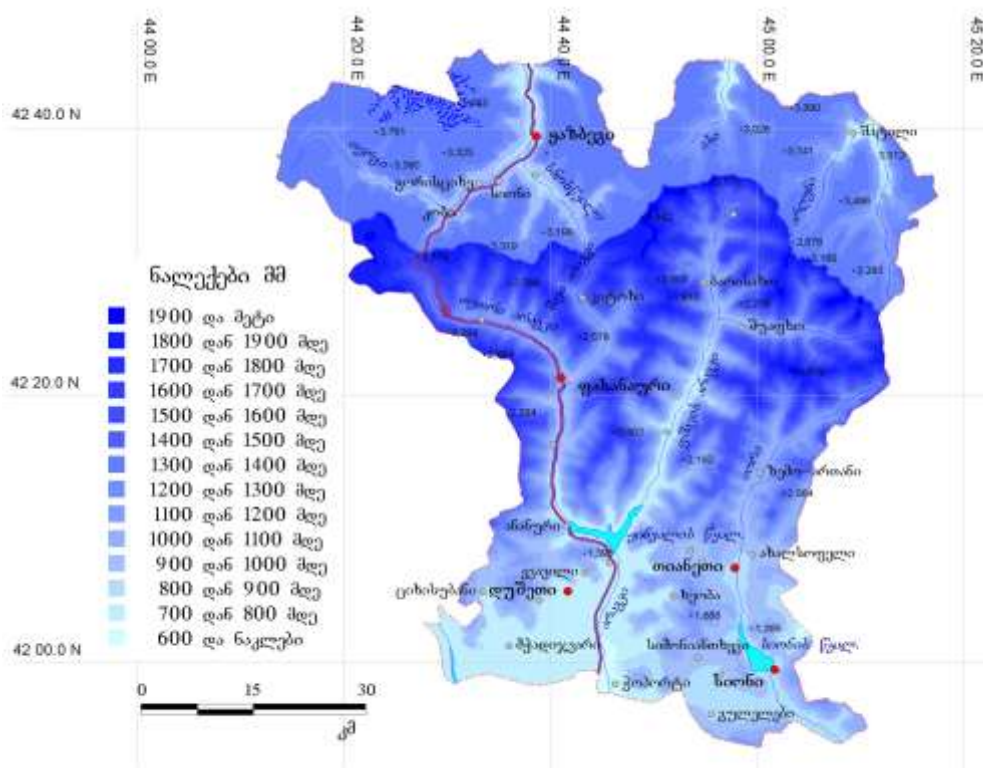
9.3. კლიმატური ველების გეოინფორმაციული კარტოგრაფირება

თანამედროვე პირობებში მსოფლიოს განვითარებულ ქვეყნებში დიდ ინტერესს იჩინენ გეოინფორმაციული ტექნოლოგიების მიმართ, რასაც კარტოგრაფია ხარისხობრივად ახალ საფეხურზე გადაჰყავს. საქართველოს პირობებში კლიმატური ველების გეოინფორმაციული კარტოგრაფირება სრულიად ახალი მიმართულებაა, თუმცა გარკვეული შედეგები უკვე სახეზეა (ე.შ.ელიზბარაშვილი, M.ე.ელიზბარაშვილი, 2004; შ.ე.ელიზბარაშვილი, 2005,2006).

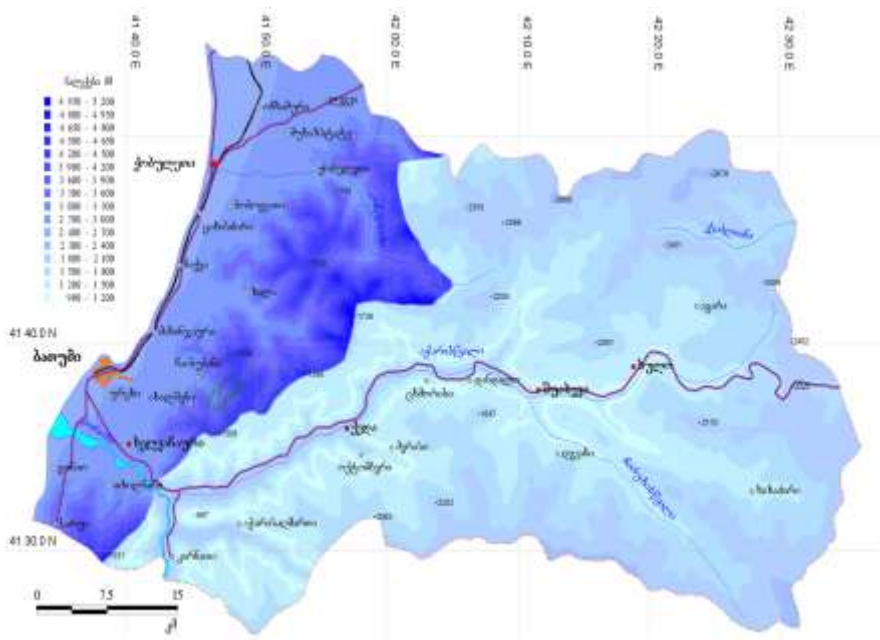
კლიმატური ველების გეოინფორმაციული კარტოგრაფირება რამოდენიმე ეტაპს მოიცავს: ტოპოგრაფიული რუკის საფუძველზე ციფრული კარტოგრაფიული საფუძვლის შექმნა; კლიმატური ელემენტის ვერტიკალური განაწილების მოდელირება; რელიეფის წერტილოვანი ფენის შექმნა; რიგი პროცედურების ჩატარება, რომლებიც უკავშირდება კლიმატური ელემენტის მნიშვნელობათა გადათვლას წერტილოვანი ობიექტებისათვის, იზოხაზების ავტომატურ რეჟიმში კარტოგრაფირებას, ტოპოლოგიური უზუსტობების შესწორებას, ხაზოვანი ფენის საფუძველზე პოლიგონალური ფენის და ბოლოს თემატური რუკის შედგენას. ამ პროცედურების გათვალისწინებით მიღებული იყო პარის და ნიადაგის ზედაპირის ტემპერატურების, აგრეთვე ატმოსფერული ნალექების გეოინფორმაციული რუკები. ატმოსფერული ნალექების გეოინფორმაციული რუკის ფრაგმენტები წარმოდგენილია ნახ.9.3.1-ზე.

ცხადია, რომ ასეთი მეთოდით მიღებული რუკები დიდი ინფორმატიულობით და სიზუსტით ხსიათდებიან, რადგანაც მათი შედგენისას გათვალისწინებულია რელიეფის მორფომეტრიის მთელი სირთულე.

ა)

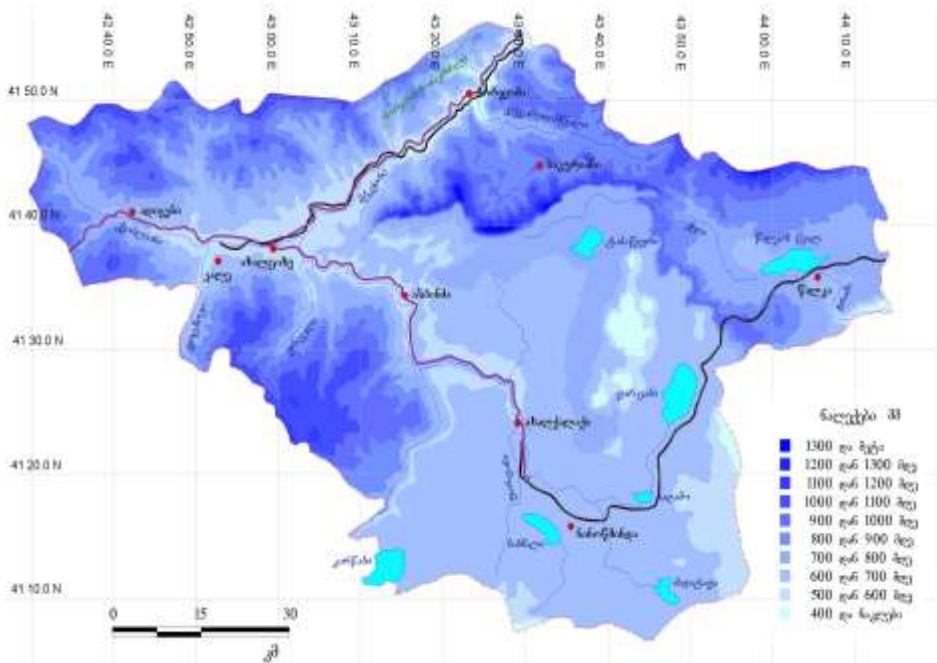


δ)



გ)

ნახ. 9.3.1. ატმოსფერული ნალექების გეოინფორმაციული



რუკის ფრაგმენტები: а)-ცენტრალური კავკასიონი; ბ)-აჭარის ავტონომიური რესპუბლიკა; გ)-სამხრეთ საქართველო;
(შ.ე.ელიზბარაშვილი, 2005,2006)

თავი 10. კლიმატური რაიონები და ამინდის კლასები

10.1. საქართველოს კლიმატური დარაიონება

მ.კორძახიას მიხედვით

საქართველოს პირველი კლიმატური დარაიონება შეასრულა მ.კორძახიამ 1946 წელს. დარაიონებას მან საფუძვლად კიოპენის ჰავათა კლასიფიკაცია დაუდო. მ.კორძახიამ საქართველოს ტერიტორიაზე ორი ცირკულაციურ-კლიმატური ოლქი -დასავლეთის, რომელიც ნოტიო სუბტროპიკული ჰავით ხასიათდება და აღმოსავლეთის-სუბტროპიკული კონტინენტური ჰავით, და ერთი სამხრეთ საქართველოს მთიანეთის მშრალი სუბტროპიკებიდან ზომიერად ნოტიოში გარდამავალი ჰავის ქვეოლქი გამოყო. დარაიონება მოიცავს ჰავის 22 ტიპს (ნახ.10.1.1).

დასავლეთ საქართველოში:

1. ზღვიური ნოტიო ჰავა რბილი, თბილი, უთოვლო ზამთრით და ცხელი ზაფხულით;

2. საკმარისად ნოტიო ჰავა ზომიერად ცივი ზამთრით და შედარებით მშრალი ცხელი ზაფხულით;

3. ნოტიო ჰავა ზომიერად ცივი ზამთრით და ხანგრძლივი თბილი ზაფხულით;

4. ნოტიო ჰავა ზომიერად ცივი ზამთრით და ხანმოკლე თბილი ზაფხულით;

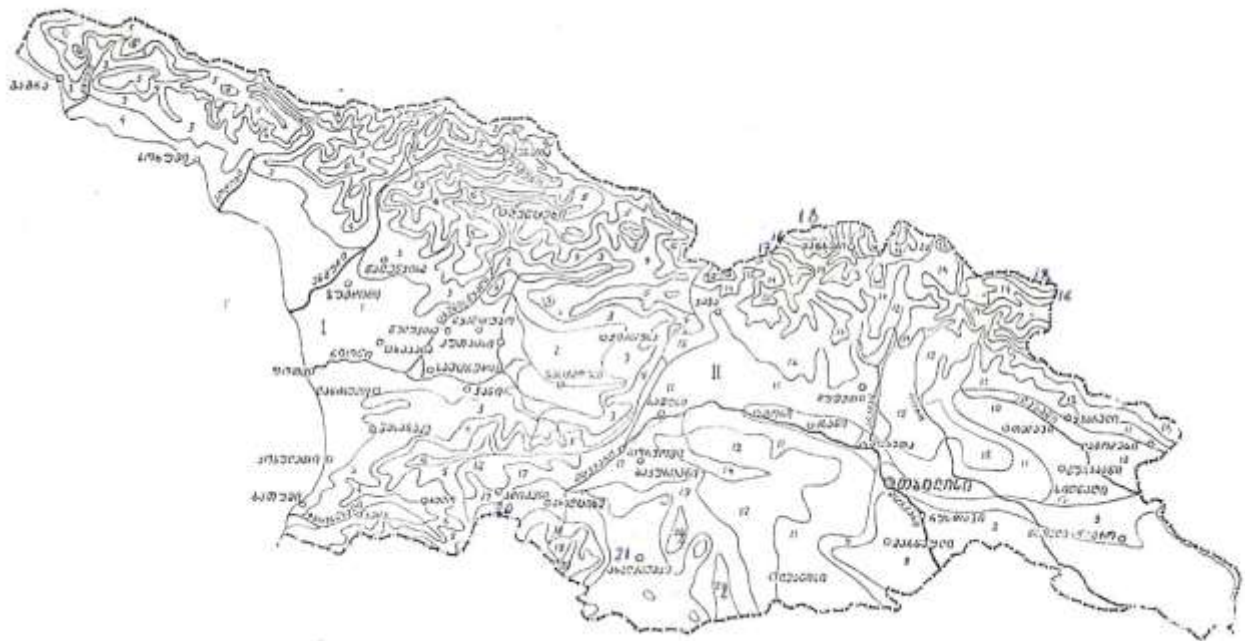
5. ნოტიო ჰავა ცივი, თოვლიანი ზამთრით და ხანმოკლე თბილი ზაფხულით;

6. მაღალმთიანი ნოტიო ჰავა ნამდვილი ზამთრის პერიოდის გარეშე;

7. უხვი მუდმივი თოვლის და მყინვარების მაღალმთიანი ნოტიო ჰავა;

აღმოსავლეთ საქართველოში:

8. ზომიერად თბილი სტეპების ჰავა ცხელი ზაფხულით;



ნახ.10.1.1. საქართველოს კლიმატური დარაიონება მ.კორძახიას მიხედვით.
აღნიშვნები იხ.ტექსტში

9. ზომიერად თბილი სტეპების ჰავიდან ზომიერად ნოტიოში გარდამავალი ჰავა;
10. ზომიერად ნოტიო ჰავა ზომიერად ცივი ზამთრით და ცხელი ზაფხულით;
11. ზომიერად ნოტიო ჰავა ცივი ზამთრით და ხანგრძლივი თბილი ზაფხულით;
12. ზომიერად ნოტიო ჰავა ცივი ზამთრით და ხანგრძლივი გრილი ზაფხულით;
13. ნოტიო ზღვიურიდან ზომიერად ნოტიო კონტინენტურში გარდამავალი ჰავა ცივი თოვლიანი ზამთრით და ხანგრძლივი ზაფხულით;
14. ნოტიო ზღვიურიდან ზომიერად ნოტიო კონტინენტურში გარდამავალი ჰავა ცივი თოვლიანი ზამთრით და ხანმოკლე ზაფხულით;
15. ზომიერად ნოტიო ჰავა ცივი ზამთრით და ხანმოკლე ზაფხულით;
16. მაღალმთიანი ზომიერად ნოტიო ჰავა ნამდვილი ზაფხულის პერიოდის გარეშე;
17. მუდმივი თოვლისა და მყინვარების მაღალმთიანი ჰავა;
- საშერეთ საქართველოში:**
18. ზომიერად ნოტიო მთიანეთის სტეპებზე გარდამავალი ჰავა;
19. მთიანეთის სტეპების ჰავა ცივი მცირეთოვლიანი ზამთრით და ხანგრძლივი თბილი ზაფხულით;
20. მთიანეთის სტეპების ჰავა ცივი მცირეთოვლიანი ზამთრით და ხანგრძლივი გრილი ზაფხულით;
21. მთიანეთის სტეპების ჰავა ცივი ზამთრით და ხანმოკლე ზაფხულით;
22. მაღალი მთიანეთის ზომიერად მშრალი ჰავა ზაფხულის ნამდვილი პერიოდის გარეშე.

10.2. საქართველოს კლიმატური დარაიონება გ.ჭირაქაძის მიხედვით

გ.ჭირაქაძემ სპეციალურად გამოყენებითი
მიზნებისათვის ჩაატარა საქართველოს ახალი კლიმატური
დარაიონება. დარაიონებას მან საფუძვლად დაუდო შემდეგი
კრიტერიუმები:

1.საქართველოსათვის დამახასიათებელი ატმოსფეროს
ცირკულაციური პროცესები;

2.ცალკეული რაიონების ფიზიკურ-გეოგრაფიული
თავისებურებები;

3.საქართველოს გეოგრაფიული მდებარეობა;

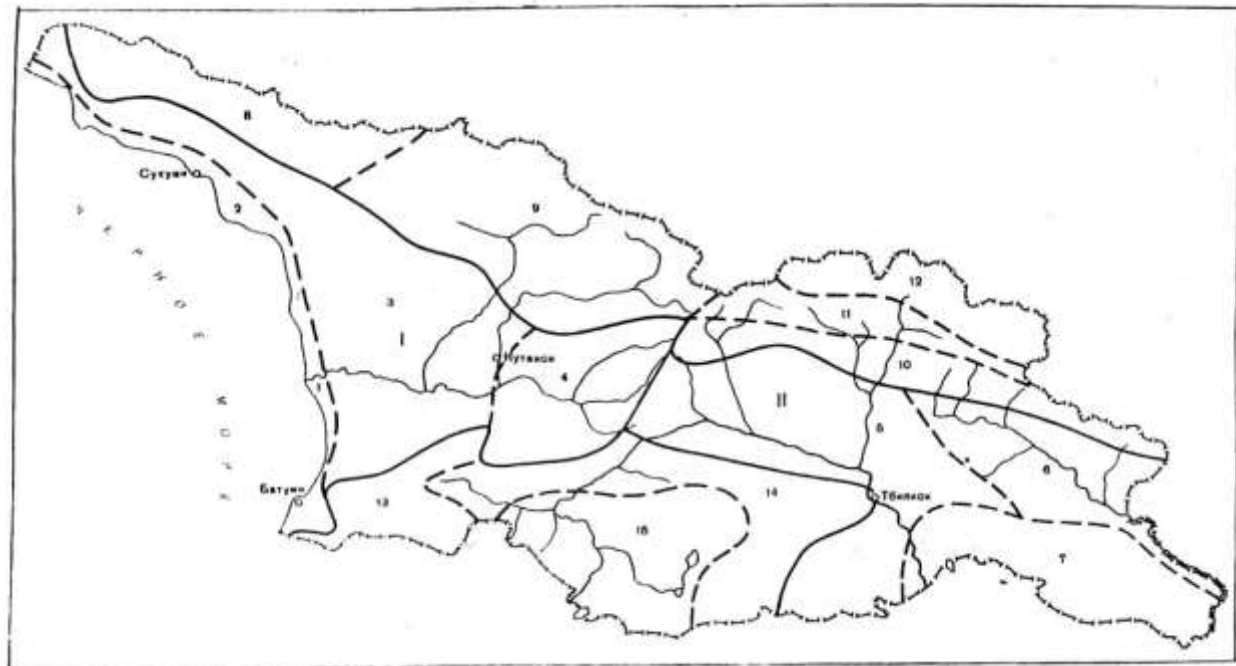
4.საქართველოს რადიაციული რეჟიმი;

5.ძირითადი კლიმატური ელემენტების რეჟიმული
მახასიათებლები.

ჩატარებული დარაიონების სქემა წარმოდგენილია
ნახ.10.2.1-ზე.

რაიონი 1. შავი ზღვის სანაპიროს სამხრეთი ნაწილი.
ხასიათდება ნოტიო სუბტროპიკული ჰავით, ჭარბი
დატენანებით და მაღალი ტემპერატურული ფონით. ზამთარი
თბილია, ზაფხული ზომიერად ნოტიო. რაიონის აერაციაში
დიდ როლს ასრულებს ბრიზული ცირკულაცია. ნალექების
წლიური ჯამი $1700-2700$ მმ-ია, მაქსიმუმი შემოდგომა-
ზამთარზე მოდის. იანვრის საშუალო ტემპერატურა $5-7^0$ -ია,
ივლისის- $22-24^0$, საშუალო წლიური- $13-15^0$.

რაიონი 2. შავი ზღვის სანაპიროს სამხრეთი ნაწილი.
ჰავა აგრეთვე ნოტიო სუბტროპიკულია. განვითარებულია
ბრიზული ცირკულაცია და ფიონური ეფექტი. ნალექების
წლიური ჯამი $1400-1500$ მმ-ს შეადგენს. იანვრის საშუალო
თვიური ტემპერატურა $4-6^0$, ივლისის- $22-24^0$, ნოლო
საშუალო წლიური- $14-15^0$



ნახ.10.2.1. საქართველოს კლიმატური დარაიონება გ.ჭირაქაძის(1971) მიხედვით.
აღნიშვნები იხ. ტექსტში

რაიონი 3. დასავლეთ საქართველოს შიდა ვაკე ნაწილი. რაიონი ინარჩუნებს სუბტროპიკული ჰავის ნიშნებს, ტენის მცირე დეფიციტით. ბრიზები ხმელეთში ღრმად აღწევნ, შეიმჩნევა ფიონების მოქმედება. ნალექების წლიური ჯამი 1400-2200მმ-ია, მაქსიმუმით შემოდგომასა და ზამთარში. იანვრის საშუალო თვიური ტემპერატურაა $4\text{--}6^0$, ივლისის- $21\text{--}23^0$, ხოლო საშუალო წლიური ტემპერატურა- $12\text{--}14^0$.

რაიონი 4. იმერეთის მასივი. ზღვის გავლენა ჰავაზე კლებულობს, კლებულობს აგრეთვე ნალექების რაოდენობა($800\text{--}1300\text{მმ}$). რაიონში მოქმედებს ფიონური და ძლიერი აღმოსავლეთის ქარები. იქნება მდგრადი თოვლის საფარი. იანვრის საშუალო ტემპერატურა ბარში შეადგენს $3\text{--}4^0$ -ს, მთაში- 0 მინუს 3^0 -ს. ივლისის ტემპერატურა შესაბამისად $22\text{--}23^0$ და $15\text{--}16^0$ -ია, ხოლო საშუალო წლიური ტემპერატურა- $7\text{--}14$ -ია.

რაიონი 5. ზემო და ქვემო ქართლის ვაკე მთისწინეთით. დატენიანება აღმოსავლეთით თანდათან კლებულობს. ყველაზე მშრალი სეზონი ზამთარია, ნალექიანი-გაზაფხულია. თოვლის საფარი არამდგრადია. ნალექების წლიური ჯამი დასავლეთში $600\text{--}800\text{მმ-ია}$, აღმოსავლეთში- $400\text{--}500\text{მმ}$. იანვრის საშუალო თვიური ტემპერატურაა 0 მინუს 2^0 , ივლისის- $20\text{--}24^0$, ხოლო საშუალო წლიური- $10\text{--}13^0$.

რაიონი 6. ალაზნის ველი მთისწინეთით. რაიონი ხასიათდება ზომიერი დატენიანებით. ტენის დეფიციტი აღინიშნება ზამთარსა და შემოდგომაზე. ნალექების წლიური ჯამი დაბლობში შეადგენს 400მმ-ს , ხოლო კახეთის კავკასიონზე $1000\text{--}1100\text{მმ-მდე}$ იზრდება. იანვრის საშუალო თვიური ტემპერატურაა 0 მინუს 2^0 , ივლისის- $23\text{--}24^0$, ხოლო საშუალო წლიური ტემპერატურა- $11\text{--}13^0$. მდგრადი თოვლის საფარი არ წარმოიქმნება.

რაიონი 7. იორის ზეგანი მიმდებარე ველებით. რაიონს ახასიათებს მნიშვნელოვანი სიმშრალე და სითბოს სიუხვე. ნალექების უდიდესი რაოდენობა მოდის გაზაფხულზე, უმცირესი-ზამთარში. ნალექების წლიური ჯამი $400\text{--}600\text{მმ-ს}$ შეადგენს. იანვრის საშუალო თვიური ტემპერატურაა 0

მინუს 2^0 , ივლისის-22-24 0 , ხოლო საშუალო წლიური ტემპერატურა-10-12 0 .

რაიონი 8. დასავლეთ კავკასიონის პერიფერიული ნაწილი. რაიონი იმყოფება ზღვის გავლენის ქვეშ, მკვეთრად არის გამოხატული ჰავის ვერტიკალური ზონალობა. თოვლის საფარი მდგრადია 90-250 დღის განმავლობაში. ნალექების წლიური ჯამი 1100-2200მმ-ია. იანვრის საშუალო თვიური ტემპერატურაა მინუს $2-7^0$, ივლისის-14-19 0 , მაღალმთიან ზონაში ივლისის ტემპერატურა კლებულობს $6-8^0$ -მდე. საშუალო წლიური ტემპერატურა 10-დან მინუს 4^0 -მდე იცვლება.

რაიონი 9. დასავლეთ კავკასიონის შიდა ნაწილი. რაიონისათვის დამახასიათებელია ზომიერი დატენანება. მკვეთრად გამოხატულია ფიონური ეფექტი. ნალექების წლიური ჯამი 900-1200მმ-ია, მაქსიმუმი დამახასიათებელია შემოღომისა და ზამთრისათვის. იანვრის საშუალო თვიური ტემპერატურა მთისწინეთში მინუს $2-6^0$ -ია, ხოლო მაღალმთიან რაიონში-მინუს 12^0 -ია. ივლისში ტემპერატურა $7-20^0$, ხოლო საშუალო წლიური ტემპერატურა მინუს $2-3^0$ -იუს 6^0 -ია.

რაიონი 10. აღმოსავლეთ კავკასიონის მთისწინეთი და საშუალო მთიანეთი. რაიონის ტერიტორია იუარება მდგრადი თოვლის საფარით. მყარი ნალექების ხვედრითი წილი 30-40%-ს შეადგენს. ნალექების წლიური ჯამი 900-1100მმ-ია. იანვრის საშუალო თვიური ტემპერატურაა მინუს $3-6^0$, ივლისის-17-18 0 , ხოლო საშუალო წლიური ტემპერატურა $7-8^0$.

რაიონი 11. აღმოსავლეთ კავკასიონის მაღალმთიანეთი. დატენანება რამდენამდე იზრდება, ხანგრძლივია თოვლის საფარის არსებობა(100-200 დღე). მყარი ნალექების ხვედრითი წილი 70-80%-ია. იანვრის საშუალო თვიური ტემპერატურაა მინუს $5-11^0$, ივლისის-10-16 0 , ხოლო საშუალო წლიური ტემპერატურაა 0 მინუს 6^0 -ია.

რაიონი 12. კავკასიონის ჩრდილოეთ ფერდობები. რაიონი გამოიჩინა განსაკუთრებული კონტინენტურობით და ზომიერი დატენაიანებით. ნალექების მინიმუმი ზამთარში, მაქსიმუმი-გაზაფხულსა და ზაფხულში მოდის.

მნიშვნელოვანია მყარი ნალექების ხვედრითი წილი. მდგრადი თოვლის საფარი გრძელდება 120-160 დღის განმავლობაში. ნალექების წლიური ჯამი 700-1000მმ-ია. იანვრის საშუალო თვიური ტემპერატურაა მინუს 6-10⁰, ივლისის-12-14⁰, საშუალო წლიური ტემპერატურა-4-დან მინუს 5⁰-მდე იცვლება.

რაიონი 13. სამხრეთ საქართველოს მთიანეთის დასავლეთი ნაწილი. რაიონი განიცდის შავი ზღვის და დასავლეთის ნაკადების გავლენას. ხასიათდება თოვლის მდგრადი საფარით, მაღალმთიან ზონაში მისი ხანგრძლივობა 180-200, ხოლო საშუალი მთის ზონაში-60-70 დღეა. გააქტიურებულია ბრიზული და მთა-ბარის ცირკულაცია, განვითარებულია ფიონური ეფექტი. ნალექების წლიური ჯამი 1200-1600მმ-ია. იანვრის თვის საშუალო ტემპერატურა დაახლოვებით მინუს 5-ია, ივლისის-13-19⁰, ხოლო საშუალო წლიური ტემპერატურა 4-10⁰.

რაიონი 14. მესხეთის და თრიალეთის ქედების სამხრეთი ფერდობები. რაიონი ხასიათდება ზომიერი დატენინებით. ყველაზე მშრალი პერიოდებია შემოდგომა და ზამთარი. მაღალმთიან ზონაში მდგრადი თოვლის საფარის ხანგრძლივობა 150-170 დღეა. წლის განმავლობაში მოდის 600-800მმ ნალექი. იანვრის საშუალო თვიური ტემპერატურაა მინუს 2-7⁰, ივლისის-14-20⁰, ხოლო საშუალო წლიური ტემპერატურაა-4-9⁰-ია.

რაიონი 15. სამხრეთ საქართველოს მთიანეთის სამხრეთი ნაწილი. რაიონი განიცდის ნალექების დეფიციტს. მკვეთრად გამოხატულია ჰავის კონტინენტურობა. თოვლის საფარი ხანგრძლივია, მაგრამ მცირე სიმძლავრისაა. ნალექების წლიური ჯამი 500-700მმ-ია. იანვრის საშუალო თვიური ტემპერატურაა მინუს 2-7⁰, ივლისის-13-20⁰, ხოლო საშუალო წლიური ტემპერატურაა-3-9⁰.

10.3. ამინდის ძირითადი კლასები

ამინდების მთელი მრავალფეროვნება ფიოდოროვ-ჩუბუკოვის კლასიფიკაციის თანახმად გაერთიანებულია სამ ჯგუფში: უყინვო, ტემპერატურის გადასვლით 0°C -ზე და ყინვიანი. ეს ჯგუფები აერთიანებენ ამინდის 16 კლასს.

ძ-ძრი და ზრ კლასები მიეკუთვნებიან უყინვო ამინდებს, ძირი და რუ კლასები – ამინდებს ტემპერატურის 0°C -ზე გადასვლით, ხოლო X-XV კლასები – ყინვიან ამინდებს (ცხრილი 10.3.1).

უყინვო ამინდებში, რომლებიც უმეტეს შემთხვევაში დაკავშირებულია დაღებით რადიაციულ ბალანსთან, შეიძლება გამოიყოს მზიანი და ღრუბლიანი ამინდი(ძ-ძრი კლასები), რომელიც წარმოიქმნება ანტიციკლონის პირობებში და მეტეოროლოგიური ელემენტების სწორი დღე-ღამური სვლით ხასიათდება. მასთან კარგადაა ადაპტირებული ადამიანის ორგანიზმი.

ს კლასის ამინდი (მზიანი, მოლრუბლული ღამით) ხშირად განპირობებულია ატმოსფერული ფრონტის გავლით ღამით, ხოლო ზღვისპირა რაიონებში, ერთგვაროვანი ჰაერის მასის პირობებშიც – ღამით წლის თბილ პერიოდში არამდგრადობის წარმოშობით ხმელეთიდან შედარებით უფრო თბილი ზღვის ზედაპირზე.

ცხრილი 10.3.1. ამინდის კლასების კლიმატორეგული შეფასება ჯანმრთელი ადამიანის ყოფნისათვის და ჰაერზე შეზღუდველად, ხაწილობრივი შეზღუდვით და შეზღუდვით დასვენებისა და ტურიზმის თვალსაზრისით (ესეხიშვილი)

შეზღუდული	
რ კლასი	ძალიან მშრალი და ძალიან ცხელი (საშუალო ინტენსიური, ინტენსიური, მკაცრი, უკიდურესად მკაცრი).
რ და ს კლასები	მოლუბლული დღისით, მცირელრუბლიანი ღამით და ღრუბლიანი ღამით, მოწმენდილი დღისით, ნალექი დღისით და ღამით $\geq 10\text{მმ}$. ძალიან ცხელი და ძალიან ნოტიო (ნოტიო ტროპიკული).
სარ კლასი	ძალიან ცხელი და ძალიან ნოტიო (ნოტიო ტროპიკული). ∇ ვიმიანი, ღრუბლიანი და ტემპერატურის გადასვლით 0°-ზე , ნალექები დღისით $\geq 1 \text{ მმ}$, ღამით $\geq 10 \text{ მმ}$.
სარ და ს კლასები	ძლიერ ყინვიანი, ქარის სიჩქარე $\geq 4 \text{ მ/წმ-ის}$ დროს. მკაცრი და უკიდურესად ყინვიანი

ყველა კლასისათვის ერთ-ერთი ატმოსფერული მოვლენის დროს:

- ა) ქარის სიჩქარე ფლუგერით $\geq 9 \text{ მ/წმ}$;
- ბ) ნისლი დღისით 3 საათზე მეტი ხანგრძლივობით;
- გ) ინტენსიური ჭექა-ჭეხილი;
- დ) მტვრიანი ქარბუქი;
- ე) თოვლჭყაპი $\geq 1 \text{ მმ}$, ღამით $\geq 10\text{მმ}$;
- ვ) ლიპყინვა.

ნაწილობრივ შეზღუდული	
მაღასი რა კლასი რა კლასი მარტ კლასი სარტ კლასი ყველა კლასისათვის	ძალიან მშრალი და ძალიან ცხელი, სუსტი ინტენსივობით. დღისით მოღრუბლული, ღამით მცირედრუბლიანი, ნალექი დღისით 1.1 – 10.0 მმ. წვიმიანი, ნალექი ღამით 1-დან 10 მმ-მდე. ძლიერ ყინვიანი ქარის სიჩქარის ≤ 4 მ/წმ დროს. ყველა კლასისათვის ქარის სიჩქარე ფლუგერით 7-8 მ/წმ
შეზღუდვები	
მაღასი რა კლასი რა კლასი მარტ კლასი სარტ კლასი მარტ და მარტ კლასები სუ კლასი ს, სარტ და სარტ კლასები	ზომიერად მშრალი. მცირედრუბლიანი. დღისით მოღრუბლული, ღამით მცირედრუბლიანი, ნალექები <1 მმ. ღამით ღრუბლიანი უნალექოთ. მოღრუბლული უნალექოთ. წვიმიანი და ამინდი ტემპერატურის გადასვლით 0° -ზე, მოღრუბლული დღისით <1 მმ ნალექის დროს. მზიანი ამინდი ტემპერატურის გადასვლით 0° -ზე. ყინვიანი ამინდები ქარის სიჩქარე 0-6 მ/წმ ამინდის ყველა კლასისათვის

დღისით მოღრუბლული ამინდი (ძველასი) უნალექოდ და ნალექით აღინიშნება ფრონტის გავლის დროს მოცემულ ტერიტორიაზე, მაგრამ უფრო ხშირად დაიკვირვება პაერის მასის ტრანსფორმაციის პერიოდში (გათბობის), რომელიც მიმდინარეობს შედარებით დაბალ ენერგეტიკულ ბაზაზე, რაც დამახასიათებელია შუა განედების სარტყლისათვის წლის თბილ პერიოდში.

მოღრუბლული (ძველასი) და მითუმეტეს წვიმიანი (ძარი კლასი) ამინდი, ჩვეულებრივ, ფრონტალური წარმოშობისაა და თან სდევს უმეტესი მეტეოროლოგიური ელემენტების არაპერიოდული ცვალებადობა, რომლის დროსაც წარმოშობა მეტეორპატიური რეაქციები და მწვავდება ზოგიერთი ქრონიკული ავადმყოფობა.

ძალიან ცხელი და ძალიან ნოტიო ამინდი (ნოტიოტროპიკული) (ძარი კლასი), დღე-ღამური ტემპერატურით უ 22.5°C და საშუალო დღე-ღამური შეფარდებითი სინოტივით უ 80%, დამახასიათებელია სითბოსა და სინოტივის ერთობლივი სიჭარბით.

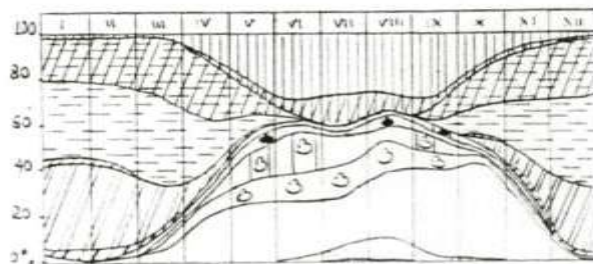
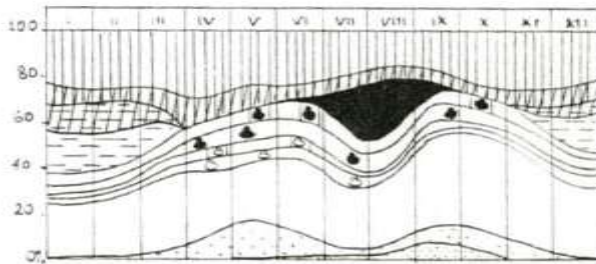
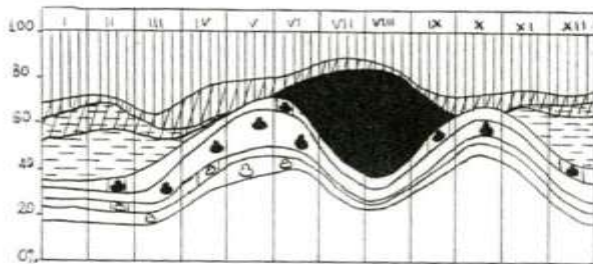
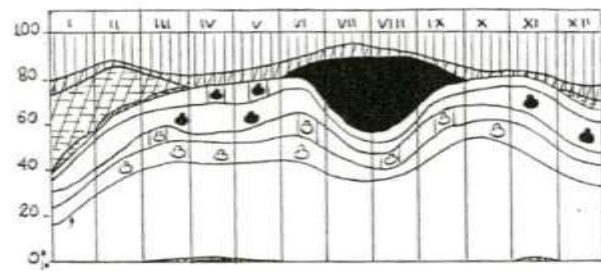
ამინდი, როცა ტემპერატურა გადადის 0°C-ზე ჩვეულებრივ შეესაბამება პირობებს, როცა დღე-ღამური რადიაციული ბალანსი ახლოსაა წლიურთან და შეიძლება იყოს როგორც ღრუბლიანი (ძარი კლასი), ისე მზიანი (ძარი კლასი).

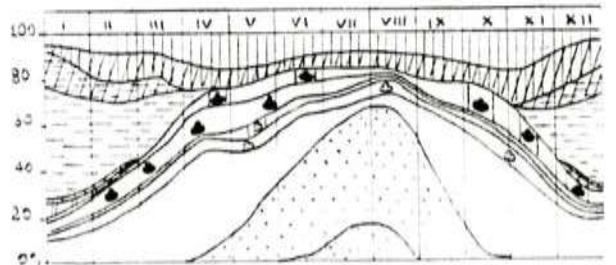
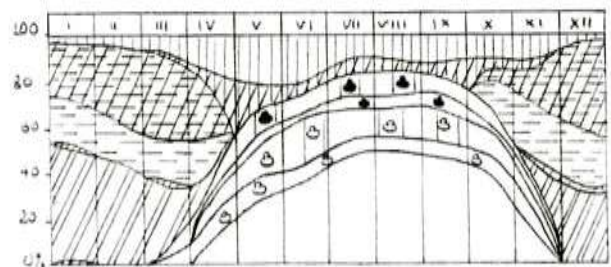
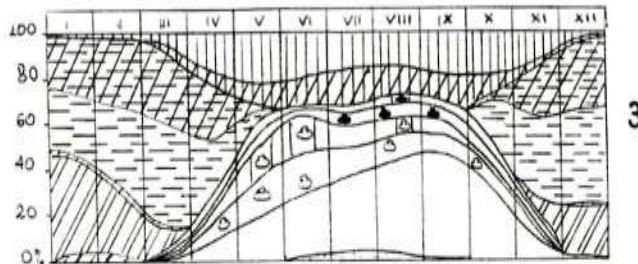
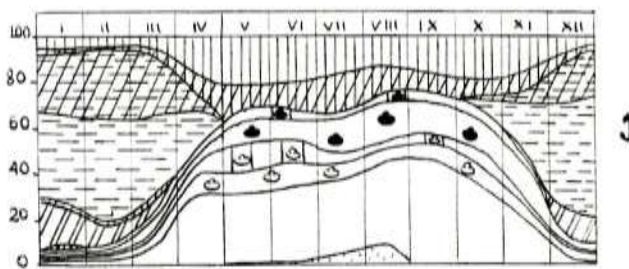
ძარი კლასის ამინდი, ხშირად ნალექით და ქარით, ჩვეულებრივ განპირობებულია ატმოსფერული ფრონტის გავლით. ამიტომ, ასეთი ამინდის დროს, განსაკუთრებით შემოდგომით, შეიძლება წარმოიშვას უარყოფითი მეტეორპატული რეაქციები.

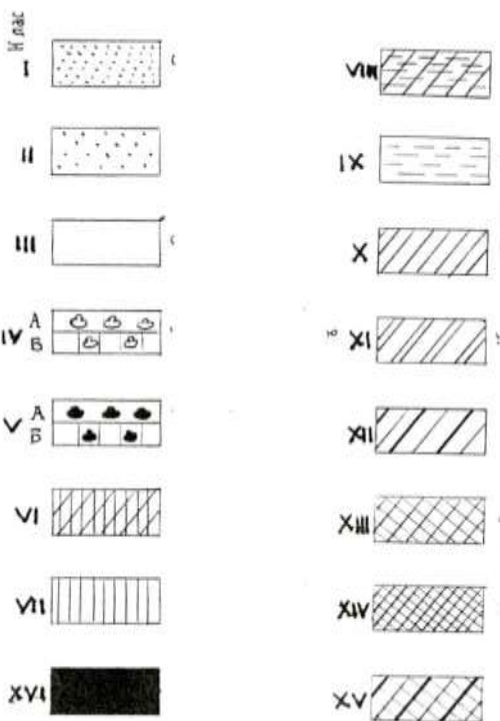
მზიანი ამინდი ტემპერატურის გადასვლით 0°C (IX კლასი), როგორც წესი, ანტიციკლონალურ პირობებში წარმოიშობა.

ნახ.10.3.1.-ზე წარმოდგენილია ამინდთა კლასების განმეორადობის წლიური სვლა საქართველოს 8 პუნქტისათვის, უმთავრესად კურორტებისათვის, რასაც პრაქტიკული მნიშვნელობა აქვს. მოტანილი გრაფიკებიდან მარტივი გამოსათვლელია თუ რა ალბათობით არის მისალოდნელი ნებისმიერი კლასის ამინდი ამა თუ იმ თვეში.

ე.სუხიშვილის თანახმად საქართველოში დაიკვირვება ამინდების 13 კლასი. მათი განაწილება, განმეორადობა და მდგრადობა დამოკიდებულია ფიზიკურ-გეოგრაფიულ პირობებზე და წლის სეზონზე. ის კლასის ამინდების განმეორადობა შავი ზღვის სანაპიროზე არ აღემატება 1-2 დღეს, ხოლო კოლხეთის ბარის სიღრმეში აღწევს 10-11 დღეს. ასეთი ამინდების მდგრადობა, ანუ ხანგრძლივობა არ აღემატება 2-3 დღეს. ის კლასის ამინდები ზღვის სანაპიროზე და კოლხეთის ბარში დაიკვირვება მთელი წლის განმავლობაში. მათი განმეორადობა სანაპირო ზოლში შეადგენს 8-17 დღეს, კოლხეთის ბარის სიღრმეში-35-ს, ქვემო ქართლის ბარში-40-ს, კახეთში-48-ს. ამ კლასის ამინდების განმეორადობა საშუალოდ 5-7 დღეს შეადგენს. ის კლასის ამინდები წლის ცივ პერიოდში განსაკუთრებით მკვეთრად არიან გამოხატულნი სანაპირო რაიონებში და კოლხეთის ბარში (47-64 დღე), რამდენადმე იშვიათად-აღმოსავლეთ საქართველოს ბარში (17-35 დღე). თბილი პერიოდის განმავლობაში ამ კლასის ამინდები დამახასიათებელია საქართველოს ყველა სიმაღლითი ზონისათვის. მათი მდგრადობა მაქსიმუმს ზაფხულში აღწევს(10-18 დღე). ის კლასის ამინდები დამახასიათებელია საშუალო და მაღალმთიანი ზონებისათვის თბილი პერიოდის განმავლობაში. ასეთი ამინდები არამდგრადია. ს კლასის ამინდების განაწილების ხასიათი შეესაბამება ის კლასის ამინდების განაწილებას. ზამთარში მთებში მას ხშირად ის კლასის ამინდი ცვლის. მარ და მარ კლასის ამინდები წლის







նաեւ. 10.3.1. ամոնդցնիս զոմքլեյլելորո ճախաևօտեցնա:

- ա)-ցագրա; ծ)-վոծուղետո; ց)-վալուցուծո; դ)-ձանմառո;
- շ)-ծորչամոն; զ)-ածատումանո; թ)-թոշո; ռ)-տծուղունո.

ամոնդուա զլաւցնա Շեշեսաձամբեց լուսու 10.3.1-ն.

A—Շնալցլեյլո ամոնդո; B-նալցլյանո ամոնդո

Կոզո პէրուունու գանմաշլունամն Սայարտականու տությմնու մուշը լուրութուրուանց առնունունեցնա, մարալմուանո նոնու շարժա.

მდგრადობა ზოგჯერ 7 დღეს აღწევს. უმარ კლასის ამინდი დამახასიათებელია შავი ზღვის სანაპირო ზოლისა და კოლხეთის ბარისათვის ივნისიდან სექტემბრის ჩათვლით. შავი ზღვის სანაპიროს ჩრდილოეთ ნაწილში და კოლხეთის ბარში ზაფხულში ამ კლასის ამინდი შესაძლოა 7-8 დღის, ხოლო ცენტრალურ და სამხრეთ სანაპირო რაიონებში-14-16 დღის განმავლობაში გაგრძელდეს. მარტ კლასის ამინდი გაბატონებულია საქართველოს მთისწინეთში და საშუალო მთის ზონაში წლის ცივი პერიოდის განმავლობაში. მისი მდგრადობა აქ 6-7 დღეა. დასავლეთ და აღმოსავლეთ საქართველოს ბარში ამ კლასის ამინდი ნაკლებად მდგრადია (3-4 დღე). დიდი მდგრადობით ხასიათდებიან რს კლასის ამინდები. კავკასიონის საშუალო მთის ზონაში მათი ხანგრძლივობა 17-19, სამხრეთ-საქართველოს მთიანეთში-13-14, აღმოსავლეთ საქართველოში-9-10, ხოლო დასავლეთ საქართველოს ბარში-მხოლოდ 3 დღეა. უ, ურ კლასის ამინდები უმთავრესად ზამთარში აღინიშნება და მათი განმეორადობა მაღალმთიან ზონაში 12-15, ხოლო სამხრეთ-საქართველოს მთიანეთში-7-8 დღეს შეადგენს. ურ კლასის ამინდები არ არის დამახასიათებელი საქართველოსათვის, ისინი იშვიათად აღინიშნება კავკასიონის მაღალმთიან ზონაში და სამხრეთ-საქართველოს მთიანეთში, სადაც მათი განმეორადობა 2-12%-ია, ხოლო მდგრადობა 5-6 დღეა.

თავი 11. კლიმატური რესურსების

გამოყენების პერსპექტივები

11.1. საკურორტო კლიმატური რესურსების

გამოყენების პერსპექტივები

საქართველოს კლიმატური რესურსების

მნიშვნელოვანი წილი საკურორტო კლიმატურ რესურსებზე მოდის. აյ აღრიცხულ 400-მდე კურორტს და საკურორტო ადგილს შორის ნახევარზე მეტი კლიმატური პროფილისაა, ანუ ხასიათდება სამკურნალო თვისებების ჰავით (ე.შ. ელიზბარაშვილი, ჩ.შ. გონგლაძე, 1980).

საქართველოს კურორტოლოგის და ფიზიოთერაპიის სამეცნიერო-კვლევით ინსტიტუტში ჩატარებული დარაიონების თანახმად საქართველოს ტერიტორიაზე გამოყოფილია დაბლობის, დაბალი მთის და საშუალო მთის საკურორტო ზონები, რომლებიც დაყოფილია ქვეზონებად და რაიონებად.

დაბლობის საკურორტო ზონა.

1. ზღვისპირა ნოტიო სუბტროპიკული ქვეზონა (ცხრილი 11.1.1). ქვეზონის ძირითადი სამკურნალო ფაქტორებია ზღვა, ჰაერში არსებული ზღვიური წარმოშობის ქიმიური მიკროელემენტები და მზის სხივების სიუხვე. ასეთი ჰაერი წარმატებით გამოიყენება სასუნთქი ორგანოებით, გულსისხლძარღვთა და ნერვული სისტემით დაავადებულთა სამკურნალოდ.

აჭარის საკურორტო რაიონი ხასიათდება ძალიან რბილი ზამთრით და ძალიან თბილი ზაფხულით. იანვრის საშუალო ტემპერატურა მერყეობს $4-10^{\circ}\text{C}$ -ის ფარგლებში, ხოლო ივლისის საშუალო ტემპერატურა – $22-25^{\circ}\text{C}$ -ის ფარგლებში. მზის ნათების წლიური ხანგრძლივობა ბათუმიდან ჩრდილოეთით 1900 სთ-ზე ნაკლებია, მზიან დღეთა რიცხვი კი 295 დღეზე ნაკლებია, ხოლო სამხრეთით შესაბამისად შეადგენს 1900-2000 საათს და 300 დღეს. რაიონი იმყოფება ბრიზების ძლიერი მოქმედების ზონაში. ჟანგბადის წონითი შემცველობა ჰაერში საშუალოდ 280 გ/მ³-ს აღემატება. ჰაერის მავნე მინარევებისაგან თვითგასუფთავების მეტეოროლოგიური პირობები ზამთარში დამაკმაყოფილებელია, ხოლო ზაფხულში – რამდენადმე

შეზღუდული. რაიონში განლაგებულია სახელგანთქმული კურორტები: ქობულეთი, ციხისძირი, მწვანე კონცხი, მახინჯაური, ბათუმი, და პერსპექტიული საკურორტო ადგილები – ფიჭვნარი, ხუცუბანი, ბობოყვათი, ჩაქვა-ბუკნარი, ბათუმის მთა და სამება. საკურორტო რაიონის ძირითადი სამკურნალო ფაქტორებია: ზღვა, პაერში არსებული ზღვიური წარმოშობის ქიმიური მიკროელემენტები, რადიაციული ბალასის მაღალი მნიშვნელობა, პაერში უანგბალის მნიშვნელოვანი შემცველობა და გაჭუჭყანებისგან შედარებით სუფთა პაერი. ასეთი პავა სასარგებლოა კარდიოლოგიური, ნევროლოგიური, პულმონოლოგიური და ართროლოგიური ავადმყოფების სამკურნალოდ და პროფილაქტიკისათვის.

აფხაზეთის სანაპირო საკურორტო რაიონში 14 კლიმატური პროფილის კურორტი (ბესლეთი, აგუმერა, განთიადი, გაგრა, გუმისტა, ლესელიძე, გუდაუთა, გულრიფში, სოხუმი, ეშერა, ბიჭვინთა, ახალი ათონი, ოქროს სანაპირო, მიუსერა) და რამოდენიმე ათეული საკურორტო ადგილია.

ქვეზონაში განსაკუთრებით საყურადღებოა ურეკი-ანაკლიას სანაპირო ზოლი, სადაც მდინარეების სუფსასა და ნატანებს შორის 30-50მ სიგანის ზღვისპირა ზოლი წარმოდგენილია სხვადასხვა ზარისხით გამდიდრებული მაგნიტური თვისების ქვეშებით, რისი აბაზანებიც დაღებით გავლენას ახდენენ, როგორც ჯანმრთელ, ისე ზოგიერთ დავადებულ ორგანიზმზე.

2.დასავლეთ საქართველოს ნოტიო და ზომიერად ნოტიო დაბლობის საკურორტო ქვეზონა (ცხრილი 11.1.2) მოიცავს კოლხეთის ბარის შიდა რაიონებს და მთისწინეთს. აქ უმთავრესად ბალნეოლოგიური კურორტებია, თუმცა ქვეზონას საკმაოდ მდიდარი კლიმატური რესურსებიც გააჩნია. პერსპექტიულ საკურორტო ადგილებად შეიძლება ჩაითვალოს მუხური, სათაფლია, სამება და სხვ. აჭარის საკურორტო რაიონი ხასიათდება ძალიან რბილი ზამთრით და თბილი ზაფხულით. იანვრის საშუალო თვისური ტემპერატურა მერყეობს $4-10^{\circ}\text{C}$ -ის ფარგლებში, ხოლო ივლისის – $18-22^{\circ}\text{C}$ -ის ფარგლებში. მზის ნათების

ხანგრძლივობა საშუალოდ შეადგენს 1900 საათს, ხოლო მზიან დღეთა რიცხვი წელიწადში 290-300-ია. ჟანგბადის წონითი შემცველობა ჰაერში მაღალია და საშუალოდ 270-180 გ/მ³-ს შეადგენს. ჰაერის აერაციის მეტეოროლოგიური პირობები ანალოგიურია, რაც სანაპირო რაიონში – ზამთარში დამაკმაყოფილებელი, ხოლო ზაფხულში რამდენადმე შეზღუდულია. რაიონში განლაგებულია პერსპექტიული საკურორტო ადგილიები – მახვილაური, ხეჩოკეთი, სამება, გაპრეშუმი. ბრიზული ცირკულაციის ძლიერი მოქმედების გამო, ზღვიური წარმოშობის ქიმიური მიკროელემნტები მრავლად არის გაბნეული ჰაერში, ამიტომაც რაიონის გამოყენება პერსპექტიულია კარდიოლოგიური, ნევროლოგიური და პულმონოლოგიური აგადმყოფების სამკურნალოდ.

3.აღმოსავლეთ საქართველოს ზომიერად ნოტიო და ზომიერად მშრალი საკურორტო ქვეზონები (ცხრილები 11.1.3-11.1.4) შედარებით დარიბია საკურორტო რესურსებით და მას კლიმატოთერაპიული მნიშვნელობა არა აქვს.

ცხრილი 11.1.1 ზღვისპირა ნოტიო სუბტროპიკული ქედზონის საკურორტო რესურსები

საკურორტო რაიონი	სახელწოდება	პადგილის სიმაღლე, მ	პროფილი	მნიშვნელობა
1	2	3	4	5
აჭარის სანაპირო	ბათუმი	3	კლიმატური	კურორტი
	მწვანე კონცხი	90	კლიმატური	კურორტი
	ქობულეთი	3	კლიმატური	კურორტი
	მახინჯაური	5	კლიმატური	კურორტი
	ცაიხისძირი	50	კლიმატური	კურორტი
	ბათუმის მთა	150	კლიმატური	საკურ.ადგილი
	ბობოყვათი	70	კლიმატური	საკურ.ადგილი
	ჩაქვი-ბუგარი	50	კლიმატური	საკურ.ადგილი
	შეკვეთილი	6	კლიმატური	საკურ.ადგილი
	ანარია	350	კლიმატური	საკურ.ადგილი
კოლხეთის სანაპირო	ანაკლია	3	კლიმატური	კურორტი
	მალთაყვა	5	კლიმატური	კურორტი
	გრიგოლეთი	4	კლიმატური	კურორტი
	ურემა	10	კლიმატური	კურორტი
	ჭულვეთი	3	კლიმატური	კურორტი
აფხაზეთის სანაპირო	ბესლეუთი	120	კლიმატური	კურორტი
	აგუმერა	10	კლიმატური	კურორტი
	განთიადი	40	კლიმატური	კურორტი
	გაგრა	10	კლიმატური	კურორტი
	გუმისტა	70	კლიმატური	კურორტი
	ლესელიძე	5	კლიმატური	კურორტი
	გუდაუთა	25	კლიმატური	კურორტი
	გულრიფში	120	კლიმატური	კურორტი
	სოხუმი	3	კლიმატური	კურორტი

ეშურა	10	კლიმატური	კურორტი
ბიჭვინთა	7	კლიმატური	კურორტი
ახალი ათონი	8	კლიმატური	კურორტი
ოქროს სანაპირო	10	კლიმატური	კურორტი
მოუსერა	12	კლიმატური	კურორტი
ქოდორი	15	კლიმატური	საკურ.ადგილი
მაჭარა	10	კლიმატური	საკურ.ადგილი
მოკვი	5	კლიმატური	საკურ.ადგილი
ნაგოვალოუ	8	კლიმატური	საკურ.ადგილი
ოჩამჩირე	5	კლიმატური	საკურ.ადგილი
სანაპირო	10	კლიმატური	საკურ.ადგილი
სკურჩა	2	კლიმატური	საკურ.ადგილი
ტამიში	8	კლიმატური	საკურ.ადგილი
ალაზანე	7	კლიმატური	საკურ.ადგილი
შაპი	10	კლიმატური	საკურ.ადგილი
წითელი ზიდი	10	კლიმატური	საკურ.ადგილი
ახალი სოფელი	10	კლიმატური	საკურ.ადგილი
განახლება	40	კლიმატური	საკურ.ადგილი
ზეანდრიპში	120	კლიმატური	საკურ.ადგილი
ცივი მდინარე	20	კლიმატური	საკურ.ადგილი
ზაბუ შერა	8	კლიმატური	საკურ.ადგილი
ბომბორა	15	კლიმატური	საკურ.ადგილი
ფარჩა	7	კლიმატური	საკურ.ადგილი
მაგიდა	5	კლიმატური	საკურ.ადგილი
მუდავა	10	კლიმატური	საკურ.ადგილი
დრანდა	15	კლიმატური	საკურ.ადგილი
ლიხაგუძება	5	კლიმატური	საკურ.ადგილი
მეგობრობა	6	კლიმატური	საკურ.ადგილი

	კალდახვარა	6	კლიმატური	საკურ.ადგილი
	ლიხნი	100	კლიმატური	საკურ.ადგილი
	ბერსევი	70	კლიმატური	საკურ.ადგილი
	მიხელიოფში	120	კლიმატური	საკურ.ადგილი
	ოქუმი	150	კლიმატური	საკურ.ადგილი
	ოხურე	40	ბალნეოლოგიური	საკურ.ადგილი
	სალხინო	10	კლიმატური	საკურ.ადგილი

ცხრილი 11.1.2. დასავლეთ საქართველოს ნოტიო და ზომიერად ნოტიო დაბლობის ქვეზონის საკურორტო რესურსები

საკურორტო რაიონი	სახელწოდება	ადგილის სიმაღლე, მ	პროფილი	მნიშვნელობა
1	2	3	4	5
კოლხეთის	გორმოგილი	200	კლიმატური	კურორტი
	კურსები	350	ბალნეო-კლიმ.	კურორტი
	მენკი	150	ბალნეოლოგიური	კურორტი
	ნოქალაქევი	150	ბალნეოლოგიური	კურორტი
	სამტრედია	25	ბალნეოლოგიური	კურორტი
	სკური	480	ბალნეოლოგიური	კურორტი
	სულორი	200	ბალნეოლოგიური	კურორტი
	სიმინეთი	300	ბალნეოლოგიური	კურორტი

	ცაიში	150	ბალნეოლოგიური	კურორტი
	წყალტუბო	120	ბალნეოლოგიური	კურორტი
	ვაკევეარი	450	კლიმატური	საკურ.ადგილი
	ძველი აბაშა	40	კლიმატური	საკურ.ადგილი
	მარანი	40	კლიმატური	საკურ.ადგილი
	მუხური	270	კლიმატური	საკურ.ადგილი
	ონთოფო	40	კლიმატური	საკურ.ადგილი
	სათაფლია	450	კლიმატური	საკურ.ადგილი
	ურტა	130	კლიმატური	საკურ.ადგილი
	წალენჯიხა	300	კლიმატური	საკურ.ადგილი
	ჭადუაში	300	კლიმატური	საკურ.ადგილი
	ჩოკანი	80	ბალნეოლოგიური	საკურ.ადგილი
	სეაშირე	420	კლიმატური	საკურ.ადგილი
	აგვი	470	კლიმატო-ბალნ.	საკურ.ადგილი
	ბია	50	ბალნეოლოგიური	საკურ.ადგილი
	ზუბი	420	ბალნეოლოგიური	საკურ.ადგილი
	ლაბგვერია	420	ბალნეოლოგიური	საკურ.ადგილი
	ლუგელა	290	ბალნეოლოგიური	საკურ.ადგილი
	ქვალონი	20	ბალნეოლოგიური	საკურ.ადგილი
	ხორგა	15	ბალნეოლოგიური	საკურ.ადგილი
	კვალითი	320	ბალნეოლოგიური	საკურ.ადგილი
	ხრესილი	480	კლიმატო-ბალნ.	საკურ.ადგილი
აჭარის მიმდებარე	ნაბეღლავი	450	ბალნეოლოგიური	კურორტი
	ნასაკირალი	150	ბალნეოლოგიური	კურორტი
	კაპრეშემი	310	კლიმატური	საკურ.ადგილი
	მახვილაური	250	კლიმატური	საკურ.ადგილი
	სამება	150	კლიმატური	საკურ.ადგილი
	ხეროკეთი	370	კლიმატური	საკურ.ადგილი

აფხაზეთის	ტყვარჩელი	350	ბალნეოლოგიური	კურორტი
	აჩარანდა	250	კლიმატური	საკურ.ადგილი
	ბაგეული	350	კლიმატური	საკურ.ადგილი
	ჯიხასკურა	250	კლიმატური	საკურ.ადგილი
	ლურიაპში	250	კლიმატური	საკურ.ადგილი
	მესადირი	280	კლიმატური	საკურ.ადგილი
	შრომა	190	კლიმატური	საკურ.ადგილი

ცხრილი 11.1.3. აღმოსავლეთ საქართველოს ზომიერად წოლით დაბლობის ქვეზონის (ალაზნის ველი) საკურორტო რესურსები

საკურორტო რაიონი	სახელწოდება	ადგილის სიმაღლე, მ	პროფილი	მნიშვნელობა
1	2	3	4	5
აღმოსავლეთ საქართველოს	ახტალა	400	ბალნეოლოგიური	კურორტი
	ოქტომბერი	380	ბალნეოლოგიური	კურორტი
	შაქრიანი	350	ბალნეოლოგიური	კურორტი
	თაორებიახტალა	500	ბალნეოლოგიური	საკურ.ადგილი
	ლაგოდეხი	460	ბალნეოლოგიური	საკურ.ადგილი
	კობალგესი	330	კლიმატური	საკურ.ადგილი

ცხრილი 11.1.4. აღმოსავლეთ საქართველოს ზომიერად შმრალი დაბლობის ქვეზონის საკურორტო რესურსები

საკურორტო რაიონი	სახელწოდება	ადგილის სიმაღლე, მ	პროფილი	მნიშვნელობა
1	2	3	4	5
აღმოსავლეთ საქართველოს	თბილისი	450	ბალნეოლოგიური	კურორტი
	კუმისი	492	ბალნეოლოგიური	კურორტი
	კავთისხევი	480	კლიმატური	საკურ.ადგილი
	მცხეთა	463	კლიმატური	საკურ.ადგილი

დაბალი მთის საკურორტო ზონა:

1.დასავლეთ საქართველოს დაბალი მთის ზომიერად ნოტიო ქვეზონა(ცხრილი 11.1.5);

2.აღმოსავლეთ საქართველოს დაბალი მთის ზომიერად მშრალი ქვეზონა (ცხრილი 11.1.6.).

აქ აგრეთვე ბალნეოლოგიური პროფილის კურორტები ჭარბობს, თუმცა ისეთი სახელგანთქმული კლიმატური კურორტებიცაა როგორიცაა დასავლეთ საქართველოში რიწა, ხოლო აღმოსავლეთში-ქვიშეთი, არხილოს-კალო და თბილისის საგარეუბნო კურორტები (წყნეთი, წოდორეთი და სხვ.).

დასავლეთ საქართველოში კლიმატური რესურსები ხელს უწყობს ქვეზონა წარმატებით იქნას გამოყენებული კარდიოლოგიურ, ნევროლოგიურ და პულმონოლოგიურ დაავადებათა სამკურნალოდ, ხოლო არსებული ბალნეოლოგიური რესურსები საშუალებას იძლევა განვითარდეს გასტრონეტეროლოგიური და ართროლოგიური პროფილის სამედიცინო დაწესებულებები.

აღმოსავლეთ საქართველოს ქვეზონაში განსაკუთრებით პერსპექტიულია არხილოს-კალო. ის ხასიათდება მზის სხივების სიუხვით და სიმშრალით, და ერთადერთი ნეფროლოგიური პროფილის კურორტია საქართველოში.

ცხრილი 11.1.5. დასავლეთ საქართველოს დაბალი მთის ზომიერად ნოტიო ქვეზონის საკურორტო რესურსები

საკურორტო რაიონი	სახელწოდება	ადგილის სიმაღლე, მ	პროფილი	მნიშვნელობა
1	2	3	4	5
აჭარის	ქოქოტაური	680	ბალნეოლოგიური	კურორტი
	ჯვარის მთა	650	კლიმატური	საკურ.ადგილი
	კინტირიში	700	კლიმატური	საკურ.ადგილი
	ნამონასტრული	850	კლიმატური	საკურ.ადგილი
	ნამაინები	900	კლიმატური	საკურ.ადგილი
	სალორია	800	კლიმატური	საკურ.ადგილი
	სამთაროვება	800	კლიმატური	საკურ.ადგილი
ქავკასიონის მთისწინა	ლაშიჭალა	850	ბალნეოლოგიური	კურორტი
	რიწა	950	კლიმატური	კურორტი
	ლენცვიში	870	კლიმატური	საკურ.ადგილი
	ბუგეულა	560	კლიმატური	საკურ.ადგილი
	ვორდი	600	კლიმატური	საკურ.ადგილი
	ბოგაურა	970	კლიმატური	საკურ.ადგილი
	გურეკლი	970	ბალნეოლოგიური	საკურ.ადგილი
	ლენტები	940	კლიმატო-ბალნ.	საკურ.ადგილი
	ხიდიკარი	690	კლიმატური	საკურ.ადგილი
	ონი	800	კლიმატური	საკურ.ადგილი
	ხოპური	740	კლიმატური	საკურ.ადგილი
	ანგარა	950	კლიმატური	საკურ.ადგილი

ქოლხეთის დაბლობის მიმდებარე	ზვარე	700	ბალნეოლოგიური	კურორტი
	ზეკარი	650	ბალნეოლოგიური	კურორტი
	კვერცხი	750	ბალნეო-კლიმატ.	კურორტი
	ნუნისი	920	ბალნეოლოგიური	კურორტი
	საირმე	950	კლიმატო-ბალნ.	კურორტი
	ზბოლის აპანო	650	კლიმატო-ბალნ.	საკურ.ადგილი
	(კასიორა	550	კლიმატური	საკურ.ადგილი
	(კირზვალი	650	კლიმატური	საკურ.ადგილი
	სხეპური	980	ბალნეოლოგიური	საკურ.ადგილი

ცხრილი 11.1.6. აღმოსავლეთ საქართველოს დაბალი მთის ზომიერად შშრალი ქვეზონის საკურორტო რესურსები

საკურორტო რაიონი	სახელწოდება	ადგილის სიმძლე, მ	პროფესილი	მნიშვნელობა
1	2	3	4	5
თრიალეთის დასავლეთ ნაწილის მთისწინა	ქედის აშალდაბა	790	ბალნეო-კლიმატ.	კურორტი
	ბორჯომი	800	ბალნეო-კლიმატ.	კურორტი
	დაბა	806	კლიმატური	კურორტი
	ქვაშეთი	750	კლიმატური	კურორტი
	სურამი	760	კლიმატო-ბალნ.	კურორტი
	ჩილაწევი	800	ბალნეოლოგიური	კურორტი
	ჩობისხევი	980	კლიმატური	საკურ.ადგილი
	ბაზალეთის ტბა	900	კლიმატური	საკურ.ადგილი
	ბოდბე	860	კლიმატური	საკურ.ადგილი
	ბულბულისციხე	750	კლიმატური	საკურ.ადგილი
	დვირი	960	ბალნეოლოგიური.	საკურ.ადგილი
	ქაშეთი	850	კლიმატური	საკურ.ადგილი
	ტაშისკარი	740	კლიმატო-ბალნ.	საკურ.ადგილი
	მოცქვე	900	კლიმატური	საკურ.ადგილი
	ტაგვითი	780	კლიმატური	საკურ.ადგილი
	ზემის	730	ბალნეოლოგიური.	საკურ.ადგილი

	ჩაჩარაქი	760	კლიმატური	საკურ.ადგილი
	დედოფლ.წყარო	780	კლიმატური	საკურ.ადგილი
ქართლის კახეთის	არხილის კალი	670	კლიმატური	კურორტი
	ახალგიხე	985	ბალნეოლოგიური	კურორტი
	გორის-ჯვარი	590	ბალნეოლოგიური	კურორტი
	უჯარმა	800	ბალნეოლოგიური	კურორტი
	ხოვლე	600	ბალნეოლოგიური	კურორტი
	აბანო	650	კლიმატური	საკურ.ადგილი
	გუდალეთი	930	კლიმატური	საკურ.ადგილი
	ჯვარი	760	კლიმატური	საკურ.ადგილი
	დიღმის მთა	570	კლიმატური	საკურ.ადგილი
	მუხარი	950	კლიმატური	საკურ.ადგილი
	ნადარბაზევი	720	კლიმატური	საკურ.ადგილი
	შინდარა	850	კლიმატური	საკურ.ადგილი
	ფიჭლები	950	ბალნ-კლიმ.	საკურ.ადგილი
	თვალივი	820	კლიმატური	საკურ.ადგილი
	ფხოველი	750	კლიმატური	საკურ.ადგილი
	ასურია	680	კლიმატური	საკურ.ადგილი
	ჩუბინანთ ქარი	900	კლიმატური	საკურ.ადგილი
	უდაბნო	720	კლიმატური	საკურ.ადგილი
	აწყურპი	900	ბალნეოკლიმატ.	საკურ.ადგილი
	ყანჩავეთი	960	ბალნეოლოგიური	საკურ.ადგილი
	ჟინვალი	920	კლიმატო-ბალნ.	საკურ.ადგილი
	სვიანა	950	კლიმატური	საკურ.ადგილი
	ნადორი	850	კლიმატური	საკურ.ადგილი
თბილისის საგარეუბნო დაბალმთიანი კურორტები	წოდორეთი	880	კლიმატური	კურორტი
	ქარსანი	710	კლიმატური	საკურ.ადგილი
	შსხალდედა	1000	კლიმატური	საკურ.ადგილი
	საგურამო	600	კლიმატური	საკურ.ადგილი
	თბილისის ზღვა	560	კლიმატური	საკურ.ადგილი

წიწამური	520	კლიმატური	საკურ.ადგილი
ზიარი	850	კლიმატური	საკურ.ადგილი
კოკიანი	750	კლიმატური	საკურ.ადგილი
მარტყოფი	560	კლიმატური	საკურ.ადგილი
მოაშე ტბა	800	კლიმატური	საკურ.ადგილი
ზეკისჭალა	800	კლიმატური	საკურ.ადგილი
ჩოტორი	960	კლიმატური	საკურ.ადგილი
ბოლნისი	540	ბალნეოლოგიური	საკურ.ადგილი
ფოლადაური	730	კლიმატური	საკურ.ადგილი
ტაბახმელა	950	კლიმატური	საკურ.ადგილი
გლდანი	620	კლიმატური	საკურ.ადგილი
ზედაზენი	640	კლიმატური	საკურ.ადგილი
ატენი	720	კლიმატური	საკურ.ადგილი
წავტასი	940	კლიმატური	საკურ.ადგილი

საშუალი მთის საკურორტო ზონა:

1. საშუალი მთის საკურორტო ზონის ზედა სარტყელი (ცხრილი 11.1.7);
2. საშუალი მთის საკურორტო ზონის ზედა სარტყელი (ცხრილი 11.1.8).

ქვედა სარტყელი მოიცავს 1000-1500მ, ხოლო ზედა სარტყელი- 1500-2000მ სიმაღლეთა დიაპაზონს. ამ კრიტიკული სიმაღლის მაღლა საკურორტო რესურსები არ არის აღრიცხული. ქვედა სარტყელში ჰავა ხასიათდება მაღალი თერაპიული თვისებებით და შეიძლება გამოყენებულ იქნას ძირითადად სასუნთქი თრგანოების დაავადებათა სამკურნალოდ. ასეთივე სამკურნალო თვისებები გააჩნია ზედა სარტყლის კურორტებს.

დასავლეთ საქართველოს პირობებში საკურორტო ზონა ხასიათდება რბილი ზამთრით და ზომიერად თბილი ზაფხულით. იანვრის საშუალო ტემპერატურა მინუს 3 პლუს 4°C -ია, ხოლო ივლისის საშუალო ტემპერატურა მერყეობს 14-დან 18°C -მდე ფარგლებში. მზის ნათების ხანგრძლივობა წლის განმავლობაში საშუალოდ 2100 საათია, ხოლო მზიან დღეთა რიცხვი 305 დღეს აღემატება. ჟანგბადის წონითი შემცველობა ჰაერში $230-250 \text{ g/m}^3$ -ია. ჰაერის გაჭუჭყიანებისაგან თვითგასუფთავების პირობები ზამთარში რამდენადმე შეზღუდულია, ხოლო ზაფხულში ძლიერ შეზღუდულია, მაგრამ ჰაერის გაჭუჭყიანების წყაროებიც შეზღუდულია, ამიტომ ჰაერი მაინც სუფთაა. აღმოსავლეთში ჰავას კონტინენტურობის თვისებები ენიჭება.

კლიმატური პროფილის კურორტებს გარდა საქართველოში მრავალი კომპლექსური პროფილის კურორტია. ცალკე განხილვის საკითხია კარსტული მდვიმების გამოყენება სამკურნალოდ, რისი გარკვეული გამოცდილებაც საქართველოში დიდი ხანია არსებობს.

ცხრილი 11.1.7. საშუალი მთის საკურორტო ზონის ქვედა სარტყელის საკურორტო რესურსები

საკურორტო რაიონი	სახელწოდება	ადგილის სიმაღლე, მ	პროფილი	მნიშვნელობა
1	2	3	4	5
ქავებისიონის რაიონი დასავლეთ საქართველოში	მუაში	1250	ბალნეოლოგიური	კურორტი
	ურავი	1150	ბალნეოლოგიური	კურორტი
	უწერა	1070	ბალნეო-კლიმატ.	კურორტი
	აურა	1100	კლიმატური	საკურ. ადგილი
	გვანდრა	1200	კლიმატო-ბალნ.	საკურ. ადგილი
	კლიმი	1100	კლიმატური	საკურ. ადგილი
	ოზორკუე	1350	კლიმატური	საკურ. ადგილი
	უტიში	1050	კლიმატური	საკურ. ადგილი
	საკენი	1480	კლიმატური	საკურ. ადგილი
	ხველევარა	1100	კლიმატური	საკურ. ადგილი
	ტეპენაში	1150	კლიმატური	საკურ. ადგილი
	კვედილაში	1470	კლიმ-ბალნ.	საკურ. ადგილი
	ხოწარა	1170	კლიმატური	საკურ. ადგილი
	მესტია	1450	ბალნეოლოგიური	საკურ. ადგილი
	ნაგი	1270	კლიმატო-ბალნ.	საკურ. ადგილი
ქავებისიონის რაიონი აღმოსავლეთ საქართველოში	ნენკვაში	1170	კლიმატური	საკურ. ადგილი
	ხრეითი	1150	კლიმატური	საკურ. ადგილი
	ცხრაჯვარი	1350	კლიმატური	საკურ. ადგილი
	მუღური	1440	ბალნეო-კლიმატ.	საკურ. ადგილი
	ბაგაითი	1200	ბალნეო-კლიმატ.	კურორტი
ვაჟას წყარო კენური	ვაჟას წყარო	1100	ბალნეო-კლიმატ.	კურორტი
	კენური	1450	ბალნეო-კლიმატ.	კურორტი
	ჯავა	1040	ბალნეო-კლიმატ.	კურორტი

	ნაგუთი	1040	ბალნეო-კლიმატ.	კურორტი
	ფასანაური	960	კლიმატო-ბალნ.	კურორტი
	თეთრწყლები	1170	ბალნეო-კლიმატ.	კურორტი
	ურაველი	1020	ბალნეოლოგიური	კურორტი
	გიორგიშმინდა	1030	კლიმატური	საკურ.ადგილი
	ჩურხევი	1240	კლიმატური	საკურ.ადგილი
	ერველი	1400	კლიმატური	საკურ.ადგილი
	ზონგარი	1250	კლიმატური	საკურ.ადგილი
	ლორწომანა	1400	კლიმატური	საკურ.ადგილი
	ნაგომევი	1200	კლიმატური	საკურ.ადგილი
	ართანა	1180	კლიმატური	საკურ.ადგილი
	ღულელები	1040	კლიმატური	საკურ.ადგილი
	საყარაულო	1120	კლიმატური	საკურ.ადგილი
	სიონი	1050	კლიმატური	საკურ.ადგილი
	საბადური	1400	კლიმატური	საკურ.ადგილი
	თიანეთი	1110	კლიმატური	საკურ.ადგილი
	ქორშევარდენი	1250	კლიმატური	საკურ.ადგილი
	ღარების ზევი	1100	კლიმატური	საკურ.ადგილი
	კორშა	1300	კლიმატური	საკურ.ადგილი
	შუამთა	1050	კლიმატური	საკურ.ადგილი
	ანანური	1020	კლიმატო-ბალნ.	საკურ.ადგილი
	გომბორი	1070	კლიმატური	საკურ.ადგილი
	კოდიბინი	1120	ბალნეო-კლიმატ.	საკურ.ადგილი
	(ცხვარიჭამია	1180	კლიმატური	საკურ.ადგილი
	ლესე	1090	კლიმატო-ბალნ.	საკურ.ადგილი
	ნალიანი	1120	კლიმატური	საკურ.ადგილი
სამხრეთ-საქართველოს	გარტა	1400	კლიმატური	საკურ.ადგილი
	საბადური	1300	კლიმატური	საკურ.ადგილი

	ცისკარი	1200	კლიმატური	საკურ.ადგილი
თრიალეთის, მესხეთის და ლიხის ქედის ჩრდილო-დასავლეთი ფერდობები	აბასთუმანი	1250	ბალნეო-კლიმატ.	კურორტი
	ზეთამზე	1200	კლიმატური	კურორტი
	ლიბანი	1360	კლიმატური	კურორტი
	პატარა ცემი	1375	კლიმატური	კურორტი
	ტბა	1250	კლიმატური	კურორტი
	ცემი	1130	კლიმატური	კურორტი
	წაღვერი	1030	კლიმატური	კურორტი
	ტიმოთეს უბანი	1120	ბალნეო-კლიმატ.	საკურ.ადგილი
	დაბაძველი	1460	ბალნეო-კლიმატ.	საკურ.ადგილი
	ზარზმა	1340	კლიმატური	საკურ.ადგილი
თრიალეთის ქედის ცენტრალური და აღმოსავლეთი ნაწილი	მაჭარწყალი	1220	ბალნეო-კლიმატ.	საკურ.ადგილი
	საკირე	1100	კლიმატური	საკურ.ადგილი
	წითელისოფელი	1490	კლიმატური	საკურ.ადგილი
	წინუბანი	1480	კლიმატური	საკურ.ადგილი
	ნეძვი	1020	კლიმატური	საკურ.ადგილი
	კაკეთი	1110	კლიმატური	კურორტი
	კოჯორი	1340	კლიმატური	კურორტი
	მანგლისი	1200	კლიმატური	კურორტი
	ალექსეევკა	1200	კლიმატური	საკურ.ადგილი
	ამბლო	1400	კლიმატური	საკურ.ადგილი
	ბატუმი	1250	კლიმატური	საკურ.ადგილი
	ბევრეთი	1100	კლიმატური	საკურ.ადგილი
	ბევინი	1200	კლიმატური	საკურ.ადგილი
	ბერტაშენი	1460	კლიმატური	საკურ.ადგილი
	ბოშური	1200	კლიმატური	საკურ.ადგილი
	გოსტაბე	1400	კლიმატური	საკურ.ადგილი
	ბეთანია	1120	კლიმატური	საკურ.ადგილი

	გუნია-კალო	1460	კლიმატური	საკურ.ადგილი
	ახალქალაქი	1040	კლიმატური	საკურ.ადგილი
	დარბაზი	1050	კლიმატური	საკურ.ადგილი
	კოდიანის ტბა	1450	კლიმატური	საკურ.ადგილი
	შენგალისი	1350	კლიმატური	საკურ.ადგილი
	ორმაშენი	1250	კლიმატური	საკურ.ადგილი
	პანტიანი	1260	კლიმატური	საკურ.ადგილი
	ჰელი	1250	კლიმატური	საკურ.ადგილი
	საკავრე	1250	კლიმატური	საკურ.ადგილი
	საბარლო	1180	კლიმატური	საკურ.ადგილი
	თეთრი წყარო	1140	კლიმატური	საკურ.ადგილი
	ტყემლოვანი	1200	კლიმატური	საკურ.ადგილი
	უძო	1350	კლიმატური	საკურ.ადგილი
	ზაფიკი	1460	კლიმატური	საკურ.ადგილი
	წალეა	1455	კლიმატური	საკურ.ადგილი
	შარლის წყარო	1320	ბალნეოლოგიური	საკურ.ადგილი
სამხრეთ-საქართველოს მთიანეთის პლატო	ასპინძა	1050	ბალნეოლოგიური	კურორტი
	ვარძია	1100	ბალნეო-კლიმატ.	კურორტი
	ტისელი	1320	კლიმატური	საკურ.ადგილი
	ნოქალაქევი	1220	ბალნეოლოგიური	საკურ.ადგილი
	ოტა	1460	კლიმატური	საკურ.ადგილი
	წყალთბილა	1120	ბალნეო-კლიმატ.	საკურ.ადგილი

ცხრილი 11.1.8. საშუალი მთის საკურორტო ზონის ზედა სარტყელის საკურორტო რესურსები

საკურორტო რაიონი	სახელწოდება	ადგილის სიმაღლე მ	პროფილი	მნიშვნელობა
1	2	3	4	5
დასავლეთ საქართველოს	ავადგური	1670	კლიმატო-ბალნ.	ძურინტი
	ბახმარო	1850	კლიმატური	ძურინტი
	ბეჭუმი	1750	კლიმატური	ძურინტი
	გომის მთა	1670	კლიმატური	ძურინტი
	ლეგარდე	1800	კლიმატო-ბალნ.	ძურინტი
	შოვი	1550	კლიმატო-ბალნ.	ძურინტი
	აერო	1850	კლიმატური	საკურ-ადგილი
	მზიური	1700	კლიმატური	საკურ-ადგილი
	ბეჩო-ხაიში	1750	ბალნეო-კლიმატ.	საკურ-ადგილი
	იფარი	1740	ბალნეო-კლიმატ.	საკურ-ადგილი
	კვედის ტბა	1670	კლიმატური	საკურ-ადგილი
	ჯინვალი	1850	კლიმატური	საკურ-ადგილი
	დიდი აჭარის მთა	1750	კლიმატური	საკურ-ადგილი
	სასაფილოს მთა	1670	კლიმატური	საკურ-ადგილი
	ტყემრგვალო	1800	კლიმატური	საკურ-ადგილი
	ტომაშეთი	1550	კლიმატო-ბალნ.	საკურ-ადგილი
	ხინოს მთა	1850	კლიმატური	საკურ-ადგილი
	შუაგორა	1700	კლიმატური	საკურ-ადგილი
	ახალჭალა	1750	ბალნეო-კლიმატ.	საკურ-ადგილი
	დანისპარაული	1740	კლიმატო-ბალნ.	საკურ-ადგილი

აღმოსავლეთ საქართველოს	ყაზბეგი	1718	კლიმატო-ბალნ.	კურორტი
	სიონი	1750	კლიმატო-ბალნ.	კურორტი
	თორლვას აბანი	1650	ბალნეო-კლიმატ.	კურორტი
	ცივი-ძოდა	1550	კლიმატო-ბალნ.	კურორტი
	კობი	1880	ბალნეოლოგიური	საკურ.ადგილი
	პანქეთი	1700	კლიმატო-ბალნ.	საკურ.ადგილი
	ფხელ-შე	1850	ბალნეოლოგიური	საკურ.ადგილი
	ჩობარეთი	1950	კლიმატური	საკურ.ადგილი
	მანავის ციფი	1640	კლიმატური	საკურ.ადგილი
	ომალო	1300	კლიმატური	საკურ.ადგილი
სამხრეთ საქართველოს მთიანეთი	ედისი	200	კლიმატო-ბალნ.	საკურ.ადგილი
	ბაკურიანი	1650	კლიმატური	კურორტი
	ციხის-ჯვარი	1780	კლიმატური	კურორტი
	გარტა	1800	კლიმატური	კურორტი
	ტაბაწყური	1900	კლიმატური	კურორტი
	ივანოვკა	1550	კლიმატური	კურორტი
	სონტა	1580	კლიმატური	კურორტი
	წინუბანი	1640	კლიმატო-ბალნ.	კურორტი

11.2. აგროკლიმატური რესურსების გამოყენების პერსპექტივები

საქართველოს კლიმატური რესურსები ხელს უწყობს სოფლის მეურნეობის განვითარებას. სოფლის მეურნეობისათვის კლიმატური ფაქტორებიდან განსაკუთრებით მნიშვნელოვანია სინათლე, სითბო და ტენი. სწორედ ისინი ქმნიან საქართველოს ტერიტორიაზე აგროკლიმატურ რესურსებს, რომლებიც განაპირობებენ სასოფლო-სამურნეო კულტურების ზრდა-განვითარებას.

აგროკლიმატური რესურსების რაციონალური გამოყენების მიზნით საქართველოს ერთ-ერთი პირველი აგროკლიმატური დარაიონება შეასრულა ა.თევზაძემ. მან გამოყო 8 აგროკლიმატური რაიონი: შავი ზღვის სანაპიროს სამხრეთ-დასავლეთი ნაწილი; შავი ზღვის სანაპიროს ჩრდილო-აღმოსავლეთი ნაწილი; კოლხეთის დაბლობი; დასავლეთ საქართველოს მთისწინა რაიონი; აღმოსავლეთ საქართველოს ვაკეები; აღმოსავლეთ საქართველოს მთისწინა რაიონი; კავკასიონის მთიანი რაიონი; სამხრეთ-საქართველოს მთიანი რაიონი.

შავი ზღვის სანაპიროს სამხრეთ-დასავლეთ ნაწილში აქტიურ(10^0 -ზე მეტი) ტემპერატურათა ჯამები $4000-4400^0$ -ს, ნალექების რაოდენობა სავეგეტაციო პერიოდის განმავლობაში- $1100-1700$ მმ-ს, ხოლო ჰიდროთერმული კოეფიციენტი $3,0-4,2$ -ს შეადგენს. რაიონის სპეციალიზაციის დარგია მეციტრუსეობა, მოპყავთ მანდარინი, ლიმონი, აპელისინი, ჩაი აგრეთვე ხურმა, ბამბუკი. ხელსაყრელი აგროკლიმატური პირობებია ბრინჯის და სიმინდის მოსაყვანად.

შავი ზღვის სანაპიროს ჩრდილო-აღმოსავლეთ ნაწილში აქტიურ ტემპერატურათა ჯამები რამდენადმე იზრდება($4200-4700^0$), ხოლო ნალექები კლებულობს($900-1100$ მმ). ჰიდროთერმული კოეფიციენტი შეადგენს $1,9-3,9$ -ს. სპეციალიზაციის დარგი აგრეთვე მეციტრუსეობაა. მოპყავთ ჩაი, ხურმა, ფეიხოა, მუშმალა, პერსპექტიულია მევენახეობა.

კოლხეთის დაბლობზე აქტიურ ტემპერატურათა ჯამი და ნალექები იმდენივეა, რამდენიც ზემოდ განხილულ რაიონში, ხოლო ჰიდროთერმული კოეფიციენტი ნაკლებია(1,3-2,7). სოფლის მეურნეობის სპეციალიზაციას განსაზღვრავს აგრეთვე მეციტრუსეობა, პერსპექტიულია მევნეობა.

დასავლეთ საქართველოს მთისწინა რაიონში აქტიურ ტემპერატურათა ჯამი კლებულობს ($2500-3800^0$), ნალექები შეადგენს $400-1000\text{მმ-ს}$, ხოლო ჰიდროთერმული კოეფიციენტი უდრის $1,3-3,5$ -ს. სპეციალიზაციის დარგი მევნეობა, კარგად მოჰყავთ აგრეთვე სიმინდი, კარტოფილი, ხორბალი. აგროკლიმატური რესურსები ხელს უწყობს მესაქონლეობის განვითარებას.

აღმოსავლეთ საქართველოს ვაკე რაიონებში აქტიურ ტემპერატურათა ჯამები იცვლება $3000-4200^0$ ფარგლებში, ნალექები შეადგენს $300-600\text{მმ-ს}$, ხოლო ჰიდროთერმული კოეფიციენტი არ აღემატება 1 -ს. სოფლის მეურნეობის სპეციალიზაციის დარგებია მევნეობა, მებალეობა, მემინდვრეობა. მეცხოველეობიდან პერსპექტიულია მელორეობა.

აღმოსავლეთ საქართველოს მთისწინა რაიონში აქტიურ ტემპერატურათა ჯამი $2500-3500^0$ -ია, ნალექების ჯამი- $250-550\text{მმ-ია}$, ხოლო ჰიდროთერმული კოეფიციენტი $1-1,5$ -ია. სპეციალიზაციის დარგებია მებალეობა-მევნეობა და მემინდვრეობა. კარგი პირობებია ხორბლის, სიმინდის და კარტოფილის მოსაყვანად.

კავკასიონის მთიანი რაიონში აქტიურ ტემპერატურათა ჯამები იცვლება $500-2500^0$ ფარგლებში, ნალექები შეადგენს $200-400\text{მმ-ს}$, ხოლო ჰიდროთერმული კოეფიციენტი $2-3$ -ს ტოლია. სპეციალიზაციის დარგია მეცხოველეობა. აგროკლიმატური პირობები ხელსაყრელია კარტოფილის მოსაყვანად.

სამხრეთ-საქართველოს მთიანი რაიონში აქტიურ ტემპერატურათა ჯამი $1200-2000^0$ -ია, ნალექების ჯამი- $200-370\text{მმ-ია}$, ხოლო ჰიდროთერმული კოეფიციენტი $1,5-2,0$ -ია. სოფლის მეურნეობის სპეციალიზაციის დარგია

მეცნიერება, განსაკუთრებით პერსპექტიულია მეცნიერება და მესაქონლეობა.

სპეციალურად ვაზის კულტურის განლაგებისა და მეღვინეობის განვითარებისათვის საქართველოს ტერიტორიაზე გამოყოფილია 4 ზონა (Т.И.Турманидзе, 1981):

1.ცელი ზონა, ხასიათდება ყურძნის მაღალი შაქრიანობით (21-23%). დაბალი მჟავიანობის (6-7გ/ლ) ქვეზონა-გურჯაანის, სიღნაღის, გარდაბნის, მარნეულის და ბოლნისის რაიონები ზღვის დონეზეან 300-500მ სიმაღლის ფარგლებში. შედარებით მაღალი მჟავიანობის (7-9გ/ლ) ქვეზონა-მოიცავს დასავლეთ საქართველოს ყველაზე ცხელ რაიონებს და ალაზნის ველის მარცხნა სანაპიროს.

2.თბილი ზონა, ყურძნის მტევნის შაქრიანობა 19-21%-ია. შედარებით დაბალი მჟავიანობის ქვეზონა-ალაზნის ველის მიმდებარე ტერიტორია და ქართლის ვაკე ზღვის დონეზეან 500-650მ სიმაღლეთა ინტერვალში. მაღალი მჟავიანობის (11გ/ლ-მდე) ქვეზონა-კოლხეთის დაბლობის მიმდებარე ტერიტორია ზღვის დონეზეან 200-400მ სიმაღლეზე.

3.ზომიერად თბილი ზონა, ყურძნის მტევნის შაქრიანობა 17-19%-ია, ხოლო მჟავიანობა 9-12გ/ლ-ია. ზონას უკავია მთისწინა რაიონები დასავლეთ საქართველოში 500-700, ხოლო აღმოსავლეთში-700-1000მ სიმაღლეთა ინტერვალში. ზონა შამპანური ღვინოების წარმოების ნედლეულის ძირითადი ბაზაა.

4.გრილი ზონა, ნაყოფის შაქრიანობა 16-17%-ია, მჟავიანობა 12გ/ლ-ს აღემატება. მოიცავს მთიან რაიონებს 1000-1200მ სიმაღლეთა ინტერვალში. ვაზის მოშენება ეკონომიკურად გამართლებულია მხოლოდ საგანგებოდ შერჩეულ, ცივი ქარებისაგან დაცულ მონაკვეთებზე. დასაშვებია მხოლოდ ადრეული ჯიშები.

ციტრუსების, სუბტროპიკული ხურმის, საშემოდგომო ხორბლის და სიმინდის შესაძლო მოყვანის თვალსაზრისით პერსპექტიულია 4 აგროკლიმატური ზონა (Г.Г.Меладзе, 1991):

1.სამხრეთ-დასავლეთ აჭარის შავი ზღვის სანაპირო, ჭარნალის, სარფის და გონიოს რაიონები. გამოზამთრების

კეთილსასურველი პირობები ხელს უწყობს ქველა ციტრუსოვანი კულტურის მოყვანას, მხოლოდ ცალკეულ წლებში გაფრთხილება ესაჭიროება ლიმონს, შედარებით ნაკლებია აპელსინის და მანდარინის დაზიანების აღბათობა.

2.აჭარის ზღვისპირეთი 200მ სიმაღლემდე, და აფხაზეთისა და სამეგრელოს ტერიტორიები 30-100მ სიმაღლეებზე-გაგრის, ბიჭვინთის, გუდაუთის, ახალი ათონის, აზიუბეის და სოხუმის მიკრორაიონები. ზონა პერსპექტიულია ციტრუსების მოყვანის ფართობის გაზრდის თვალსაზრისით ფერდობების, ხეობების და პლატოების ხარჯზე.

3.ხელვაჩაურის, ქობულეთის, ოზურგეთის, ლანჩხუთის, ჩოხატაურის, ფოთის, ჩხოროწყუს და გაგრის მიკრორაიონები. აპელსინი და მანდარინი დაცვას არ საჭიროებს. შესაძლოა ლიმონის პლანტაციების გაფართოებაც მისი დაცვის გათვალისწინებით.

4.სუბტროპიკულის მთისწინა რაიონები 200-400მ სიმაღლემდე-ხელვაჩაურის, ქედას, ქობულეთის, ოზურგეთის, ჩოხატაურის და სხვ. რაიონები. მიზანშეწონილია მხოლოდ მანდარინის კულტურის განვითარება.

სუბტროპიკული ხურმის ზრდა-განვითარებისათვის საჭიროა აქტიურ ტემპერატურათა ჯამი 3800⁰ და ნალექები 400-500მმ. ასეთი პირობებია აღმოსავლეთ საქართველოში-ყვარლის, ლაგოდეხის, სიღნაღის, დედოფლის წყაროს, თელავის, გურჯაანის, ახმეტის, მცხეთის, ბოლნისის, გარდაბნის და მარნეულის რაიონებში. დასავლეთ საქართველოში სუბტროპიკული ხურმა ვრცელდება ზღვის დონედან 600-700მ სიმაღლემდე(გ.გ. მელაძე, 1991).

პერსპექტიულია ეთერზეთოვანი ტექნიკური კულტურების წარმოება (გერანი, ევგენოლის რეჟანი, ეთერზეთოვანი ვარდი). ამ კულტურების აგროკლიმატურ მოთხოვნილებათა საფუძველზე (აქტიურ ტემპერატურათა ჯამი და ჰაერის აბსოლუტური მინიმალური საშუალო ტემპერატურა) გ.მელაძე(2003) გამოყო სამი ზონა:

ძ – ზონაში ტემპერატურის ჯამები 4000⁰ და მეტია, აქ შესაძლებელია გერანის კულტურის ორი მოსავლის მიღება: პირველი ივლისის მესამე დეკადის ბოლოს, მეორე –

ოქტომბრის ბოლოს წაყინვების დადგომამდე. ამ ზონაში შესაძლებელია აგრეთვე ევგენოლის რეპანისა და ეთერზეთოვანი ვარდის წარმოება.

ძრ – ზონაში ტემპერატურათა ჯამი 3000^0 და მეტია. ეს ზონა ვრცელდება ზღვის დონიდან 700-800 მეტრამდე, სადაც შესაძლებელია გერანისა და ევგენოლის რეპანის ერთი მოსავლის მიღება აგვისტოს მეორე დეკადის ბოლოს. აქ შეიძლება წარმატებით ვაწარმოოთ, აგრეთვე, ეთერზეთოვანი ვარდიც.

ძრძ – ზონაში ტემპერატურის ჯამი 2000^0 -ზე მეტია. ეს ზონა ვრცელდება 900-1200 მეტრამდე ზღვის დონიდან, სადაც შეიძლება ვაწარმოოთ მხოლოდ გერანის კულტურა.

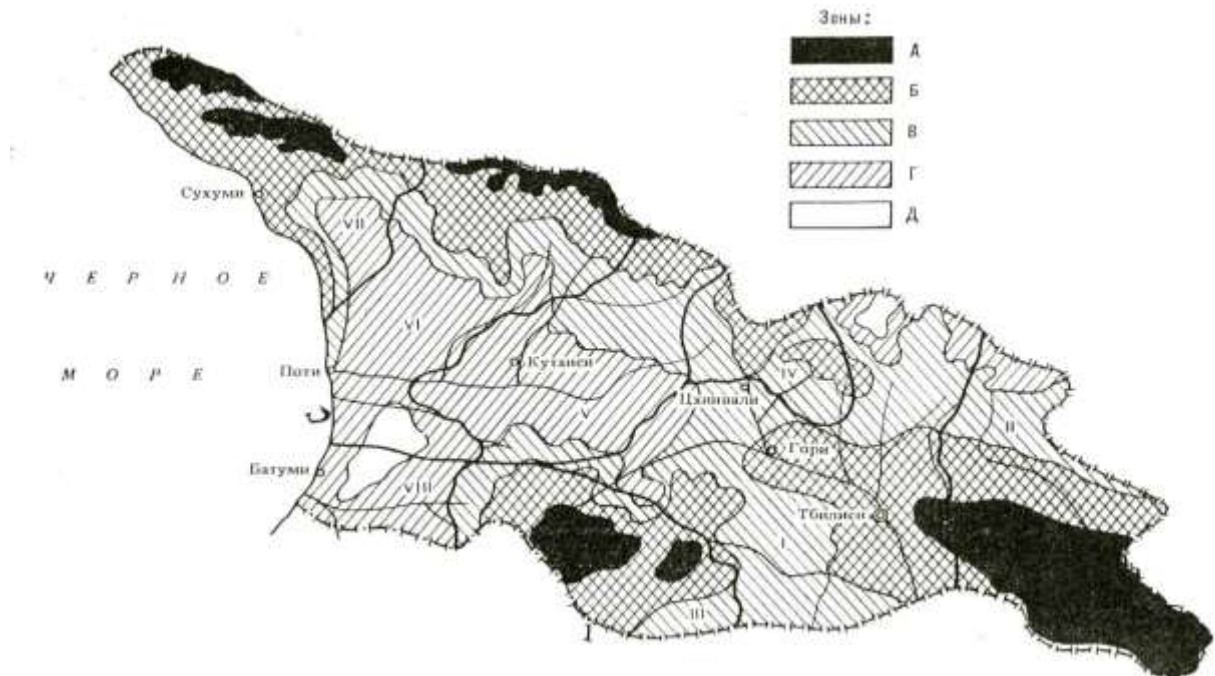
მრავალწლიანი ექსპერიმენტული მასალის სტატისტიკური ანალიზის შედეგად დადასტურდა (ლ.არველაძე, 2003,2006), რომ თხილის ნაყოფის დასამწიფებლად გაზაფხულზე ჰავრის ტემპერატურის 5°C -ზე გადასვლიდან დაახლოებით 2550^0 უნდა დაგროვდეს. ასეთი პირობები დასავლეთ საქართველოში ზღვის დონედან მხოლოდ 1300მ სიმაღლემდე, აღმოსავლეთ საქართველოში $კი - 1350\text{მ}$ სიმაღლემდე. ამ პირობების და აგრეთვე ნალექების (სიმშრალის დეფიციტისა თუ სიჭარბის) გათვალისწინებით საქართველოს ტერიტორიაზე ლ.არველაძემ გამოყო 6 აგროკლიმატური ზონა: 1) ტენის ძლიერი სიჭარბით; 2) ტენის საშუალო სიჭარბით; 3) ზომიერად ტენიანი; 4) ტენის საშუალო დეფიციტით; 5) ტენის ძლიერი დეფიციტით; 6) ტენის ძალზე ძლიერი დეფიციტით.

11.3. კლიმატური ენერგორესურსების გამოყენების პერსპექტივები

მზის და ქარის ენერგიები შეიძლება წარმატებით იქნას გამოყენებული ენერგეტიკაში. ჰელიოენერგეტიკული რესურსების გამოყენების თვალსაზრისით საქართველოში 5 ზონაა გამოყოფილი (ნახ.11.3.1):

A.ნებისმიერი ტიპის ჰელიოსისტემების ეფექტური გამოყენების პირობები (ნინოწმინდა, შირაქი). პორიზონტალური ზედაპირის თითოეული კვადრატული მეტრი ყოველთვიურად(ივლისში) ღებულობს $450-500\text{მჯ/კვ.მ}$ პირდაპირ და $650-750$ მჯ/კვ.მ ჯამურ რადიაციას.

Б.ჰელიოსისტემების სტაბილური ექსპლუატაციის პირობები
(თბილისი, თელავი, ვორი, სოხუმი). ჰორიზონტალური
ზედაპირის თითოეული კვადრატული მეტრი



ნახ.11.3.1. ჰელიოენერგეტიკული რესურსები (გ.გ. სვანიძე, ვ.პ. გაგუა, ე.ვ. სუხიშვილი, 1987).
აღნიშვნები იხ. ტექსტში

ყოველთვიურად(ივლისში) ღებულობს 400-450მჯ/კვ.მ
პირდაპირ და 650-700 მჯ/კვ.მ ჯამურ რადიაციას.

В.საშუალო და მცირე ზომის ჰელიოსისტემების გამოყენების პირობები (დუშეთი, ამბროლაური, თეთრი წყარო). ჰელიზონტალური ზედაპირის თითოეული კვადრატული მეტრი ყოველთვიურად(ივლისში) ღებულობს 350-400მჯ/კვ.მ პირდაპირ და 600-650 მჯ/კვ.მ ჯამურ რადიაციას.

Г.ჰელიოსისტემების მხოლოდ ცალკეული ტიპების გამოყენების პირობები (ფოთი, სენაკი, ბორჯომი). ჰელიზონტალური ზედაპირის თითოეული კვადრატული მეტრი ყოველთვიურად(ივლისში) ღებულობს 300-350მჯ/კვ.მ პირდაპირ და 550-600 მჯ/კვ.მ ჯამურ რადიაციას.

Д.მსხვილი და საშუალი ზომის ჰელიოსისტემების ექსპლუატაციის არაკეთილსასურველი პირობები (ანასეული). ჰელიზონტალური ზედაპირის თითოეულ კვადრატულ მეტრზე ყოველთვიურად(ივლისში) მოდის არა უმეტესი 250 მჯ/კვ.მ პირდაპირ და 500-550 მჯ/კვ.მ ჯამური რადიაცია.

ამრიგად, მზის ენერგიის გამოყენების საუკეთესო პირობები იქმნება იორის ზეგანზე, გომბორის ქედზე, დასავლეთ კავკასიონის მაღალმთან ზონაში, სამხრეთ-საქართველოს მთიანეთის ცალკეულ უბნებში, სადაც წარმატებით შეუძლია ფფუნქციონირება ნებისმიერი ტიპის ჰელიოსისტემებს. ჰელიოსისტემების სტაბილური ექსპლუატაცია შესაძლებელია აგრეთვე აფხაზეთში, ალაზნის ველზე, ქვემო ქართლში და სამხრეთ-საქართველოს მთიანეთში. ჰელიოენერგეტიკული რესურსების გამოყენების შესაძლებლობა რამდენადმე შეზღუდულია კოლხეთის ბარის დიდ ნაწილზე.

აღმოსავლეთ საქართველოს ჰელიოენერგეტიკული რესურსები დააზუსტა რ.სამუქაშვილმა. მან ჰელიორესურსების გამოყენების თვალსაზრისით აღმოსავლეთ საქართველოში გამოყო 6 ზონა (ნახ.11.3.2).

პირველ ზონაში რ.სამუქაშვილმა გააქრთიანა ივრის ზეგანი და მესხეთ-ჯავახეთის რაიონის ცენტრალური და სამხრეთი ნაწილები, რომლებიც ხასიათდება მოწმენდილი

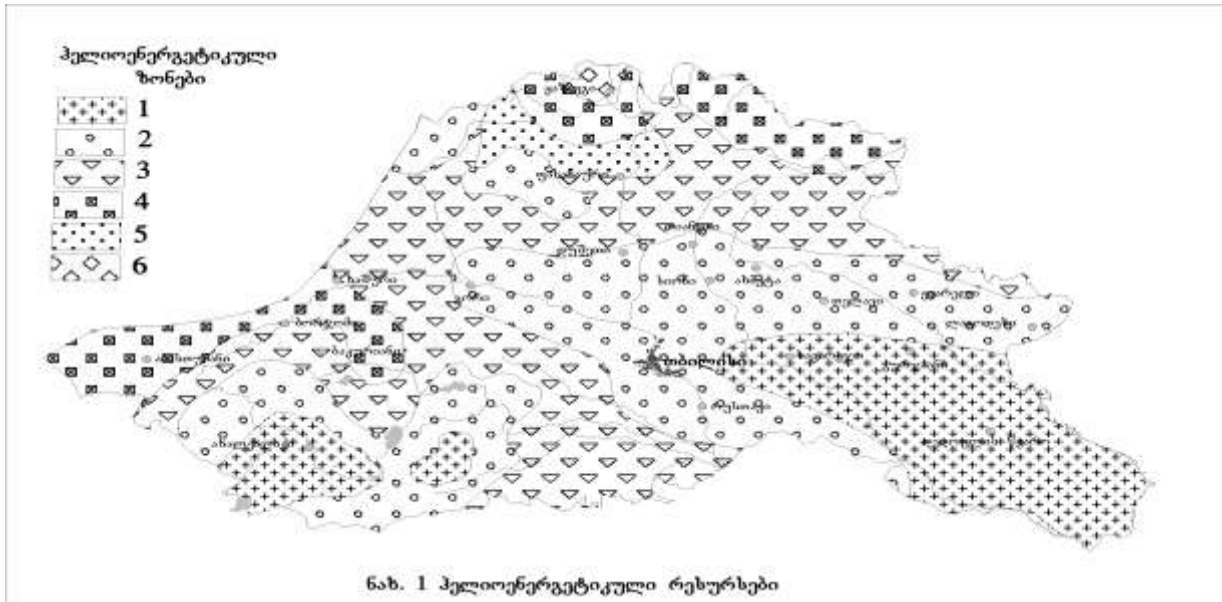
ამინდის დიდი ალბათობით. ეს ზონა უზრუნველყოფს ნებისმიერი ტიპის ჰელიოდანადგარების მაქსიმალური ექსპლოატაციის პირობებს.

მეორე ზონას მიეკუთვნება ალაზნის ველი, შიდა ქართლისა და ქვემო ქართლის ვაკეები, სამხრეთ საქართველოს მთიანეთის ის ნაწილი, რომელიც პირველ ზონაში არ შედის და მდინარე ლიახვის აუზის ზედა წელი როკის უღელტეხილის ჩათვლით. აქ უზრუნველყოფილია ჰელიოდანადგარების სტაბილური ექსპლუატაცია.

მესამე ზონა მოიცავს დიდი და მცირე კავკასიონის მთისწინა, დაბალ და საშუალომთიან რაიონებს, ქართლის ვაკის ჩრდილო-დასავლეთ ნაწილს ლიხის ქედის აღმოსავლეთ ფერდობის ჩათვლით. ამ ზონაში შეიძლება გამოყენებული იქნას საშუალო და მცირე ზომის ჰელიოდანადგარები.

მეოთხე ზონა აერთიანებს კავკასიონის ჩრდილოეთი ფერდობის მაღალმთიან ნაწილებს ყაზბეგის, ახმეტის, თელავის და ყვარლის რაიონების ფარგლებში, აქვე შედის ბორჯომის ხეობაც. ამ ზონაში შესაძლოა ცალკეული სახის მცირე სიმძლავრის ჰელიოდანადგარების გამოყენება.

მეხუთე ზონაში გაერთიანებულია კავკასიონის ისეთი რაიონები, რომლებიც წელიწადის თბილ პერიოდში ხასიათდებან ოროგრაფიული ღრუბლიანობის ინტენსიური განვითარებით. ამ ზონაში აღსანიშნავია მდინარე არაგვის მაღალმთიანი ნაწილი (გუდაური და ჯვრის უღელტეხილი).



ნახ.11.3.2. აღმოსავლეთ საქართველოს პელიოდურგეტიკული ზონები.აღნიშვნები იხ. ტექსტში
(რ.სამუკაშვილი)

მეექვსე ზონა განლაგებულია კავკასიონის მაღალმთიანი სარტყელის ზედა ნაწილში 3500 მეტრზე ზევით, რაც განაპირობებს ჯამური რადიაციის ზრდას და საერთო მოლრუბლულობის რაოდენობის შემცირებას (შესაბამისად მზის ნათების ხანგრძლოვობის ზრდას), რის შედეგად ამ ზონაში მაღალმთიანი ყაზბეგის მონაცემებით აღინიშნება აღმოსავლეთ საქართველოს ტერიტორიისათვის მზის ჯამური რადიაციის აბსოლუტური მაქსიმუმი, რაც ყველაზე მთავარია ტერიტორიის ჰელიოერგეტიკული დარაიონების მახასიათებლებს შორის.

ამოუწურავი და მძლავრია ქარის ენერგეტიკული რესურსები. საქართველოში ქარის ენერგეტიკული რესურსების გამოყენების თვალსაზრისით 5 ზონა გამოიყოფა (ცხრილი 11.3.1).

ცხრილიდან 11.3.1 გამომდინარეობს, რომ ქარის ენერგორესურსების გამოყენება განსაკუთრებით პერსპექტიულია მაღალმთიან უღელტეხილებსა და თხემებზე, აგრეთვე კოლხეთის დაბლობის ცენტრალურ ნაწილში, სადაც იქნება პირობები ყველა ტიპის დანადგარის ეფექტურად გამოყენებისათვის. მათ მიეკუთვნება მამისონის უღელტეხილი, მთა-საბუეთი, ცხრაწყარო, აგრეთვე კოლხეთის დაბლობის ცენტრალურ ნაწილში და სამხრეთ საქართველოს მთანეთში 2000მ-ზე მაღლა განლაგებული პუნქტები.

ე.სუხიშვილის(1971) თანახმად ქარის მდიდარი ენერგეტიკული რესურსებით გამოიჩინება ლიხის ქედი. კერძოდ, მთა-საბუეთის მიდამოებში ქარის წლიური რესურსები აღემატება 2000 ათას კვტ.სთ/კვ.კმ-ს. მდიდარი რესურსებით გამოიჩინება აგრეთვე კავკასიონის მაღალმთიანი ზონა (ყაზბეგი მ/მთ, მამისონის უღელტეხილი), და თბილისის მიდამოები-1000-2000 ათასი კვტ.სთ/კვ.კმ. ფოთსა

ცხრილი 11.3.1. ქარის კომპლექსური ენერგეტიკული დარაიონების მახასიათებლები
(Г.Г.Сваниძე, В.П.Гагуა, Э.В.Сухишвили, 1987)

ზონა, პირობები, დამახასიათებელი სადგურები	1.ქარის საშუალო წლიური სიჩქარე მ/წმ	სიჩქარეების საერთო სანგრძლივობა, სთ.			სიჩქარეების უწყვეტი ხანგრძლივობა, სთ.	
		სამუშაო სიჩქარე		აარააქტიური სიჩქარე	სამუშაო სიჩქარე	აარა აქტიური 0-20/წმ
		უ30/წმ	უ50/წმ	0-2 მ/წმ	უ30/წმ	აარა აქტიური 0-20/წმ
1	2	3	4	5	6	7
ა).ყველა ტიპის დანადგარის ეფექტურად გამოყენების პირობები		უ5000	უ3400	უ3000		
1.მაღალმთანეთის უუღელტე-ხილები და თხემები (მამისონის უღელტ., მთა -საბუეთი, ცხრაწყარო)	5,5-9,0	6700-7100	3900-4200	1600-2000	30-35	10-13
2.სამხრეთ საქართველოს მთანეთი 2,5-ზე მაღლა	3,8	5800-6500	3400-3500	2200-3000	20-25	12-14
3.კოლხეთის დაბლობის ცენტრალური ნაწილი	4,5-5,5	6000-6200	3600-3800	2500-2750	20-25	12-13

ბ).ნელა მოძრავი დანადგარების ეფექტურად გამოყენების და სწრაფად მოძრავი დანადგარების შეზღუდულად გამოყენების პირობები		4000-5000	2000-4000	4100-5000		
1.მტკვრის ხეობა მცხეთიდან რუსთავამდე(დიღომი,თბილისა,უროპორტი,რუსთავი,საგორი)	4,0-6,5	4000-4450	2600-3350	4300-5000	18-25	20-22
2.ჯავახეთის მთანეთის სამხრეთი ნაწილი	2,5-3,0	4500-4650	1850-1980	4100-4300	18-20	15
3.შავი ზღვის სანაპირო ზოლის სამხრეთინაწილი ფოთიდან კახაბერის ვაკემდე	3,5	4280	2000	4480	18	17
4.ყაზბეგი, მაღალმთანი						
გ).რენტაბელური პირობები მხოლოდ ნელა მოძრავი დანადგარებისათვის	6,5	4590 3000-4000	3400 1450-2750	4170 2800-5500	27	25
1.ქოლხეთის დაბლობის ნაწილი(სამტკრედია,დაბლაცის ე.ქობულეთი,ჯვარი,ქვედადიმი)	2,5-5,0	3000-3700	1450-2550	5100-5200	13-18	18-22
2.აღმოსავლეთ საქართველოს მთათაშორისი ბარის ნაწილი(საშუალი,გორი,ცხინვალი,მარტყოფი)	3,0-3,5	3200-3750	1600-2750	5200-5500	14-18	20-26

3.გაგრის ქედი						
დ).ნელა მოძრავი დანად-გარებისათვის შეზღუდულად გამოყენების პირობები	3,0	3400	1920	5360	17	27
1.იორის ზეგანი (უდაბნო ,იორმულანლო,ელდარი)		2000-3000	800-1500	5750-6350		
2.სიონის წყალსაცავის რაიონი (სიონი)	2,5-4,0	2400-2950	800-1500	5800-6350	13-15	20-28
ე).სისტემების არასასურველი პირობები	2,5	2900	1300	5770	13	17
	2,5-3,0	1400-1800	370-740	6900-7300	10-20	27-35

და გორში ქარის ენერგეტიკული რესურსები რამდენადმე ნაკლებია(500-1000 ათასი კვტ.სთ/კვ.მ).

ქარის ენერგეტიკული რესურსების რაოდენობრივი მახასიათებლები საქართველოს ზოგიერთი პუნქტისათვის გათვლილი USW -56 – 100 ტიპის დანადგარისათვის წარმოდგენილია ცხრილში 11.3.2. ქარის ენერგოდანადგარის პარამეტრებად მიღებულია: ნომინალური სიმძლავრე $N_H = 100$ კვტ, ბორბალას ბრუნვის საწყისი სიჩქარე $v_c = 5\text{მ}/\text{წ}\text{მ}$, მუშა სიჩქარე $v_a = 13\text{მ}/\text{წ}\text{მ}$, მაქსიმალური სიჩქარე $V_M = 27\text{მ}/\text{წ}\text{მ}$. ჰაერის სიმკვრივე მიღებული იყო 1,275-ის ტოლად.

ცხრილი 11.3.2. ქარის ენერგეტიკული რესურსების მახასიათებლები

პუნქტი	1ქარბორბალას უტილიზირებული ენერგია კვტ.სთ/კვ.მ	კლანადგარის წარმოებადობა კვტ.სთ
ქუთაისი	1480	105640
ფოთი, პორტი	880	63430
თბილისი, ავიაცენტრი	2190	156500
სენაკი	230	16430
სამგორი, თბილ.ზღვა	2860	204140
ბათუმი, ავიაცენტრი	1090	77860

როგორც ცხრილიდან ჩანს მოცემულ ტიპის დანადგარს წლის განმავლობაში შეუძლია 3გამოიმუშაოს თბილისის ზღვის მიდამოებში 200-ზე მეტი, თბილისის აეროპორტში-დაახლოვებით 150, ქუთაისში-100, ბათუმში-80, ფოთში-60, ხოლო სენაკში-16 ათასი კვტ.სთ ენერგია.

თავი 12. კლიმატის ცვლილება

12.1. გლობალური კლიმატის ცვლილება

კლიმატის თანამედროვე ცვლილების პრობლემა კაცობრიობის უმნიშვნელოვანესი პრობლემაა. მას დიდი ხნის ისტორია აქვს და ფესვები ჯერ კიდევ სრუ საუკუნის 70-იან წლებში ჩნდება, და სახელგანთქმული კლიმატოლოგის ვაკოპენის (1873) სახელს უკავშირდება, რომელმაც იმ დროს მთლიანად დედამიწისათვის დაადგინა ტემპერატურის 1°C -ით დაცემა.

ვ-ვილეტმა (1950) შეაფასა პლანეტარული ტემპერატურის ცვლილების ტენდენცია 1880-1930 წლების პერიოდისათვის, და მიიღო საშუალო პლანეტარული ტემპერატურის $0,5^{\circ}\text{C}$ -ით გაზრდა, ხოლო ზამთრის თვეების ტემპერატურისა- 1°C -ით გაზრდა. ვ-ვილეტის გამოკვლევა გააგრძელა ჯ.მიტჩელმა (1963). მან დაკვირვებათა რიგი შეავსო 1959 წლამდე და მიიღო დასკვნა, რომ ტემპერატურის მატება სუ საუკუნის 40-იანი წლებიდან დაკლებით შეიცვალა.

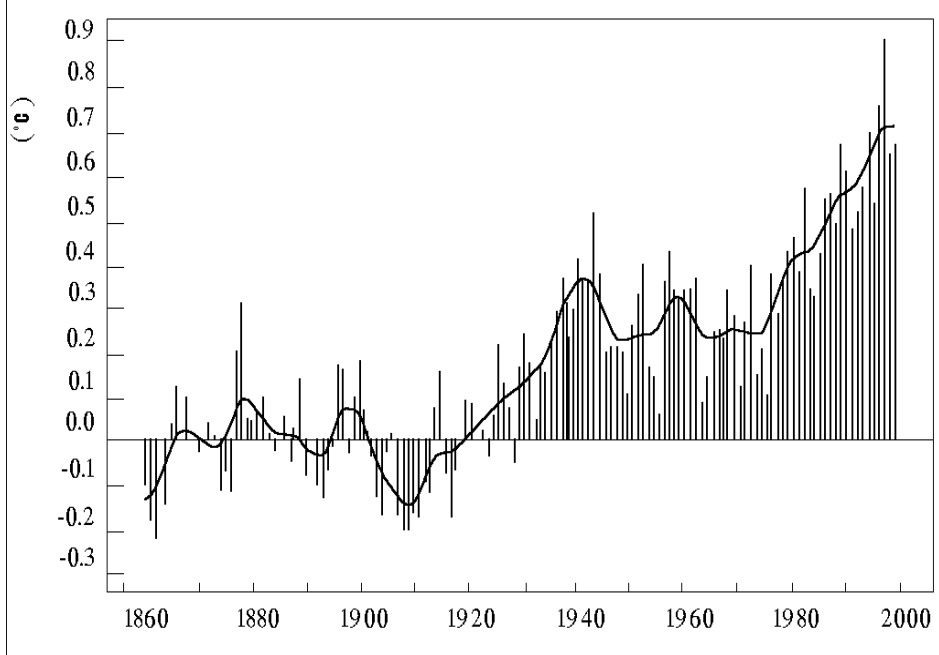
მ.ბუდიკომ (1971) დაადგინა, რომ სრუ საუკუნის დასასრულს დაიწყო დათბობა, რამაც იმავე საუკუნის მიწურულს სუსტად გამოხატულ მაქსიმუმს მიაღწია. შემდეგ დაიწყო ტემპერატურის დაკლება, რაც შეცვალა მისმა სწრაფმა ზრდამ. ტემპერატურის ზრდის ინტენსივობა განსაკუთრებით მაღალი იყო 10-იანი წლების დასასრულს და 20-იანი წლების დასაწყისში. ტემპერატურის დადებითი ანომალია მაქსიმალური იყო 30-იანი წლების დასასრულს, ხოლო 40-იან წლებში დათბობის პროცესი 60-იანი წლების შუაში აცივებამ შეცვალა. ჩრდილოეთ ნახევარსფეროს საშუალო ტემპერატურამ 10-იანი წლებისათვის დამახასიათებელ დონეს მიაღწია. ამდენად XX საუკუნის 70-იანი წლების დასაწყისში მიღებული იყო დასკვნა, რომლის თანახმადაც მიმდინარეობდა კლიმატის აცივება, 70-იანი

წლების შემდეგ კი გლობალურმა ტემპერატურამ დაიწყო ინტენსიური ზრდა. ყოველივე ეს კარგად ჩანს ნახ.12.1.1-ზე.

ამ შედეგებმა განსაზღვრეს კლიმატის შემდგომი ცვლილებების საფუძვლიანი პერიოდის აუცილებლობა. რ.სანდერსონმა (1975) აჩვენა, რომ 1969 წლიდან 1974 წლამდე არქტიკის უმცირეს რაიონებში გამყინვარება მცირდებოდა. ამასვე ადასტურებს რუსი მეცნიერების მიერ მიღებული დასკვნები (ვ.ზახაროვი, ლ.სტროკინა, 1978). დედამიწის კლიმატის თანამედროვე ცვლილების ემპირიული გამოკვლევის ძირითადი შედეგები განაზოგადა კ.ვინიკოვმა (1986). მან დაამუშავა გლობალური კლიმატური სისტემის ენერგეტიკული ბალანსის დიაგნოსტიკური არასტაციონალური მოდელი, რის საფუძველზედაც შეაფასა ტემპერატურის ანტროპოგენური ზრდა - CO_2 -ის გავლენით დაწყებული 1880 წლიდან ასი წლის განმავლობაში $0,5^{\circ}\text{C}$ -ის სიდიდით.

XXI საუკუნის დასაწყისში მსოფლიო მეტეოროლოგიური ორგანიზაციის ეგიდით ჩატარებულმა გამოკვლევებმა დაადასტურეს გლობალური კლიმატის დათბობის აღნიშნული ტენდენცია. ამავე დროს დადგინდა, რომ დედამიწის სხვადასხვა რაიონებში დათბობა სხვადასხვა ინტენსივობით მიმდინარეობს. უფრო მეტიც ცალკეულ რაიონებში დათბობას აცივება ცვლის.

დათბობა განსაკუთრებით მკაფიოდ არის გამოხატული ევრაზიისა და ჩრდილოეთ ამერიკის პოლარულ სექტორებში, აგრეთვე წყნარი ოკეანეს აღმოსავლეთ და ცენტრალურ ნაწილებში, და ინდოეთის ოკეანეს სამხრეთ ნაწილში. ინტენსიური აცივების დიდი ფართობები დაფიქსირებულია წყნარი ოკეანეს ჩრდილოეთ და სამხრეთ, აგრეთვე ატლანტიკის ოკეანეს ჩრდილოეთ ნაწილში. სუსტი აცივება



ნახ.12.1.1. გლობალური ტემპერატურის ცვლილება. $^{\circ}\text{C}$

აღინიშნება აფრიკის კონტინენტის ცენტრალურ ნაწილში – ნოტიო ეკვატორული ტყეების ზონაში.

განსაკუთრებით აქტუალურია კლიმატის ცვლილების პრობლემა მთებში. თითოეული ფერდობის კლიმატური რეჟიმი წარმოადგენს უთვალავი “ტოპოკლიმატური ზონების” ერთობლიობას, რომელთაგანაც თითოეული თავისი განსაკუთრებულობით გამოირჩევა. ეს ართულებს მთებში კლიმატის ცვლილების ტენდენციების და რაოდენობრივი მახასიათებლების ობიექტურ შეფასებას.

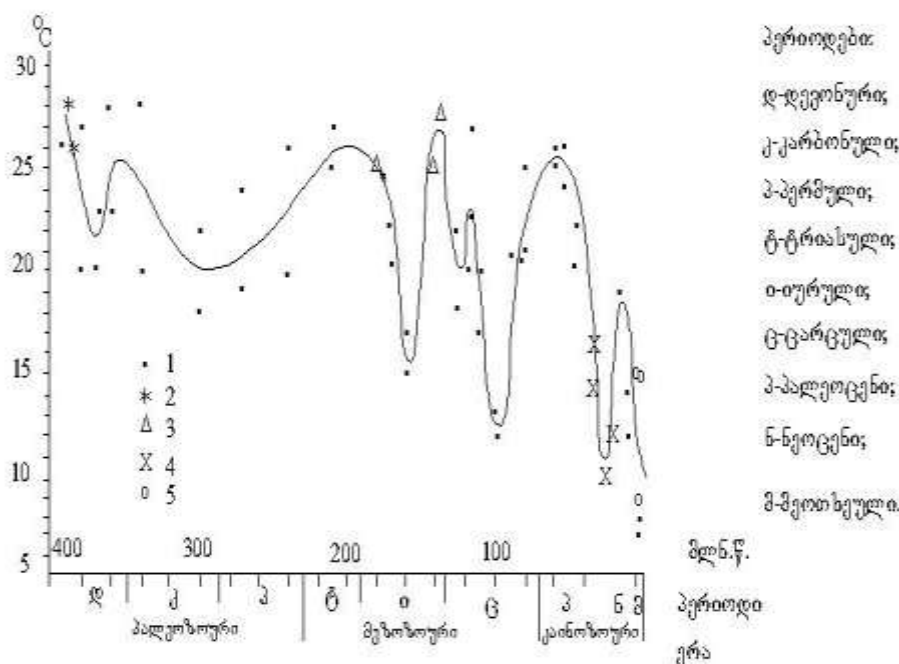
პიყი დიუ-მიდის (საფრანგეთი, პირინეები, 2862მ.) მონაცემების ანალიზმა აჩვენა, რომ 100 წლის განმავლობაში საშუალო წლიურმა ტემპერატურამ მოიმატა $0,94^{\circ}\text{-ით}$. დათბობის ტენდენცია განსაკუთრებით შესაძლებელი შემოდგომით და გაზაფხულზე იყო. აღსანისნავია, რომ ვაკე რაიონებში დათბობის ასეთი ინტენსივობა არ აღინიშნება.

ალპების მაღალმთიანი სადგურები აფიქსირებენ ერთდროულად მინიმალური და მაქსიმალური ტემპერატურების ზრდას, მაშინ როდესაც ამავე რეგიონში დაბლობზე განლაგებული სადგურების მონაცემების თანახმად

12.2 კლიმატის ცვლილების ძირითადი ტენდენციები საქართველოში

დღეისათვის არსებობს საკმაოდ მრავალრიცხოვანი ლიტერატურა, მთლიანად დედამიწის, ან მისი ცალკეული რეგიონების კლიმატური პირობების შესახებ გეოლოგიურ წარსულში. ამ ინფორმაციის საფუძველზე ჩატარდა კავკასიის კლიმატების რეკონსტრუქცია უანეროზოიში. გამოყენებული იყო ისეთი ლითოლოგიური მაჩვენებლები, რომლებიც კარგად ეთანხმებოდა გეოჭიმიურ, პალეობიოლოგიურ, პალეობოტანიკურ და პალინოლოგიურ მონაცემებს. განსაკუთრებით საიმედოდ მიჩნეული იყო უკანასკნელ წლებში ჩატარებული პალეოთერმომეტრული გაზომვები. ამ მონაცემების საფუძველზე აგებული საშუალო წლიური ტემპერატურების ცვლილების მრუდი 400 მილიონი წლის მანძილზე წარმოდგენილია ნახ.12.2.1-ზე.

პალეოტემპერატურა კავკასიის რეგიონში მთელი პალეოზოური ერას განმავლობაში საკმაოდ მაღალი იყო და საშუალო $20-28^{\circ}\text{C}$ შეადგენდა. მეზოზოური ერას განმავლობაში წლიური ტემპერატურის რყევადობა უფრო ფართო დიაპაზონში აღინიშნებოდა ($12-28^{\circ}\text{C}$). განსაკუთრებით მნიშვნელოვანი ცვლილებები, კერძოდ ტემპერატურის ხშირი დაცემები კაინოზოურ ერაში - პალეოცენში და მეოთხეულ პერიოდებში მიმდინარეობდა. უკანასკნელ მათგანში ჰაერის საშუალო წლიური ტემპერატურა 7°C -მდე დაცა.



ნახ. 12.2.1. პაერის საშუალო წლიური ტემპერატურის ცვლილება კაგესიაში უკანასკნელი 400 მდნ წლის მანძილზე სხვადასხვა ავტორების მიხღდვით:

1 – ნ.იასამანოვი (1985); 2 – ვ.სინიცინი (1976);
3 – კ.ნუცუბიძე (1966); 4 – კ.ემილიანი (1966); 5 – ვ.სერგინი (1978);
(მ.ელიზბარაშვილი, 2001)

კლიმატი იცვლებოდა უკანასკნელ ათასწლეულშიც, რაც ძირითადად შეესაბამება ე.ელიზბარაშვილის და თ.ალა-დაშვილის (1997) მიერ მიღებულ კლიმატური პირობების რეკონსტრუირებულ მრაულს, რომლის თანახმადაც გამოიკვეთება სრტ-სრტ საუკუნეების კლიმატური ოპტიმუმი, აგრეთვე ხ��-ხრა და ხრტ-ხრტ საუკუნეების მცირე მყინვარული პერიოდები, რომელთაც გლობალური მასშტაბები ჰქონდათ.

თბილისის ტემპერატურის რიგების პირველი სტატისტიკური ანალიზი ჩატარეს ი.ქურდიანმა (1956) და გ.ჭირაქაძემ (1956). ი.ცუცქირიძემ (1960) სცადა

ურბანზაციის ეფექტის აღმოჩენა თბილისის და გარდაბნის დაკვირვებათა მონაცემების შედარების საფუძველზე.

თბილისის ტემპერატურის 100 წლიანი რიგები გაანალიზეს რ.გვაზავამ და ვ.ხორგუანმა (1989). მათ საშუალო წლიური ტემპერატურის ნაზრდი შეაფასეს $0,6^{\circ}\text{C}$ -სიდიდით.

საქართველოს კლიმატის ცვლილების პრობლემას მიეძღვნა დ.მუმლაძის (1991) სპეციალური მონოგრაფია. ჩატარებული ანალიზის საფუძველზე მიღებულია, რომ ტემპერატურის ზრდამ საქართველოში მაქსიმუმს მიაღწია 1966-1975 წლებში. საშუალო ტემპერატურის ზრდა ძირითადად ზამთრის ტემპერატურების ხარჯზე მიმდინარეობდა. იანვრის ტემპერატურის ნაზრდი 150 წლის მაზილზე $2,1^{\circ}\text{C}$ -ს შეადგენს.

მონოგრაფიაში “თბილისის კლიმატი” (1992) ტემპერატურის საშუალო მნიშვნელობების გარდა განხილულია მათი ექსტრემალური მნიშვნელობების დროითი სვლაც.

ნ.ბერუჩაშვილმა (1995) ჩატარა კლიმატის ცვლილების კომპიუტერული ექსპერიმენტები, ლანდშაფტური სტრუქტურის უცვლელობის გათვალისწინებით. ექსპერიმენტების საფუძველზე მან შეაფასა კავკასიის თანამედროვე ლანდშაფტების რეაქცია გლობალური ტემპერატურის იმ გაზრდაზე, რასაც ვარაუდობენ სრ საუკუნის პირველ ნახევარში.

საქართველოს ტემპერატურული ველის ცვლილების სრული სივრცითი სურათის და აგრეთვე მრავალრიცხოვანი ტრენდების მიღება შესაძლებელი გახდა მხოლოდ "კლიმატის ცვლილების კვლევის ეროვნული პროგრამის" ჩარჩოებში ჩატარებული გამოკვლევის საფუძველზე (კ.თავართქილაძე, ე.ელიზბარაშვილი, დ.მუმლაძე, ჯ.ვაჩნაძე, 1999). მეთოდოლოგიური თვალსაზრისით, ეს გამოკვლევა ყველაზე გამართულია. მასში 90 მეტეოროლოგიური საღვურისათვის შექმნილია 1906-1996წ პერიოდის მონაცემთა ბანკი.

კვლევის ძირითადი შედეგი იმაში მდგომარეობს, რომ თანამედროვე გლობალური დათბობის საერთო ფონზე აღმოსავლეთ საქართველოში მიმდინარეობს ტემპერატურის ზრდა, ხოლო დასავლეთში - უმთავრესად კლება. საშუალო

წლიური ტემპერატურის ზრდის ყველაზე მაღალი სიჩქარები აღინიშნება ქვემო ქართლის ვაკეზე, ქართლის და კახეთის ქედებზე, ლიხის ქედის აღმოსავლეთ კალთებზე და ბორჯომის ხეობაში. ამ რაიონებში ტემპერატურის ზრდის ყოველწლიური სიჩქარე აღმატება $0,005^{\circ}\text{C}$ -ს. ტემპერატურის უმნიშნელო კლებაა ჯავახეთის ზეგანზე.

დასავლეთ საქართველოს ტერიტორიის დიდ ნაწილზე წლიური ტემპერატურების მნიშვნელოვანი ცვლილება არ შეინიშნება, ცალკეულ რაიონებში კი შეიმჩნევა აცივება. აცივება დამახასიათებელია კოლხეთის დაბლობის შიდა რაიონებისათვის, მესხეთის ქედის დასავლეთი ნაწილისა და მდინარე ენგურის ხეობის ზემო წელისათვის. დათბობის ცალკეული კერებია შავი ზღვის სანაპიროზე, აჭარაში ჩაქვის მახლობლად, იმერეთის მაღლობზე და რაჭის ქედზე. ტემპერატურის ცვლილების მიმართ განსაკუთრებით მგრძნობიარეა ინგარი.

მრავალფეროვანია აგრეთვე ნალექების ცვლილების ხასიათი (ე. ელიზბარაშვილი, ლ.პაპინაშვილი, 2001). კოლხეთის დაბლობზე და აჭარის მთებში გასული საუკუნის განმავლობაში ნალექები იზრდებოდა საშუალოდ ნმშ-ით ყოველ 10 წელიწადში, კავკასიონის მაღალმთიან ზონაში კი ნალექები მცირდებოდა 9 მმ სიჩქარით 10 წელიწადში.

12.3. ლოკალური კლიმატების რეაქცია გლობალური დათბობის მიმართ

დასავლეთ საქართველოში მიმდინარე აცივების მთავარ მიზეზად გმეტრეველი და მმეტრეველი (2001) შავი ზღვის აცივებას მიიჩნევთ. მაშინ ცხადია, რომ ეს თანაბრად უნდა ეხებოდეს მთლიანად კოლხეთის დაბლობს და მიმდებარე მთიან, უპირველეს ყოვლისა, დაბალმთიან რაიონებს. მაგრამ არსებული გამოკვლევების თანახმად (კ.თავართქილაძე, ე.ელიზბარაშვილი, დ.მუმლაძე, ჯ.გაჩნაძე, 1999) ეს ასე არ არის. კერძოდ, თუ კოლხეთის დაბლობის დიდ ნაწილზე და აფხაზეთის ტერიტორიაზე ჰაერის საშუალო წლიური ტემპერატურა კლებულობს $0,01\text{--}0,03^{\circ}$ -ით ყოველ 10 წელიწადში, შავი ზღვის მიმდებარე ტერიტორიაზე აგრეთვე კოლხეთის დაბლობის ნაწილზე და მდინარე ენგურის

ხეობაში ტემპერატურა იზრდება, ხოლო ტემპერატურის ზრდის ყველაზე დიდი სიჩქარე ეგრისის, ოქტომბერის და რაჭის ქედებზეა დაფიქსირებულია და 0,03°-ს აღწევს ყოველ ათ წელიწადში. ეს იმაზე მიუთითებს, რომ შავი ზღვის გარდა აცივების პროცესს სხვა მექანიზმებიც განსაზღვრავნ. ამ თეზისს განამტკიცებს ის, გარემობაც, რომ აცივების ცალკეული კერები აღმოსავლეთ საქართველოშიც აღინიშნება. ამრიგად შავი ზღვის ზღდაპირული წყლის ტემპერატურის შემცირება გავლენას მოახდენს მხოლოდ სანაპირო ზოლის პაერის ტემპერატურაზე და მისი გავრცელება მთლიანად დასავლეთ საქართველოზე დაუშვებელია.

დასავლეთ საქართველოში მიმდინარე აცივებას ა.ხანთაძე, თ.გ.ზირიშვილი და გლაზრიევი (1997) აეროზოლების სიმკვრივის სიჭარბით ხსნიან, რაც მათივე აზრით განპირობებულია ადგექციურ-დინამიკური ფაქტორებით და მუსონური ცირკულაციით. აეროზოლურ ნაკადს გააჩნია უფრო დიდი ინერცია, ვიდრე სათბურის აირების ნაკადს. ამიტომ მუსონური ცირკულაციის შედეგად იქმნება აეროზოლების სიჭარბე, რაც დასავლეთ ამიერკავკასიაში აცივების ძირითადი მიზეზია.

რა თქმა უნდა ზემოღ წამოყენებული ორივე ჰიპოთეზა მისაღებია. ეს ფაქტორები - შავი ზღვა და ატმოსფეროს ცირკულაცია, თანაბრად უნდა მოქმედებდნენ მთელ დასავლეთ ამიერკავკასიაზე. მაგრამ გამოკვლევების თანახმად (კ.თავართქილაძე, ე.ელიზბარაშვილი, დ.მუშლაძე, ჯ.ვაჩნაძე, 1999) დასავლეთ საქართველოში კლიმატის ცვლილების ძალზე რთული სურათი აღინიშნება - მიუხედავად იმისა, რომ აცივება დომინირებს, ცალკეულ კერებში დათბობა მიმდინარეობს. ანალოგიური სურათია აღმოსავლეთ საქართველოში, დათბობის საერთო ფონზე ტემპერატურის ცვლილების უარყოფითი სიჩქარეები აღინიშნება მთელ რიგ პუნქტებში - აბასთუმანში, ახალქალაქში, ახალციხეში, გორში, გუდაურში, და სხვა. ამრიგად ლოკალური კლიმატების ცვლილების მთავარი მიზეზი უნდა ვეძიოთ ადგილობრივ ბუნებრივ-ლანდშაფტურ პირობებში.

კლიმატის ცვლილების წამოყენებულ მექანიზმებს უარყოფს აგრეთვე აზერბაიჯანში ჩატარებული გამოკვლევები

(С.Г.Сафаров, 2000). Аცივების მძლავრი კერა აღინიშნება ლენქორანის ოლქში, სადაც არც შავის ზღვის გავლენაა და არც იმ ტიპის ცირკულაციაა, რაც კოლხეთისათვის არის დამახასიათებელი.

აღმოჩნდა, რომ გლობალური დათბობის მიმართ ყველაზე სწრაფ რეაქციას ამჟღავნებენ ვაკეების სუბპუმიდური და სუბარიდული ლანდშაფტები (Б,В,Д) და აგრეთვე სუბპუმიდურში გარდამავალი დაბალი და საშუალო მთის ტყის (Н₅-Н₆), და მთის ზომიერი სუბპუმიდური (П) ლანდშაფტები. აღნიშნულ ლანდშაფტებში საშუალო წლიური ტემპერატურის ზრდის სიჩქარე ახლოსაა საშუალო გლობალური ტემპერატურის ცვლილების სიჩქარესთან (ცხრილი 12.3.1).

ჰუმიდური ლანდშაფტები, როგორც ვაკე (А) ისე მთის კოლხური (Н₁-Н₄), სუსტად რეაგირებენ გლობალური დათბობის მიმართ. უფრო მეტიც, გლობალური დათბობის საერთო ფონზე აღნიშნულ ლანდშაფტებში საშუალო წლიური ტემპერატურა კლებულობს 0,01-0,04°C-ით ყოველ ათწლიურში. ეს ალბათ აიხსნება ჰუმიდური ლანდშაფტების დიდი ინერციულობით და აგრეთვე აორთქლებაზე დახარჯული სითბოს მნიშვნელოვანი რაოდენობით.

მთიან და მაღალმთიან რაიონებში, სადაც მდგრადი თოვლის საფარი იცის, თოვლის დროის დროს ჰაერის მიწისპირა ფენაში ტემპერატურა კლებულობს, რის გამოც ტემპერატურის ცვლილების სიჩქარე რამდენადმე ეცემა, ზოგჯერ კი უარყოფითიც ხდება. ამრიგად გლობალური დათბობის ფონზე ლოკალური კლიმატების მოზაიკური ცვლილების ძირითადი მიზეზი ბუნებრივი ლანდშაფტური პირობების თავისებურებაშია. ჰუმიდურ ლანდშაფტებში სითბოს დიდი რაოდენობა იხარჯება აორთქლებაზე, მთებში კი თოვლის დნობაზე, ამიტომაც მათი რეაქცია გლობალური დათბობის მიმართ გაცილებით სუსტია, ვიდრე არაჰუმიდური ლანდშაფტებისა (ე.Ш.ელიზნარაშვილი, М.ე.ელიზნარაშვილი, 2002).

მიღებული დასკვნები საფუძვლად დაედო ტემპერატურის ცვლილების სიჩქარის რუკის შედეგნას ლანდშაფტურ საფუძველზე მთლიანად ამიერკავკასიისა და ნაწილობრივ ჩრდილოეთ კავკასიისათვის (ნახ.12.3.1.).

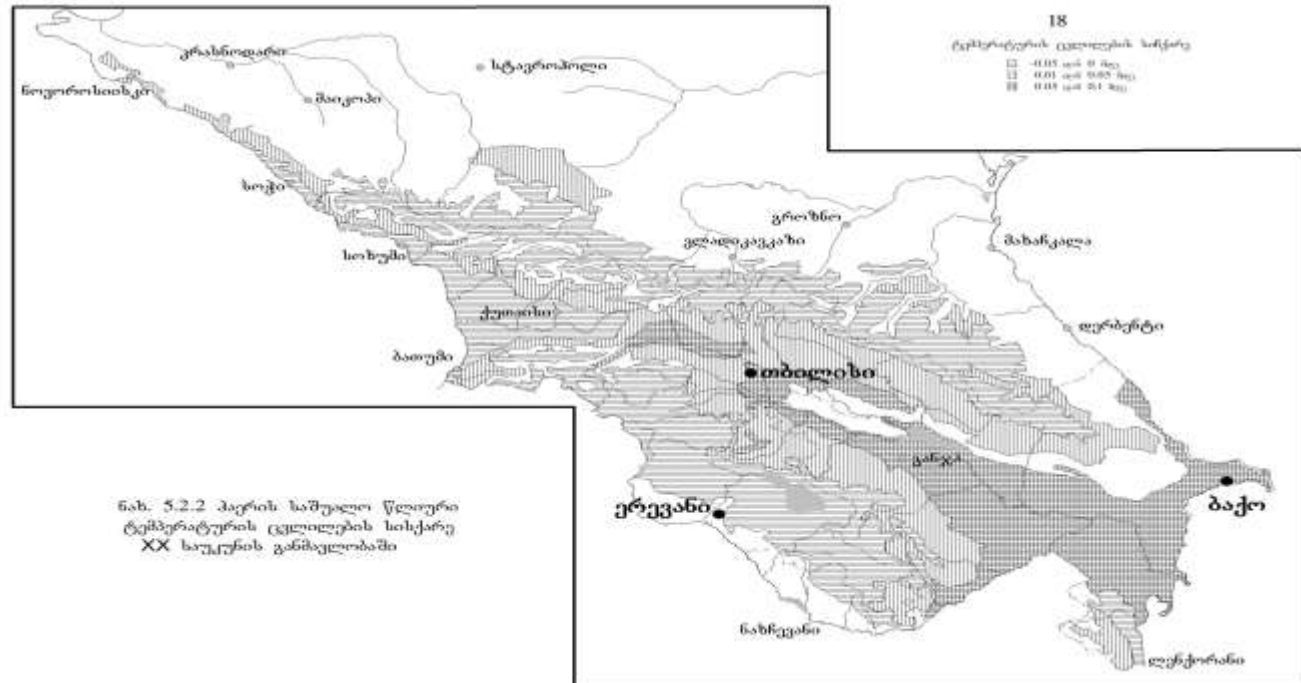
ცხრილი 12.3.1.კლიმატის თანამედროვე ცვლილების ტენდენციები
კავკასიის სხვადასხვა ბუნებრივ-ლანდშაფტურ პირობებში
(ე.შ.ელიზბარაშვილი, მ.ე.ელიზბარაშვილი, 2002)

№	ბუნებრივი ლანდშაფტის ტიპი (ქვეტიპი) და დამახასიათებელი საღვური	აღნიშვნა (ნ.ბერუბაშვილის 1995) შესაბამისად	ტემპერატურის ცვლილების სიჩქარე $^{\circ}\text{C}$ 10°C ში		
			იანვარი	ივლისი	წელი
1	2	3	4	5	6
1	ვაკეებისა და გორაკ-ბორცვების სუბტროპიკული ჰუმიდური სონუმი ანაკლია ჭეთაისი ლენქორანი ბათუმი სამტრედია	A	0,02 0,02 -0,02 -0,04 0 0,03	-0,-1 -0,01 0 -0,07 -0,01 -0,02	-0,02 -0,01 -0,03 -0,02 -0,01 -0,02

2	ვაკეებისა და გორაკ-ბორცვების სუბზელთაშუაზღვიური სუბპუმიდური ანძეტა თელავი ალაზანი გორი	Б	0,11 0,08 0,10 0,06	0,11 0,04 0,05 -0,03	0,07 0,03 0,04 -0,03
3	ვაკეებისა და გორაკ-ბორცვების სუბტროპიკული სუბარიდული გარდაბანი შირაქი მარნეული თბილისი განჯა	В	0,14 0,08 0,16 0,17 0,14	0,06 -0,02 0,05 0,05 0,05	0,07 0,05 0,06 0,07 0,09
4	ვაკეების სუბტროპიკული არიდული ბაქო ჯაბარბანი	Г	0,04 0,15	0 0,03	0,01 0,08
5	ვაკეების ზომიერად თბილი სუბპუმიდური ლაგოდეხი ყვარელი ბოლნისი საგარეველი ზაქათალა	Д	0,09 0,09 0,12 0,11 0,09	0,08 0,08 0,18 0,03 0,09	0,07 0,04 0,06 0,05 0,07
6	დაბალი და საშუალო მთის ტყების ზომიერად თბილი ჰუმიდური ა) დაბალი და საშუალო მთის ტყეები				

	ონი მესტია აშხაროლაური ლეჩტები ხულო ქვდა ბახმარო ბ) სუბპუმიდურში გარდამავალი დაბალი და საშუალო ტყის ბორჯომი გომბორი ბარისახო დუშეთი თავნეთი	H₁-H₄	-0,06 -0,01 0,03 -0,08 -0,01 -0,01 -0,04	0,11 -0,04 0,07 0,15 0,02 -0,01 -0,01	-0,02 -0,04 0,03 0,02 -0,02 -0,02 -0,04
7	მთის ზომიერი ჰუმიდური კუბა	O	0,13	0,09	0,17
8	მთის ზომიერი სუბპუმიდური რაღიონოვება წალკა ღმანისი ეფრემოვება კარწახი	II	0,11 0,09 0,14 0,15 0,13	0,05 0,04 0,09 0,09 0,07	0,04 0,03 0,07 0,05 0,06
9	მთის ზომიერი არიდული ნახჭევანი	C	0,13	0,09	0,17

10	ექმაღალი მთის მდელოები მამისონის გაღ. ჯვრის გაღ.	y	-0,03 0,06	0,03 -0,01	-0,02 0,03
----	--	---	---------------	---------------	---------------



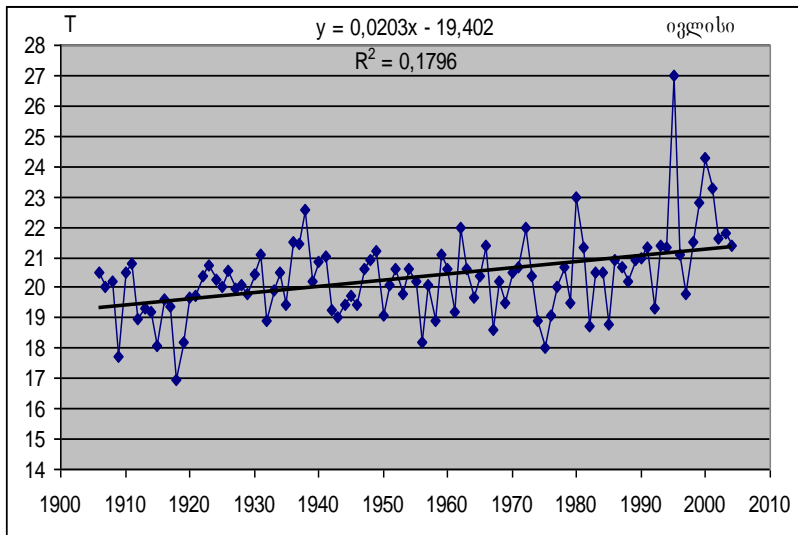
ნახ.12.3.1. პატიონ საშუალო წლიური ტემპერატურის ცვლილების სიჩქარე XX საუკუნის
განმავლობაში 10 წელიწადში

კლიმატის ცვლილების ეროვნული პროგრამის მე-2 შეტყობინების მომზადებასთან დაკავშირებით ჩატარებულმა გაძოკვლევებმა (ძ.ელიზბარაშვილი, 2006) უკანასკნელი წლების მონაცემების გათვალისწინებით აჩვენა, რომ ტემპერატურის ზრდის სიჩქარე XX და XXI საუკუნეების მიჯნაზე მკვეთრად გაიზარდა და ბოლო ოცნების ზოგიერთ ლანდშაფტებში 1°C -ს მიაღწია (ცხრილი 12.3.2). ცხრილი 12.3.2. ტემპერატურის ცვლილების სიჩქარე სხვადასხვა დროით პერიოდში, კორელაციის კოეფიციენტი r , სტატისტიკური ნიშნადობის მახასიათებელი $H = /r/\sqrt{n-1}$, და ნიშნადობის საიმედობის დონე (p%) (ლენტეხი). (ძ.ელიზბარაშვილი, 2006)

პერიოდი	ჰარამეტრი	იანვარი	ივლისი	წელი
1906-2004	სიჩქარე	-0,057	0,203	0,073
	r	-0,08	0,42	0,31
	H	0,8	4,2	3,1
	P%	-	99,9	99
1966-2004	სიჩქარე	0,097	0,718	0,298
	r	0,06	0,49	0,42
	H	0,36	2,94	2,52
	P%	-	99	99
1986-2004	სიჩქარე	0,711	1,109	0,967
	r	0,20	0,36	0,58
	H	0,80	1,44	2,32
	P%	-	-	95
1994-2004	სიჩქარე	-0,936	-0,818	0,365
	r	-0,22	-0,14	0,15
	H	0,68	0,44	0,47
	P%	-	-	-

ცხრილიდან ჩანს, რომ დაკვირვებათა მთელი პერიოდისათვის სტატისტიკურად და კლიმატოლოგიურად ნიშნადია საშუალო წლიური და ივლისის ტემპერატურების ცვლილებები. ტემპერატურის წლიური ცვლილების სიჩქარეში შეადგინა $0,07^{\circ}$ -ს ათ წელიწადში, მაშინ როდესაც პირველი ეროვნული შეტყობინების თანახმად ეს სიჩქარე მხოლოდ $0,02^{\circ}$ იყო (კ.თავართქილაძე, ე.ელიზბარაშვილი, დ.მუმლაძე, ჯ.გაჩიაძე, 1999). სიჩქარე გაიზარდა 1966-2004 წლებრიოდში და მიაღწია $0,3^{\circ}$ -ს, ხოლო მისი განსაკუთრებული

ზრდა 1986-2004 წლებში აღინიშნა, რაც დაკავშირებულია ანტონოგენური ფაქტორის ინტენსიურ ზრდასთან. ამ პერიოდის განმავლობაში საშუალო წლიური ტემპერატურის ზრდის სიჩქარემ თითქმის 1° -ს მიაღწია. უკანასკნელ ათ წლიური მატებით (1994-2004) ტემპერატურის არსებითი ზრდა არ აღინიშნება. ტემპერატურის ზრდის სიჩქარე განსაკუთრებით ინტენსიური ივლისში იყო და შეადგინა მთელი პერიოდისათვის $0,2^{\circ}$, 1966-2004 წლიური მატებით განსაკუთრებით იყო და შეადგინა მთელი პერიოდისათვის $-0,7^{\circ}$, ხოლო 1986-2004 წლებში 1° -ს აღემატებოდა(ნახ.12.3.2).



ნახ. 12.3.2. ივლისის საშუალო თვიური ტემპერატურის მრავალწლიური სკლა ლენტებში

ატმოსფერული ნალექების წლიური ჯამები მთელი პერიოდის განმავლობაში ლენტებში იზრდებოდა საშუალო სიჩქარით 6-7მმ წლიურადში, ნალექების ზრდის სიჩქარე გაიზარდა 1966-2004 წლიური განმავლობაში და მიაღწია 10მმ წლიურადში, ხოლო მომდევნო პერიოდებში (1986-2004 და 1994-2004) ნალექების ცვლილება სტატისტიკურად არ მტკიცდება, რაც შეიძლება აიხსნას იმით, რომ 20 წელზე ნაკლები პერიოდი კლიმატური ნორმების გაანგარიშებისათვის ნაკლებად საიმედოა.

აღსანიშნავია, რომ ამავე შეტყობინების მზადებისათვის ჩატარებული გამოკვლევების თანახმად წლიური ტემპერატურის ცვლილების სიჩქარე ვაკეების სუბტროპიკულ ჰუმიდურ ლანდშაფტებში (ფოთი) დადგებითი გახდა და შეადგინა დაკვირვებათა მთელი პერიოდისათვის $0,03^{\circ}$, ხოლო $1995-2005$ წწ პერიოდისათვის $-0,8^{\circ}$ 10 წელიწადში. მკეთრად გაიზარდა ტემპერატურის ზრდის სიჩქარე ვაკეების სუბტროპიკულ სუბარიდულ ლანდშაფტებში და ბოლო 20 წელიწადში $0,5^{\circ}$ -ს მიაღწია.

12.4. ლანდშაფტების ტრანსფორმაციის კლიმატური კრიტერიუმები

ბუნებრივი ლანდშაფტების შესაძლო ტრანსფორმაციის კლიმატური პირობები შეიძლება შეფასდეს კავკასიის ლანდშაფტური ზონალურობის ცხრილიდან(12.4.1).

ამ ცხრილიდან გამომდინარე ვაკე სუბტროპიკული და სუბტროპიკულთაშუაზღვიური ლანდშაფტების (A,B,D,B, Γ) ფორმირების მთავარი ფაქტორი ატმოსფერული ნალექებია. ამიტომ თითოეული მათგანის სხვა ტიპად გარდაქმნისათვის საკმარისია ატმოსფერული ნალექების მრავალწლიური ჯამის ცვლილება. მაგალითად, ვაკე ჰუმიდური (A) ლანდშაფტები შესაძლებელია გარდაიქმნას სუბპუმიდურ (B,D) ლანდშაფტებად იმ შემთხვევაში თუ ატმოსფერული ნალექების მრავალწლიური ჯამი შემცირდება დაახლოვებით $500-1000$ მმ-ით და უფრო მეტით. ეს უკანასკნელი კი გარდაიქმნებიან სუბარიდულ (B) ლანდშაფტებად, თუ ნალექები კვლავ შემცირდება დაახლოვებით 200 მმ-ით, ხოლო სუბარიდული ლანდშაფტები გარდაიქმნებიან არიდულ (Γ) ლანდშაფტებად თუკი ნალექების წლიური ჯამი კვლავ შემცირდება 200 მმ-ით. იგულისხმება, რომ ტემპერატურული რეჟიმი უცვლელი რჩება.

ატმოსფერული ნალექები განსაზღვრავს აგრეთვე ვაკე ზომიერად თბილი და ზომიერი ლანდშაფტების ფორმირებას და ტრანსფორმაციას. სუბარიდული (E) და სუბპუმიდური (\mathbb{K}) ლანდშაფტები შესაძლოა გარდაიქმნან არიდულად (3), თუკი ნალექების წლიური ჯამი შემცირდება 200 მმ-ით და ა.შ.

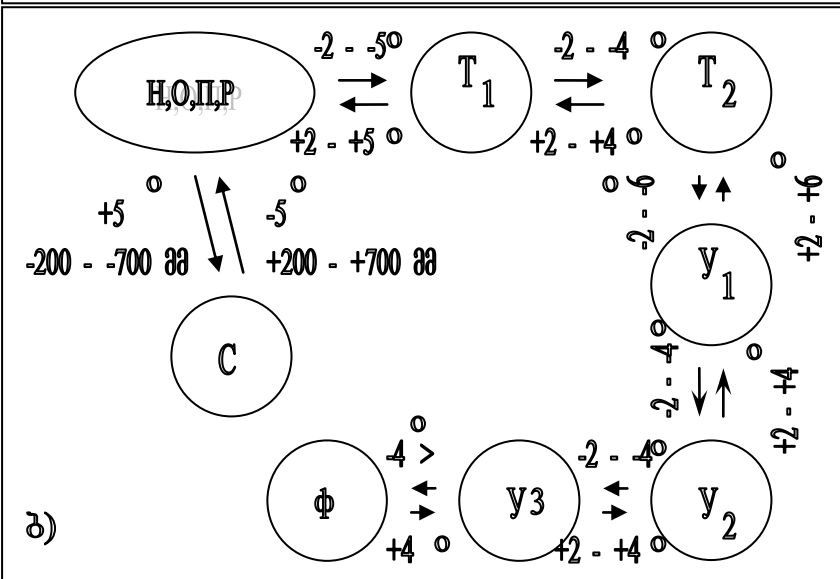
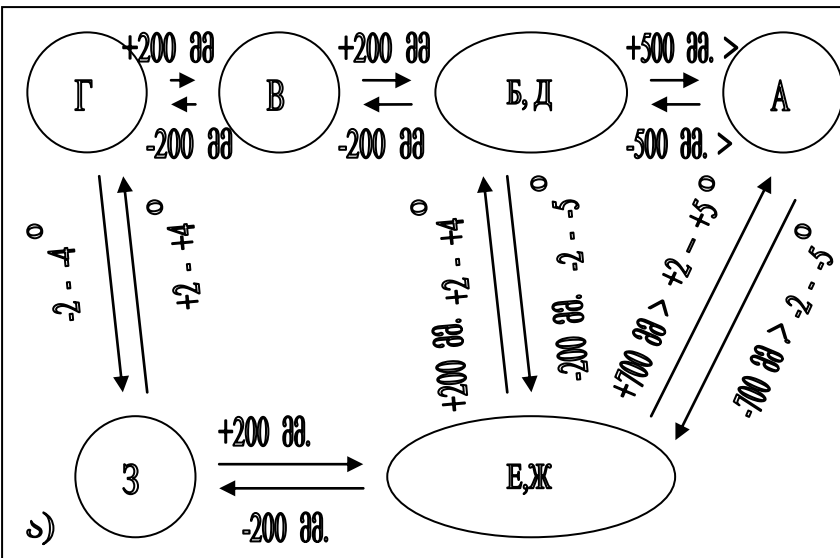
მთებში ბუნებრივი ლანდშაფტების ფორმირების მთავარი ფაქტორი სითბოა, ანუ მთის ლანდშაფტების ტრანსფორმაცია დაკავშირებულია არა ნალექების, არამედ ტემპერატურული პირობების ცვლილებასთან. ეს აიხსნება მთებში დაბალი აორთქლებადობით, რომლის დროსაც საკმარისა ნალექების სულ მცირე რაოდენობაც კი. ასე მაგალითად, სუბალპური ტყის და ბუჩქარის ლანდშაფტები (Y_1) შემოისაზღვრებიან იზოთერმებით -1 და +3. ისინი შესაძლოა ტრანსფორმირდნენ ალპური ბუჩქარების და მდელოების (Y_2) ლანდშაფტებად იმ შემთხვევაში, თუ ჰაერის მრავალწლიური საშუალო ტემპერატურა შემცირდება $2-4^{\circ}\text{C}$ -ით, რაც პრაქტიკულად დაუშვებელია, რადგანაც ჩვენს მიერ შემუშავებული სცენარებით უძრავი საუკუნეში ჰაერის ტემპერატურის ცვლილების სიჩქარეები ყველა ლანდშაფტებში დადგებითი იქნება. ერთ-ერთი სცენარის თანახმად 20-25 წლის შემდეგ ტემპერატურა შესაძლოა 4-

ცხრილი 12.4.1.ქავებასიის ლანდშაფტური ზონალურობის ცხრილი
 (М.Э.Элизбарашили, 2003)

ნალექების წლიური ჯამები მმ	სიმშრალის რადიაციული ინდექსი	ჰაერის საშუალო მრავალწლიური ტემპერატურა და რადიაციული ბალანსი $^{\circ}\text{C}$ ($\frac{\text{კალ}}{\text{სმ}^2\text{წ}}$)							
		<-9 (<20)	-9 - -5 (20- 25)	-5- -1 (20- 30)	-1-3 (30- 45)	3-5 (40- 42)	5-7 (43- 46)	7-11 (46- 53)	>11 (52- 60)
≤ 350	$>3,0$	-	-	-	-	-	-	3	Г,С
350-500	1,8-3,0	-	-	-	-	-	-	Е Ж	Р
500-1000	0,5-1,8	Φ	У₃	У₂	У₁	T₂	T₁	НОП РЕ	Б Д
>1000	$<0,5$							Н	А

6°C -ით გაიზარდოს. ამ შემთხვევაში მოხდება ლანდშაფტური ზონების ქვემოდან ზემოთ გადმონაწილება. ანუ გლაციალურ-ნივალური ლანდშაფტები ტრანსფორმირდებიან მაღალი მთის მდელოებში, მაღალი მთის მდელოები - ზომიერად ცივ მთის ლანდშაფტებში, უკანასკნელი - ზომიერად თბილ მთის ლანდშაფტებში და ა.შ. ყოველივე აღნიშნული კარგად ჩანს ბუნებრივი ლანდშაფტების ტრანსფორმაციის სქემაზე (ნახ. 12.4.1), სადაც წარმოდგენილია თითოეული ლანდშაფტის ტრანსფორმაციისათვის აუცილებელი კლიმატური კრიტერიუმები, გამოსახული ტემპერატურის და ნალექების გრადაციებში. ნახ.12.4.1-ის თანახმად ვაკე სუბტროპიკული ლანდშაფტების ტრანსფორმირება ზომიერ ლანდშაფტებად და პირიქით შესაძლებელია მხოლოდ ჰაერის მრავალწლიური საშუალო ტემპერატურის $2-4^{\circ}\text{C}$ -ით ცვლილების შემთხვევაში.

ლანდშაფტების ტრანსფორმაციის სქემიდან გამომდინარეობს აგრეთვე, რომ გაუდაბნოება პოტენციურად დასაშვებია B,E და Ж ტიპის ლანდშაფტებისათვის, თუ კი ატმოსფერული ნალექების საშუალო მრავალწლიური ჯამი შემცირდება დაახლოებით 200 მმ-ით და გახდება 350 მმ-ზე ნაკლები. აქედან გამომდინარეობს, რომ კავკასიის ბუნებრივი ლანდშაფტების გაუდაბნოების მთავარი მიზეზი არა ტემპერატურის გაზრდაა გლობალური დათბობის შედეგად, არამედ გვალვების გაზშირებაა, რაც აგრეთვე გლობალური დათბობის შედეგად გამოწვეული ცირკულაციური მექანიზმების გარდაქმნას უკავშირდება.



ნახ. 12.4.1. ბუნებრივი ლანდშაფტების ტრანსფორმაციის სქემა:

- ა) – გაკეთისა და გორაქ-ბორცვების ლანდშაფტები; ბ) – მთის ლანდშაფტები (ე.შ. ელიზბარაშვილი, მ.ე. ელიზბარაშვილი, 2005)

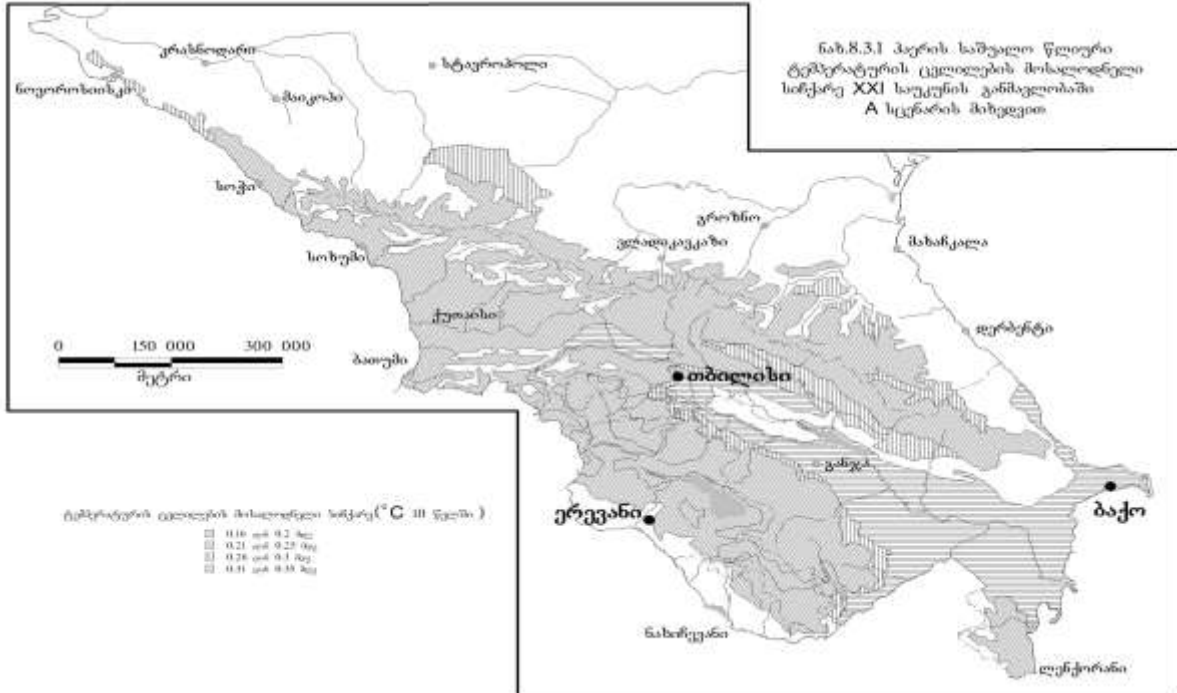
12.5. კლიმატის ცვლილების სცენარები

დღეისათვის ცნობილია დედამიწის მომავალი კლიმატის მრავალრიცხოვანი სცენარები. მეცნიერთა ჯგუფმა მსოფლიოს მეტეოროლოგიური ორგანიზაციის ეგიდით დამუშავა გლობალური კლიმატის 4 სცენარი (Climate change, 1996) – A,B,C და D. A სცენარის თანახმად მიმდინარე საუკუნეში გლობალური ტემპერატურის ცვლილების სიჩქარე ყოველ 10 წელიწადში იქნება $0,3^{\circ}\text{C}$, B სცენარის თანახმად - დაახლოებით $0,2^{\circ}\text{C}$, ხოლო C და D სცენარების თანახმად - შესაბამისად $0,1^{\circ}\text{C}$ -ზე რამდენადმე მეტი და დაახლოებით $0,1^{\circ}\text{C}$. ეს იმას ნიშნავს, რომ გლობალური ტემპერატურის ცვლილების სიჩქარე სასიცოცხლის საუკუნეში საუკუნესთან შედარებით გაიზრდება A სცენარის განხორციელების შემთხვევაში $0,25^{\circ}\text{C}$ -ით, B სცენარის განხორციელების შემთხვევაში $0,15^{\circ}\text{C}$ -ით ხოლო C და D სცენარების განხორციელების შემთხვევაში - დაახლოებით $0,05^{\circ}\text{C}$ -ით. თუ დათბობის პროცესი საწყის ეტაპზე წრფივად წარიმართება, რაც სავსებით დასაშვებია, უნდა ვივარაუდოთ, რომ ცალკეულ ლანდშაფტებში ტემპერატურის ცვლილების სიჩქარე გაიზრდება ანალოგიური სიდიდეებით. მაშინ ძოსალოდნელია, რომ ჰუმიდურმა ლანდშაფტებმა თანდათანობით გათბობა დაიწყოს, რასაც უკვე ადასტურებს წინა პარაგრაფში წარმოდგენილი მეორე ეროვნული შეტყობინების მზადებისათვის მიღებული მონაცემები კლიმატის ცვლილების შესახებ ბოლო 20 წლის განმავლობაში. არაპუმიდური ლანდშაფტები უფრო სწრაფად გათბობიან. მიღებული დაშვებების გათვალისწინებით გამოთვლილი ტემპერატურის ცვლილების სიჩქარეები სხვადასხვა ლანდშაფტებში პირობებში წარმოდგენილია ცხრილში 12.5.1 და ნახ-ზე 12.5.1.

ცხრილი 12.5.1. პაერის საშუალო წლიური ტემპერატურის ცვლილების სიჩქარე $^{\circ}\text{C}$ 10 წელში (ე.შ.ელიზბარაშვილი, M.ე.ელიზბარაშვილი, 2002; M. Elizbarashvili , 1999)

№	ლანდშაფტის ტიპი	სს საუკუნეში	სცენარი სსI საუკუნისათვის		
			A	B	C და D
1	A	-0,025	0,225	0,125	0,025
2	Б	0,05	0,30	0,20	0,10
3	В	0,06	0,31	0,20	0,11
4	D	0,05	0,30	0,20	0,10
5	H ₁ -H ₄	-0,01	0,24	0,14	0,04
6		0,04	0,29	0,19	0,09
7	H ₆ -H ₇	0,04	0,29	0,19	0,09
8	Π	-0,05	0,20	0,10	0
9	P	-0,02	0,23	0,13	0,03
10	Y ₁	0,03	0,28	0,18	0,08
	Y ₂				

თუ განხორციელდება A სცენარი კავკასიის ზოგიერთ ბუნებრივ ლანდშაფტებში გარკვეული ცვლილებები შესაძლებელია მხოლოდ სსI საუკუნის დასასრულს. ვაკე რაიონებში ამ შემთხვევაში მოსალოდნელია ზოგიერთ ლანდშაფტების (E,Ж,З) ტრანსფორმაცია სუბტროპიკულში (Г,В). ეს გამომდინარეობს ბუნებრივი ლანდშაფტების ტრანსფორმაციის სქემიდან. იგივე სქემის თანახმად განსაკუთრებით მნიშვნელოვანი ცვლილებები რამდენადმე მოგვიანებით (1,5-2 საუკუნე) შეიძლება მოხდეს მთის ლანდშაფტებში. კერძოდ მოხდეს მათი გადმონაცვლება თითო საფეხურით ქვემოდ შემდეგი სქემის თანმიმდევრობით: $\Phi \rightarrow Y_3 \rightarrow Y_2 \rightarrow Y_1 \rightarrow T_2 \rightarrow T_1$ და ა.შ.



ნახ.12.5.1. ჰაერის საშუალო წლიური ტემპერატურის ცვლილების მოსალოდნელი სიჩქარე XXI საუკუნის განმკლობაში A სკანარის მიხედვით

B სცენარის განხორციელების შემთხვევაში ანალოგიურ ცვლილებებს დასჭირდება ვაკეში 2,0-2,5, ხოლო მთებში - დაახლოებით 3,0-3,5 საუკუნე. **C** და **D** სცენარების განხორციელების პირობებში კი ლანდშაფტთა ტიპების იგივე თანმიმდევრობით გადანაწილება მოსალოდნელია ვაკეში 4-5, ხოლო მთებში 7-10 საუკუნის შემდეგ. რა თქმა უნდა ეს მხოლოდ თეორიული გათვლებია და მათი პროგნოზული მნიშვნელობა არ არის დიდი.

საქართველოში გასული საუკუნის განმავლობაში და მიმდინარე საუკუნის დასაწყისში მიმდინარე კლიმატური ცვლილებების გათვალისწინებით მედიზბარაშვილმა(2006) შეიმუშავა კლიმატის ცვლილების 3 სცენარი:

I სცენარი გულისხმობს, რომ კლიმატის ცვლილება მომავალში წარიმართება იმ საშუალო ტენდენციებს შესაბამისად, რაც დაიკვირვებოდა მთელი გასული საუკუნის განმავლობაში და მიმდინარე საუკუნის დასაწყისში. ასეთი დაშვებით შავი ზღვის სანაპირო ზოლისათვის ტემპერატურის ცვლილების სიჩქარე შეადგენს $0,03^{\circ}$ –ს ყოველ $!0$ წელიწადში, ხოლო ნალექები იზრდება დაახლოებით ნმდ-ით ყოველწლიურად. ამ სცენარის მიხედვით ქვემო სვანეთში ტემპერატურა გაიზრდება სიჩქარით $0,07^{\circ}$ –ით ყოველ 10 წელიწადში, ნალექები კი ყოველწლიურად გაიზრდება 7მმ-ით . ამავე სიჩქარით გაიზრდება ტემპერატურა დედოფლისწყაროს რაონში, ხოლო ნალექები უცვლელი დარჩება ან დაიკლებს. ეს პირობები შეესაბამება გლობალური კლიმატის ცვლილების **D** სცენარს.

II სცენარი კლიმატის ზომიერ ცვლილებებს გულისხმობს და ძირითადად შეესაბამება ბოლო 40 წლის პერიოდს (1966-2006), როდესაც მეტეოროლოგიური დაკვირვებები 8-ვადიან დაკვირვებათა სისტემაზე გადავიდა. ამ შემთხვევაში შავი ზღვის სანაპირო ზოლისათვის ტემპერატურის ცვლილების სიჩქარე $0,15^{\circ}$ -ს შეადგენს 10 წელიწადში (**C** სცენარი), ხოლო ნალექები უცვლელია. ქვემო სვანეთისათვის შესაბამისად გვაქვს $0,3^{\circ}$ 10 წელიწადში, ანუ გლობალური კლიმატის ცვლილების **A**

სცენარი და ნალექების 10მმ-ით ყოველწლიური ზრდა. დედოფლისწყაროს რაიონში ამ სცენარის თანახმად ტემპერატურა გაიზრდება $0,1^{\circ}$ -ით (C სცენარი) 10 წელიწადში, ნალექების უცვლელობის ან კლების პირობებში.

III სცენარი გულისხმობს კლიმატის მნიშვნელოვან ცვლილებას და ითვალისწინებს ბოლო 20 წელიწადისათვის (1985-2005) დამახასიათებელ ტენდენციებს, როდესაც განსაკუთრებით გამოიკვეთა ანთროპოგენური ფაქტორის გავლენა. ამ შემთხვევაში შეგზღვისპირეთისათვის ტემპერატურის ზრდის სიჩქარე $0,8^{\circ}$ -ს შეადგენს და ნალექები ყოველწლიურად 23მმ-ით იზრდება. ქვემო სვანეთში და დედოფლისწყაროს რაიონში ტემპერატურა გაიზრდება შესაბამისად 1° -და $0,5^{\circ}$ ის სიჩქარით ყოველ 10 წელიწადში, ხოლო ნალექები უცვლელი დარჩება ან დაიკლებს.

I სცენარის განხორციელების შემთხვევაში მნიშვნელოვანი კლიმატური ცვლილებები მოსალოდნელი არ არის. მიმდინარე საუკუნის პირველი ნახევრის დასასრულისათვის საშუალო წლიური ტემპერატურა მოიძარებს სულ $0,1-0,2^{\circ}\text{C}$ -ით, ხოლო ნალექები დასავლეთ საქართველოში გაიზრდება $30-35$ მმ-ით, აღმოსავლეთ საქართველოში კი უცვლელი დარჩება ან ოდნავ შემცირდება. ასეთი ცვლილებები ტემპერატურის და ნალექების მრავალწლიური რყევადობის ფარგლებშია და მათ არსებითი გავლენის მოხდენა ლანდშაფტურ სტრუქტურაზე არ შეუძლიათ.

ამ სცენარის განხორციელების შემთხვევაში ბუნებრივი ლანდშაფტების მნიშვნელოვანი ცვლილებები შეიძლება გამოიწვიოს მხოლოდ ანთროპოგენურმა დატვირთვამ. კერძოდ, ადამიანის მოღვაწეობის ერთ-ერთი მნიშვნელოვანი შედეგი შეიძლება იყოს ლანდშაფტის გაუტყეურება (დეფორესტაცია). ეს შეიძლება განხორციელდეს, როგორც ბუნების დაუგეგმავი, მტაცებლური გამოყენების, ისე ტყეების ექსპლუატაციის მიზნით მათი გეგმიური ჭრის შედეგად. გაუტყეურებამ შესაძლოა გამოიწვიოს ჰაერის ტემპერატურის რამდენადმე დაკლება და შესაბამისად თოვლის საფარის არსებობის ხაზრობლივობის გაზრდა. ეს კი თავის მხრივ გამოიწვევს ალბეროს შემცირებას, რაც იმოქმედებს რადიაციულ ბალანსზე და თერმულ რეჟიმზე. შედეგად

შესაძლოა მივიღოთ კლიმატის არსებითი ცვლილებები, რაც თავის მხრივ გავლენას მოახდენს ლანდშაფტურ სტრუქტურაზე.

II სცენარის პირობებში რიონის დელტაში და დედოფლისწყაროს რაიონში მიმდინარე საუკუნის პირველი ნახევრის დასასრულს საშუალო წლიური ტემპერატურა გაიზრდება $0,5-0,8^{\circ}$ -ით, ხოლო ქვემო სკანეთში გაიზრდება $1,5^{\circ}$ -ით. ცხადია, რომ არც ეს ცვლილებები მოახდენენ გავლენას ლანდშაფტურ გარსზე და ამ შემთხვევაშიც მნიშვნელოვანი გავლენა მათზე აგრეთვე ანთროპოგენურმა ფაქტორებმა უნდა მოახდინონ. ამ სცენარის თანახმად ტრანსფორმაციის ყველაზე დიდი ალბათობა გააჩნია დედოფლისწყაროს რაიონის ბუნებრივ ლანდშაფტებს – სუბტროპიკულ სუბარიდულ ლანდშაფტებს (Bტიპი). სცენარის თანახმად აღნიშნულ ლანდშაფტებში ნალექები შემცირდება. კავკასიის ბუნებრივი ლანდშაფტების ტრანსფორმაციის სქემის თანახმად (მ.ელიზბარაშვილი, 2003), თუ ნალექების წლიური ჯამი დაიკლებს 200მმ-ით, მაშინ სიმშრალის რადიაციული ინდექსი გადააჭარბებს 3-ს და აღნიშნული ლანდშაფტები ტრანსფორმირდებიან სუბტროპიკულ არიდულ ლანდშაფტებად (Г ტიპი); შესაბამისად დამახასიათებელი მცენარეული საფარი იცვლის სახეს და შიბლიაკის, ვაციწვერას და წვერა სტეპებს ჩაანაცვლებს სურნელოვანი აბზინდითა და ჩარანით (ყარლანი) გამრავლებული უდაბნოები და ნახევრად უდაბნოები.

III სცენარის განხორციელების შემთხვევაში სარ საუკუნის პირველი ნახევრის დასასრულისათვის მდინარე რიონის დელტაში საშუალო წლიური ტემპერატურა გადააჭარბებს $13-14^{\circ}$, ნალექების წლიური ჯამი გაიზრდება დაახლოებით 100 მმ-ით. ამ შემთხვევაშიც ლანდშაფტური სტრუქტურა, კავკასიის ლანდშაფტური ზონალურობის ცხრილის თანახმად, უცვლელი დარჩება ან ოდნავ მიუახლოვდება ტროპიკულ ჰემიდურ ლანდშაფტებს. მისი არსებითი შეცვლა კი მხოლოდ ინტენსიურ ანტროპოგენურ ზემოქმედებას შეუძლია მოახდინოს. ამრიგად ნოტიო სუბტროპიკული ჰემიდური ლანდშაფტები კლიმატის ცვლილების მიმართ დიდი მდგრადობით გამოირჩევიან. ამ

რაიონში (რიონის დელტა) ლანდშაფტური სტრუქტურის ცვლილება მოსალოდნელია მხოლოდ იმ შემთხვევაში თუ ნალექების წლიური ჯამი შემცირდება 500 მმ-ით. მაშინ კავკასიის ლანდშაფტების ტრანსფორმაციის სქემის თანახმად სუბტროპიკული ჰუმიდური ლანდშაფტები (A ტიპი) ტრანსფორმირდებიან სუბპუმიდურ ლანდშაფტებად (B, D), რაც გავლენას მოახდენს მის ბიომრავალფეროვნებაზე. ნოტიოსუბტროპიკული ჰუმიდური ტყეები შეიცვლება მეჩერტყაინი მცენარეულობით, სადაც გაძატონებული იქნება მუხა, ფიჭვი, შიბლიაკის ბუჩქნარი და ლიანები.

ქვემო სვანეთში და დედოფლისწყაროს რაიონში მიმდინარე საუკუნის პირველი ნახევრის დასასრულისათვის საშუალო წლიური ტემპერატურა გაიზრდება დაახლოებით $3-5^{\circ}$ -ით და გადაჭარბებს შესაბამისად $11-12$ და 14° -ს. ასეთ პირობებში მოსალოდნელია ლანდშაფტური სტრუქტურის არსებითი ცვლილება. ამ ცვლილების შესახებ შეგვიძლია აგრეთვე ვიმსჯელოთ კავკასიის ბუნებრივი ლანდშაფტების ტრანსფორმაციის სქემის მიხედვით. სქემიდან ჩანს, რომ H ტიპის ლანდშაფტი, რომელიც დამახასიათებელია ქვემო სვანეთისათვის ჰაერის საშუალო წლიური ტემპერატურის 5° -ით გაზრდის შემთხვევაში ტრანსფორმირდება C ტიპის ლანდშაფტად, ანუ მთის ზომიერ არიდულ ლანდშაფტად თუ ამავე დროს ნალექების წლიური ჯამი შემცირდება 200მმ-ით მაინც, რაც სავსებით დასაშვებია.

ამ სცენარის განხორციელების შემთხვევაში ლანდშაფტებისათვის დამახასიათებელი წიფლნარი ტყეები, წაბლი, მძლავრი მარადმწვანე ბუჩქნარი თანდათანობით შეიცვლება უდაბნოს და ნახევარულებაბნოსათვის დამახასიათებელი სურნელოვანი აბზინდით და ჩარანით.

დედოფლისწყაროს რაიონში ჰაერის საშუალო წლიური ტემპერატურა გაიზრდება 3° -ით და გადაჭარბებს 14° -ს. თუ ამ დროს ნალექები შემცირდა 200მმ-ით, რაც სავსებით მოსალოდნელია სცენარის მიხედვით, მაშინ რაიონისათვის დამახასიათებელი ბუნებრივი ლანდშაფტები – სუბტროპიკული სუბარიდული (B ტიპი), ტრანსფორმირდებიან სუბტროპიკულ არიდულ (Г ტიპი)

ლანდშაფტად. შესაბამისად B ტიპის ლანდშაფტისათვის დამახასიათებელი ბიომრაგალფეროვნება შემცირდება. კერძოდ შიბლიაკი, ვაციწვერა და წვერა სტეპები ადგილს მთლიანად დაუთმობენ სურნელოვანი აბზინდით და ჩარანით (ყარღანი) გამრავლებულ უდაბნოებს და ნახევრადუდაბნოებს.

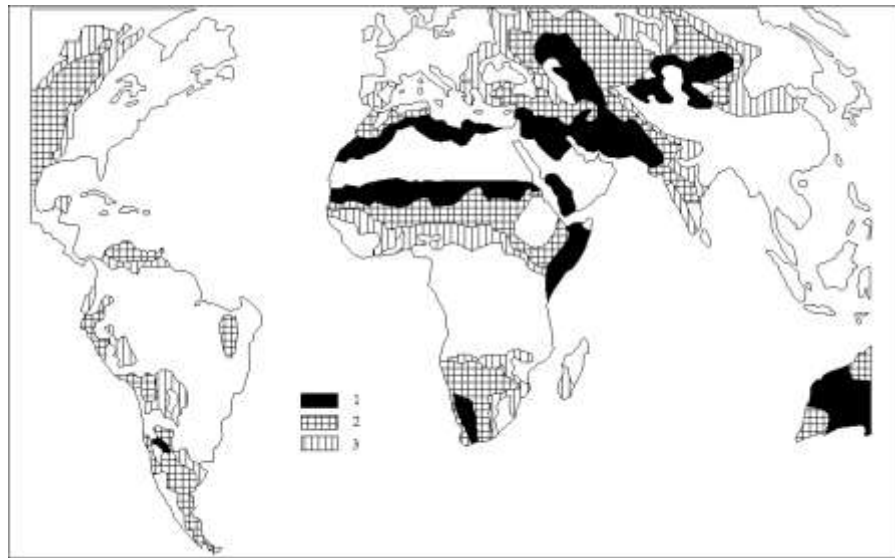
12.6. გაუდაბნოება

უკვე დიდი ხანია, რაც მსოფლიოს მთელი რიგი ქვეწების ძირითად ეკონომიკურ, სოციალურ და გარემოსდაცვით პრობლემად იქცა გაუდაბნოება. ამიტომაც ჯერ კიდევ 1977 წელს გაეროს სპეციალურმა კონფერენციამ მიიღო გაუდაბნოებასთან ბრძოლის სამოქმედო გეგმა. მიუხედავად ამისა 1991 წელს გაეროს გარემოსდაცვითი პროგრამის დასკვნის შესაბამისად მიწების დეგრადაციის პრობლემა უფრო გამწვავდა. ამასთან დაკავშირებით 1992 წელს რიო-დე-ჟანიეროში გამართულ კონფერენციაში თხოვნით მიმართა გაეროს გენერალურ ასამბლეას, რათა მომზადებულიყო გაუდაბნოებასთან ბრძოლის კონვენცია. 1994 წლის 17 ივნისს პარიზში მიღებულ იქნა აღნიშნული კონვენცია. ამჟამად მას ხელი მოაწერა 160-ზე მეტმა სახელმწიფოომ.

საქართველომ აღნიშნულ კონვენციას ხელი მოაწერა 1994 წელს, ხოლო რატიფიკაცია მოახდინა 1999 წლის 23 ივლისს, რითაც ვალდებულება აიღო შეიმუშავოს გაუდაბნოებასთან ბრძოლისა და გვალვის შედეგების შემცირებისაკენ მიმართული სათანადო ორნისძიებები.

ნახ.12.6.1-ზე წარმოდგენილია გაეროს მიერ გავრცელებული გაუდაბნოების საშიშროების ქვეშ არსებული მსოფლიოს გვალვიანი რაიონების რუკა. რუკაზე ნაჩვენებია საკუთრივ გვალვიანი, ნახევრადგვალვიანი და მშრალი რაიონები. რუკიდან ჩანს, რომ გაუდაბნოების საშიშროება

მოელის ხმელეთის ზედაპირის საკმაოდ მნიშვნელოვან
ნაწილს.



მთავრობის გაუდაბნოების რაონები:
1-საკუთრივ გვალვიანი;
2-ნახევრადგვალვიანი; 3-შრალი

სადღეისოდ პლანეტარული მასშტაბით გაუდაბნოებას განიცდის სარწყავი მიწების 80%-ზე მეტი, ურწყავი მიწების 170 მილიონი ჰექტარი. გაუდაბნოება ყოველწლიურად უკარგავს და გამოუსადევარს ხდის 6 მილიონ ჰექტარ ფართობს. გაუდაბნოებით აქტიურად ხელყოფილ მიწებზე მოსახლეობს მსოფლიოს 110 ქვეყნის 860 მილიონი კაცი, ანუ მთელი მსოფლიოს მოსახლეობის დაახლოებით 25პ%.

წარმოდგენილი რუკიდან ჩანს აგრეთვე, რომ აზიაში გაუდაბნოების ყველაზე აქტიური კერძები კონტინენტის ცენტრალურ ნაწილშია და უკავია ყაზახეთის, უზბექეთის, ყირგიზეთის, თურქმენეთის და ტაჯიკეთის ტერიტორიები. ამ ქვეწებისათვის დამახასიათებელია თბილი ჰავა და ატმოსფერული ნალექების მცირე რაოდენობა, რის გამოც ხშირია ხანგრძლივი გვალვიანი პერიოდები. ასეთ გვალვიან

ეკოსისტემებს გააჩნია გაუდაბნოების მაღალი რისკი, რასაც უნალექობასთან ერთად ხელს უწყობს გაშვიათებული ძცენარეული საფარი, აგრეთვე ქვიშიანი და დამლაშებული ნიადაგები.

გაუდაბნოება დიდ ზარალს აყენებს ჩინეთს. ქვეყნის პირდაპირი ფინანსური დანაკარგები გაუდაბნოების გამო წელიწადში 2-3 მილიარდ დოლარს შეადგენს, ხოლო 170 მილიონზე მეტი ადამიანი რჩება ყოველგვარი საარსებო საშუალებების გარეშე. ქვეყნის ჩრდილოეთ ნაწილში ყოველწლიურად გაუდაბნოება ვრცელდება დაახლოებით 210 ათას ჰა ფართობზე. ამჟამად გაუდაბნოებულია 20 მილიონამდე ჰა ტერიტორია და ანალოგიური პროცესი ვითარდება კიდევ 14 მილნ ჰა ფართობზე.

ყველაზე გვალვიან კონტინენტად ავსტრალიაა მიჩნეული, რადგანაც იქ გვალვას და გაუდაბნოებას განიცდის კონტინენტის ტერიტორიის დაახლოებით ორი მესამედი. ცალკეულ რაიონებში ფინანსური დანაკარგები ყოველწლიურად შეადგენს 30-40%-ს. დიდი ზარალი აქვს მიყენებული კონტინენტისათვის დამახასიათებელ მდიდარ ბიომრავალფეროვნებას.

გაუდაბნოების მსოფლიო რუკაზე საქართველოს აღმოსავლეთი ნაწილი, და საერთოდ აღმოსავლეთ ამიერკავკასია მთლიანად, მესამე რაიონშია მოქცეული, რაც იმაზე მიუთითებს, რომ აქ გლობალური დათბობის პირობებში მოსალოდნელია გაუდაბნოების პროცესების გააქტიურება.

დიდი ქართველი მამულიშვილი, გამოჩენილი გეოგრაფი, ისტორიკოსი და მოგზაური ვახუშტი ბატონიშვილი ხმარი საუკუნეში წერდა, რომ ივრის ზეგანზე იცის “... ზაფხული ცხელი, ხაშმიანი, გაუძლისი”. ხაშმი ნიშნავს ადგილს ცუდი და მავნებელი ჰაერით, არაჯანსაღი ჰავით. ვახუშტის ასეთი დახასიათება მიუთითებს იმაზე, რომ ივრის ზეგანი და მისი მიმღებარე ტერიტორიები გაუსაძლისი, გვალვიანი ზაფხულით ხასიათდებოდა.

გვალვის ჩამოყალიბებას ძირითადად სამი ფაქტორი განაპირობებს – უნალექობა (ან მცირე ნალექები), მაღალი ტემპერატურული ფონი და ნიადაგში პროდუქტიული ტენის მარაგის დეფიციტი. სამივე ფაქტორის ანალიზი გვიჩვენებს,

რომ როგორც ნალექების სიმცირის, ისე მაღალი ტემპერატურების და ნიადაგში ტენის დეფიციტის მხრივ სწორედ ივრის ზეგანი და ქვემო ქართლი გაძოირჩევა.

კავკასიის ლანდშაფტების ზონალურობის ცხრილიდან გამომდინარე აღმოსავლეთ საქართველოს სტეპები და ნახევრადუდაბნოები(B ტიპის ლანდშაფტები) შეიძლება გარდაიქმნენ უდაბნოდ(Г ტიპის ლანდშაფტებად) იმ შემთხვევაში, თუ სიმშრალის რადიაციული ინდექსის საშუალო მრავალწლიური მნიშვნელობა 3-ზე მეტი გახდება. აღმოსავლეთ საქართველოს სტეპებში და ნახევრადუდაბნოებში სიმშრალის რადიაციული ინდექსი იცვლება 1,2 დან 2,5 მდე. მისი მნიშვნელობები კარგად გამოხატავენ ადგილობრივ ლანდშაფტურ პირობებს და შეესაბამებიან გეოგრაფიული ზონალურობის პერიოდულ კანონს (იხ.ცხრილი 12.6.1)

ცხრილი 12.6.1. სიმშრალის რადიაციული ინდექსის
სტატისტიკური მახასიათებლები
(ე.შ.ელიზბარაშვილი, მ.ე.ელიზბარაშვილი, 2002)

პუნქტი	ლანდშაფტის ტიპი		K	σ
	(სანებლიძე გ., უკლება დ., ჯაყელი ქ., 1970) თანახმად	გეოგრაფიული ზონალურობის კანონის თანახმად (ა.გრიგორიევი, მ.ბუდიქო, 1956)		
გარდაბანი	ნახევრადუდაბნო	ნახევრადუდაბნო	2,5	0,8
უდაბნო	ნახევრადუდაბნო	ნახევრადუდაბნო	2,5	0,9
ბოლნისი	ნახევრადუდაბნო	ნახევრადუდაბნო	2,3	0,8
თბილისი	სუბტროპიკული ტყე და ბუჩქნარი	სუბტროპიკული ტყე, ბუჩქნარი ან სტეპი	2,0	0,6
წნორი	სუბტროპიკული ტყე და ბუჩქნარი	სუბტროპიკული ტყე, ბუჩქნარი ან სტეპი	1,8	0,6
გორი	სტეპი	სუბტროპიკული ტყე, ბუჩქნარი ან სტეპი	1,8	0,4
ვდელოფლ ის წყარო	სტეპი	სუბტროპიკული ტყე, ბუჩქნარი ან სტეპი	1,8	0,6
შირაქი	სუბტროპიკული ტყე	სუბტროპიკული ტყე, ბუჩქნარი ან სტეპი	1,5	0,3
თელავი	სუბტროპიკული ტყე	სუბტროპიკული ტყე, ბუჩქნარი ან სტეპი	1,2	0,2

ცხრილში K – სიმშრალის რადიაციული ინდექსის
საშუალო მრავალწლიური მნიშვნელობაა, σ -მისი
საშუალო კვადრატული გადახრა.

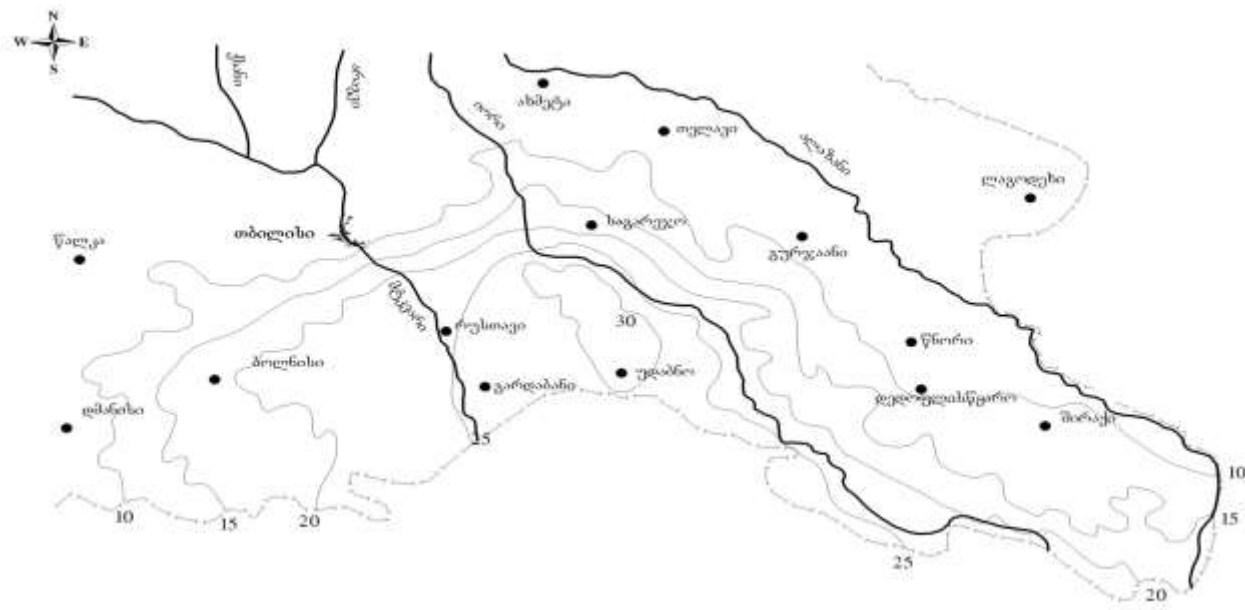
ნახ.12.6.2-ზე წარმოდგენილია აღმოსავლეთ
საქართველოს გაუდაბნოების აღბათობის რუკა. რუკის

თანახმად გაუდაბნოების ალბათობა აღმოსავლეთ საქართველოს არიდულ რაიონებში 30%-ს აღემატება, რაც საკმაოდ ძალალია. ამავე დროს აღსანიშნავია, რომ უახლოეს ათწლეულებში ამ ლანდშაფტების გაუდაბნოების კლიმატური ალბათობა მნიშვნელოვნად იქნება დამოკიდებული ანთროპოგენულ ფაქტორებზე.

12.7. ჰემპერატურის საშიში ანომალიები და მისი მოსალოდნელი შედეგები

აღმოსავლეთ საქართველოს სტეპებისა და ნახევრადუდაბნოებისაგან განსხვავებით, საღაც კლიმატის ცვლილების დადებითი ტენდენციები აღინიშნება, დასავლეთში განლაგებული ლანდშაფტთა უმრავლესობისათვის ტემპერატურის დაცემა აღინიშნება. ცხადია, ამ ჰუმიდური ლანდშაფტების არიდიზაცია და შემდგომი გაუდაბნოება ძალზე დაუჯერებელია, მითუმეტეს რომ აქ კლიმატის ცვლილების სხვადასხვა ტენდენციები შეინიშნება, მაგრამ ამ ცვლილებებსაც შეუძლია მნიშვნელოვან უარყოფით შედეგებამდე მიყვანა.

არსებული საარქივო მასალის ანალიზი გვიჩვენებს, რომ დასავლეთ საქართველოს ჰუმიდურ ლანდშაფტებში აცივება ძირითადად შემოდგომის თვეების ხარჯზე მიმდინარეობს, კერძოდ ცივი თვეების განმეორადობა 1921-1960 წლების პერიოდთან შედარებით 1961-2000 წლების პერიოდის განმავლობაში შემოდგომით გაიზარდა 11%-ით, ზაფხულში – მხოლოდ 4%-ით, პრაქტიკულად ცვლილებები არ აღინიშნება ზამთრის თვეებში, ხოლო გაზაფხულზე კი



ნახ. 12.6.2. აღმოსავლეთ საქართველოს გაუდაბნოების აღბათობა (%)
(ე.შ.ელიზბარაშვილი, მ.ე.ელიზბარაშვილი, 2002)

პირიქით – მეორე პერიოდში პირველ პერიოდთან შედარებით თბილი თვეების განმეორადობა ვაიზარდა 6%-ით.

კლიმატის ცვლილების ასეთი ხასიათი იწვევს კატასტროფული მოვლენების განვითარებას და საგანგებო სიტუაციების შექმნას. ასე მაგალითად, ტემპერატურის მნიშვნელოვანი გაზრდა გაზაფხულზე იწვევს მყინვარების დნობას, თოვლის ზვავების ჩამოსვლას, წყალდიდობას. ტემპერატურის მნიშვნელოვანი დაკლება კი შემოდგომაზე განაპირობებს წაყინვების წარმოქმნას, რაც თავის მხრივ ამცირებს, ან ღუპავს სასოფლო სამეურნეო, განსაკუთრებით ციტრუსოვანი კულტურების, მოსავლიანობას. ამასთან დაკავშირებით ძალზე მნიშვნელოვანია წინასწარ ვიცოდეთ ჰაერის ტემპერატურის ასეთი საშიში ანომალიების გამოვლინების ალბათობები.

ტემპერატურის საშიში ანომალიების ალბათობა დასავლეთ საქართველოს ჰუმიდური ლანდშაფტებისათვის წარმოდგენილია ცხრილში 12.7.1.

ცხრილი 12.7.1. ჰაერის საშუალო თვიური ტემპერატურის საშიში ანომალიების ალბათობა დასავლეთ საქართველოს ჰუმიდურ ლანდშაფტებში %

პერიოდი წწ	ტემპერატურის ანომალია °C			
	გაზაფხული		შემოდგომა	
	ჟ3	ჟ4	ე3	ე4
1921-1960	2	-	3	1
1961-2000	5	2	4	2

ცხრილიდან გამოდინარებს, რომ თუ გაზაფხულზე ჰაერის საშუალო თვიური ტემპერატურის 3° -ით გაზრდის ალბათობა დაკვირვების პირველ პერიოდში (1921-1960წწ) შეადგენდა 2%-ს, დაკვირვებათა მეორე პერიოდში (1961-2000წწ) 5%-ს აღწევს. ამავე დროს წარმოიქმნება ჰაერის საშუალო თვიური ტემპერატურის 4 და 5° -ით გაზრდის ალბათობა. თითქმის ანალოგიური სურათია შემოდგომით ტემპერატურის უარყოფითი ანომალიების შემთხვევაში.

პაერის ტემპერატურის საშიში ანომალიების ალბათობები შემდგომში მოსალოდნელია გაიზარდოს. თუ შენარჩუნებული იქნება ტემპერატურის ცვლილების თუნდაც თანამედროვე ტენდენციები, მაშინ მიმდინარე საუკუნის პირველ მეოთხედში საშუალო თვიური ტემპერატურა გაზაფხულზე შეიძლება გაიზარდოს $0,5^{\circ}$ -ით, ხოლო შემოდგომით – შემცირდეს $0,7^{\circ}$ -ით. ასეთ პირობებში ცხადია გაიზრდება კლიმატური ექსტრემუმები, რაც ბუნებრივია უარყოფით გავლენას მოახდენს ადამიანთა და ბიოტის ცხოვრების პირობებზე.

მონაცემების ანალიზმა აჩვენა, რომ ტემპერატურის დადებითი ანომალიების დროს, ანომალიის სიდიდის გაზრდით ატმოსფერული ნალექების წლიური ჯამი კლებულობს. ტემპერატურის უარყოფითი ანომალიების დროს, ანომალიის სიდიდე არ ახდენს გავლენას ნალექების რაოდენობაზე. ტემპერატურის დადებითი ანომალიების გაზრდისას ნალექების შემცირება განსაკუთრებით მკვეთრად წლის ცივ პერიოდში გამოიხატება. წლის თბილი პერიოდის განმავლობაში კი ტემპერატურის მნიშვნელოვანი ანომალიის დროს (3° და მეტი) ნალექები იზრდება, რაც შეიძლება აიხსნას კონვექციური პროცესების გააქტიურებით და თავსხმა ნალექების მოსვლით და კარგად შეესაბამება ოდროზდოვის წარმოდგენებს(ცხრილი 12.7.2).

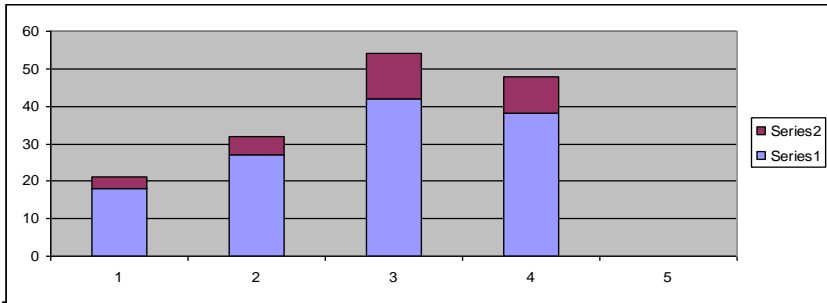
ცხრილი 12.7.2. ჰაერის ტემპერატურის სხვადასხვა
ანომალიების დროს მოსული ნალექები(მმ)
(ე.შ.ელიზარაშვილი, რ.შ.მესხია, ე.შ.ელიზარაშვილი, 2005)

ტემპერატურის ანომალია $^{\circ}\text{C}$	თხალექები(მმ)				წელი
	ზამთარი	გაზაფხული	ზაფხული	შემოდგომა	
0-0,9	60-279	61-197	50-282	59-315	230-1073
1-1,9	49-256	51-146	51-265	44-280	195-947
2-2,9	59-191	43-129	51-186	41-200	194-656
≥ 3	62-196	45-136	74-219	25-125	206-676
0 - -0,9	66-278	55-185	51-280	80-400	252-1143
-1 - -1,9	57-284	62-184	61-271	78-307	258-1046
-2 - -2,9	51-259	68-195	74-284	78-399	271-1137
≤ 3	70-359	80-230	-	81-533	231-1122

ცხრილიდან გამომდინარეობს აგრეთვე, რომ ჰაერის ტემპერატურის ექსტრემალურად მაღალი ანომალიების დროს ექსტრემალურად დაბალ ანომალიებთან შედარებით გაცილებით ნაკლები ნალექი მოდის. ამრიგად სახეზეა უკუკავშირი ნალექების ჯამსა და ჰაერის ტემპერატურის ექსტრემალურ ანომალიების შორის.

ჰაერის საშუალო თვიური ტემპერატურების ანომალიების ანალიზის საფუძველზე დადგინდა, რომ გასული საუკუნის განმავლობაში თბილი თვეების განმეორადობამ შეადგინა დასავლეთ საქართველოში 51%, ხოლო აღმოსავლეთ საქართველოში 54%. ექსტრემალურად თბილი თვეების განმეორადობა კი, როდესაც ტემპერატურის ანომალია აღემატებოდა 2°C შესაბამისად 13 და 14% იყო. აქედან გამომდინარე დამუშავდა ანომალურად თბილი და ანომალურად ცივი თვეების განმეორადობის ალბათური კლიმატოლოგიური პროგნოზი, რომლის თანახმადაც მიმდინარე საუკუნის პირველ ათწლეულში თბილი თვეების 60% და მეტი განმეორადობის ალბათობა შეადგენს

დასავლეთ საქართველოში 18, ხოლო აღმოსავლეთ საქართველოში 27%-ს. ასეთივე თვეების 70% და მეტი განმეორადობის აღბათობა შესაბამისად 3 და 5 %-ია. ამრიგად უახლოეს წლებში მოსალოდნელოა პაერის საშუალო თვიური ტემპერატურების დადგებითი ანომალიების განმეორადობის გაზრდა შედარებით მეტად აღმოსავლეთ საქართველოში, ხოლო ნაკლებად დასავლეთში(ნახ.12.7.1).



70%-ზე მეტი(სერია2) განმეორადობის აღბათობა XXI საუკუნის პირველი ათწლეულისათვის: 1-დასავლეთ საქართველო; 2-აღმოსავლეთ საქართველო; 3-აზერბაიჯანი; 4-სომხეთი

ნალექების ჯამსა და პაერის ტემპერატურას შორის გამოვლენილი უცუკავშირის არსებობის გამო, გლობალური დათბობის პირობებში, პაერის საშუალო თვიური ტემპერატურების დადგებითი ანომალიების განმეორადობის, და შესაბამისად თბილი თვეების განმეორადობის, გაზრდასთან ერთად მოსალოდნელია ატმოსფერული ნალექების მკეთრი შემცირება, განსაკუთრებით დასავლეთ საქართველოში.

ეს დასკნა, რა თქმა უნდა, არის მხოლოდ წინასწარი და დროდადრო მოთხოვთ კორექტირებას.

ძრითადი ლიტერატურა

1. ბლანუცა ს., ელიზბარაშვილი ე., ქარცივაძე ნ. კურორტი ურეკი. თბ., 1982.
2. ელიზბარაშვილი ე., ელიზბარაშვილი შ. ატმოსფერული ნალექების ველების აღწერა არაწრიფელი რეგრესიული მოდელების გამოყენებით. საქმეცნ.აკად. პიდრომეტეოროლოგიის ინსტიტუტის შრომები, ტ.102, 2001.
3. ელიზბარაშვილი ე., სულხანიშვილი ნ. საქართველოს ნიადაგების კლიმატური დარაობება. საქმეცნ.აკად. პიდრომეტეოროლოგიის ინსტიტუტის შრომები, ტ.105, 2002.

4. ელიზბარაშვილი ე., ხელაძე თ., ჭავჭანიძე ზ., სულხანიშვილი ნ. ნიადაგა-ატმოსფეროს სისტემის სითბური რეჟიმის საკითხისათვის. საქმეცნ.აკად. მოამბე, ტ.145, №1,1992.
5. ელიზბარაშვილი ე., ჭავჭანიძე ზ. გვალვები, უნალექო და ნალექიანი პერიადები საქართველოში. თბ.,1992.
6. ელიზბარაშვილი ე., ჭავჭანიძე ზ. სულხანიშვილი ნ. საქართველოს ნიადაგებში ტენის მარაგის დინამიკის საკითხისათვის. საქმეცნ.აკად. მოამბე, ტ.145, №1,1992.
7. ელიზბარაშვილი ე., ჭინჭარაშვილი ი. ქალაქ თელავის მიკროკლიმატური თავისებურულანი. საქ. მეცნ. აკად. ჰიდრომეტეოროლოგის ინსტიტუტის შრომება, ტ.102, 2001.
8. ელიზბარაშვილი მ. საქართველოს ტერიტორიის ტემპერატურის ველი. თბ. 1999.
9. თბილისის კლიმატის მრავალწლიური ცვლილება და ციკლური რეგვადობა.(ნებეგალიშვილის და ე.ელიზბარაშვილის რედაქციით). საქმეცნ.აკად. ჰიდრომეტეოროლოგის ინსტიტუტის შრომები,ტ.103, 2001.
10. თავართქილაძე ქ., ელიზბარაშვილი ე., მუმლაძე დ., ვაჩნაძე ჯ. საქართველოს მიწისპრა ტემპერატურული ველის ცვლილების ემპირიული მოდელი. თბ.,1999.
11. კორძახია მ. საქართველოს ჰავა. თბ., 1961.
12. მუმლაძე დ. საქართველოს კლიმატის თანამედროვე ცვლილება. თბ.,1991.
13. რ.სამუკაშვილი. ჰელიოენერგეტიკული რესურსების განაწილების თავისებურებები ქავკასიის ტერიტორიაზე. ჰიდრომეტეოროლოგიის ინსტიტუტის შრომები, ტ. 101, 2001.
14. საქართველოს კურორტები და საკურორტო რესურსები. ატლასი. მოსკოვი, 1989.
15. საქართველოს ჰავა. ტ.1-აჭარა. (ე.ელიზბარაშვილის, რ.სამუკაშვილის და ჯ.ვაჩნაძის რედაქციით). საქმეცნ.აკად. ჰიდრომეტეოროლოგიის ინსტიტუტის შრომები, ტ.110, 2003.
16. საქართველოს ჰავა. ტ.2-აჭარაზეთი. (ე.ელიზბარაშვილის, რ.სამუკაშვილის და ჯ.ვაჩნაძის რედაქციით). საქმეცნ.აკად. ჰიდრომეტეოროლოგიის ინსტიტუტის შრომები, ტ.112, 2006.
17. ხანთაძე ა., გზირიშვილი თ., ლაზრიშვილი გ. კლიმატის გლობალური დათბობის არაწრფივი თეორიის შესახებ. კლიმატის კალეგის ეროვნული ცენტრის საინფორმაციო ბიულეტენი, №6,1997.
18. ხველელიძე ზ., ელიზბარაშვილი ე. რელიეფის გავლენა ატმოსფერულ პროცესებზე. თბ., 1982.
19. ხელაძე თ., ელიზბარაშვილი მ. ატმოსფერული ნალექების ვერტიკალური განაწილების მათემატიკური მოდელირებისათვის. საქ. მეცნ. აკადემიის მოამბე, 144, №2, 1991.
20. ჯავახიშვილი შ. საქართველოს სსრ კლიმატოგრაფია. თბ., 1977.
21. ჯავახიშვილი შ. ატმოსფერული ნალექები საქართველოს ტერიტორიაზე. თბ., 1981.
22. Адаменко В.Н. Мелиоративная микроклиматология. Л., 1979.

23. Алибегова Ж.Д., Элизбарашвили Э.Ш. Статистическая структура атмосферных осадков в горных районах. Л., 1980.
24. Алибегова Ж.Д., Элизбарашвили Э.Ш. О статистической структуре поля облачности над Закавказьем. Метеорология и гидрология , №4, 1977.
25. Алибегова Ж.Д., Элизбарашвили Э.Ш. Статистическая структура приземного ветра в Закавказье. Тр.ГГО, вып.396, 1977.
26. Арвеладзе Г.А. Математическое моделирование агрометеорологических процессов формирования урожая многолетних культур и оптимизация технологии их возделывания. Тб.,2006.
27. Асатиани Х.М., Элизбарашвили Э.Ш. Высотно-временное распределение атмосферных осадков в ущельях рек Грузии. Тр. ТГУ, т.175, 1977.
28. Гвасалия Н.С. Тепловой баланс Грузии. Тб.,1986.
29. Гвасалия Н.С. Об особенностях радиационного режима курортов Грузии. Тр.ГГО, вып. 233, 1968.
30. Гигинейшвили В.М. Градобития в Восточной Грузии. Л.,1960.
31. Гогишвили К.С. Исследование циркуляционных факторов генезиса климата Грузии. Тб., 1974.
32. Григолия А.А., Джанашия Б.П. Эффективная и радиационно-эффективная температура в Сухуми. Сб.Тр.Абх.Филиала НИИКиФ,т.6,1967.
33. Занина А.А. Климат СССР.Вып.2, Кавказ. Л., 1961.
34. Кавкасидзе Р.П., Гонгладзе Н.Ш. Микроклиматическая характеристика пляжа курорта Гагра. Сб.Тр. НИИКиФ,т.26,1963.
35. Кварацхелия И.Ф. Аэрологические исследования в Закавказье. Л.,1971.
36. Климат и климатические ресурсы Грузии. Тр. ЗакНИГМИ, вып. 44(50), Л., 1971.
37. Климат Тбилиси (под ред. Г.Г.Сванидзе, Л.К.Папинашвили). Л.,1992.
38. Корошинадзе Л.Ф., Элизбарашвили Э.Ш. О статистической структуре поля температуры. Сообщения АН ГССР, т.84, №3, 1976.
39. Кренке А.Н. Массообмен в ледниковых системах СССР.Л., 1982.
40. Меладзе Г.Г. Экологические факторы и производство сельскохозяйственных культур. Л., 1991.
41. Метревели Г.С., Метревели М.Г. Фоновые факторы глобального потепления климата в прибрежной зоне Чёрного моря. Водныересурсы, т.28, №5, 2001.

42. Напетваридзе Е.А. Циркуляционные процессы над территорией Грузии как фактор климата. Тр.ИГ им.Вахушти, 1949.
43. Папинашвили К.И. Атмосферные процессы в Закавказье и их связь с макроциркуляционными процессами над Евразией. Л., 1963.
44. Самукашвили Р.Д. О корреляционных связях между радиационным балансом и его составляющими для территории Кавказа. Труды ВГИ, вып. 66, 1987.
45. Самукашвили Р.Д. Динамика изменения величин полезного тепла от плоской гелиоустановки с ростом абсолютной высоты на центральном Кавказе. Тр. ВГИ, Гидрометеоиздат, Л., вып. 82, 1990.
46. Сапицкий К.А., Элизбарашивили Э.Ш. О выравнивании числа дней с осадками 20мм по Пуассону для некоторых пунктов Грузии. Сообщения АН ГССР, т.68, №2, 1972.
47. Сапицкий К.А., Элизбарашивили Э.Ш. Применение закона распределения Пуассона к числу дней с осадками 30мм в Тбилиси . Тр. ТГУ, т. А 6-7(149-150), 1973.
48. Сапицкий К.А., Элизбарашивили Э.Ш. Результаты применения различных функций распределения случайных величин к годовым количествам осадков в Тбилиси. Тр. ТГУ, т. А 8(158), 1975.
49. Сафаров С. Современная тенденция изменения температуры воздуха и атмосферных осадков в Азербайджане.. Баку 2000.
50. Сванидзе Г.Г., Гагуа В.П., Сухишвили Э.В. Возобновляемые энергоресурсы Грузии. Л.,1987.
51. Сулаквелидзе Я.Г. Ливневые осадки в горных странах на примере Закавказья. Тб., ТГУ, 1988.
52. Сухишвили Э.В. Климатическое обоснование природно-курортных ресурсов Черноморского побережья Грузии. Тр. ЗакНИГМИ, вып. 54(10), Л., 1977.
53. Сухишвили Э.В., Элизбарашивили Э.Ш., Алборова Б.Г., Гонгладзе Н.Ш. Характеристика климата в погодах и закономерности формирования двумерных комплексов основных метеорологических элементов на территории Грузии.В кн.Комплексные биоклиматические исследования. М, 1988.
54. Турманидзе Т.И. Климат и урожай винограда.Л.,1981.
55. Ушверидзе Г.А. Методические рекомендации по климатотерапии. Тб., 1977.
56. Хеладзе Т.В.,Лорткипанидзе Г.П., Элизбарашивили М. Э. Математическое моделирование приземного поля температуры для территории Грузии. Сообщения АН ГССР, т.138, №3, 1990.

57. Цуцкиридзе Я.А. Радиационный и термический режимы территории Грузии. Тр. ЗакНИГМИ, вып. 23(29), Л., 1967.
58. Швер Ц.А. Атмосферные осадки на территории СССР. Л., Гидрометеоиздат, 1976.
59. Элизбарашили М. Э. К пространственному обобщению преобладающего направления приземного ветра. Тр. Греко-Груз. Университета им. Аристотеля, т.3, 1995.
60. Элизбарашили М.Э. Климатические условия формирования природных ландшафтов Кавказа. Известия РАН, серия географ. № 5, 2003.
61. Элизбарашили М. Э. Климатический режим высокогорных субнivalальных и гляцифильно-нивальных ландшафтов Грузии. Известия РАН, серия географ., №3, 2004.
62. Элизбарашили Ш. Э. Геоинформационное картографирование и моделирование атмосферных осадков в условиях горного рельефа. Кавказский географический журнал, №5, 2005.
63. Элизбарашили Ш. Э. Геоинформационное картографирование годовых сумм осадков в горных районах Грузии. Метеорология и гидрология, №2, 2006.
64. Элизбарашили Э.Ш. Вертикальная зональность климатов Закавказья. Известия АН СССР, серия географ., №4, 1978.
65. Элизбарашили Э.Ш. О влиянии массивности Большого Кавказа на поле температуры. Сообщения АН ГССР, т.135, №2, 1989.
66. Элизбарашили Э.Ш. Влияние горного рельефа на распределение тепла и увлажнения. Известия АН СССР, серия географ., №2, 1984.
67. Элизбарашили Э.Ш. Расчет максимального суточного количества осадков различной обеспеченности на территории Грузии. Тр. мол. научн. сотр. ТГУ, т. 2, 1974.
68. Элизбарашили Э.Ш., Гонгладзе Н.Ш. Климатография курортов Грузии. Тб., 1980.
69. Элизбарашили Э.Ш., Гонгладзе Н.Ш., Власова С.Р., Алборова Б.Г., Попов А.А. О грозовой деятельности в Восточной Грузии. Известия АН СССР, серия географ., №1, 1983.
70. Элизбарашили Э.Ш., Кереселидзе Д.Н., Элизбарашили Ш.Э. К осреднению полей атмосферных осадков в горных условиях. Метеорология и гидрология, №8, 2006, с.54-58.
71. Элизбарашили Э.Ш., Попов А.А. Облачность над Закавказьем. Известия АН СССР, серия географ., №2, 1981.
72. Элизбарашили Э.Ш., Р.Ш.Месхия, Элизбарашили М. Э. Изменения климата Западного Закавказья. Известия РАН, с. Географическая, №4, 2005.

73. Элизбарашили Э.Ш., Хеладзе Т.В. О влиянии Ингурского водохранилища на местный климат. Сообщения АН ГССР, т.136, №2, 1989,а.
74. Элизбарашили Э.Ш., Хеладзе Т.В. О статистической модели климата горной страны. Метеорология и гидрология, №3, 1989, б.
75. Элизбарашили Э.Ш., Хеладзе Т.В., Гецадзе З.Д. Моделирование климата горной страны. Известия АН СССР.,серия географ.,№5, 1988.
76. Элизбарашили Э.Ш., Чавчанидзе З.Б., Элизбарашили М. Э., Маглакелидзе Р.В., Сулханишвили Н.Г., Элизбарашили Ш. Э. Почвенно-климатическое районирование территории Грузии. Почвоведение, т.39, № 10, 2006.
77. Элизбарашили Э.Ш., Чавчанидзе З.Б., Янакидис М.С. Режим увлажнения территории Грузии. М., 1994.
78. Элизбарашили Э.Ш., Элизбарашили М. Э. К оценке вероятности опустынивания степных и полупустынных ландшафтов на основе концепции периодического закона географической зональности. Метеорология и гидрология, №11, 2002.
79. Элизбарашили Э.Ш., Элизбарашили М. Э. О нестационарной статистической модели климатического поля температуры горной страны. Метеорология и гидрология, №11, 2004.
80. Элизбарашили Э.Ш., Элизбарашили М.Э., Реакция различных типов ландшафтов Закавказья на глобальное потепление. Известия РАН, с.Географическая, №5, 2002.
81. Элизбарашили Э.Ш., Элизбарашили М.Э. О возможной трансформации природных ландшафтов Кавказа в связи с глобальным потеплением. Метеорология и гидрология, №10, 2005.
82. Элизбарашили Э.Ш., Элизбарашили М.Э. Основные проблемы климатологии ландшафтов. Тбилиси, изд.Зеон, 2006.
83. Climate Change 1995. IPCC. Cambrige, UK, 1996.
84. Climate Change: 2001, Cambridge, UK, 2001.
85. Elizbarashvili M. Response of the Temperature Field in Georgia to the Current Global Warming.// Bulletin of the Georgian Academy of Sciences, 159, №2, 1999.
86. Elizbarashvili E.Sh., Chavchanidze Z.B., Elizbarashvili M.E., Maglakelidze R.V., Sulkhanishvili N.G., Elizbarashvili Sh.E. Soil-Climatic Zoning of Georgia. Eurasian Soil Science, vol. 39, №10, 2006.

წინასიტყვაობა	5
შესავალი	7
თავი 1. პავის წარმომქნელი ძირითადი ფაქტორები	12
1.1. საქართველოს ფიზიკურ-გეოგრაფიული პირობები	12
1.2. პავის რადიაციული ფაქტორები	16
1.3. ატმოსფერის ცირკულაციური პროცესები	28
1.4. შევი ზღვა	33
თავი 2. მიწისპირა ქარის რეჟიმი და რესურსები	38
2.1. ქარის გაბატონებული მიმართულება	38
2.2. ქარის საშუალო და სამუშაო სიჩქარეები	42
2.3. ადგილობრივი ქარები	53
თავი 3. ტემპერატურა და სითბური რესურსები	61
3.1. რელიეფის გავლენა ტემპერატურის ველზე	61
3.2. ტემპერატურის ტერიტორიული განაწილება	67
3.3. აქტიურ ტემპერატურათა ჯამში	75
3.4. ევექტური ტემპერატურები და კლიმატოთერაპიის მეტეოროლოგიური პირობები	79
3.5. პაერის სითბოშემცველობა	85
3.6. მაღალი და დაბალი დისკომფორტული ტემპერატურები	89
თავი 4. ატმოსფერული ტენის რეჟიმი და რესურსები	95
4.1. სინოტივის რეჟიმის ზოგადი დახასიათება	95
4.2. მხუთვარება, ფიზიოლოგიური სინოტივე და პაერის ტენშემცველობა	100
4.3. ღრუბლები და მათი რესურსები	106
თავი 5. ატმოსფერული ნალექები და წყლის რესურსები	113
5.1. რელიეფის გავლენა ნალექების ველზე	113
5.2. ნალექების განაწილება საქართველოს მდინარეთა აუზებში	118
5.3. ნალექების ტერიტორიული განაწილება და რეჟიმი	124
5.4. ნალექთა ტიპები	128
5.5. სეტყვა	133
5.6. ნალექიანი პერიოდები	135
5.7. უნალექო პერიოდები და გვალვა	139

თავი 6. ნიადაგების კლიმატი	
და კლიმატური რესურსები	144
6.1 ნიადაგების თერმული რეჟიმი და სითბური	
რესურსები	144
6.2. ნიადაგების დატენიანების რეჟიმი	
და ტენის რესურსები	153
6.3. ნიადაგების კლიმატური დარაიონება	157
თავი 7. კლიმატური მახასიათებლების	
სტატისტიკური სტრუქტურა	162
7.1. კლიმატური რიგების განაწილებათა	
სტატისტიკური მომენტები	162
7.2. კლიმატური რიგების ემპირიულ განაწილებათა	
თეორიული ფუნქციები	167
7.3. კლიმატური ელემენტების ორგანზომილებიანი	
განაწილება	173
7.4. კლიმატური ველების სივრცითი სტრუქტურა	178
თავი 8. მიკროკლიმატური გამოკვლევები	182
8.1. შავი ზღვის სანაპირო ზოლის	
მიკროკლიმატური გამოკვლევები	182
8.2. ქალაქ თბილისის მიკროკლიმატური თავისებურებანი	190
8.3. ქალაქ თელავის მიკროკლიმატური გამოკვლევა	197
8.4. წყალსაცავების მიკროკლიმატური თავისებურებანი	198
თავი 9. კლიმატური ველების მათემატიკური	
მოდელირება და გეოინფორმაციული	
კარტოგრაფირება	206
9.1. კლიმატური ელემენტების ვერტიკალური	
განაწილების მოდელირება	206
9.2. კლიმატური ველების მოდელირება	
გეოგრაფიული კორდინატების და	
მორფომეტრიული ფაქტორების გათვალისწინებით	211
9.3. კლიმატური ველების	
გეოინფორმაციული კარტოგრაფირება	220
თავი 10. კლიმატური რაონები და	
ამინდის კლასები	224
10.1. საქართველოს კლიმატური დარაიონება	
მ.კორძახას მიხედვით	224
10.2. საქართველოს კლიმატური დარაიონება	
გ.ჭირაქას მიხედვით	227
10.3. ამინდის ძირითადი კლასები	232
თავი 11. კლიმატური რესურსების გამოყენების	
პერსპექტივები	241

11.1. საკურორტო კლიმატური რესურსების გამოყენების პერსპექტივები -----	241
11.2. აგროკლიმატური რესურსების გამოყენების პერსპექტივები -----	263
11.3. კლიმატური ენერგორესურსების გამოყენების პერსპექტივები -----	268
თავი 12. კლიმატის ცვლილება -----	279
12.1. გლობალური კლიმატის ცვლილება -----	279
12.2 კლიმატის ცვლილების ძირითადი ტენდენციები საქართველოში -----	282
12.3. ლოკალური კლიმატების რეაქცია გლობალური დათბობის მიმართ -----	286
12.4. ლინდშტფტების ტრანსფორმაციის კლიმატური კრიტერიუმები -----	296
12.5. კლიმატის ცვლილების სცენარები -----	301
12.6. გაუდაბნოება-----	309
12.7. პარის ტემპერატურის საშიში ანომალიები და მისი მოსალოდნელი შედეგები-----	314
ძირითადი ლიტერატურა -----	320



ელიზარ ელიზარაშვილი - გეოგრაფიის მეცნიერებათა დოქტორი, პროფესორი, საქართველოს ეკოლოგიურ და აგროტექნიკურ მეცნიერებათა აკადემიების ნამდვილი წევრი, საქართველოს მეცნიერებათა აკადემიის პიდრომეტებოროლოგის ინსტიტუტის კლიმატოლოგის და აგრომეტებიროლოგის განყოფილების გამგე, თელვაის აკოდ გოგიაშვილის სახლობის სახლშითვის უნივერსიტეტის გეოგრაფიის კათედრის გამგე.

ავტორია 130-ზე მეტი სამეცნიერო ნაშრომისა, რომელთა უმრავლესობა გამოქვეყნებულია საზღვარგარეთ. გამოქვეყნებული აქვს 10-ზე მეტი მონოგრაფია და ერთი სახელმძღვანელო უნივერსტეტების სტუდენტებისათვის. სამეცნიერო სამეცნიერო-საცნობარო ატლასის „საქართველოს კურორტები და საკურორტო რესურსები”-ს(საქართველოს სახელმწიფო პრემია, 1990) კლიმატური ნაწილის ხელმძღვანელი და ერთ-ერთი თანავტორია. 2003 წელს დაკილდოვდა ღიასქის ორდენით.

ძირითადი მონოგრაფიები:

1. Статистическая структура атмосферных осадков в горных районах. Ленинград, Гидрометеоиздат, 1980, 136с.(соавтор Ж.Д.Алибекова).
2. Климатография курортов Грузии. Тбилиси, 1980, 247с.(соавтор Н.Ш.Гонгладзе).
3. გვალვები, უნალექო და ნალექანი ჰერიოზები საქართველოში. თბილისი, მეცნიერება, 1992, 112გვ.(თანავტორი ზ.ჭავჭანიძე).
4. Режим увлажнения территории Грузии. Москва, Эллада, 1994, 155с.(соавторы З.Б.Чавчанидзе, М.С.Янакидис).
5. საქართველოს მიწისპარა ტემპერატურული ველის ცვლილების ემპირიული მოდელი. თბილისი, მეცნიერება, 1999, 126 გვ.(თანავტორები კ.თავართქმლაძე, დ.მუღლაძე, ჯ.ვაჩნაძე).
6. სამეცნიერო (ბუნება, მოსახლეობა, მეურნეობა).თბილისი, პოლიგრაფ-ინკუსტი, 1999, 358გვ.(ავტორთა კოლექტივი).
7. თბილისის კლიმატის მრავალწლიური ცვლილება და ციკლური რყევადობა. თბილისი, ჰმი, 2001, 165გვ.(ავტორთა კოლექტივი).
8. საქართველოს ჰავა. ტ.1-აჭარა.თბილისი, ჰმი, 2003, 135გვ.(ავტორთა კოლექტივი).
9. საქართველოს ჰავა. ტ.2-აფხაზეთი. თბილისი, ჰმი, 2006, 153გვ. (ავტორთა კოლექტივი).
10. Основные проблемы климатологии ландшафтов. Тбилиси, Зеон, 2006, 118с.(соавтор М.Э.Элизбарашвили).